



乾芯科技
STARRYSTONETECH

QXS320F28377LRevA数字信号控制器



合肥乾芯科技有限公司

表 1：版本历史

| 版本号 | 修订日期 | 修订内容 |
|------|--------------|------------------------------------|
| 1. 0 | 2024. 10. 12 | 初稿 |
| 1. 1 | 2024. 10. 22 | 添加外部晶振最高频率说明 |
| 1. 2 | 2024. 11. 07 | 更新图片 |
| 1. 3 | 2024. 11. 21 | 更新订货信息 |
| 1. 4 | 2025. 05. 09 | QXS320F28377L重命名为QXS320F28377LRevA |



目 录

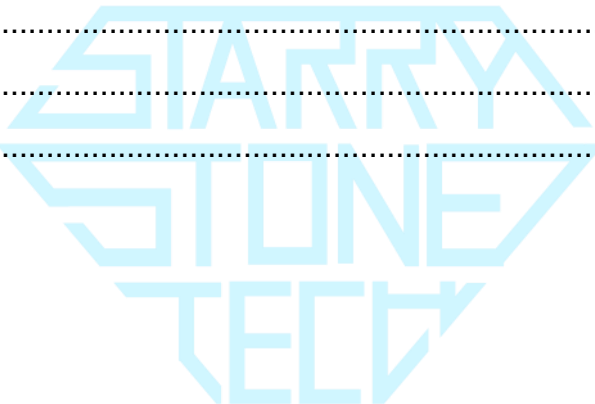
| | |
|--|----|
| 1 特性 | 8 |
| 2 应用 | 9 |
| 3 说明 | 10 |
| 3.1 功能框图 | 11 |
| 3.2 器件特性 | 12 |
| 3.3 产品编码 | 13 |
| 4 终端配置与功能 | 14 |
| 4.1 引脚图 | 14 |
| 4.2 引脚说明 | 15 |
| 4.3 信号描述 | 41 |
| 4.3.1 模拟信号 | 41 |
| 4.3.2 数字信号 | 45 |
| 4.3.3 电源与接地 | 57 |
| 4.3.4 测试, JTAG 与复位 | 58 |
| 4.4 GPIO | 59 |
| 4.4.1 GPIO 复用引脚表 | 59 |
| 4.4.2 ADC 引脚上的数字输入 (AIO) | 63 |
| 4.4.3 GPIO 输入 X-BAR | 64 |
| 4.4.4 GPIO 输出 X-BAR 和 ePWM X-BAR | 66 |
| 4.5 GPIO 引脚内部上拉/下拉 | 67 |
| 4.6 未使用引脚的连接 | 68 |
| 5 规格 | 69 |
| 5.1 绝对最大值范围 | 69 |
| 5.2 产品 ESD 范围 | 70 |
| 5.3 推荐工作条件 | 70 |
| 5.4 耗电概述 | 71 |
| 5.4.1 系统电流消耗 (外部电源) | 71 |
| 5.4.2 工作模式测试描述 | 72 |

| | |
|-----------------------------|-----|
| 5.4.3 减少电流消耗..... | 73 |
| 5.4.4 减少电流消耗..... | 74 |
| 5.5 电气特性..... | 76 |
| 5.6 热阻特征..... | 77 |
| 5.6.1 PK 封装的热阻特性 | 77 |
| 5.6.2 PZ 封装的热阻特性 | 78 |
| 5.6.3 PM 封装的热阻特性..... | 79 |
| 5.6.4 RSH 封装的热阻特性 | 80 |
| 5.7 散热设计注意事项..... | 81 |
| 5.8 系统..... | 82 |
| 5.8.1 外部存储器接口（EMIF） | 82 |
| 5.8.1.1 异步存储器支持..... | 82 |
| 5.8.1.2 支持同步 DRAM | 82 |
| 5.8.1.3 EMIF 电气数据和时序 | 83 |
| 5.9 模拟外设..... | 95 |
| 5.9.1 模数转换器（ADC） | 104 |
| 5.9.1.1 结果寄存器映射..... | 106 |
| 5.9.1.2 ADC 配置 | 106 |
| 5.9.1.3 ADC 电气数据与时序 | 107 |
| 5.9.1.3.1 ADC工作条件 | 107 |
| 5.9.1.3.2 ADC 特性 | 108 |
| 5.9.1.3.3 ADC 时序框图 | 109 |
| 5.9.2 可编程增益放大器(PGA)..... | 110 |
| 5.9.2.1 PGA电气数据和时序 | 111 |
| 5.9.3 温度传感器 | 115 |
| 5.9.3.1 温度传感器电气数据和时序 | 115 |
| 5.9.4 缓冲数模转换器(DAC) | 116 |
| 5.9.4.1 缓冲 DAC 电气数据和时序..... | 116 |
| 5.9.5 比较器子系统(CMPSS) | 120 |
| 5.9.5.1 CMPSS 电气数据和时序 | 121 |

| | |
|--------------------------------------|-----|
| 5.10 控制外设..... | 125 |
| 5.10.1 增强型捕获(eCAP) | 125 |
| 5.10.1.1 eCAP电气数据和时序 | 127 |
| 5.10.2 高分辨率捕捉子模块(HRCAP6–HRCAP7)..... | 128 |
| 5.10.2.1 HRCAP 电气数据和时序 | 130 |
| 5.10.3 增强脉冲宽度调制(ePWM) | 132 |
| 5.10.3.1 控制外设同步 | 135 |
| 5.10.3.2 ePWM电气数据和时序 | 135 |
| 5.10.3.3 外部ADC转换脉冲开始的电气数据和时序 | 137 |
| 5.10.4 高分辨率脉冲宽度调制器(HRPWM) | 138 |
| 5.10.4.1 HRPWM 电气数据和时序 | 138 |
| 5.10.5 增强型正交编码器脉冲(eQEP) | 139 |
| 5.10.5.1 eQEP电气数据和时序 | 140 |
| 5.10.6 Σ-Δ滤波器模块(SDFM)..... | 141 |
| 5.10.6.2 SDFM电气数据和时序（同步GPIO） | 145 |
| 5.11 通信外设..... | 147 |
| 5.11.1 控制局域网络(CAN)..... | 147 |
| 5.11.2 内置集成电路(I2C) | 149 |
| 5.11.2.1 I2C电气数据和时序 | 152 |
| 5.11.3 电源管理总线(PMBus) 接口 | 154 |
| 5.11.4 串行通信接口(SCI) | 157 |
| 5.11.5 串行外设接口(SPI) | 159 |
| 5.11.5.1 SPI 主模式时序 | 161 |
| 5.11.6 SPI从模式时序 | 165 |
| 5.11.7 本地互连网络(LIN)..... | 166 |
| 5.11.8 快速串行接口(FSI)..... | 168 |
| 5.11.8.1 FSI 发送器..... | 169 |
| 5.11.8.2 FSI 接收器..... | 171 |
| 5.11.8.3 FSIRX电气特性和时序 | 173 |
| 5.11.8.4 FSI SPI 兼容模式 | 173 |

| | |
|--|-----|
| 6 详细描述 | 176 |
| 6.1 概述 | 176 |
| 6.2 功能框图 | 177 |
| 6.3 内存 | 178 |
| 6.3.1 内存映射 | 178 |
| 6.3.2 Flash 内存映射 | 182 |
| 6.3.2.1 Flash 扇区地址 | 182 |
| 6.3.3.2 外设寄存器内存映射 | 183 |
| 6.3.3 存储器类型 | 187 |
| 6.3.3.1 CPU共享数据 RAM (GSDx RAM) | 187 |
| 6.3.3.2 IPC共享 RAM (IPC CPUx_RAM) | 187 |
| 6.3.3.3 CPU共享指令RAM (GSIx RAM) | 187 |
| 6.3.3.4 CPU共享指令RAM (BOOT RAM) | 187 |
| 6.4 总线架构-外设连接 | 187 |
| 6.6 C28x 处理器 | 189 |
| 6.6.1 介绍 | 189 |
| 6.6.2 特点 | 189 |
| 6.6.3 浮点单元(FPU) | 189 |
| 6.6.4 三角数学单元(TMU) | 189 |
| 6.6.5 Viterbi、复数和循环冗余校验单元 (VCU) | 190 |
| 6.6.5.1 Viterbi运算 | 190 |
| 6.6.5.2 循环冗余校验 (CRC) | 190 |
| 6.6.5.3 复数运算 | 191 |
| 6.6.6 增强型整数除法单元 (EINTDIV) | 191 |
| 6.7 直接内存访问(DMA) | 192 |
| 6.8 看门狗 | 194 |
| 6.9 C28x 计时器 | 194 |
| 6.10 双时钟比较器 (DCC) | 195 |
| 6.10.1 特点 | 195 |
| 6.10.2 DCCx(DCC0 and DCC1) 时钟源输入映射 | 195 |

| | |
|------------------------|-----|
| 7 开发支持 | 196 |
| 7.1 集成开发环境QX-IDE | 196 |
| 7.2 仿真器 | 197 |
| 7.2.1 简介 | 197 |
| 7.2.2 结构 | 197 |
| 7.2.2.1 宿主机 | 197 |
| 7.2.2.2 目标机 | 198 |
| 7.2.2.3 接口卡 | 198 |
| 8 封装外形尺寸 | 199 |
| 8.1 LQFP176 PIN | 199 |
| 9 订货信息 | 200 |
| 9.1 封装信息 | 200 |
| 9.2 封装概览 | 200 |
| 关于乾芯科技 | 201 |
| 附录A：使用限制 | 202 |



1 特性

- 32位双核CPU
 - 最高300 MHz
 - IEEE-754 单精度浮点单元(FPU)
 - 三角函数加速器(TMU)
 - Viterbi/复杂数学单元(VCU-I)
- 片上存储器
 - 1MB FLASH (ECC 保护)
 - 512KB SRAM(ECC保护/奇偶校验保护)
 - 256KB 指令RAM, 256KB 数据RAM
- 时钟和控制
 - 两个内部零引脚 10MHz 振荡器
 - 片上晶振振荡器和外部时钟输入
 - 片上 10MHz 振荡器
 - 外部晶振频率最高支持20MHz
 - 看门狗计时器模块
 - 丢失时钟检测电路
- 电源电压: 1.2V 内核、3.3V I/O
 - 可生成 1.2V 电压的内部 VREG
 - 欠压复位(BOR) 电路
- 系统外设
 - 6通道直接存储器存取(DMA) 控制器
 - 100个独立可编程多路复用通用输入/输出(GPIO) 引脚
 - 在模拟引脚上提供21路数字输入
 - 增强型外设中断扩展(ePIE) 模块
 - 持多个具有外部唤醒功能的低功耗模式(LPM)
 - 嵌入式实时分析和诊断(ERAD)
- 通信外设
 - 1个电源管理总线(PMBus) 接口
 - 1个内部集成电路(I2C) 接口
 - 2个控制器局域网(CAN) 总线端口
- 模拟系统
 - 3个2.47MSPS 14位 和 3MSPS 12位模数转换器(ADC)
 - 多达21个外部通道
 - 每个ADC集成4个后处理块(PPB)
 - 2个12位缓冲数模转换器(DAC)
 - 7个带12位参考数模转换器(DAC) 的窗口比较器(CMPSS)
 - 数字干扰滤波器
 - 7个可编程增益放大器(PGA)
 - 可编程增益设置
 - 可编程输出滤波
- 增强型控制外设
 - 24个具有增强特性的ePWM通道
 - 16个高分辨率(110ps)HRPWM通道
 - 具有高分辨率的集成死区支持
 - 具有硬件跳闸区域(TZ)
 - 7个增强型捕捉(eCAP) 模块
 - 2个增强型捕捉模块(HRCAP)
 - 2个CW/CCW运行模式的增强型正交编码器脉冲(eQEP) 模块
 - 4条 $\Sigma-\Delta$ 滤波器模块(SDFM) 输入通道
- QXFast-FOC
 - 无传感器的磁场定向控制(FOC)
- 封装
 - 176 引脚LQFP
- 温度
 - -40°C 至 125°C 结温

2 应用

- 交流充电桩
- 直流充电桩
- 电动汽车充电站电源模块
- 车辆无线充电模块
- 能量存储电源转换系统（PCS）
- 中央逆变器
- 太阳能电源优化器
- 串式逆变器
- 直流/交流转换器
- 逆变器和电机控制
- 伺服驱动器控制模块
- 交流BLDC电机驱动器
- 直流BLDC电机驱动器
- 工业交流/直流电源
- 三相UPS
- 商用网络和服务器PSU
- 商用通信电源整流器



3 说明

QXS320F28377LRevA是一款对标TI公司的TMS320F2837x系列的32位处理器。主要针对实时控制应用（如工业电机驱动、光伏逆变器和数字电源、电动汽车的电机控制以及空调变频等）。

QXS320F28377LRevA拥有对标TI C28x的自主研发的32位CPU内核，可提供300MHz的处理能力。QXS320F28377LRevA内部同样集成了FPU，TMU和VCU扩展指令集，FPU可以提供32位浮点加速指令，TMU可快速执行包含变换和扭矩环路计算中常见三角运算的算法，VCU扩展指令集能够降低编码应用中常见复杂数学运算的延迟。

QXS320F28377LRevA采用双核架构，CPU0和CPU1可独立并行运行，也可以相互通信。每个核都具有其独立的存储资源，都可以独立访问典型控制系统中所需的主要外设。双核之间可以通过中断，特殊寄存器和共享内存三种方式通信。

QXS320F28377LRevA还集成了高性能模拟外设和增强型控制外设，三个独立的12位采样率为3MSPS的常规ADC可准确、高效地管理多个模拟信号，从而最终提高系统吞吐量。模拟前端上的七个PGA可以在转换之前实现片上电压调节。七个模拟比较器模块可以针对跳闸情况对输入电压电平进行持续监控。先进的控制外设(具有独立于频率的 ePWM/HRPWM 和 eCAP)，可对系统进行出色的控制。内置的 4 通道 SDFM 允许在隔离层上无缝集成过采样 $\Sigma - \Delta$ 调制器。

通过各种业界通用通信端口（如 SPI、SCI、I2C、LIN 和 CAN2.0，CAN FD）支持连接，并且提供了多个多路复用选项，可在各种应用中实现出色的信号布局。QXS320F28377LRevA同时支持 PMBus 和 FSI。

嵌入式实时分析和诊断（ERAD）模块通过提供用于分析的附加硬件断点和计数器来增强器件的调试和系统分析功能。

QXS320F28377LRevA支持高达256KB指令RAM、256KB数据RAM和1MB Flash存储，能够适应大部分嵌入场景。QXS320F28377LRevA还支持8KB的bootloader指令RAM，灵活配置启动过程。

3.1 功能框图

功能框图展示了CPU 系统及关联的外设。

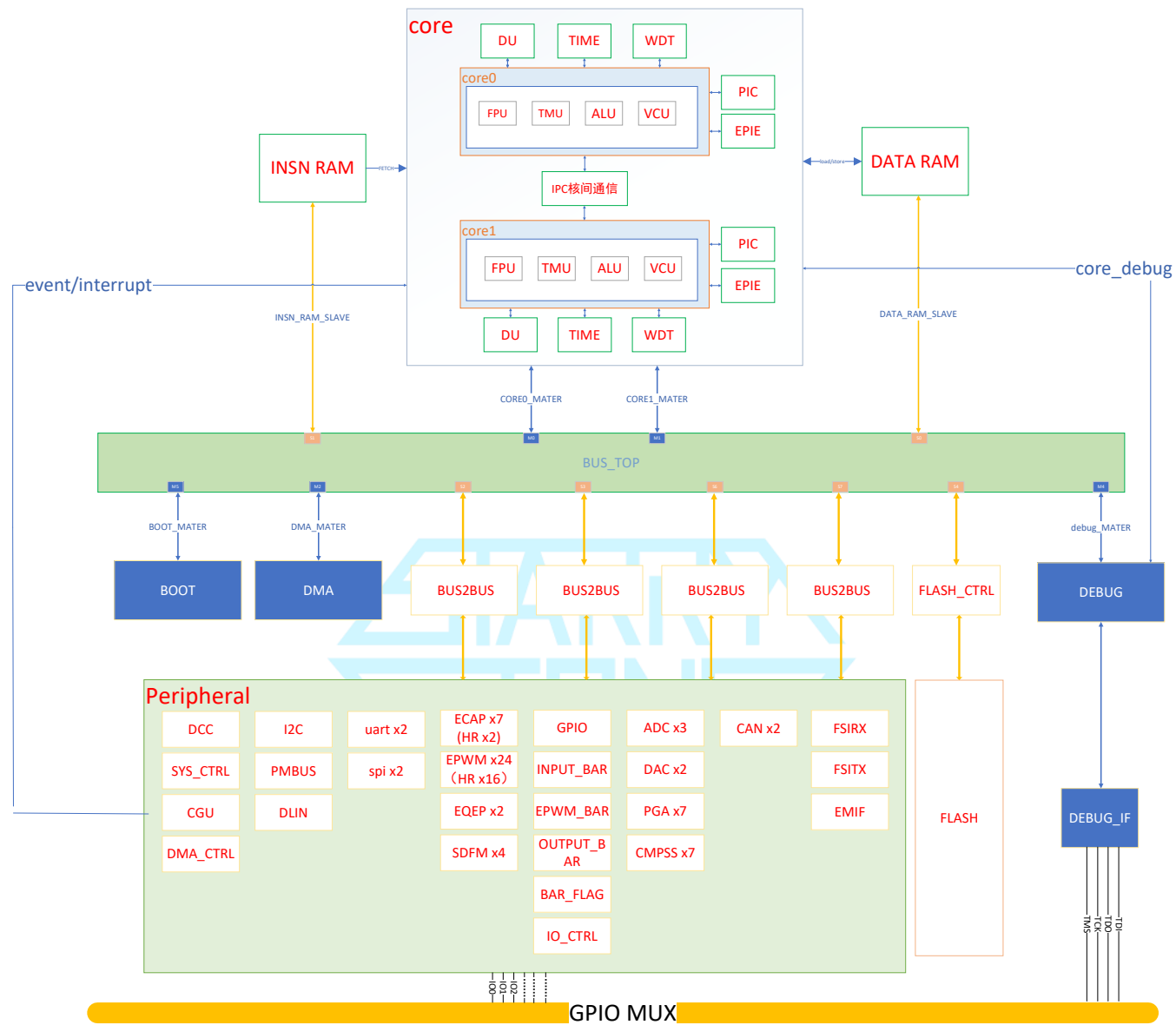


图 3-1 功能框图

3.2 器件特性

| 功能 | | QXS320F28377LRevA |
|----------------------|---------------|-------------------|
| 时钟主频 | | 300 MHz |
| 内核数 | | 双核 |
| IEEE754单精度浮点单元 (FPU) | | 支持 |
| 三角函数加速器 (TMU) | | 支持 |
| 复杂数学单元 (VCU-I) | | 支持 |
| 指令存储IRAM | | 双核共享256KB |
| 数据存储DRAM | | 双核共享256KB |
| 片上FLASH | | 1MB |
| 高速DMA模块通道 | | 6 |
| 32位CPU定时器 | | 6 (每个核支持3个) |
| 窗口看门狗定时器 | | 1 |
| 非可屏蔽中断看门狗定时器 | | 1 |
| IO引脚 | GPIO | 100 |
| | AIO | 21 |
| 嵌入式实时分析和诊断(ERAD) | | 有 |
| 外部中断 | | 8 |
| 14-bit ADC | 数量 | 3 |
| | 采样率 | 2.47M |
| | 通道数 | 21 |
| | 输入模式 | 单端 |
| | 后处理(PPB) | 4 |
| 比较子系统(CMPSS) | 数量 | 7 |
| | DAC | 12bit |
| 12-bit DAC | | 2 |
| 可编程增益放大器(PGA) | 数量 | 7 |
| | 放大倍数 | 3 6 12 24 48 |
| PMBus | | 1 |
| I2C | | 1 |
| CAN FD(兼容CAN2.0) | | 2 |
| SPI | | 2 |
| SCI | | 2 |
| LIN | | 1 |
| FSI | | 1 |
| 16bit/32bit EMIF | | 1 |
| EPWM | EPWM通道 | 24 |
| | HRPWM (110ps) | 16 |
| | HHRPWM (45ps) | 16 |
| eCAP | eCAP | 7 |
| | HRCAP | 2 |
| eQEP | | 2 |
| Σ-Δ滤波器模块(SDFM) | | 4 |
| 工作温度(AT) | | -40°C ~ 125°C |
| 封装形式 | | 176 LQFP |

3.3 产品编码

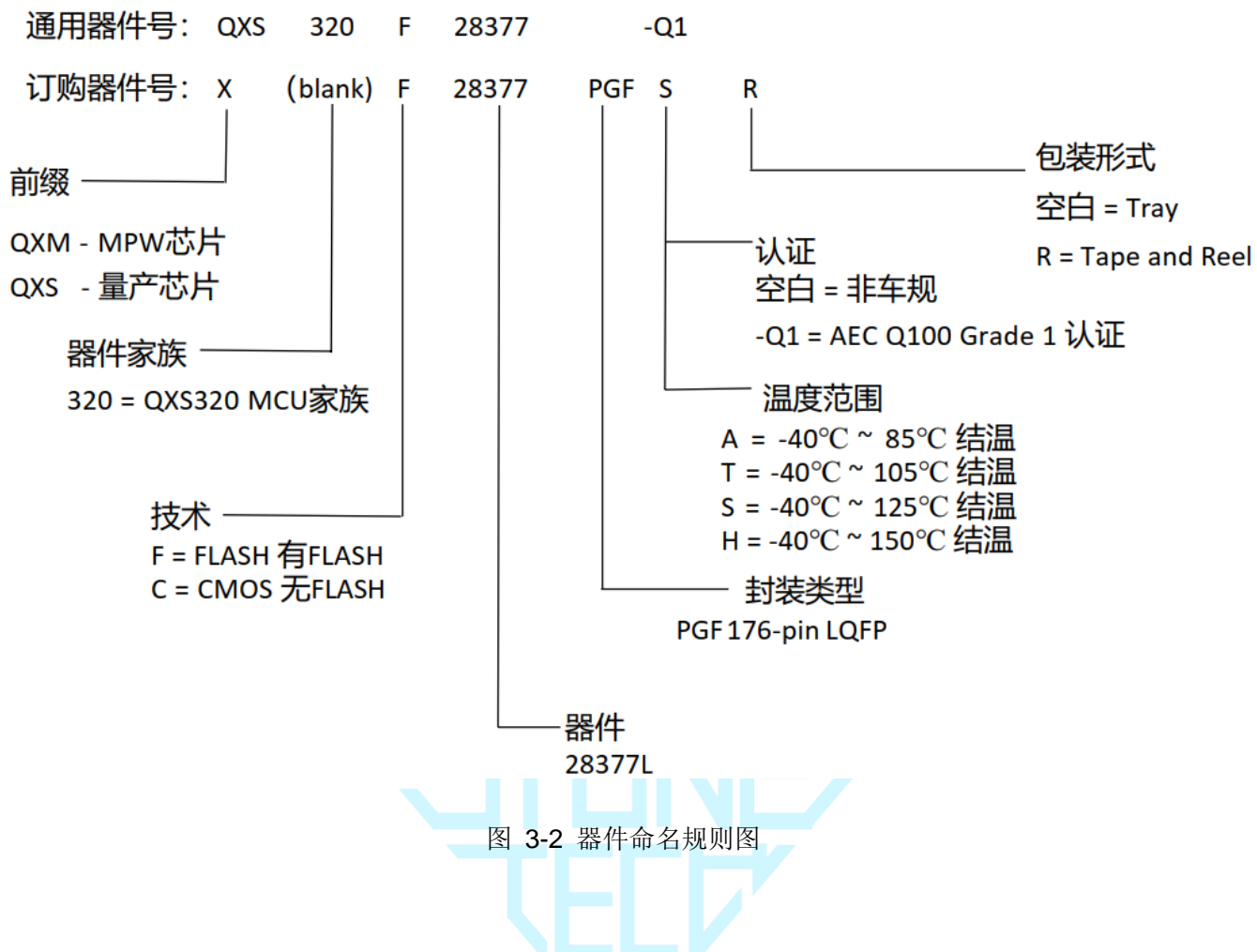
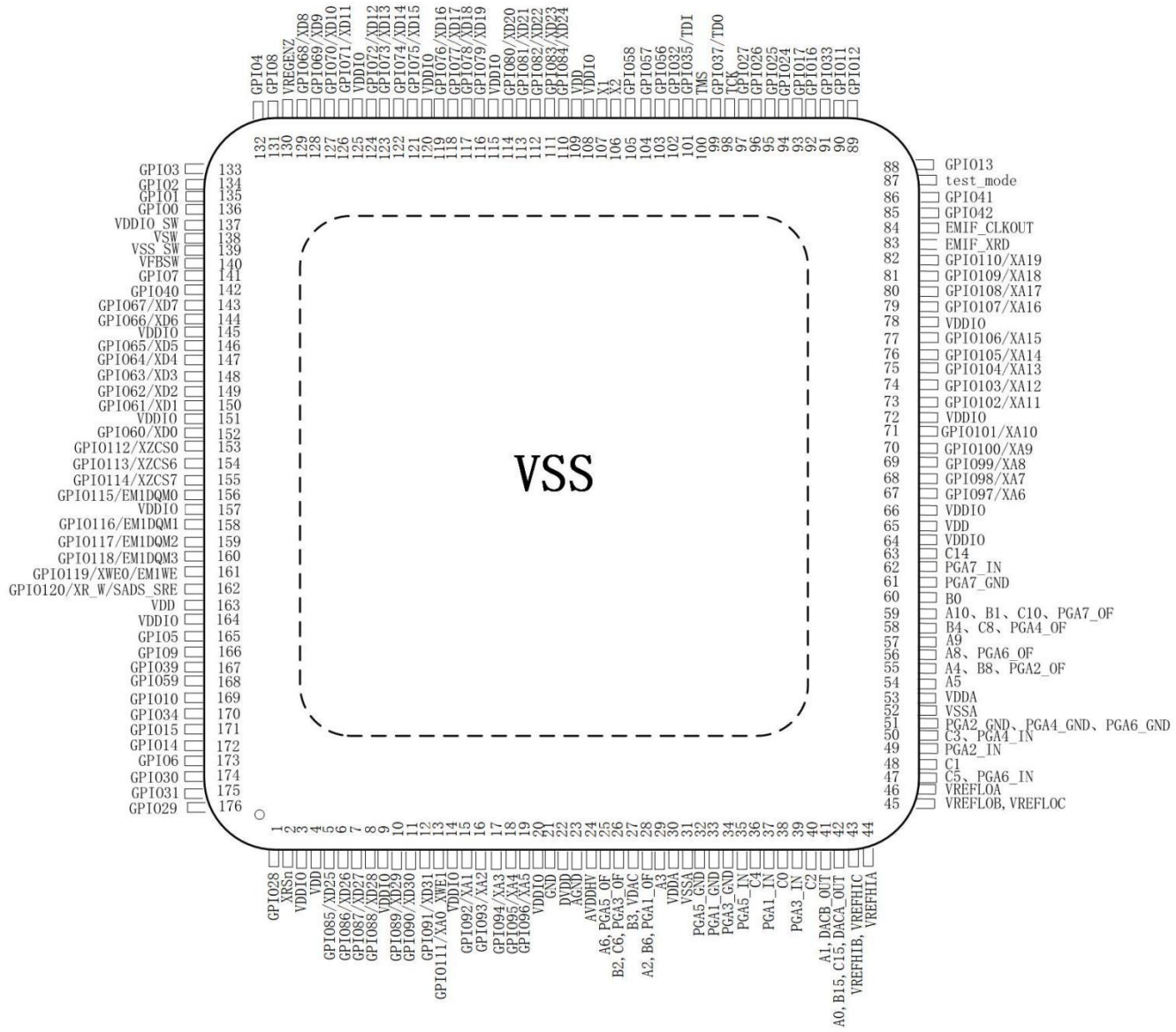


图 3-2 器件命名规则图

4 终端配置与功能

4.1 引脚图



4.2 引脚说明

表 6-1.引脚属性

| 信号名称 | 多路复用器位置 | 176 | 引脚类型 | 说明 |
|---|---------|-----|-------------------------------|--|
| A0 B15 C15 DACA_OUT AIO231 | | 42 | O | ADC-A 输入 0 ADC-B 输入 15 ADC-C 输入 15 缓冲 DAC-A 输出 ADC 引脚上的数字输入 231 |
| A1 DACP_OUT AIO232 | | 41 | O | ADC-A 输入 1 缓冲 DAC-B 输出 ADC 引脚上的数字输入 232 |
| A10 B1 C10 PGA7_OF CMP7_HP0 CMP7_LP0 AIO230 | | 59 | O | ADC-A 输入 10 ADC-B 输入 1 ADC-C 输入 10 PGA-7 输出滤波器 (可选) CMPSS-7 高电平比较器正输入 0 CMPSS-7 低电平比较器正输入 0 ADC 引脚上的数字输入 230 |
| A2 B6 PGA1_OF CMP1_HP0 CMP1_LP0 AIO224 | | 28 | O | ADC-A 输入 2 ADC-B 输入 6 PGA-1 输出滤波器 (可选) CMPSS-1 高电平比较器正输入 0 CMPSS-1 低电平比较器正输入 0 ADC 引脚上的数字输入 224 |
| A3 CMP1_HP3 CMP1_HN0 CMP1_LP3 CMP1_LN0 AIO233 | | 29 | | ADC-A 输入 3 CMPSS-1 高电平比较器正输入 3 CMPSS-1 高电平比较器负输入 0 CMPSS-1 低电平比较器正输入 3 CMPSS-1 低电平比较器负输入 0 ADC 引脚上的数字输入 233 |

| | | | | |
|--|--|----|--------------------------|--|
| A4 B8 PGA2_OF CMP2_HP0 CMP2_LP0 AIO225 | | 55 | O | ADC-A 输入 4 ADC-B 输入 8 PGA-2 输出滤波器 (可选) CMPSS-2 高电平比较器正输入 0 CMPSS-2 低电平比较器正输入 0 ADC 引脚上的数字输入 225 |
| A5 CMP2_HP3 CMP2_HN0 CMP2_LP3 CMP2_LN0 AIO234 | | 54 | | ADC-A 输入 5 CMPSS-2 高电平比较器正输入 3 CMPSS-2 高电平比较器负输入 0 CMPSS-2 低电平比较器正输入 3 CMPSS-2 低电平比较器负输入 0 ADC 引脚上的数字输入 234 |



| 信号名称 | 多路复用器位置 | 176 | 引脚类型 | 说明 |
|--|---------|-----|----------------------------|--|
| A6 PGA5_OF CMP5_HP0 CMP5_LP0 AIO228 | | 25 | I O I I I | ADC-A 输入 6 PGA-5 输出滤波器 (可选) CMPSS-5 高电平比较器正输入 0 CMPSS-5 低电平比较器正输入 0 ADC 引脚上的数字输入 228 |
| A8 PGA6_OF CMP6_HP0 CMP6_LP0 AIO229 | | 56 | I O I I I | ADC-A 输入 8 PGA-6 输出滤波器 (可选) CMPSS-6 高电平比较器正输入 0 CMPSS-6 低电平比较器正输入 0 ADC 引脚上的数字输入 229 |
| A9 CMP6_HP3 CMP6_HN0 CMP6_LP3 CMP6_LN0 AIO236 | | 57 | I I I I I I | ADC-A 输入 9 CMPSS-6 高电平比较器正输入 3 CMPSS-6 高电平比较器负输入 0 CMPSS-6 低电平比较器正输入 3 CMPSS-6 低电平比较器负输入 0 ADC 引脚上的数字输入 236 |
| B0 CMP7_HP3 CMP7_HN0 CMP7_LP3 CMP7_LN0 AIO241 | | 60 | I I I I I I | ADC-B 输入 0 CMPSS-7 高电平比较器正输入 3 CMPSS-7 高电平比较器负输入 0 CMPSS-7 低电平比较器正输入 3 CMPSS-7 低电平比较器负输入 0 ADC 引脚上的数字输入 241 |
| B2 C6 PGA3_OF CMP3_HP0 CMP3_LP0 AIO226 | | 26 | I I O I I I | ADC-B 输入 2 ADC-C 输入 6 PGA-3 输出滤波器 (可选) CMPSS-3 高电平比较器正输入 0 CMPSS-3 低电平比较器正输入 0 ADC 引脚上的数字输入 226 |

| | | | | |
|--|--|----|---|--|
| B3 VDAC CMP3_HP3 CMP3_HN0 CMP3_LP3 CMP3_LN0 AIO242 | | 27 | | ADC-B 输入 3 片上 DAC 的可选外部基准电压。无论是用于 ADC 输入还是 DAC 基准，此引脚上有一个连接至 VSSA 且无法禁用的 100pF 电容器。如果将此引脚用作片上 DAC 的基准，请在此引脚上放置至少一个 1μF 电容器。 CMPSS-3 高电平比较器正输入 3 CMPSS-3 高电平比较器负输入 0 CMPSS-3 低电平比较器正输入 3 CMPSS-3 低电平比较器负输入 0 ADC 引脚上的数字输入 242 |
| B4 C8 PGA4_OF CMP4_HP0 CMP4_LP0 AIO227 | | 58 | O | ADC-B 输入 4 ADC-C 输入 8 PGA-4 输出滤波器（可选） CMPSS-4 高电平比较器正输入 0 CMPSS-4 低电平比较器正输入 0 ADC 引脚上的数字输入 227 |
| C0 CMP1_HP1 CMP1_HN1 CMP1_LP1 CMP1_LN1 AIO237 | | 38 | | ADC-C 输入 0 CMPSS-1 高电平比较器正输入 1 CMPSS-1 高电平比较器负输入 1 CMPSS-1 低电平比较器正输入 1 CMPSS-1 低电平比较器负输入 1 ADC 引脚上的数字输入 237 |
| C1 CMP2_HP1 CMP2_HN1 CMP2_LP1 CMP2_LN1 AIO238 | | 48 | | ADC-C 输入 1 CMPSS-2 高电平比较器正输入 1 CMPSS-2 高电平比较器负输入 1 CMPSS-2 低电平比较器正输入 1 CMPSS-2 低电平比较器负输入 1 ADC 引脚上的数字输入 238 |
| C14 CMP7_HP1 CMP7_HN1 CMP7_LP1 CMP7_LN1 AIO246 | | 63 | | ADC-C 输入 14 CMPSS-7 高电平比较器正输入 1 CMPSS-7 高电平比较器负输入 1 CMPSS-7 低电平比较器正输入 1 CMPSS-7 低电平比较器负输入 1 ADC 引脚上的数字输入 246 |

| | | | | |
|---|--|----|--|--|
| C2 CMP3_HP1 CMP3_HN1 CMP3_LP1 CMP3_LN1 AIO244 | | 40 | | ADC-C 输入 2 CMPSS-3 高电平比较器正输入 1 CMPSS-3 高电平比较器负输入 1 CMPSS-3 低电平比较器正输入 1 CMPSS-3 低电平比较器负输入 1 ADC 引脚上的数字输入 244 |
| C3 PGA4_IN CMP4_HP1 CMP4_HN1 CMP4_LP1 CMP4_LN1 AIO245 | | 50 | | ADC-C 输入 3 PGA-4 输入 CMPSS-4 高电平比较器正输入 1 CMPSS-4 高电平比较器负输入 1 CMPSS-4 低电平比较器正输入 1 CMPSS-4 低电平比较器负输入 1 ADC 引脚上的数字输入 245 |
| C4 CMP5_HP1 CMP5_HN1 CMP5_LP1 CMP5_LN1 AIO239 | | 36 | | ADC-C 输入 4 CMPSS-5 高电平比较器正输入 1 CMPSS-5 高电平比较器负输入 1 CMPSS-5 低电平比较器正输入 1 CMPSS-5 低电平比较器负输入 1 ADC 引脚上的数字输入 239 |
| C5 PGA6_IN CMP6_HP1 CMP6_HN1 CMP6_LP1 CMP6_LN1 AIO240 | | 47 | | ADC-C 输入 5 PGA-6 输入 CMPSS-6 高电平比较器正输入 1 CMPSS-6 高电平比较器负输入 1 CMPSS-6 低电平比较器正输入 1 CMPSS-6 低电平比较器负输入 1 ADC 引脚上的数字输入 240 |
| PGA1_GND | | 33 | | PGA-1 接地 |
| PGA1_IN CMP1_HP2 CMP1_LP2 | | 37 | | PGA-1 输入 CMPSS-1 高电平比较器正输入 2 CMPSS-1 低电平比较器正输入 2 |
| PGA2_GND | | 51 | | PGA-2 接地 |

| | | | | |
|----------|--|----|-----|---|
| PGA2_IN | | 49 | | PGA-2 输入 |
| CMP2_HP2 | | | | CMPSS-2 高电平比较器正输入 2 |
| CMP2_LP2 | | | | CMPSS-2 低电平比较器正输入 2 |
| PGA3_GND | | 34 | | PGA-3 接地 |
| PGA3_IN | | 39 | | PGA-3 输入 |
| CMP3_HP2 | | | | CMPSS-3 高电平比较器正输入 2 |
| CMP3_LP2 | | | | CMPSS-3 低电平比较器正输入 2 |
| PGA4_GND | | 51 | | PGA-4 接地 |
| PGA4_IN | | 50 | | PGA-4 输入 |
| CMP4_HP2 | | | | CMPSS-4 高电平比较器正输入 2 |
| CMP4_LP2 | | | | CMPSS-4 低电平比较器正输入 2 |
| PGA5_GND | | 32 | | PGA-5 接地 |
| PGA5_IN | | 35 | | PGA-5 输入 |
| CMP5_HP2 | | | | CMPSS-5 高电平比较器正输入 2 |
| CMP5_LP2 | | | | CMPSS-5 低电平比较器正输入 2 |
| PGA6_GND | | 51 | | PGA-6 接地 |
| PGA6_IN | | 47 | | PGA-6 输入 |
| CMP6_HP2 | | | | CMPSS-6 高电平比较器正输入 2 |
| CMP6_LP2 | | | | CMPSS-6 低电平比较器正输入 2 |
| PGA7_GND | | 61 | | PGA-7 接地 |
| PGA7_IN | | 62 | | PGA-7 输入 |
| CMP7_HP2 | | | | CMPSS-7 高电平比较器正输入 2 |
| CMP7_LP2 | | | | CMPSS-7 低电平比较器正输入 2 |
| VREFHIA | | 44 | I/O | ADC-A 高基准电压。在外部基准模式下，从外部驱动这个引脚上的高基准电压。在内部基准模式下，电压由器件驱动到该引脚。在任一模式下，在此引脚上放置至少一个 $2.2\mu F$ 电容器。此电容器应放置在 VREFHIA 和 VREFLOA 引脚之间 尽可能靠近器件的位置。不要在内部或外部基准模式下从外部加载此引脚。 |
| VREFHIB | | 43 | I/O | ADC-B 高基准电压。在外部基准模式下，从外部驱动这个引脚上的高基准电压。在内部基准模式下，电压由器件驱动到该引脚。在任一模式下，在此引脚上放置至少一个 $2.2\mu F$ 电容器。此电容器应放置在 VREFHIB 和 VREFLOB 引脚之间 尽可能靠近器件的位置。不要在内部或外部基准模式下从外部加载此引脚。 |

| | | | | |
|---------|--|----|-----|---|
| VREFHIC | | 43 | I/O | ADC-C 高基准电压。在外部基准模式下，从外部驱动这个引脚上的高基准电压。在内部基准模式下，电压由器件驱动到该引脚。在任一模式下，在此引脚上放置至少一个 $2.2\mu F$ 电容器。此电容器应放置在 VREFHIC 和 VREFLOC 引脚之间 尽可能靠近器件的位置。不要在内部或外部基准模式下从外部加载此引脚。 |
| VREFLOA | | 46 | I | ADC-A 低基准电压 |
| VREFLOB | | 45 | I | ADC-B 低基准电压 |
| VREFLOC | | 45 | I | ADC-C 低基准电压 |



| 信号名称 | 多路复用器位置 | 176 | 引脚类型 | 说明 |
|--|---|-----|---|---|
| GPIO0 EPWM1_A SPIA_D2 I2CA_SDA XWE0 | 0 · 4 · 8 · 12 1 2 6 14 | 136 | I/O O I/O I/OD O | 通用输入/输出 0 ePWM-1 输出 A SPI-A QSPI模式的第三位数据 I2C-A 开漏双向数据 EMIF外部接口写入使能,写操作的选通线,低电平有效 |
| GPIO1 EPWM1_B SPIA_D2 I2CA_SCL XR/W | 0 · 4 · 8 · 12 1 2 6 14 | 135 | I/O O I/O I/OD O | 通用输入/输出 1 ePWM-1 输出 B SPI-A QSPI模式的第三位数据 I2C-A 开漏双向时钟 EMIF外部接口读取,不是写入选通;读/写信号线,高电平时,表明读操作正在进行;低电平时,表明写操作正在进行 |
| GPIO2 EPWM2_A OUTPUTXBAR1 PMBUSA_SDA SCIA_TX FSIRXA_D1 XZCS0 | 0 · 4 · 8 · 12 1 5 6 9 10 14 | 134 | I/O O O I/OD O I O | 通用输入/输出 2 ePWM-2 输出 A 输出 X-BAR 输出 1 PMBus-A 开漏双向数据 SCI-A 发送数据 FSIRX-A 可选附加数据输入 EMIF外部接口区域 0 芯片选择 |
| GPIO3 EPWM2_B OUTPUTXBAR2 PMBUSA_SCL SPIA_CLK SCIA_RX FSIRXA_D0 XZCS6 | 0 · 4 · 8 · 12 1 2、5 6 7 9 10 14 | 133 | I/O O O I/OD I/O I I O | 通用输入/输出 3 ePWM-2 输出 B 输出 X-BAR 输出 2 PMBus-A 开漏双向时钟 SPI-A 时钟 SCI-A 接收数据 FSIRX-A 主数据输入 EMIF外部接口区域 6 芯片选择 |
| GPIO4 EPWM3_A SPIA_D3 OUTPUTXBAR3 CANA_TX FSIRXA_CLK XZCS7 | 0 · 4 · 8 · 12 1 2 5 6 10 14 | 132 | I/O O I/O O O I O | 通用输入/输出 4 ePWM-3 输出 A SPI-A QSPI模式的第四位数据 输出 X-BAR 输出 3 CAN-A 发送 FSIRX-A 输入时钟 EMIF外部接口区域 7 芯片选择 |

| | | | | |
|---------------------|----------------|-----|-----|--|
| GPIO5 | 0 · 4 · 8 · 12 | 165 | I/O | 通用输入/输出 5 |
| EPWM3_B | 1 | | O | ePWM-3 输出 B |
| OUTPUTXBAR3 | 3 | | O | 输出 X-BAR 输出 3 |
| CANA_RX | 6 | | I | CAN-A 接收 |
| SPIA_STE | 7 | | I/O | SPI-A 器件使能 (STE) |
| FSITXA_D1 | 9 | | O | FSITX-A 可选附加数据输出 |
| XHOLDA | 14 | | O | 当 EMIF 已经准予一个 XHOLD 请求时，XHOLDA 被驱动至有效（低电平）。所有 EMIF 总线和选通脉冲将处于高阻抗状态。当 XHOLD 信号被释放时，XHOLDA 被释放。当 XHOLDA 为有效（低电平）时，外部器件应该只驱动外部总线。 |
| GPIO6 | 0 · 4 · 8 · 12 | 173 | I/O | 通用输入/输出 6 |
| EPWM4_A | 1 | | O | ePWM-4 输出 A |
| OUTPUTXBAR4 | 2 | | O | 输出 X-BAR 输出 4 |
| SYNCOUT | 3 | | O | 外部 ePWM 同步脉冲 |
| EQEP1_A | 5 | | I | eQEP-1 输入 A |
| CANB_TX | 6 | | O | CAN-B 发送 |
| SPIB_SOMI(QSPIB_D1) | 7 | | I/O | SPI-B 从器件输出，主器件输入 (SOMI) 或 QSPI |
| FSITXA_D0 | 9 | | O | 模式的第二位数据 |
| XREADY | 14 | | I | FSITX-A 主数据输出 EMIF外部接口就绪信号。当为高电平时，表明外部设备已完成此次访问的相关操作，EMIF可结束此次访问 |

| 信号名称 | 多路复用器位置 | 引脚类型 | 说明 |
|---|---|---|--|
| GPIO7 EPWM4_B OUTPUTXBAR5 EQEP1_B CANB_RX SPIB_SIMO(QSPI_B_D0) FSITXA_CLK XHOLD | 0 · 4 · 8 · 12 1 3 5 6 7 9 14 | I/O O O I I I/O O I | 通用输入/输出 7 ePWM-4 输出 B 输出 X-BAR 输出 5 eQEP-1 输入 B CAN-B 接收 SPI-B 从器件输入，主器件输出 (SIMO) 或 QSPI 模式的第一位数据 FSITX-A 输出时钟 外部保持请求 XHOLD，当为低电平时，表明有外部设备请求 EMIF 释放其总线 |
| GPIO8 EPWM5_A CANB_TX ADCSOCACO EQEP1_STROBE SCIA_TX SPIA_SIMO(QSPI_A_D0) I2CA_SCL FSITXA_D1 EM1DQM0 | 0 · 4 · 8 · 12 1 2 3 5 6 7 9 10 14 | I/O O O O I/O O I/O I/OD O O | 通用输入/输出 8 ePWM-5 输出 A CAN-B 发送 外部 ADC (来自 ePWM 模块) 的 ADC 转换启动 A 输出 eQEP-1 选通 SCI-A 发送数据 SPI-A 从器件输入，主器件输出 (SIMO) 或 QSPI 模式的第一位数据 I2C-A 开漏双向时钟 FSITX-A 可选附加数据输出 EMIF 同步访问模式的字节使能信号，低电平有效，只有相应的字节通道有效时，字节使能有效 |
| GPIO9 EPWM5_B SCIB_TX OUTPUTXBAR6 EQEP1_INDEX SCIA_RX SPIA_CLK FSITXA_D0 EM1DQM3 | 0 · 4 · 8 · 12 1 2 3 5 6 7 10 14 | I/O O O O I/O I I/O O O | 通用输入/输出 9 ePWM-5 输出 B SCI-B 发送数据 输出 X-BAR 输出 6 eQEP-1 索引 SCI-A 接收数据 SPI-A 时钟 FSITX-A 主数据输出 EMIF 同步访问模式的字节使能信号，低电平有效，只有相应的字节通道有效时，字节使能有效 |
| GPIO10 EPWM6_A CANB_RX ADCSOCBO EQEP1_A SCIB_TX SPIA_SOMI(QSPI_A_D1) I2CA_SDA FSITXA_CLK SOE | 0 · 4 · 8 · 12 1 2 3 5 6 7 9 10 14 | I/O O I O I O I/O I/OD O O | 通用输入/输出 10 ePWM-6 输出 A CAN-B 接收 外部 ADC (来自 ePWM 模块) 的 ADC 转换启动 B 输出 eQEP-1 输入 A SCI-B 发送数据 SPI-A 从器件输出，主器件输入 (SOMI) 或 QSPI 模式第二位数据 I2C-A 开漏双向数据 FSITX-A 输出时钟 EMIF 同步访问模式的输出使能 |

| | | | | |
|--------|--|-----|--|---|
| GPIO11 | 0 · 4 · 8 · 12 1 2 · 6 3 5 7 9 14 XZCS0 | 90 | I/O O I O I I/O I O | 通用输入/输出 11 ePWM-6 输出 B SCI-B 接收数据 输出 X-BAR 输出 7 eQEP-1 输入 B SPI-A 器件使能 (STE) FSIRXA_D1 EMIF外部接口区域 0 芯片选择 |
| GPIO12 | 0 · 4 · 8 · 12 1 2 3 5 6 7 9 14 XZCS6 | 89 | I/O O O I/O I/O O I I O | 通用输入/输出 12 ePWM-7 输出 A CAN-B 发送 SPI-B QSPI模式的第三位数据 eQEP-1 选通 SCI-B 发送数据 PMBus-A 控制信号 FSIRXA_D0 EMIF外部接口区域 6 芯片选择 |
| GPIO13 | 0 · 4 · 8 · 12 1 2 3 5 6 7 9 14 XZCS7 | 88 | I/O O I I/O I/O I I/OD I O | 通用输入/输出 13 ePWM-7 输出 B CAN-B 接收 SPI-B QSPI模式的第三位数据 eQEP-1 索引 SCI-B 接收数据 PMBus-A 开漏双向警报信号 FSIRXA_CLK EMIF外部接口区域 7 芯片选择 |
| GPIO14 | 0 · 4 · 8 · 12 1 2 6 7 9 10 14 XHOLDA | 172 | I/O O O O I/OD I/O I O | 通用输入/输出 14 ePWM-8 输出 A SCI-B 发送数据 输出 X-BAR 输出 3 PMBus-A 开漏双向数据 SPI-B 时钟 eQEP-2 输入 A 当 EMIF 已经准予一个 XHOLD 请求时， XHOLDA 被驱动至有效（低电平）。所有 EMIF 总线和选通脉冲将处于高阻抗状态。当 XHOLD 信号被释放时， XHOLDA 被释放。当 XHOLDA 为有效（低电平）时，外部器件应该只驱动外部总线。 |

| | | | | |
|-------------|----------------|-----|------|---|
| GPIO15 | 0 · 4 · 8 · 12 | | I/O | 通用输入/输出 15 |
| EPWM8_B | 1 | | O | ePWM-8 输出 B |
| SCIB_RX | 2 | | I | SCI-B 接收数据 |
| SPIB_D3 | 3 | 171 | I/O | SPI-B QSPI模式的第四位数据 |
| OUTPUTXBAR4 | 6 | | O | 输出 X-BAR 输出 4 |
| PMBUSA_SCL | 7 | | I/OD | PMBus-A 开漏双向时钟 |
| SPIB_STE | 9 | | I/O | SPI-B 器件使能 (STE) |
| EQEP2_B | 10 | | I | eQEP-2 输入 B |
| EM1DQM0 | 14 | | O | EMIF同步访问模式的字节使能信号，低电平有效，只有相应的字节通道有效时，字节使能有效 |

| | | | | |
|----------------------|----------------|-----|------|---|
| GPIO16 | 0 · 4 · 8 · 12 | | I/O | 通用输入/输出 16 |
| SPIA_SIMO(QSPI_A_D0) | 1 | | I/O | SPI-A 从器件输入 · 主器件输出 (SIMO)或QSPI模式的第一位数据 |
| CANB_TX | 2 | | O | CAN-B 发送 |
| OUTPUTXBAR7 | 3 | | O | 输出 X-BAR 输出 7 |
| EPWM5_A | 5 | 92 | O | ePWM-5 输出 A SCI-A |
| SCIA_TX | 6 | | I | 发送数据 |
| SD1_D1 | 7 | | I/O | SDFM-1 通道 1 数据输入 |
| EQEP1_STROBE | 9 | | I/OD | eQEP-1 选通 |
| PMBUSA_SCL | 10 | | O | PMBus-A 开漏双向时钟 |
| XCLKOUT | 11 | | O | 外部时钟输出。此引脚从器件中输出所选时钟信号的分频版本。 |
| XHOLDA | 14 | | O | 当 EMIF 已经准予一个 XHOLD 请求时，XHOLDA 被驱动至有效（低电平）。所有 EMIF 总线和选通脉冲将处于高阻抗状态。当 EMIF 的 XHOLD 信号被释放时，XHOLDA 被释放。当 XHOLDA 为有效（低电平）时，外部器件应该只驱动外部总线。 |
| GPIO17 | 0 · 4 · 8 · 12 | | I/O | 通用输入/输出 17 |
| SPIA_SOMI(QSPIA_D1) | 1 | | I/O | SPI-A 从器件输出 · 主器件输入 (SOMI)或QSPI模式的第二位数据 |
| CANB_RX | 2 | | I | CAN-B 接收 |
| OUTPUTXBAR8 | 3 | | O | 输出 X-BAR 输出 8 |
| EPWM5_B | 5 | 93 | I | ePWM-5 输出 B |
| SCIA_RX | 6 | | I | SCI-A 接收数据 |
| SD1_C1 | 7 | | I/O | SDFM-1 通道 1 时钟输入 |
| EQEP1_INDEX | 9 | | I/OD | eQEP-1 索引 |
| PMBUSA_SDA | 10 | | I | PMBus-A 开漏双向数据 |
| XREADY | 14 | | O | 外部接口就绪信号。当为高电平时，表明外部设备已完成此次访问的相关操作，EMIF 可结束此次访问。 |
| SOE | 15 | | | EMIF同步访问模式的输出使能 |
| X2 | ALT | 106 | | 晶振振荡器输出 |
| GPIO20 | 0 | | I/O | 通用输入/输出 20 |

| | | | | |
|--|---|-----|---|--|
| GPIO21 | 0 | | I/O | 通用输入/输出 21 |
| VFBSW ⁽¹⁾ | ALT | 140 | | 内部线性稳压器输出信号，直流/直流稳压器反馈信号。如果使用内部直流/直流稳压器，请将此引脚连接到L（VSW）与VDD之间的节点上（尽可能靠近芯片）。 |
| VSW ⁽¹⁾ | ALT | 138 | | 内部直流/直流稳压器的切换输出。 |
| GPIO24 OUTPUTXBAR1 EQEP2_A EPWM8_A SPIB_SIMO(QSPI B_D0) SD1_D1 PMBUSA_SCL SCIA_TX ERRORSTS XHOLD | 0 · 4 · 8 · 12 1 2 5 6 7 10 11 13 14 | 94 | I/O O I O I/O I I/OD O O I | 通用输入/输出 24 输出 X-BAR 输出 1 eQEP-2 输入 A ePWM-8 输出 A SPI-B 从器件输入，主器件输出 (SIMO) 或 QSPI 模式的第一位数据 SDFM-1 通道 1 数据输入 PMBus-A 开漏双向时钟 SCI-A 发送数据 低电平有效错误状态输出。如果您希望在上电期间或在 ERRORSTS 信号本身发生故障期间将错误状态置为有效，则可以 使用外部下拉电阻。如果您不希望在上述条件下将错误状态置为有效，则可以使用上拉电阻。 外部保持请求 XHOLD，当为低电平时，表明有外部设备请求 EMIF 释放其总线 |
| GPIO25 OUTPUTXBAR2 EQEP2_B SPIB_SOMI(QSPI B_D1) SD1_C1 FSITXA_D1 PMBUSA_SDA SCIA_RX XHOLDA | 0 · 4 · 8 · 12 1 2 6 7 9 10 11 14 | 95 | I/O O I I/O I O I/OD I O | 通用输入/输出 25 输出 X-BAR 输出 2 eQEP-2 输入 B SPI-B 从器件输出，主器件输入 (SOMI) 或 QSPI 模式的第一位数据 SDFM-1 通道 1 时钟输入 FSITXA-A 可选附加数据输出 PMBus-A 开漏双向数据 SCI-A 接收数据 当 EMIF 已经准予一个 XHOLD 请求时，XHOLDA 被驱动至有效（低电平）。所有 EMIF 总线和选通脉冲将处于高阻抗状态。当 XHOLD 信号被释放时，XHOLDA 被释放。当 XHOLDA 为有效（低电平）时，外部器件应该只驱动外部总线。 |
| GPIO26 OUTPUTXBAR3 EQEP2_INDEX CAN0_STBY SPIB_CLK SD1_D2 FSITXA_D0 PMBUSA_CTL I2CA_SDA XREADY | 0 · 4 · 8 · 12 1, 5 2 3 6 7 9 10 11 14 15 | 96 | I/O O I/O O I/O I O I I I/OD I O | 通用输入/输出 26 输出 X-BAR 输出 3 eQEP-2 索引 CANA STBY 输出 SPI-B 时钟 SDFM-1 通道 2 数据输入 FSITXA-A 主数据输出 PMBus-A 控制信号 I2C-A 开漏双向数据 外部接口就绪信号。当为高电平时，表明外部设备已完成此次访问的相关操作，EMIF 可结束此次访问。 |

| | | | | |
|--------------|----------------|----|------|--|
| SOE | | | | EMIF同步访问模式的输出使能 |
| GPIO27 | 0 · 4 · 8 · 12 | | I/O | 通用输入/输出 27 |
| OUTPUTXBAR4 | 1, 5 | | O | 输出 X-BAR 输出 4 |
| EQEP2_STROBE | 2 | | I/O | eQEP-2 选通 |
| CAN1_STBY | 3 | 97 | O | CANB STBY 输出 |
| SPIB_STE | 6 | | I/O | SPI-B 器件使能 (STE) |
| SD1_C2 | 7 | | I | SDFM-1 通道 2 时钟输入 |
| FSITXA_CLK | 9 | | O | FSITX-A 输出时钟 |
| PMBUSA_ALERT | 10 | | I/OD | PMBus-A 开漏双向警报信号 |
| I2CA_SCL | 11 | | I/OD | I2C-A 开漏双向时钟 |
| XHOLD | 14 | | I | 外部保持请求 XHOLD, 当为低电平时, 表明有外部设备请求EMIF释放其总线 |



| 信号名称 | 多路复用器位置 | 176 | 引脚类型 | 说明 |
|--------------|----------------|-----|------|---|
| GPIO28 | 0 · 4 · 8 · 12 | | I/O | 通用输入/输出 28 |
| SCIA_RX | 1 | | I | SCI-A 接收数据 |
| CAN1_STBY | 2 | | O | CANB STBY 输出 |
| EPWM7_A | 3 | | O | ePWM-7 输出 A |
| OUTPUTXBAR5 | 5 | | O | 输出 X-BAR 输出 5 |
| EQEP1_A | 6 | 1 | I | eQEP-1 输入 A |
| SD1_D3 | 7 | | I | SDFM-1 通道 3 数据输入 |
| EQEP2_STROBE | 9 | | I/O | eQEP-2 选通 LIN-A |
| LINA_TX | 10 | | O | 发送 SPI-B 时钟 |
| SPIB_CLK | 11 | | I/O | |
| ERRORSTS | 13 | | O | 低电平有效错误状态输出。如果您希望在上电期间或在 ERRORSTS 信号本身发生故障期间将错误状态置为有效，则可以使用外部下拉电阻。如果您不希望在上述条件下将错误状态置为有效，则可以使用上拉电阻。 |
| XHOLDA | 14 | | O | 当 EMIF 已经准予一个 XHOLD 请求时, XHOLDA 被驱动至有效(低电平)。所有 EMIF 总线和选通脉冲将处于高阻抗状态。当 XHOLD 信号被释放时, XHOLDA 被释放。当 XHOLDA 为有效(低电平)时, 外部器件应该只驱动外部总线。 |

| | | | | |
|--|---|-----|--|--|
| GPIO29 SCIA_TX CAN1_STBY EPWM7_B OUTPUTXBAR6 EQEP1_B SD1_C3 EQEP2_INDEX LINA_RX SPIB_STE ERRORSTS XREADY SOE | 0 · 4 · 8 · 12 1 2 3 5 6 7 9 10 11 13 14 15 | 176 | I/O O O O O I I I/O I I/O O O | 通用输入/输出 29 SCI-A 发送数据 CANB STBY 输出 ePWM-7 输出 B 输出 X-BAR 输出 6 eQEP-1 输入 B SDFM-1 通道 3 时钟输入 eQEP-2 索引 LIN-A 接收 SPI-B 器件使能 (STE) 低电平有效错误状态输出。如果您希望在上电期间或在 ERRORSTS 信号本身发生故障期间将错误状态置为有效，则可以使用外部下拉电阻。如果您不希望在上述条件下将错误状态置为有效，则可以使用上拉电阻。 外部接口就绪信号。当为高电平时，表明外部设备已完成此次访问的相关操作，EMIF 可结束此次访问。 EMIF 同步访问模式的输出使能 |
| GPIO30 CANA_RX EPWM9_A SPIB_SIMO(QSPIB_D0) OUTPUTXBAR7 EQEP1_STROBE SD1_D4 XWE0 | 0 · 4 · 8 · 12 1 2 3 5 6 7 14 | 174 | I/O I O I/O O I/O I O | 通用输入/输出 30 CAN-A 接收 ePWM-9 输出 A SPI-B 从器件输入，主器件输出 (SIMO) 或 QSPI 模式的第一位数据 输出 X-BAR 输出 7 eQEP-1 选通 SDFM-1 通道 4 数据输入 EMIF 外部接口写入使能，写操作的选通线，低电平有效 |
| GPIO31 CANA_TX EPWM9_B SPIB_SOMI(QSPI_B_D1) OUTPUTXBAR8 EQEP1_INDEX SD1_C4 FSIRXA_D1 XR/W | 0 · 4 · 8 · 12 1 2 3 5 6 7 9 14 | 175 | I/O O O I/O O I/O I I O | 通用输入/输出 31 CAN-A 发送 ePWM-9 输出 B SPI-B 从器件输出，主器件输入 (SOMI) 或 QSPI 模式的第一位数据 输出 X-BAR 输出 8 eQEP-1 索引 SDFM-1 通道 4 时钟输入 FSIRX-A 可选附加数据输入 EMIF 外部接口读取，不是写入选通；读/写信号线，高电平时，表明读操作正在进行；低电平时，表明写操作正在进行 |

| 信号名称 | 多路复用器位置 | 176 | 引脚类型 | 说明 |
|-------------|----------------|-----|------|---|
| GPIO32 | 0 · 4 · 8 · 12 | | I/O | 通用输入/输出 32 |
| I2CA_SDA | 1 | | I/OD | I2C-A 开漏双向数据 |
| SPIB_CLK | 3 | | I/O | SPI-B 时钟 |
| EPWM8_B | 5 | 102 | O | ePWM-8 输出 B |
| LINA_TX | 6 | | O | LIN-A 发送 |
| SD1_D3 | 7 | | I | SDFM-1 通道 3 数据输入 |
| FSIRXA_D0 | 9 | | I | FSIRX-A 主数据输入 |
| CANA_TX | 10 | | O | CAN-A 发送 |
| XHOLD | 14 | | I | 外部保持请求 XHOLD, 当为低电平时, 表明有外部设备请求EMIF释放其总线 |
| GPIO33 | 0 · 4 · 8 · 12 | | I/O | 通用输入/输出 33 |
| I2CA_SCL | 1 | | I/OD | I2C-A 开漏双向时钟 |
| SPIB_STE | 3 | | I/O | SPI-B 器件使能 (STE) |
| OUTPUTXBAR4 | 5 | 91 | O | 输出 X-BAR 输出 4 |
| LINA_RX | 6 | | I | LIN-A 接收 |
| SD1_C3 | 7 | | I | SDFM-1 通道 3 时钟输入 |
| FSIRXA_CLK | 9 | | I | FSIRX-A 输入时钟 |
| CANA_RX | 10 | | I | CAN-A 接收 |
| XHOLDA | 14 | | O | 当 EMIF 已经准予一个 XHOLD 请求时, XHOLDA 被驱动至有效(低电平)。所有 EMIF 总线和选通脉冲将处于高阻抗状态。当 XHOLD 信号被释放时, XHOLDA 被释放。当 XHOLDA 为有效(低电平)时, 外部器件应该只驱动外部总线。 |
| GPIO34 | 0 · 4 · 8 · 12 | | I/O | 通用输入/输出 34 |
| OUTPUTXBAR1 | 1 | 170 | O | 输出 X-BAR 输出 1 |
| SPIB_D3 | 2 | | I/O | SPI-B QSPI模式的第四位数据 |
| CAN0_STBY | 3 | | O | CANA STBY 输出 |
| PMBUSA_SDA | 6 | | I/OD | PMBus-A 开漏双向数据 |
| XREADY | 14 | | I | 外部接口就绪信号。当为高电平时, 表明外部设备已完成此次访问的相关操作, EMIF可结束此次访问. |
| SOE | 15 | | O | EMIF同步访问模式的输出使能 |
| GPIO35 | 0 · 4 · 8 · 12 | | I/O | 通用输入/输出 35 |
| SCIA_RX | 1 | | I | SCI-A 接收数据 |
| I2CA_SDA | 3 | | I/OD | I2C-A 开漏双向数据 |
| CANA_RX | 5 | | I | CAN-A 接收 |
| PMBUSA_SCL | 6 | | I/OD | PMBus-A 开漏双向时钟 |
| LINA_RX | 7 | 101 | I | LIN-A 接收 |
| EQEP1_A | 9 | | I | eQEP-1 输入 A |
| PMBUSA_CTL | 10 | | I | PMBus-A 控制信号 |
| XHOLD | 14 | | I | 外部保持请求 XHOLD, 当为低电平时, 表明有外部设备请求EMIF释放其总线 |
| TDI | 15 | | I | JTAG数据输入。 |



| 信号名称 | 多路复用器位置 | 176 | 引脚类型 | 说明 |
|--|---|-----|--|--|
| GPIO37 OUTPUTXBAR2 SPIA_D3 I2CA_SCL SCIA_TX CANA_TX LINA_TX EQEP1_B PMBUSA_ALERT XHOLDA TDO | 0 · 4 · 8 · 12 1 2 3 5 6 7 9 10 14 15 | 99 | I/O O I/O I/O O O O I I/O O O | 通用输入/输出 37 输出 X-BAR 输出 2 SPI-A QSPI模式的第四位数据 I2C-A 开漏双向时钟 SCI-A 发送数据 CAN-A 发送 LIN-A 发送 eQEP-1 输入 B PMBus-A 开漏双向警报信号 当 EMIF 已经准予一个 XHOLD 请求时，XHOLDA 被驱动至有效（低电平）。所有 EMIF 总线和选通脉冲将处于高阻抗状态。当 XHOLD 信号被释放时，XHOLDA 被释放。当 XHOLD 为有效（低电平）时，外部器件应该只驱动外部总线。 JTAG数据输出。 |
| GPIO39 EPWM10_A CANB_RX FSIRXA_CLK EM1DQM1 | 0 · 4 · 8 · 12 2 6 7 14 | 167 | I/O O I I O | 通用输入/输出 39 EPWM10_A CAN-B 接收 FSIRX-A 输入时钟 EMIF同步访问模式的字节使能信号，低电平有效 |
| GPIO40 CAN0_STBY EPWM10_B PMBUSA_SDA FSIRXA_D0 SCIB_TX EQEP1_A EM1DQM2 | 0 · 4 · 8 · 12 1 2 6 7 9 10 14 | 142 | I/O O O I/O I O I O | 通用输入/输出 40 CANA STBY 输出 ePWM-10 输出 B PMBus-A 开漏双向数据 FSIRX-A 主数据输入 SCI-B 发送数据 eQEP-1 输入 A EMIF同步访问模式的字节使能信号，低电平有效 |
| GPIO41 SPIA_CLK SCIB_TX CANA_RX EPWM6_A I2CA_SCL SD1_D2 EQEP2_A PMBUSA_CTL XCLKOUT XREADY SOE | 0 · 4 · 8 · 12 1 2 3 5 6 7 9 10 11 14 15 | 86 | I/O I/O O I I/O I I I I O I O | 通用输入/输出 41 SPI-A 时钟 SCI-B 发送数据 CAN-A 接收 ePWM-6 输出 A I2C-A 开漏双向时钟 SDFM-1 通道 2 数据入 eQEP-2 输入 A PMBus-A 控制信号 外部时钟输出。此引脚从器件中输出所选时钟信号的分频版本。 外部接口就绪信号。当为高电平时，表明外部设备已完成此次访问的相关操作，EMIF可结束此次访问。 EMIF同步访问模式的输出使能 |
| GPIO42 EQEP1_STROBE SCIB_TX SPIB_CLK SD1_D4 | 0、4、8、12 1 3 6 7 | 85 | I/O I/O O I/O I | 通用输入/输出 42 eQEP-1 选通 SCI-B 发送数据 SPI-B 时钟 |

| | | | | |
|---------------|---------|--|--------|--|
| LINA_TX_XHOLD | 9 14 | | O I | SDFM-1 通道 4 数据输入 LIN-A 发送 外部保持请求 XHOLD, 当为低电平时, 表明有外部设备请求EMIF释放其总线 |
| GPIO43 | 0 | | I/O | 通用输入/输出 43 |
| GPIO44 | 0 | | I/O | 通用输入/输出 44 |
| GPIO45 | 0 | | I/O | 通用输入/输出 45 |
| GPIO46 | 0 | | I/O | 通用输入/输出 46 |
| GPIO47 | 0 | | I/O | 通用输入/输出 47 |
| GPIO48 | 0 | | I/O | 通用输入/输出 48 |
| GPIO49 | 0 | | I/O | 通用输入/输出 49 |
| GPIO50 | 0 | | I/O | 通用输入/输出 50 |
| GPIO51 | 0 | | I/O | 通用输入/输出 51 |
| GPIO52 | 0 | | I/O | 通用输入/输出 52 |
| GPIO53 | 0 | | I/O | 通用输入/输出 53 |
| GPIO54 | 0 | | I/O | 通用输入/输出 54 |
| GPIO55 | 0 | | I/O | 通用输入/输出 55 |



| 信号名称 | 多路复用器位置 | 176 | 引脚类型 | 说明 |
|----------------------|----------------|-----|------|---|
| GPIO56 | 0 · 4 · 8 · 12 | | I/O | 通用输入/输出 56 |
| SPIA_CLK | 1 | | I/O | SPI-A 时钟 |
| EPWM11_A | 2 | | O | ePWM-11 输出 A |
| EQEP2_STROBE | 5 | | I/O | eQEP-2 选通 |
| SCIB_TX | 6 | | O | SCI-B 发送数据 |
| SD1_D3 | 7 | | I | SDFM-1 通道 3 数据输入 |
| SPIB_SIMO(QSPI_B_D0) | 9 | | I/O | SPI-B 从器件输入 · 主器件输出 (SIMO)或 QSPI模式的第四位数据 |
| EQEP1_A | 11 | | I | eQEP-1 输入 A |
| EM1WE | 14 | | O | EMIF同步访问模式的写使能 |
| GPIO57 | 0 · 4 · 8 · 12 | | I/O | 通用输入/输出 57 |
| SPIA_STE | 1 | | I/O | SPI-A 器件使能 (STE) |
| EPWM11_B | 2 | | O | ePWM-11 输出 B |
| EQEP2_INDEX | 5 | | I/O | eQEP-2 索引 |
| SCIB_RX | 6 | | I | SCI-B 接收数据 |
| SD1_C3 | 7 | | I | SDFM-1 通道 3 时钟输入 |
| SPIB_SOMI(QSPI_B_D1) | 9 | | I/O | SPI-B 从器件输出 · 主器件输入 (SOMI)或 QSPI模式的第二位数据 |
| EQEP1_B | 11 | | I | eQEP-1 输入 B |
| SADS/SRE | 14 | | O | EMIF同步访问模式的地址选通或读使能 |
| GPIO58 | 0 · 4 · 8 · 12 | | I/O | 通用输入/输出 58 |
| EPWM12_A | 2 | | O | ePWM-12 输出 A |
| OUTPUTXBAR1 | 5 | | O | 输出 X-BAR 输出 1 |
| SPIB_CLK | 6 | | I/O | SPI-B 时钟 |
| SD1_D4 | 7 | | I | SDFM-1 通道 4 数据输入 |
| LINA_TX | 9 | | O | LIN-A 发送 |
| CANB_TX | 10 | | O | CAN-B 发送 |
| EQEP1_STROBE | 11 | | O | eQEP-1 选通 |
| XREADY | 14 | | I/O | 外部接口就绪信号。当为高电平时，表明外部设备已完成此次访问的相关操作，EMIF可结束此次访问。 |
| GPIO59 | 0 · 4 · 8 · 12 | | I/O | 通用输入/输出 59 |
| EPWM12_B | 2 | | O | ePWM-12 输出 B |
| OUTPUTXBAR2 | 5 | | O | 输出 X-BAR 输出 2 |
| SPIB_STE | 6 | | I/O | SPI-B 器件使能 (STE) |
| SD1_C4 | 7 | | I | SDFM-1 通道 4 时钟输入 |
| LINA_RX | 9 | | I | LIN-A 接收 |
| CANB_RX | 10 | | I | CAN-B 接收 |
| EQEP1_INDEX | 11 | | I | eQEP-1 索引 |
| XHOLD | 14 | | I/O | 外部保持请求 XHOLD,当为低电平时，表明有外部设备请求EMIF释放其总线放其总线 |

| | | | | |
|----------------|---------------------|-----|------------|-----------------------------------|
| GPIO60 XD0 | 0 · 4 · 8 · 12 1 | 152 | I/O I/O | 通用输入/输出 60 EMIF的双向的数据总线的第一位数据 |
| GPIO61 XD1 | 0 · 4 · 8 · 12 1 | 150 | I/O I/O | 通用输入/输出 61 EMIF的双向的数据总线的第二位数据 |
| GPIO62 XD2 | 0 · 4 · 8 · 12 1 | 149 | I/O I/O | 通用输入/输出 62 EMIF的双向的数据总线的第三位数据 |
| GPIO63 XD3 | 0 · 4 · 8 · 12 1 | 148 | I/O I/O | 通用输入/输出 63 EMIF的双向的数据总线的第四位数据 |
| GPIO64 XD4 | 0 · 4 · 8 · 12 1 | 147 | I/O I/O | 通用输入/输出 64 EMIF的双向的数据总线的第五位数据 |
| GPIO65 XD5 | 0 · 4 · 8 · 12 1 | 146 | I/O I/O | 通用输入/输出 65 EMIF的双向的数据总线的第六位数据 |
| GPIO66 XD6 | 0 · 4 · 8 · 12 1 | 144 | I/O I/O | 通用输入/输出 66 EMIF的双向的数据总线的第七位数据 |
| GPIO67 XD7 | 0 · 4 · 8 · 12 1 | 143 | I/O I/O | 通用输入/输出 67 EMIF的双向的数据总线的第八位数据 |
| GPIO68 XD8 | 0 · 4 · 8 · 12 1 | 129 | I/O I/O | 通用输入/输出 68 EMIF的双向的数据总线的第九位数据 |
| GPIO69 XD9 | 0 · 4 · 8 · 12 1 | 128 | I/O I/O | 通用输入/输出 69 EMIF的双向的数据总线的第十位数据 |
| GPIO70 XD10 | 0 · 4 · 8 · 12 1 | 127 | I/O I/O | 通用输入/输出 70 EMIF的双向的数据总线的第十一位数据 |
| GPIO71 XD11 | 0 · 4 · 8 · 12 1 | 126 | I/O I/O | 通用输入/输出 71 EMIF的双向的数据总线的第十二位数据 |
| GPIO72 XD12 | 0 · 4 · 8 · 12 1 | 124 | I/O I/O | 通用输入/输出 72 EMIF的双向的数据总线的第十三位数据 |
| GPIO73 XD13 | 0 · 4 · 8 · 12 1 | 123 | I/O I/O | 通用输入/输出 73 EMIF的双向的数据总线的第十四位数据 |
| GPIO74 XD14 | 0 · 4 · 8 · 12 1 | 122 | I/O I/O | 通用输入/输出 74 EMIF的双向的数据总线的第十五位数据 |
| GPIO75 XD15 | 0 · 4 · 8 · 12 1 | 121 | I/O I/O | 通用输入/输出 75 EMIF的双向的数据总线的第十六位数据 |
| GPIO76 XD16 | 0 · 4 · 8 · 12 1 | 119 | I/O I/O | 通用输入/输出 76 EMIF的双向的数据总线的第十七位数据 |

| | | | | |
|----------------|---------------------|-----|------------|------------------------------------|
| GPIO77 XD17 | 0 · 4 · 8 · 12 1 | 118 | I/O I/O | 通用输入/输出 77 EMIF的双向的数据总线的第十八位数据 |
| GPIO78 XD18 | 0 · 4 · 8 · 12 1 | 117 | I/O I/O | 通用输入/输出 78 EMIF的双向的数据总线的第十九位数据 |
| GPIO79 XD19 | 0 · 4 · 8 · 12 1 | 116 | I/O I/O | 通用输入/输出 79 EMIF的双向的数据总线的第二十位数据 |
| GPIO80 XD20 | 0 · 4 · 8 · 12 1 | 114 | I/O I/O | 通用输入/输出 80 EMIF的双向的数据总线的第二十一位数据 |
| GPIO81 XD21 | 0 · 4 · 8 · 12 1 | 113 | I/O I/O | 通用输入/输出 81 EMIF的双向的数据总线的第二十二位数据 |
| GPIO82 XD22 | 0 · 4 · 8 · 12 1 | 112 | I/O I/O | 通用输入/输出 82 EMIF的双向的数据总线的第二十三位数据 |
| GPIO83 XD23 | 0 · 4 · 8 · 12 1 | 111 | I/O I/O | 通用输入/输出 83 EMIF的双向的数据总线的第二十四位数据 |
| GPIO84 XD24 | 0 · 4 · 8 · 12 1 | 110 | I/O I/O | 通用输入/输出 84 EMIF的双向的数据总线的第二十五位数据 |
| GPIO85 XD25 | 0 · 4 · 8 · 12 1 | 5 | I/O I/O | 通用输入/输出 85 EMIF的双向的数据总线的第二十六位数据 |
| GPIO86 XD26 | 0 · 4 · 8 · 12 1 | 6 | I/O I/O | 通用输入/输出 86 EMIF的双向的数据总线的第二十七位数据 |
| GPIO87 XD27 | 0 · 4 · 8 · 12 1 | 7 | I/O I/O | 通用输入/输出 87 EMIF的双向的数据总线的第二十八位数据 |
| GPIO88 XD28 | 0 · 4 · 8 · 12 1 | 8 | I/O I/O | 通用输入/输出 88 EMIF的双向的数据总线的第二十九位数据 |
| GPIO89 XD29 | 0 · 4 · 8 · 12 1 | 10 | I/O I/O | 通用输入/输出 89 双EMIF的向的数据总线的第三十位数据 |
| GPIO90 XD30 | 0 · 4 · 8 · 12 1 | 11 | I/O I/O | 通用输入/输出 90 EMIF的双向的数据总线的第三十一数据 |
| GPIO91 XD31 | 0 · 4 · 8 · 12 1 | 12 | I/O I/O | 通用输入/输出 91 EMIF的双向的数据总线的第三十二位数据 |
| GPIO92 XA1 | 0 · 4 · 8 · 12 1 | 15 | I/O O | 通用输入/输出 92 EMIF的地址总线 |
| GPIO93 XA2 | 0 · 4 · 8 · 12 1 | 16 | I/O O | 通用输入/输出 93 EMIF的地址总线 |

| | | | | |
|---------------------|---------------------|----|----------|--|
| GPIO94 XA3 | 0 · 4 · 8 · 12 1 | 17 | I/O O | 通用输入/输出 94 EMIF的地址总线 |
| GPIO95 XA4 | 0 · 4 · 8 · 12 1 | 18 | I/O O | 通用输入/输出 95 EMIF的地址总线 |
| GPIO96 XA5 | 0 · 4 · 8 · 12 1 | 19 | I/O O | 通用输入/输出 96 EMIF的地址总线 |
| GPIO97 XA6 | 0 · 4 · 8 · 12 1 | 67 | I/O O | 通用输入/输出 97 EMIF的地址总线 |
| GPIO98 XA7 | 0 · 4 · 8 · 12 1 | 68 | I/O O | 通用输入/输出 98 EMIF的地址总线 |
| GPIO99 XA8 | 0 · 4 · 8 · 12 1 | 69 | I/O O | 通用输入/输出 99 EMIF的地址总线 |
| GPIO100 XA9 | 0 · 4 · 8 · 12 1 | 70 | I/O O | 通用输入/输出 100 EMIF的地址总线 |
| GPIO101 XA10 | 0 · 4 · 8 · 12 1 | 71 | I/O O | 通用输入/输出 101 EMIF的地址总线 |
| GPIO102 XA11 | 0 · 4 · 8 · 12 1 | 73 | I/O O | 通用输入/输出 102 EMIF的地址总线 |
| GPIO103 XA12 | 0 · 4 · 8 · 12 1 | 74 | I/O O | 通用输入/输出 103 EMIF的地址总线 |
| GPIO104 XA13 | 0 · 4 · 8 · 12 1 | 75 | I/O O | 通用输入/输出 104 EMIF的地址总线 |
| GPIO105 XA14 | 0 · 4 · 8 · 12 1 | 76 | I/O O | 通用输入/输出 105 EMIF的地址总线 |
| GPIO106 XA15 | 0 · 4 · 8 · 12 1 | 77 | I/O O | 通用输入/输出 106 EMIF的地址总线 |
| GPIO107 XA16 | 0 · 4 · 8 · 12 1 | 79 | I/O O | 通用输入/输出 107 EMIF的地址总线 |
| GPIO108 XA17 | 0 · 4 · 8 · 12 1 | 80 | I/O O | 通用输入/输出 108 EMIF的地址总线 |
| GPIO109 XA18 | 0 · 4 · 8 · 12 1 | 81 | I/O O | 通用输入/输出 109 EMIF的地址总线 |
| GPIO110 XA19 | 0 · 4 · 8 · 12 1 | 82 | I/O O | 通用输入/输出 110 EMIF的地址总线 |
| GPIO111 XA0/XWE1 | 0 · 4 · 8 · 12 1 | 13 | I/O O | 通用输入/输出 111 在EMIF的16位数据总线模式下，作为地址线的最低位XA0 |

| | | | | |
|-----------------------------|--------------------------|-----|---------------|--|
| | | | | 在EMIF的32位数据总线模式下，作为低字节的写操作的选通线 XWE1 |
| GPIO112 XZCS0 | 0 · 4 · 8 · 12 1 | 153 | I/O O | 通用输入/输出 112 EMIF外部接口区域 0 芯片选择 |
| GPIO113 XZCS6 | 0 · 4 · 8 · 12 1 | 154 | I/O O | 通用输入/输出 113 EMIF外部接口区域 6 芯片选择 |
| GPIO114 XZCS7 | 0 · 4 · 8 · 12 1 | 155 | I/O O | 通用输入/输出 114 EMIF外部接口区域 7 芯片选择 |
| GPIO115 EM1DQM0 | 0 · 4 · 8 · 12 1 | 156 | I/O O | 通用输入/输出 115 EMIF同步访问模式的字节使能信号，低电平有效，只有相应的字节通道有效时，字节使能有效 |
| GPIO116 EM1DQM1 | 0 · 4 · 8 · 12 1 | 158 | I/O O | 通用输入/输出 116 EMIF同步访问模式的字节使能信号，低电平有效 |
| GPIO117 EM1DQM2 | 0 · 4 · 8 · 12 1 | 159 | I/O O | 通用输入/输出 117 EMIF同步访问模式的字节使能信号，低电平有效 |
| GPIO118 EM1DQM3 | 0 · 4 · 8 · 12 1 | 160 | I/O O | 通用输入/输出 118 EMIF同步访问模式的字节使能信号，低电平有效 |
| GPIO119 XWE0 EM1WE | 0 · 4 · 8 · 12 1 2 | 161 | I/O O O | 通用输入/输出 119 EMIF外部接口写入选通，写操作的选通线，低电平有效 EMIF同步访问模式的写使能 |
| GPIO120 XR/W SADS/SRE | 0 · 4 · 8 · 12 1 2 | 162 | I/O O O | 通用输入/输出 120 EMIF外部接口读取，不是写入选通；读/写信号线，高电平时，表明读操作正在进行；低电平时，表明写操作正在进行 EMIF同步访问模式的地址选通或读使能 |
| EMIF_CLKOUT | | 84 | O | EMIF的时钟输出 |
| EMIF_XRD | | 83 | O | EMIF的异步访问模式的读使能 |
| test_mode | | 87 | I/O | 测试引脚。必须保持未连接状态。 |
| TCK | | 98 | I | JTAG时钟。 |
| TMS | | 100 | I/O | JTAG模式选择。 |
| VREGENZ | | 130 | I | 具有内部下拉电阻的内部稳压器使能。直接连接到 VSS (低电平) 以启用内部 VREG。直接连接到 VDDIO (高电平) 以使用外部电源。 |
| | | | | |
| | | | | |

| 信号名称 | 多路复用器位置 | 176 | 引脚类型 | 说明 |
|----------|---------|--|------|---|
| X1 | | 107 | I/O | 晶体振荡器或单端时钟输入。器件初始化软件必须在启用晶体振荡器之前配置该引脚。为了使用此振荡器，必须将一个石英晶体电路连接至 X1 和 X2。此引脚也可用于馈入单端 3.3V 电平时钟。不支持 GPIO19。 |
| XRSn | | 2 | I/OD | 器件复位（输入）和看门狗复位（输出）。在上电条件下，此引脚由器件驱动为低电平。外部电路也可能驱动此引脚以使器件复位生效。发生看门狗复位时，此引脚也由 MCU 驱动为低电平。在看门狗复位期间，XRSn 引脚在 512 个 OSCCLK 周期的看门狗复位持续时间内被驱动为低电平。应在 XRSn 和 VDDIO 之间放置一个阻值为 2.2kΩ 至 10kΩ 的电阻。如果在 XRSn 和 VSS 之间放置一个电容器进行噪声滤除，则该电容器的容值应为 100nF 或更小。当看门狗复位生效时，这些值允许看门狗在 512 个 OSCCLK 周期内正确地将 XRSn 引脚驱动至 VOL。这个引脚的输出缓冲器是一个有内部上拉电阻的开漏。如果此引脚由外部器件驱动，则应使用开漏器件进行驱动。如果此引脚由外部器件驱动，则应使用开漏器件进行驱动。 |
| VDD | | 4 65 109 163 | | 1.2V 数字逻辑电源引脚。建议在每个 VDD 引脚与 VSS 之间一个最小总电容值约为 4.7μF 的去耦电容器。当不使用内部稳压器时，去耦电容的确切值应由您的系统电压调节解决方案来确定。 |
| VDDA | | 30 53 | | 3.3V 模拟电源引脚。在每个引脚上放置一个最小值为 4.7μF 且连接至 VSSA 的去耦电容器。且该引脚接 6000H@100MHz 磁珠到 3.3V。 |
| VDDIO | | 3 9 14 20 64 66 72 78 108 115 120 125 145 151 157 164 | | 3.3V 数字 I/O 电源引脚。在每个引脚上放置一个最小值为 0.1μF 的去耦电容器。 |
| VDDIO_SW | | 137 | | 内部直流/直流稳压器的 3.3V 电源引脚。如果使用内部直流/直流稳压器，则应在该引脚上放置一个 4.7 μF 的大容量输入电容。务必将该引脚连接至 VDDIO 引脚。如果需要，可以使用铁氧体磁珠进行隔离，但 VDDIO_SW 和 VDDIO 必须由同一电源供电。 |
| VSS | | | | 数字接地 |
| VSSA | | 31 52 | | 模拟接地 |
| VSS_SW | | 139 | | 内部直流/直流稳压器接地。务必将该引脚连接至 VSS 引脚。 |
| DVDD | | | | 1.2V 数字供电，与片外 VDD 端口连在一起，并接 0.1uF 去耦电容。 |
| AVDDHV | | | | 模拟 3.3V 供电，接 4.7uF 电容到 GND，接 6000H@100MHz 磁珠到 3.3V。 |
| AGND | | | | 模拟地。 |

| | | | | |
|-----|--|--|--|------|
| GND | | | | 数字地。 |
|-----|--|--|--|------|

- (1) 当DCDCEN = 1 时, AMSEL 寄存器中的相应位为无关位。



4.3 信号描述

4.3.1 模拟信号

表 4-2. 模拟信号

| 信号名称 | 说明 | 引脚类型 | GPIO | 176 |
|--------|------------------|------|------|-----|
| A0 | ADC-A 输入 0 | I | | 42 |
| A1 | ADC-A 输入 1 | I | | 41 |
| A2 | ADC-A 输入 2 | I | | 28 |
| A3 | ADC-A 输入 3 | I | | 29 |
| A4 | ADC-A 输入 4 | I | | 55 |
| A5 | ADC-A 输入 5 | I | | 54 |
| A6 | ADC-A 输入 6 | I | | 25 |
| A8 | ADC-A 输入 8 | I | | 56 |
| A9 | ADC-A 输入 9 | I | | 57 |
| A10 | ADC-A 输入 10 | I | | 59 |
| AIO224 | ADC 引脚上的数字输入 224 | I | | 28 |
| AIO225 | ADC 引脚上的数字输入 225 | I | | 55 |
| AIO226 | ADC 引脚上的数字输入 226 | I | | 26 |
| AIO227 | ADC 引脚上的数字输入 227 | I | | 58 |
| AIO228 | ADC 引脚上的数字输入 228 | I | | 25 |
| AIO229 | ADC 引脚上的数字输入 229 | I | | 56 |
| AIO230 | ADC 引脚上的数字输入 230 | I | | 59 |
| AIO231 | ADC 引脚上的数字输入 231 | I | | 42 |
| AIO232 | ADC 引脚上的数字输入 232 | I | | 41 |
| AIO233 | ADC 引脚上的数字输入 233 | I | | 29 |
| AIO234 | ADC 引脚上的数字输入 234 | I | | 54 |
| AIO236 | ADC 引脚上的数字输入 236 | I | | 57 |
| AIO237 | ADC 引脚上的数字输入 237 | I | | 38 |
| AIO238 | ADC 引脚上的数字输入 238 | I | | 48 |
| AIO239 | ADC 引脚上的数字输入 239 | I | | 36 |
| AIO240 | ADC 引脚上的数字输入 240 | I | | 47 |
| AIO241 | ADC 引脚上的数字输入 241 | I | | 60 |
| AIO242 | ADC 引脚上的数字输入 242 | I | | 27 |
| AIO244 | ADC 引脚上的数字输入 244 | I | | 40 |
| AIO245 | ADC 引脚上的数字输入 245 | I | | 50 |
| AIO246 | ADC 引脚上的数字输入 246 | I | | 63 |
| B0 | ADC-B 输入 0 | I | | 60 |
| B1 | ADC-B 输入 1 | I | | 59 |
| B2 | ADC-B 输入 2 | I | | 26 |
| B3 | ADC-B 输入 3 | I | | 27 |
| B4 | ADC-B 输入 4 | I | | 58 |
| B6 | ADC-B 输入 6 | I | | 28 |
| B8 | ADC-B 输入 8 | I | | 55 |
| B15 | ADC-B 输入 15 | I | | 42 |

| 信号名称 | 说明 | 引脚类型 | GPIO | 176 |
|----------|---------------------|------|------|-----|
| C0 | ADC-C 输入 0 | I | | 38 |
| C1 | ADC-C 输入 1 | I | | 48 |
| C2 | ADC-C 输入 2 | I | | 40 |
| C3 | ADC-C 输入 3 | I | | 50 |
| C4 | ADC-C 输入 4 | I | | 36 |
| C5 | ADC-C 输入 5 | I | | 47 |
| C6 | ADC-C 输入 6 | I | | 26 |
| C8 | ADC-C 输入 8 | I | | 58 |
| C10 | ADC-C 输入 10 | I | | 59 |
| C14 | ADC-C 输入 14 | I | | 63 |
| C15 | ADC-C 输入 15 | I | | 42 |
| CMP1_HN0 | CMPSS-1 高电平比较器负输入 0 | I | | 29 |
| CMP1_HN1 | CMPSS-1 高电平比较器负输入 1 | I | | 38 |
| CMP1_HP0 | CMPSS-1 高电平比较器正输入 0 | I | | 28 |
| CMP1_HP1 | CMPSS-1 高电平比较器正输入 1 | I | | 38 |
| CMP1_HP2 | CMPSS-1 高电平比较器正输入 2 | I | | 37 |
| CMP1_HP3 | CMPSS-1 高电平比较器正输入 3 | I | | 29 |
| CMP1_LN0 | CMPSS-1 低电平比较器负输入 0 | I | | 29 |
| CMP1_LN1 | CMPSS-1 低电平比较器负输入 1 | I | | 38 |
| CMP1_LP0 | CMPSS-1 低电平比较器正输入 0 | I | | 28 |
| CMP1_LP1 | CMPSS-1 低电平比较器正输入 1 | I | | 38 |
| CMP1_LP2 | CMPSS-1 低电平比较器正输入 2 | I | | 37 |
| CMP1_LP3 | CMPSS-1 低电平比较器正输入 3 | I | | 29 |
| CMP2_HN0 | CMPSS-2 高电平比较器负输入 0 | I | | 54 |
| CMP2_HN1 | CMPSS-2 高电平比较器负输入 1 | I | | 48 |
| CMP2_HP0 | CMPSS-2 高电平比较器正输入 0 | I | | 55 |
| CMP2_HP1 | CMPSS-2 高电平比较器正输入 1 | I | | 48 |
| CMP2_HP2 | CMPSS-2 高电平比较器正输入 2 | I | | 49 |
| CMP2_HP3 | CMPSS-2 高电平比较器正输入 3 | I | | 54 |
| CMP2_LN0 | CMPSS-2 低电平比较器负输入 0 | I | | 54 |
| CMP2_LN1 | CMPSS-2 低电平比较器负输入 1 | I | | 48 |
| CMP2_LP0 | CMPSS-2 低电平比较器正输入 0 | I | | 55 |
| CMP2_LP1 | CMPSS-2 低电平比较器正输入 1 | I | | 29 |
| CMP2_LP2 | CMPSS-2 低电平比较器正输入 2 | I | | 49 |
| CMP2_LP3 | CMPSS-2 低电平比较器正输入 3 | I | | 54 |
| CMP3_HN0 | CMPSS-3 高电平比较器负输入 0 | I | | 27 |
| CMP3_HN1 | CMPSS-3 高电平比较器负输入 1 | I | | 40 |
| CMP3_HP0 | CMPSS-3 高电平比较器正输入 0 | I | | 26 |
| CMP3_HP1 | CMPSS-3 高电平比较器正输入 1 | I | | 40 |
| CMP3_HP2 | CMPSS-3 高电平比较器正输入 2 | I | | 39 |
| CMP3_HP3 | CMPSS-3 高电平比较器正输入 3 | I | | 27 |
| CMP3_LN0 | CMPSS-3 低电平比较器负输入 0 | I | | 27 |

| 信号名称 | 说明 | 引脚类型 | GPIO | 176 |
|----------|---------------------|------|------|-----|
| CMP3_LN1 | CMPSS-3 低电平比较器负输入 1 | I | | 40 |
| CMP3_LP0 | CMPSS-3 低电平比较器正输入 0 | I | | 26 |
| CMP3_LP1 | CMPSS-3 低电平比较器正输入 1 | I | | 40 |
| CMP3_LP2 | CMPSS-3 低电平比较器正输入 2 | I | | 39 |
| CMP3_LP3 | CMPSS-3 低电平比较器正输入 3 | I | | 27 |
| CMP4_HN1 | CMPSS-4 高电平比较器负输入 1 | I | | 50 |
| CMP4_HP0 | CMPSS-4 高电平比较器正输入 0 | I | | 58 |
| CMP4_HP1 | CMPSS-4 高电平比较器正输入 1 | I | | 50 |
| CMP4_HP2 | CMPSS-4 高电平比较器正输入 2 | I | | 50 |
| CMP4_LN1 | CMPSS-4 低电平比较器负输入 1 | I | | 50 |
| CMP4_LP0 | CMPSS-4 低电平比较器正输入 0 | I | | 58 |
| CMP4_LP1 | CMPSS-4 低电平比较器正输入 1 | I | | 50 |
| CMP4_LP2 | CMPSS-4 低电平比较器正输入 2 | I | | 50 |
| CMP5_HN1 | CMPSS-5 高电平比较器负输入 1 | I | | 36 |
| CMP5_HP0 | CMPSS-5 高电平比较器正输入 0 | I | | 25 |
| CMP5_HP1 | CMPSS-5 高电平比较器正输入 1 | I | | 36 |
| CMP5_HP2 | CMPSS-5 高电平比较器正输入 2 | I | | 35 |
| CMP5_LN1 | CMPSS-5 低电平比较器负输入 1 | I | | 36 |
| CMP5_LP0 | CMPSS-5 低电平比较器正输入 0 | I | | 25 |
| CMP5_LP1 | CMPSS-5 低电平比较器正输入 1 | I | | 36 |
| CMP5_LP2 | CMPSS-5 低电平比较器正输入 2 | I | | 35 |
| CMP6_HN0 | CMPSS-6 高电平比较器负输入 0 | I | | 57 |
| CMP6_HN1 | CMPSS-6 高电平比较器负输入 1 | I | | 47 |
| CMP6_HP0 | CMPSS-6 高电平比较器正输入 0 | I | | 56 |
| CMP6_HP1 | CMPSS-6 高电平比较器正输入 1 | I | | 47 |
| CMP6_HP2 | CMPSS-6 高电平比较器正输入 2 | I | | 47 |
| CMP6_HP3 | CMPSS-6 高电平比较器正输入 3 | I | | 57 |
| CMP6_LN0 | CMPSS-6 低电平比较器负输入 0 | I | | 57 |
| CMP6_LN1 | CMPSS-6 低电平比较器负输入 1 | I | | 47 |
| CMP6_LP0 | CMPSS-6 低电平比较器正输入 0 | I | | 56 |
| CMP6_LP1 | CMPSS-6 低电平比较器正输入 1 | I | | 47 |
| CMP6_LP2 | CMPSS-6 低电平比较器正输入 2 | I | | 47 |
| CMP6_LP3 | CMPSS-6 低电平比较器正输入 3 | I | | 57 |
| CMP7_HN0 | CMPSS-7 高电平比较器负输入 0 | I | | 60 |
| CMP7_HN1 | CMPSS-7 高电平比较器负输入 1 | I | | 63 |
| CMP7_HP0 | CMPSS-7 高电平比较器正输入 0 | I | | 59 |
| CMP7_HP1 | CMPSS-7 高电平比较器正输入 1 | I | | 63 |
| CMP7_HP2 | CMPSS-7 高电平比较器正输入 2 | I | | 62 |
| CMP7_HP3 | CMPSS-7 高电平比较器正输入 3 | I | | 60 |
| CMP7_LN0 | CMPSS-7 低电平比较器负输入 0 | I | | 60 |
| CMP7_LN1 | CMPSS-7 低电平比较器负输入 1 | I | | 63 |
| CMP7_LP0 | CMPSS-7 低电平比较器正输入 0 | I | | 59 |

| 信号名称 | 说明 | 引脚类型 | GPIO | 176 |
|----------|--|------|------|-----|
| CMP7_LP1 | CMPSS-7 低电平比较器正输入 1 | I | | 63 |
| CMP7_LP2 | CMPSS-7 低电平比较器正输入 2 | I | | 62 |
| CMP7_LP3 | CMPSS-7 低电平比较器正输入 3 | I | | 60 |
| DACA_OUT | 缓冲 DAC-A 输出 | O | | 42 |
| DACB_OUT | 缓冲 DAC-B 输出 | O | | 41 |
| PGA1_GND | PGA-1 地 | I | | 33 |
| PGA1_IN | PGA-1 输入 | I | | 37 |
| PGA1_OF | PGA-1 输出滤波器 (可选) | O | | 28 |
| PGA2_GND | PGA-2 地 | I | | 51 |
| PGA2_IN | PGA-2 输入 | I | | 49 |
| PGA2_OF | PGA-2 输出滤波器 (可选) | O | | 55 |
| PGA3_GND | PGA-3 地 | I | | 34 |
| PGA3_IN | PGA-3 输入 | I | | 39 |
| PGA3_OF | PGA-3 输出滤波器 (可选) | O | | 26 |
| PGA4_GND | PGA-4 地 | I | | 51 |
| PGA4_IN | PGA-4 输入 | I | | 50 |
| PGA4_OF | PGA-4 输出滤波器 (可选) | O | | 58 |
| PGA5_GND | PGA-5 地 | I | | 32 |
| PGA5_IN | PGA-5 输入 | I | | 35 |
| PGA5_OF | PGA-5 输出滤波器 (可选) | O | | 25 |
| PGA6_GND | PGA-6 地 | I | | 51 |
| PGA6_IN | PGA-6 输入 | I | | 47 |
| PGA6_OF | PGA-6 输出滤波器 (可选) | O | | 56 |
| PGA7_GND | PGA-7 地 | I | | 61 |
| PGA7_IN | PGA-7 输入 | I | | 62 |
| PGA7_OF | PGA-7 输出滤波器 (可选) | O | | 59 |
| VDAC | 片上 DAC 的可选外部基准电压。无论是用于 ADC 输入还是 DAC 基准，此引脚上有一个连接至 VSSA 且无法禁用的 100pF 电容器。如果将此引脚用作片上 DAC 的基准，请在此引脚上放置至少一个 1μF 电容器。 | I | | 27 |
| VREFHIA | ADC-A 高基准电压。在外部基准模式下，从外部驱动这个引脚上的高基准电压。在内部基准模式下，电压由器件驱动到该引脚。在任一模式下，在此引脚上放置至少一个 2.2μF 电容器。此电容器应放置在 VREFHIA 和 VREFLOA 引脚之间 尽可能靠近器件的位置。不要在内部或外部基准模式下从外部加载此引脚。 | I/O | | 44 |
| VREFHIB | ADC-B 高基准电压。在外部基准模式下，从外部驱动这个引脚上的高基准电压。在内部基准模式下，电压由器件驱动到该引脚。在任一模式下，在此引脚上放置至少一个 2.2μF 电容器。此电容器应放置在 VREFHIB 和 VREFLOB 引脚之间 尽可能靠近器件的位置。不要在内部或外部基准模式下从外部加载此引脚。 | I/O | | 43 |

| 信号名称 | 说明 | 引脚类型 | GPIO | 176 |
|---------|--|------|------|-----|
| VREFHIC | ADC-C 高基准电压。在外部基准模式下，从外部驱动这个引脚上的高基准电压。在内部基准模式下，电压由器件驱动到该引脚。在任一模式下，在此引脚上放置至少一个 $2.2\mu F$ 电容器。此电容器应放置在 VREFHIC 和 VREFLOC 引脚之间。 尽可能靠近器件的位置。不要在内部或外部基准模式下从外部加载此引脚。 | I/O | | 43 |
| VREFLOA | ADC-A 低基准电压 | I | | 46 |
| VREFLOB | ADC-B 低基准电压 | I | | 45 |
| VREFLOC | ADC-C 低基准电压 | I | | 45 |



4.3.2 数字信号

表 4-3.数字信号

| 信号名称 | 说明 | 引脚类型 | GPIO | 176 |
|-----------|------------------------------------|------|---------------------------------|--------------------------------------|
| ADCSOCAO | 外部 ADC (来自 ePWM 模块) 的ADC 转换启动 A 输出 | O | 8 | 131 |
| ADCSOCBO | 外部 ADC (来自 ePWM 模块) 的ADC 转换启动 B 输出 | O | 10 | 169 |
| CANA_RX | CAN-A 接收 | I | 5 30 33 35 41 | 165 174 91 101 86 |
| CANA_TX | CAN-A 发送 | O | 4 31 32 37 | 132 175 102 99 |
| CAN0_STBY | CAN-A stby 输出 | O | 26 34 40 | 96 170 142 |
| CANB_RX | CAN-B 接收 | I | 7 10 13 17 39 59 | 141 169 88 93 167 168 |
| CANB_TX | CAN-B 发送 | O | 6 8 12 16 58 | 173 131 89 92 105 |
| CAN1_STBY | CAN-B stby 输出 | O | 27 28 29 | 97 1 176 |
| EPWM1_A | ePWM-1 输出 A | O | 0 | 136 |
| EPWM1_B | ePWM-1 输出 B | O | 1 | 135 |
| EPWM2_A | ePWM-2 输出 A | O | 2 | 134 |
| EPWM2_B | ePWM-2 输出 B | O | 3 | 133 |
| EPWM3_A | ePWM-3 输出 A | O | 4 | 132 |
| EPWM3_B | ePWM-3 输出 B | O | 5 | 165 |
| EPWM4_A | ePWM-4 输出 A | O | 6 | 173 |
| EPWM4_B | ePWM-4 输出 B | O | 7 | 141 |
| EPWM5_A | ePWM-5 输出 A | O | 8 16 | 131 92 |
| EPWM5_B | ePWM-5 输出 B | O | 9 17 | 166 93 |
| EPWM6_A | ePWM-6 输出 A | O | 10 41 | 169 86 |
| EPWM6_B | ePWM-6 输出 B | O | 11 | 90 |
| EPWM7_A | ePWM-7 输出 A | O | 12 28 | 89 1 |
| EPWM7_B | ePWM-7 输出 B | O | 13 29 | 88 176 |
| EPWM8_A | ePWM-8 输出 A | O | 14 24 | 172 94 |
| EPWM8_B | ePWM-8 输出 B | O | 15 32 | 171 102 |
| EPWM9_A | ePWM-9 输出 A | O | 30 | 174 |
| EPWM9_B | ePWM-9 输出 B | O | 31 | 175 |

| | | | | |
|----------|--------------|---|----|-----|
| EPWM10_A | ePWM-10 输出 A | O | 39 | 167 |
| EPWM10_B | ePWM-10 输出 B | O | 40 | 142 |
| EPWM11_A | ePWM-11 输出 A | O | 56 | 103 |
| EPWM11_B | ePWM-11 输出 B | O | 57 | 104 |
| EPWM12_A | ePWM-12 输出 A | O | 58 | 105 |
| EPWM12_B | ePWM-12 输出 B | O | 59 | 168 |
| EQEP1_A | eQEP-1 输入 A | I | 6 | 173 |
| | | | 10 | 169 |
| | | | 28 | 1 |
| | | | 35 | 101 |
| | | | 40 | 142 |
| | | | 56 | 103 |
| EQEP1_B | eQEP-1 输入 B | I | 7 | 141 |
| | | | 11 | 90 |
| | | | 29 | 176 |
| | | | 37 | 99 |
| | | | 57 | 104 |



| 信号名称 | 说明 | 引脚类型 | GPIO | 176 |
|--------------|--|------|---------------------------|-------------------------------|
| EQEP1_INDEX | eQEP-1 索引 | I/O | 9 13 17 31 59 | 166 88 93 175 168 |
| EQEP1_STROBE | eQEP-1 选通 | I/O | 8 12 16 30 58 | 131 89 92 174 105 |
| EQEP2_A | eQEP-2 输入 A | I | 14 24 41 | 172 94 86 |
| EQEP2_B | eQEP-2 输入 B | I | 15 25 | 171 95 |
| EQEP2_INDEX | eQEP-2 索引 | I/O | 26 29 57 | 96 176 104 |
| EQEP2_STROBE | eQEP-2 选通 | I/O | 27 28 56 | 97 1 103 |
| ERRORSTS | 低电平有效错误状态输出。如果您希望在上电期间或在 ERRORSTS 信号本身发生故障期间将错误状态置为有效，则可以使用外部下拉电阻器。如果您不希望在上述条件下将错误状态置为有效，则可以使用上拉电阻器。 | O | 24 28 29 | 94 1 176 |
| FSIRXA_CLK | FSIRX-A 输入时钟 | I | 4 13 33 39 | 132 88 91 167 |
| FSIRXA_D0 | FSIRX-A 主数据输入 | I | 3 12 32 40 | 133 89 102 142 |
| FSIRXA_D1 | FSIRX-A 可选附加数据输入 | I | 2 11 31 | 134 90 175 |
| FSITXA_CLK | FSITX-A 输出时钟 | O | 7 10 27 | 141 169 97 |
| FSITXA_D0 | FSITX-A 主数据输出 | O | 6 9 26 | 173 166 96 |
| FSITXA_D1 | FSITX-A 可选附加数据输出 | O | 5 8 25 | 165 131 95 |
| GPIO0 | 通用输入/输出 0 | I/O | 0 | 136 |
| GPIO1 | 通用输入/输出 1 | I/O | 1 | 135 |
| GPIO2 | 通用输入/输出 2 | I/O | 2 | 134 |
| GPIO3 | 通用输入/输出 3 | I/O | 3 | 133 |
| GPIO4 | 通用输入/输出 4 | I/O | 4 | 132 |
| GPIO5 | 通用输入/输出 5 | I/O | 5 | 165 |
| GPIO6 | 通用输入/输出 6 | I/O | 6 | 173 |
| GPIO7 | 通用输入/输出 7 | I/O | 7 | 141 |
| GPIO8 | 通用输入/输出 8 | I/O | 8 | 131 |
| GPIO9 | 通用输入/输出 9 | I/O | 9 | 166 |

| | | O | | |
|--------|------------|---------|----|-----|
| GPIO10 | 通用输入/输出 10 | I/ O | 10 | 169 |
| GPIO11 | 通用输入/输出 11 | I/ O | 11 | 90 |
| GPIO12 | 通用输入/输出 12 | I/ O | 12 | 89 |
| GPIO13 | 通用输入/输出 13 | I/ O | 13 | 88 |

| 信号名称 | 说明 | 引脚类型 | GPIO | 176 |
|--------|-------------|------|------|-----|
| GPIO14 | 通用输入/输出 14 | I/O | 14 | 172 |
| GPIO15 | 通用输入/输出 15 | I/O | 15 | 171 |
| GPIO16 | 通用输入/输出 16 | I/O | 16 | 92 |
| GPIO17 | 通用输入/输出 17 | I/O | 17 | 93 |
| GPIO18 | 通用输入/输出 18。 | | | |
| GPIO20 | 通用输入/输出 20 | I/O | | |
| GPIO21 | 通用输入/输出 21 | I/O | | |
| GPIO22 | 通用输入/输出 22。 | I/O | | |
| GPIO23 | 通用输入/输出 23。 | I/O | | |
| GPIO24 | 通用输入/输出 24 | I/O | 24 | 94 |
| GPIO25 | 通用输入/输出 25 | I/O | 25 | 95 |
| GPIO26 | 通用输入/输出 26 | I/O | 26 | 96 |
| GPIO27 | 通用输入/输出 27 | I/O | 27 | 97 |
| GPIO28 | 通用输入/输出 28 | I/O | 28 | 1 |
| GPIO29 | 通用输入/输出 29 | I/O | 29 | 176 |
| GPIO30 | 通用输入/输出 30 | I/O | 30 | 174 |
| GPIO31 | 通用输入/输出 31 | I/O | 31 | 175 |
| GPIO32 | 通用输入/输出 32 | I/O | 32 | 102 |
| GPIO33 | 通用输入/输出 33 | I/O | 33 | 91 |
| GPIO34 | 通用输入/输出 34 | I/O | 34 | 170 |
| GPIO35 | 通用输入/输出 35 | I/O | 35 | 101 |
| GPIO37 | 通用输入/输出 37 | I/O | 37 | 99 |
| GPIO39 | 通用输入/输出 39 | I/O | 39 | 167 |
| GPIO40 | 通用输入/输出 40 | I/O | 40 | 142 |
| GPIO41 | 通用输入/输出 41 | I/O | 41 | 86 |
| GPIO42 | 通用输入/输出 42 | I/O | 42 | 85 |
| GPIO43 | 通用输入/输出 43 | I/O | 43 | |
| GPIO44 | 通用输入/输出 44 | I/O | 44 | |
| GPIO45 | 通用输入/输出 45 | I/O | 45 | |
| GPIO46 | 通用输入/输出 46 | I/O | 46 | |
| GPIO47 | 通用输入/输出 47 | I/O | 47 | |
| GPIO48 | 通用输入/输出 48 | I/O | 48 | |
| GPIO49 | 通用输入/输出 49 | I/O | 49 | |

| | | | | |
|--------|------------|-----|----|--|
| GPIO50 | 通用输入/输出 50 | I/O | 50 | |
|--------|------------|-----|----|--|

| 信号名称 | 说明 | 引脚类型 | GPIO | 176 |
|--------|------------|------|------|-----|
| GPIO51 | 通用输入/输出 51 | I/O | 51 | |
| GPIO52 | 通用输入/输出 52 | I/O | 52 | |
| GPIO53 | 通用输入/输出 53 | I/O | 53 | |
| GPIO54 | 通用输入/输出 54 | I/O | 54 | |
| GPIO55 | 通用输入/输出 55 | I/O | 55 | |
| GPIO56 | 通用输入/输出 56 | I/O | 56 | 103 |
| GPIO57 | 通用输入/输出 57 | I/O | 57 | 104 |
| GPIO58 | 通用输入/输出 58 | I/O | 58 | 105 |
| GPIO59 | 通用输入/输出 59 | I/O | 59 | 168 |
| GPIO60 | 通用输入/输出 60 | I/O | 60 | 152 |
| GPIO61 | 通用输入/输出 61 | I/O | 61 | 150 |
| GPIO62 | 通用输入/输出 62 | I/O | 62 | 149 |
| GPIO63 | 通用输入/输出 63 | I/O | 63 | 148 |
| GPIO64 | 通用输入/输出 64 | I/O | 64 | 147 |
| GPIO65 | 通用输入/输出 65 | I/O | 65 | 146 |
| GPIO66 | 通用输入/输出 66 | I/O | 66 | 144 |
| GPIO67 | 通用输入/输出 67 | I/O | 67 | 143 |
| GPIO68 | 通用输入/输出 68 | I/O | 68 | 129 |
| GPIO69 | 通用输入/输出 69 | I/O | 69 | 128 |
| GPIO70 | 通用输入/输出 70 | I/O | 70 | 127 |
| GPIO71 | 通用输入/输出 71 | I/O | 71 | 126 |
| GPIO72 | 通用输入/输出 72 | I/O | 72 | 124 |
| GPIO73 | 通用输入/输出 73 | I/O | 73 | 123 |
| GPIO74 | 通用输入/输出 74 | I/O | 74 | 122 |
| GPIO75 | 通用输入/输出 75 | I/O | 75 | 121 |
| GPIO76 | 通用输入/输出 76 | I/O | 76 | 119 |
| GPIO77 | 通用输入/输出 77 | I/O | 77 | 118 |
| GPIO78 | 通用输入/输出 78 | I/O | 78 | 117 |
| GPIO79 | 通用输入/输出 7 | I/O | 79 | 116 |
| GPIO80 | 通用输入/输出 80 | I/O | 80 | 114 |
| GPIO81 | 通用输入/输出 81 | I/O | 81 | 113 |
| GPIO82 | 通用输入/输出 82 | I/O | 82 | 112 |
| GPIO83 | 通用输入/输出 83 | I/O | 83 | 111 |
| GPIO84 | 通用输入/输出 84 | I/O | 84 | 110 |
| GPIO85 | 通用输入/输出 85 | I/O | 85 | 5 |
| GPIO86 | 通用输入/输出 86 | I/O | 86 | 6 |
| GPIO87 | 通用输入/输出 87 | I/O | 87 | 7 |
| GPIO88 | 通用输入/输出 88 | I/O | 88 | 8 |
| GPIO89 | 通用输入/输出 89 | I/O | 89 | 10 |
| GPIO90 | 通用输入/输出 90 | I/O | 90 | 11 |
| GPIO91 | 通用输入/输出 91 | I/O | 91 | 12 |
| GPIO92 | 通用输入/输出 92 | I/O | 92 | 15 |

| | | | | |
|-------------|---------------|----------|--------------------------------|------------------------------------|
| GPIO93 | 通用输入/输出 93 | I/O | 93 | 16 |
| GPIO94 | 通用输入/输出 94 | I/O | 94 | 17 |
| GPIO95 | 通用输入/输出 95 | I/O | 95 | 18 |
| GPIO96 | 通用输入/输出 96 | I/O | 96 | 19 |
| GPIO97 | 通用输入/输出 97 | I/O | 97 | 67 |
| GPIO98 | 通用输入/输出 98 | I/O | 98 | 68 |
| GPIO99 | 通用输入/输出 99 | I/O | 99 | 69 |
| GPIO100 | 通用输入/输出 100 | I/O | 100 | 70 |
| GPIO101 | 通用输入/输出 101 | I/O | 101 | 71 |
| GPIO102 | 通用输入/输出 102 | I/O | 102 | 73 |
| GPIO103 | 通用输入/输出 103 | I/O | 103 | 74 |
| GPIO104 | 通用输入/输出 104 | I/O | 104 | 75 |
| GPIO105 | 通用输入/输出 105 | I/O | 105 | 76 |
| GPIO106 | 通用输入/输出 106 | I/O | 106 | 77 |
| GPIO107 | 通用输入/输出 107 | I/O | 107 | 79 |
| GPIO108 | 通用输入/输出 108 | I/O | 108 | 80 |
| GPIO109 | 通用输入/输出 109 | I/O | 109 | 81 |
| GPIO110 | 通用输入/输出 110 | I/O | 110 | 82 |
| GPIO111 | 通用输入/输出 111 | I/O | 111 | 13 |
| GPIO112 | 通用输入/输出 112 | I/O | 112 | 153 |
| GPIO113 | 通用输入/输出 113 | I/O | 113 | 154 |
| GPIO114 | 通用输入/输出 114 | I/O | 114 | 155 |
| GPIO115 | 通用输入/输出 115 | I/O | 115 | 156 |
| GPIO116 | 通用输入/输出 116 | I/O | 116 | 158 |
| GPIO117 | 通用输入/输出 117 | I/O | 117 | 159 |
| GPIO118 | 通用输入/输出 118 | I/O | 118 | 160 |
| GPIO119 | 通用输入/输出 119 | I/O | 119 | 161 |
| GPIO120 | 通用输入/输出 120 | I/O | 120 | 162 |
| I2CA_SCL | I2C-A 开漏双向时钟 | I/O D | 1 8 27 33 37 41 | 135 131 97 91 99 86 |
| I2CA_SDA | I2C-A 开漏双向数据 | I/O D | 0 10 26 32 35 | 136 169 96 102 101 |
| LINA_RX | LIN-A 接收 | I | 29 33 35 59 | 176 91 101 168 |
| LINA_TX | LIN-A 发送 | O | 28 32 37 58 | 1 102 99 105 |
| OUTPUTXBAR1 | 输出 X-BAR 输出 1 | O | 2 24 34 58 | 134 94 170 105 |
| OUTPUTXBAR2 | 输出 X-BAR 输出 2 | O | 3 25 37 59 | 133 95 99 168 |

| | | | | |
|--------------|------------------|----------|---------------------|-------------------------|
| OUTPUTXBAR3 | 输出 X-BAR 输出 3 | O | 4 5 14 26 | 132 165 172 96 |
| OUTPUTXBAR4 | 输出 X-BAR 输出 4 | O | 6 15 27 33 | 173 171 97 91 |
| OUTPUTXBAR5 | 输出 X-BAR 输出 5 | O | 7 28 | 141 1 |
| OUTPUTXBAR6 | 输出 X-BAR 输出 6 | O | 9 29 | 166 176 |
| OUTPUTXBAR7 | 输出 X-BAR 输出 7 | O | 11 16 30 | 90 92 174 |
| OUTPUTXBAR8 | 输出 X-BAR 输出 8 | O | 17 31 | 93 175 |
| PMBUSA_ALERT | PMBus-A 开漏双向警报信号 | I/O D | 13 27 37 | 88 97 99 |
| PMBUSA_CTL | PMBus-A 控制信号 | I | 12 26 35 | 89 96 101 |

| 信号名称 | 说明 | 引脚类型 | GPIO | 176 |
|------------|------------------|----------|---------------------------------------|---|
| PMBUSA_SCL | PMBus-A 开漏双向时钟 | I/O D | 3 15 16 24 35 41 | 133 171 92 94 101 86 |
| PMBUSA_SDA | PMBus-A 开漏双向数据 | I/O D | 2 14 17 25 34 40 | 134 172 93 95 170 142 |
| SCIA_RX | SCI-A 接收数据 | I | 3 9 17 25 28 35 | 133 166 93 95 1 101 |
| SCIA_TX | SCI-A 发送数据 | O | 2 8 16 24 29 37 | 134 131 92 94 176 99 |
| SCIB_RX | SCI-B 接收数据 | I | 11 13 15 57 | 90 88 171 104 |
| SCIB_TX | SCI-B 发送数据 | O | 9 10 12 14 40 41 56 | 166 169 89 172 142 86 103 |
| SD1_C1 | SDFM-1 通道 1 时钟输入 | I | 17 25 | 93 95 |

| | | | | |
|---------------------|---|-----|----------------------------|------------------------------|
| SD1_C2 | SDFM-1 通道 2 时钟输入 | I | 27 | 97 |
| SD1_C3 | SDFM-1 通道 3 时钟输入 | I | 29 33 57 | 176 91 104 |
| SD1_C4 | SDFM-1 通道 4 时钟输入 | I | 31 59 | 175 168 |
| SD1_D1 | SDFM-1 通道 1 数据输入 | I | 16 24 | 92 94 |
| SD1_D2 | SDFM-1 通道 2 数据输入 | I | 26 41 | 96 86 |
| SD1_D3 | SDFM-1 通道 3 数据输入 | I | 28 32 56 | 1 102 103 |
| SD1_D4 | SDFM-1 通道 4 数据输入 | I | 30 58 | 174 105 |
| SPIA_CLK | SPI-A 时钟 | I/O | 3 9 41 56 | 133 166 86 103 |
| SPIA_SIMO(QSPIA_D0) | SPI-A 从器件输入 · 主器件输出 (SIMO)或 QSPI模式的第一位数据SPI-A data[0] | I/O | 8 16 | 131 92 |
| SPIA_SOMI(QSPIA_D1) | SPI-A 从器件输出 · 主器件输入 (SOMI)或 QSPI模式的第二位数据SPI-A data[1] | I/O | 10 17 | 169 93 |
| SPIA_STE | SPI-A 器件使能 (STE) | I/O | 5 11 57 | 165 90 104 |
| SPIA_D2 | QSPI模式的第三位数据SPI-A data[2] | I/O | 0 1 | 136 135 |
| SPIA_D3 | QSPI模式的第四位数据SPI-A data[3] | I/O | 4 37 | 132 99 |
| SPIB_CLK | SPI-B 时钟 | I/O | 14 26 28 32 58 | 172 96 1 102 105 |

| 信号名称 | 说明 | 引脚类型 | GPIO | 176 |
|---------------------|--|---------|----------------------------|-------------------------------|
| SPIB_SIMO(QSPIB_D0) | SPI-B 从器件输入 · 主器件输出 (SIMO))或 QSPI模式的第一位数据SPI-B data[0] | I/ O | 7 24 30 56 | 141 94 174 103 |
| SPIB_SOMI(QSPIB_D1) | SPI-B 从器件输出 · 主器件输入 (SOMI))或 QSPI模式的第二位数据SPI-B data[1] | I/ O | 6 25 31 57 | 173 95 175 104 |
| SPIB_STE | SPI-B 器件使能 (STE) | I/ O | 15 27 29 33 59 | 171 97 176 91 168 |
| SPIB_D2 | QSPI模式的第三位数据SPI-B data[2] | I/ O | 12 13 | 89 88 |
| SPIB_D3 | QSPI模式的第四位数据SPI-B data[3] | I/ O | 15 34 | 171 170 |

| | | | | |
|----------|--|---------|---------------------------------------|--|
| XWE0 | EMIF外部接口写入使能;写操作的选通线,低电平有效 | O | 0 30 119 | 136 174 161 |
| XR/W | EMIF外部接口读取,不是写入选通;读/写信号线,高电平时,表明读操作正在进行;低电平时,表明写操作正在进行 | O | 1 31 120 | 135 175 162 |
| XZCS0 | EMIF外部接口区域 0 芯片选择 | O | 2 11 112 | 134 90 153 |
| XZCS6 | EMIF外部接口区域 6 芯片选择 | O | 3 12 113 | 133 89 154 |
| XZCS7 | EMIF外部接口区域 7 芯片选择 | O | 4 13 114 | 132 88 155 |
| XHOLDA | 当 EMIF 已经准予一个 XHOLD 请求时,XHOLDA 被驱动至有效(低电平)。所有 EMIF 总线和选通脉冲将处于高阻抗状态。当 XHOLD 信号被释放时, XHOLDA 被释放。当 XHOLDA 为有效(低电平)时, 外部器件应该只驱动外部总线。 | O | 5 14 16 25 28 33 37 | 165 172 92 95 1 91 99 |
| XREADY | 外部接口就绪信号。当为高电平时,表明外部设备已完成此次访问的相关操作, EMIF 可结束此次访问。 | I | 6 17 26 29 34 41 58 | 173 93 96 176 170 86 105 |
| XHOLD | 外部保持请求 XHOLD,当为低电平时,表明有外部设备请求EMIF释放其总线 | I | 7 24 27 32 35 42 59 | 141 94 97 102 101 85 168 |
| SOE | EMIF同步访问模式的输出使能 | O | 10 17 26 29 34 41 | 169 93 96 176 170 86 |
| EM1DQM0 | EMIF同步访问模式的字节使能信号,低电平有效,只有相应的字节通道有效时,字节使能有效 | O | 8 15 115 | 131 171 156 |
| EM1DQM1 | EMIF同步访问模式的字节使能信号,低电平有效,只有相应的字节通道有效时,字节使能有效 | O | 39 116 | 167 158 |
| EM1DQM2 | EMIF同步访问模式的字节使能信号,低电平有效,只有相应的字节通道有效时,字节使能有效 | O | 40 117 | 142 159 |
| EM1DQM3 | EMIF同步访问模式的字节使能信号,低电平有效,只有相应的字节通道有效时,字节使能有效 | O | 9 118 | 166 160 |
| EM1WE | EMIF同步访问模式的写使能 | O | 56 119 | 103 161 |
| SADS/SRE | EMIF同步访问模式的地址选通或读使能 | O | 57 120 | 104 162 |
| XA0/XWE1 | 在EMIF的16位数据总线模式下,作为地址线的最低位XA0 在EMIF的32位数据总线模式下,作为低字节的写操作的选通线XWE1 | O | 111 | 13 |
| XD0 | EMIF的双向的数据总线,在16位模式下只使用XD[15:0] | I/ O | 60 | 152 |
| XD1 | EMIF的双向的数据总线,在16位模式下只使用XD[15:0] | I/ O | 61 | 150 |
| XD2 | EMIF的双向的数据总线,在16位模式下只使用XD[15:0] | I/ O | 62 | 149 |
| XD3 | EMIF的双向的数据总线,在16位模式下只使用XD[15:0] | I/ O | 63 | 148 |

| | | | | |
|------|---------------------------------|---------|----|-----|
| XD4 | EMIF的双向的数据总线，在16位模式下只使用XD[15:0] | I/ O | 64 | 147 |
| XD5 | EMIF的双向的数据总线，在16位模式下只使用XD[15:0] | I/ O | 65 | 146 |
| XD6 | EMIF的双向的数据总线，在16位模式下只使用XD[15:0] | I/ O | 66 | 144 |
| XD7 | EMIF的双向的数据总线，在16位模式下只使用XD[15:0] | I/ O | 67 | 143 |
| XD8 | EMIF的双向的数据总线，在16位模式下只使用XD[15:0] | I/ O | 68 | 129 |
| XD9 | EMIF的双向的数据总线，在16位模式下只使用XD[15:0] | I/ O | 69 | 128 |
| XD10 | EMIF的双向的数据总线，在16位模式下只使用XD[15:0] | I/ O | 70 | 127 |
| XD11 | EMIF的双向的数据总线，在16位模式下只使用XD[15:0] | I/ O | 71 | 126 |
| XD12 | EMIF的双向的数据总线，在16位模式下只使用XD[15:0] | I/ O | 72 | 124 |
| XD13 | EMIF的双向的数据总线，在16位模式下只使用XD[15:0] | I/ O | 73 | 123 |
| XD14 | EMIF的双向的数据总线，在16位模式下只使用XD[15:0] | I/ O | 74 | 122 |
| XD15 | EMIF的双向的数据总线，在16位模式下只使用XD[15:0] | I/ O | 75 | 121 |
| XD16 | EMIF的双向的数据总线，在16位模式下只使用XD[15:0] | I/ O | 76 | 119 |
| XD17 | EMIF的双向的数据总线，在16位模式下只使用XD[15:0] | I/ O | 77 | 118 |
| XD18 | EMIF的双向的数据总线，在16位模式下只使用XD[15:0] | I/ O | 78 | 117 |
| XD19 | EMIF的双向的数据总线，在16位模式下只使用XD[15:0] | I/ O | 79 | 116 |
| XD20 | EMIF的双向的数据总线，在16位模式下只使用XD[15:0] | I/ O | 80 | 114 |
| XD21 | EMIF的双向的数据总线，在16位模式下只使用XD[15:0] | I/ O | 81 | 113 |
| XD22 | EMIF的双向的数据总线，在16位模式下只使用XD[15:0] | I/ O | 82 | 112 |
| XD23 | EMIF的双向的数据总线，在16位模式下只使用XD[15:0] | I/ O | 83 | 111 |
| XD24 | EMIF的双向的数据总线，在16位模式下只使用XD[15:0] | I/ O | 84 | 110 |
| XD25 | EMIF的双向的数据总线，在16位模式下只使用XD[15:0] | I/ O | 85 | 5 |
| XD26 | EMIF的双向的数据总线，在16位模式下只使用XD[15:0] | I/ O | 86 | 6 |
| XD27 | EMIF的双向的数据总线，在16位模式下只使用XD[15:0] | I/ O | 87 | 7 |
| XD28 | EMIF的双向的数据总线，在16位模式下只使用XD[15:0] | I/ O | 88 | 8 |
| XD29 | EMIF的双向的数据总线，在16位模式下只使用XD[15:0] | I/ O | 89 | 10 |
| XD30 | EMIF的双向的数据总线，在16位模式下只使用XD[15:0] | I/ O | 90 | 11 |
| XD31 | EMIF的双向的数据总线，在16位模式下只使用XD[15:0] | I/ O | 91 | 12 |
| XA1 | EMIF的地址总线第1位 | O | 92 | 15 |
| XA2 | EMIF的地址总线第2位 | O | 93 | 16 |
| XA3 | EMIF的地址总线第3位 | O | 94 | 17 |
| XA4 | EMIF的地址总线第4位 | O | 95 | 18 |

| | | | | |
|-------------|---|---------|----------|----------|
| XA5 | EMIF的地址总线第5位 | O | 96 | 19 |
| XA6 | EMIF的地址总线第6位 | O | 97 | 67 |
| XA7 | EMIF的地址总线第7位 | O | 98 | 68 |
| XA8 | EMIF的地址总线第8位 | O | 99 | 69 |
| XA9 | EMIF的地址总线第9位 | O | 100 | 70 |
| XA10 | EMIF的地址总线第10位 | O | 101 | 71 |
| XA11 | EMIF的地址总线第11位 | O | 102 | 73 |
| XA12 | EMIF的地址总线第12位 | O | 103 | 74 |
| XA13 | EMIF的地址总线第13位 | O | 104 | 75 |
| XA14 | EMIF的地址总线第14位 | O | 105 | 76 |
| XA15 | EMIF的地址总线第15位 | O | 106 | 77 |
| XA16 | EMIF的地址总线第16位 | O | 107 | 79 |
| XA17 | EMIF的地址总线第17位 | O | 108 | 80 |
| XA18 | EMIF的地址总线第18位 | O | 109 | 81 |
| XA19 | EMIF的地址总线第19位 | O | 110 | 82 |
| SYNCOUT | 外部 ePWM 同步脉冲 | O | 6 | 173 |
| TDI | JTAG 数据输入。 | I | 35 | 101 |
| TDO | JTAG 数据输出。 | O | 37 | 99 |
| VFBSW | 内部线性稳压器输出信号，直流/直流稳压器反馈信号。如果使用内部直流/直流稳压器，请将此引脚连接到L (VSW) 与VDD之间的节点上（尽可能靠近芯片）。 | - | | 140 |
| VSW | 内部直流/直流稳压器的切换输出。 | - | | 138 |
| X2 | 晶振振荡器输出 | I/ O | | 106 |
| XCLKOUT | 外部时钟输出。此引脚从器件中输出所选时钟信号的分频版本。 | O | 16 41 | 92 86 |
| EMIF_CLKOUT | EMIF的时钟输出 | O | | 84 |
| EMIF_XRD | EMIF的异步访问模式的读使能 | O | | 83 |

4.3.3 电源与接地

表 4-4. 电源与接地

| 信号名称 | 说明 | 引脚类型 | 通用输入输出(GPIO) | 176 |
|----------|---|------|--------------|--|
| VDD | 1.2V 数字逻辑电源引脚。建议在每个 VDD 引脚与VSS之间一个最小总电容值约为 4.7 μ F 的去耦电容器。当不使用内部稳压器时，去耦电容的确切值应由您的系统电压调节解决方案来确定。 | | | 4 65 109 163 |
| VDDA | 3.3V 模拟电源引脚。在每个引脚上放置一个最小值为 4.7 μ F且连接至 VSSA 的去耦电容器。且该引脚接 600oh@100MHz 磁珠到3.3V。 | | | 30 53 |
| VDDIO | 3.3V 数字 I/O 电源引脚。在每个引脚上放置一个最小值为 0.1 μ F 的去耦电容器。 | | | 3 9 14 20 64 66 72 78 108 115 120 125 145 151 157 164 |
| VDDIO_SW | 内部直流/直流稳压器的 3.3V 电源引脚。如果使用内部直流/直流稳压器，则应在该引脚上放置一个 4.7 μ F 的大容量输入电容。务必将该引脚连接至 VDDIO 引脚。如果需要，可以使用铁氧体磁珠进行隔离，但 VDDIO_SW 和 VDDIO 必须由同一电源供电。 | | | 137 |
| VSS | 数字接地 | | | |
| VSSA | 模拟接地 | | | 31 52 |
| VSS_SW | 内部直流/直流稳压器接地。务必将该引脚连接至 VSS 引脚。 | | | 139 |
| GND | 数字地。 | | | 21 |
| AGND | 模拟地。 | | | 23 |
| DVDD | 1.2V数字供电，与片外VDD端口连在一起，并接 0.1uF去耦电容。 | | | 22 |
| AVDDHV | 模拟3.3V供电，接4.7uF电容到GND，接 600oh@100MHz 磁珠到3.3V。 | | | 24 |

4.3.4 测试,JTAG 与复位

表 4-5. 测试 JTAG 与复位

| 信号名称 | 说明 | 引脚类型 | 通用输入/输出 (GPIO) | 176 |
|---------|--|------|-------------------|------------|
| TCK | JTAG 时钟。 | I | | 98 |
| TMS | JTAG 模式选择。 | I/O | | 100 |
| VREGENZ | 具有内部下拉电阻的内部稳压器使能。直接连接到 VSS (低电平) 以启用内部 VREG。直接连接到 VDDIO (高电平) 以使用外部电源。 | I | | 130 |
| X1,X2 | 晶体振荡器或单端时钟输入。器件初始化软件必须在启用晶体振荡器之前配置该引脚。为了使用此振荡器，必须将一个石英晶体电路连接至 X1 和 X2。此引脚也可用于馈入单端 3.3V 电平时钟。不支持 GPIO19。 | I/O | | 107 106 |
| XRSn | 器件复位 (输入) 和看门狗复位 (输出)。在上电条件下，此引脚由器件驱动为低电平。外部电路也可能会驱动此引脚以使器件复位生效。发生看门狗复位时，此引脚也由 MCU 驱动为低电平。在看门狗复位期间，XRSn 引脚在 512 个 OSCCLK 周期内的看门狗复位持续时间内被驱动为低电平。应在 XRSn 和 VDDIO 之间放置一个阻值为 2.2kΩ 至 10kΩ 的电阻。如果在 XRSn 和 VSS 之间放置一个电容器进行噪声滤除，则该电容器的容值应为 100nF 或更小。当看门狗复位生效时，这些值允许看门狗在 512 个 OSCCLK 周期内正确地将 XRSn 引脚驱动至 VOL。这个引脚的输出缓冲器是一个有内部上拉电阻的开漏。如果此引脚由外部器件驱动，则应使用开漏器件进行驱动。如果此引脚由外部器件驱动，则应使用开漏器件进行驱动。 | I/O | | 2 |

4.4 GPIO

4.4.1 GPIO 复用引脚表

| 0, 4, 8 , 12 | 1 | 2 | 3 | 5 | 6 | 7 | 9 | 10 | 11 | 13 | 14 | 15 |
|-----------------|---------------------|---------------|--------------|--------------|--------------|---------------------|--------------|-------------|--------|----|---------|-----|
| GPIO0 | EPWM1A | QSPIA_D2 | | | I2CA_SDA | | | | | | XWE0 | |
| GPIO1 | EPWM1B | QSPIA_D2 | | | I2CA_SCL | | | | | | XR/W | |
| GPIO2 | EPWM2A | | | OUTPUT_XBAR1 | PMBUSA_SDA | | SCIA_TX | FSIRXA_D1 | | | XZCS0 | |
| GPIO3 | EPWM2B | OUTP_UT_XBAR2 | | OUTPUT_XBAR2 | PMBUSA_SCL | SPIA_CLK | SCIA_RX | FSIRXA_D0 | | | XZCS6 | |
| GPIO4 | EPWM3A | QSPIA_D3 | | OUTPUT_XBAR3 | CANA_TX | | | FSIRXA_C_LK | | | XZCS7 | |
| GPIO5 | EPWM3B | | OUTPUT_XBAR3 | | CANA_RX | SPIA_STE | FSITXA_D1 | | | | XHOLDA | |
| GPIO6 | EPWM4A | OUTPUT_XBAR4 | SYNCOUT | EQEP1_A | CANB_TX | SPIB_SOMI(QSPIB_D1) | FSITXA_D0 | | | | XREADY | |
| GPIO7 | EPWM4B | | OUTPUT_XBAR5 | EQEP1_B | CANB_RX | SPIB_SIMO(QSPIB_D0) | FSITXA_CLK | | | | XHOLD | |
| GPIO8 | EPWM5A | CANB_TX | ADCSOCDAO | EQEP1_STROBE | SCIA_TX | SPIA_SIMO(QSPIA_D0) | I2CA_SC | FSITXA_D1 | | | EM1DQM0 | |
| GPIO9 | EPWM5B | SCIB_TX | OUTPUT_XBAR6 | EQEP1_INDEX | SCIA_RX | SPIA_CLK | | FSITXA_D0 | | | EM1DQM3 | |
| GPIO10 | EPWM6A | CANB_RX | ADCSOCBO | EQEP1_A | SCIB_TX | SPIA_SOMI(QSPIA_D1) | I2CA_SD | FSITXA_CLK | | | SOE | |
| GPIO11 | EPWM6B | SCIB_RX | OUTPUT_XBAR7 | EQEP1_B | SCIB_RX | SPIA_STE | FSIRXA_D1 | | | | XZCS0 | |
| GPIO12 | EPWM7A | CANB_TX | QSPIB_D2 | EQEP1_STROBE | SCIB_TX | PMBUSA_CTL | FSIRXA_D0 | | | | XZCS6 | |
| GPIO13 | EPWM7B | CANB_RX | QSPIB_D2 | EQEP1_INDEX | SCIB_RX | PMBUSA_ALERT | FSIRXA_CLK | | | | XZCS7 | |
| GPIO14 | EPWM8A | SCIB_TX | | | OUTPUT_XBAR3 | PMBUSA_SDA | SPIB_CL | EQEP2_A | | | XHOLDA | |
| GPIO15 | EPWM8B | SCIB_RX | QSPIB_D3 | | OUTPUT_XBAR4 | PMBUSA_SCL | SPIB_ST | EQEP2_B | | | EM1DQM0 | |
| GPIO16 | SPIA_SIMO(QSPIA_D0) | CANB_TX | OUTPUT_XBAR7 | EPWM5_A | SCIA_TX | SD1_D1 | EQEP1_STROBE | PMBUSA_SCL | XCLKOU | | XHOLDA | |
| GPIO17 | SPIA_ | CANB_RX | OUTPUT_ | EPWM5_ | SCIA_RX | SD1_C1 | EQEP1_ | PMBUSA_ | | | XREADY | SOE |

| | | | | | | | | | | | | |
|----------------|------------------------|------------------|---------------------------------|----------------------|---------------------------------|----------|------------------|------------------|--------------|--------------|--------|-----|
| | SOMI (QSPIA_ D1) | | XBAR8 | B | | | INDEX | SDA | | | | |
| GPIO18 | | | | | | | | | | | | |
| GPIO20 | | | | | | | | | | | | |
| GPIO21 | | | | | | | | | | | | |
| GPIO22 | | | | | | | | | | | | |
| GPIO23_ VSW | | | | | | | | | | | | |
| GPIO24 | OUTPUT_ XBAR1 | EQEP2_A | | EPWM8_ A | SPIB_ SIMO (QSPIB_ D0) | SD1_D1 | | PMBUSA_ SCL | SCIA_T X | ERRORS TS | XHOLD | |
| GPIO25 | OUTPUT_ XBAR2 | EQEP2_B | | | SPIB_ SOMI (QSPIB_ D1) | SD1_C1 | FSITXA_ D1 | PMBUSA_ SDA | SCIA_R X | | XHOLDA | |
| GPIO26 | OUTPUT_ XBAR3 | EQEP2_ INDEX | CAN0_ STBY | OUTPUT — XBAR3 | SPIB_CLK | SD1_D2 | FSITXA_ D0 | PMBUSA_ CTL | I2CA_S DA | | XREADY | SOE |
| GPIO27 | OUTPUT_ XBAR4 | EQEP2_ STROBE | CAN1_ STBY | OUTPUT — XBAR4 | SPIB_STE | SD1_C2 | FSITXA_ CLK | PMBUSA_ ALERT | I2CA_S CL | | XHOLD | |
| GPIO28 | SCIA_RX | CAN1_ STBY | EPWM7_A | OUTPUT — XBAR5 | EQEP1_A | SD1_D3 | EQEP2_ STROBE | LINA_TX | SPIB_C LK | ERRORS TS | XHOLDA | |
| GPIO29 | SCIA_TX | CAN1_ STBY | EPWM7_B | OUTPUT — XBAR6 | EQEP1_B | SD1_C3 | EQEP2_ INDEX | LINA_RX | SPIB_S TE | ERRORS TS | XREADY | SOE |
| GPIO30 | CANA_RX | EPWM9A | SPIB_ SIMO (QSPIB_ D0) | OUTPUT — XBAR7 | EQEP1_ STROBE | SD1_D4 | | | | | XWE0 | |
| GPIO31 | CANA_TX | EPWM9B | SPIB_ SOMI (QSPIB_ D1) | OUTPUT — XBAR8 | EQEP1_ INDEX | SD1_C4 | FSIRXA_ D1 | | | | XR/W | |
| GPIO32 | I2CA_SDA | | SPIB_CLK | EPWM8_ B | LINA_TX | SD1_D3 | FSIRXA_ D0 | CANA_TX | | | XHOLD | |
| GPIO33 | I2CA_SCL | | SPIB_STE | OUTPUT — XBAR4 | LINA_RX | SD1_C3 | FSIRXA_ CLK | CANA_RX | | | XHOLDA | |
| GPIO34 | OUTPUT_ XBAR1 | QSPIB_D3 | CAN0_ STBY | | PMBUSA_ SDA | | | | | | XREADY | SOE |
| GPIO35 | SCIA_RX | | I2CA_SDA | CANA_R X | PMBUSA_ SCL | LINA_RX | EQEP1_A | PMBUSA_ CTL | | | XHOLD | TDI |
| GPIO37 | OUTPUT_ XBAR2 | QSPIA_D3 | I2CA_SCL | SCIA_T X | CANA_TX | LINA_TX | EQEP1_B | PMBUSA_ ALERT | | | XHOLDA | TDO |
| GPIO39 | | EPWM10A | | | CANB_RX | FSIRXA_C | | | | | EM1DQM | |

| | | | | | | | | | | | |
|--------|--------------|---------|---------|--------------|-----------|---------|--------------------|-------------|--------------|---------|----------|
| | | | | | LK | | | | | 1 | |
| GPI040 | CANO_STBY | EPWM10B | | PMBUSA_SDA | FSIRXA_D0 | SCIB_TX | EQEP1_A | | | EM1DQM2 | |
| GPI041 | SPIA_CLK | SCIB_TX | CANA_RX | EPWM6A | I2CA_SCL | SD1_D2 | EQEP2_A | PMBUSA_C_TL | XCLKOUT | XREADY | SOE |
| GPI042 | EQEP1_STROBE | | SCIB_TX | | SPIB_CLK | SD1_D4 | LINA_TX | | | XHOLD | |
| GPI043 | | | | | | | | | | | |
| GPI044 | | | | | | | | | | | |
| GPI045 | | | | | | | | | | | |
| GPI046 | | | | | | | | | | | |
| GPI047 | | | | | | | | | | | |
| GPI048 | | | | | | | | | | | |
| GPI049 | | | | | | | | | | | |
| GPI050 | | | | | | | | | | | |
| GPI051 | | | | | | | | | | | |
| GPI052 | | | | | | | | | | | |
| GPI053 | | | | | | | | | | | |
| GPI054 | | | | | | | | | | | |
| GPI055 | | | | | | | | | | | |
| GPI056 | SPIA_CLK | EPWM11A | | EQEP2_STROBE | SCIB_TX | SD1_D3 | SPIB_SIMO_QSPIB_D0 | | EQEP1_A | | EM1WE |
| GPI057 | SPIA_STE | EPWM11B | | EQEP2_INDEX | SCIB_RX | SD1_C3 | SPIB_SOMI_QSPIB_D1 | | EQEP1_B | | SADS/SRE |
| GPI058 | | EPWM12A | | OUTPUT_XBAR1 | SPIB_CLK | SD1_D4 | LINA_TX | CANB_TX | EQEP1_STROBE | | XREADY |
| GPI059 | | EPWM12B | | OUTPUT_XBAR2 | SPIB_STE | SD1_C4 | LINA_RX | CANB_RX | EQEP1_INDEX | | XHOLD |
| GPI060 | XD0 | | | | | | | | | | |
| GPI061 | XD1 | | | | | | | | | | |
| GPI062 | XD2 | | | | | | | | | | |
| GPI063 | XD3 | | | | | | | | | | |
| GPI064 | XD4 | | | | | | | | | | |
| GPI065 | XD5 | | | | | | | | | | |
| GPI066 | XD6 | | | | | | | | | | |
| GPI067 | XD7 | | | | | | | | | | |
| GPI068 | XD8 | | | | | | | | | | |
| GPI069 | XD9 | | | | | | | | | | |
| GPI070 | XD10 | | | | | | | | | | |
| GPI071 | XD11 | | | | | | | | | | |
| GPI072 | XD12 | | | | | | | | | | |

| | | | | | | | | | | | | |
|---------|----------|--|--|--|--|--|--|--|--|--|--|--|
| GPIO73 | XD13 | | | | | | | | | | | |
| GPIO74 | XD14 | | | | | | | | | | | |
| GPIO75 | XD15 | | | | | | | | | | | |
| GPIO76 | XD16 | | | | | | | | | | | |
| GPIO77 | XD17 | | | | | | | | | | | |
| GPIO78 | XD18 | | | | | | | | | | | |
| GPIO79 | XD19 | | | | | | | | | | | |
| GPIO80 | XD20 | | | | | | | | | | | |
| GPIO81 | XD21 | | | | | | | | | | | |
| GPIO82 | XD22 | | | | | | | | | | | |
| GPIO83 | XD23 | | | | | | | | | | | |
| GPIO84 | XD24 | | | | | | | | | | | |
| GPIO85 | XD25 | | | | | | | | | | | |
| GPIO86 | XD26 | | | | | | | | | | | |
| GPIO87 | XD27 | | | | | | | | | | | |
| GPIO88 | XD28 | | | | | | | | | | | |
| GPIO89 | XD29 | | | | | | | | | | | |
| GPIO90 | XD30 | | | | | | | | | | | |
| GPIO91 | XD31 | | | | | | | | | | | |
| GPIO92 | XA1 | | | | | | | | | | | |
| GPIO93 | XA2 | | | | | | | | | | | |
| GPIO94 | XA3 | | | | | | | | | | | |
| GPIO95 | XA4 | | | | | | | | | | | |
| GPIO96 | XA5 | | | | | | | | | | | |
| GPIO97 | XA6 | | | | | | | | | | | |
| GPIO98 | XA7 | | | | | | | | | | | |
| GPIO99 | XA8 | | | | | | | | | | | |
| GPIO100 | XA9 | | | | | | | | | | | |
| GPIO101 | XA10 | | | | | | | | | | | |
| GPIO102 | XA11 | | | | | | | | | | | |
| GPIO103 | XA12 | | | | | | | | | | | |
| GPIO104 | XA13 | | | | | | | | | | | |
| GPIO105 | XA14 | | | | | | | | | | | |
| GPIO106 | XA15 | | | | | | | | | | | |
| GPIO107 | XA16 | | | | | | | | | | | |
| GPIO108 | XA17 | | | | | | | | | | | |
| GPIO109 | XA18 | | | | | | | | | | | |
| GPIO110 | XA19 | | | | | | | | | | | |
| GPIO111 | XAO/XWE1 | | | | | | | | | | | |
| GPIO112 | XZCS0 | | | | | | | | | | | |
| GPIO113 | XZCS6 | | | | | | | | | | | |
| GPIO114 | XZCS7 | | | | | | | | | | | |
| GPIO115 | EM1DQM0 | | | | | | | | | | | |
| GPIO116 | EM1DQM1 | | | | | | | | | | | |
| GPIO117 | EM1DQM2 | | | | | | | | | | | |
| GPIO118 | EM1DQM3 | | | | | | | | | | | |

| | | | | | | | | | | | | |
|---------|------|----------|--|--|--|--|--|--|--|--|--|--|
| GPIO119 | XWE0 | EM1WE | | | | | | | | | | |
| GPIO120 | XR/W | SADS/SRE | | | | | | | | | | |

4.4.2 ADC 引脚上的数字输入（AIO）

GPIO 端口 H (GPIO224-GPIO255) 与模拟引脚复用，这也称为AIO。这些引脚只能在输入模式下 工作。默认情况下，这些引脚将使用为模拟引脚功能，同时 GPIO 为高阻状态。GPHAMSEL 寄存器被用来配置这些引脚的数字或模拟操作。

注：若将带尖锐边沿（高 dv/dt ）的数字信号连接到AIO，则相邻的模拟信号可能发生串扰。因此，如果相邻通道用于模拟功能，则用户应限制连接到AIO 的信号的边沿速率。



4.4.3 GPIO 输入 X-BAR

输入 X-BAR 用于将信号从 GPIO 路由到许多不同的 IP 块，如 ADC、eCAP、ePWM 和外部中断（见图 4-5）。表 4-8 列举了输入 X-BAR 目的。更多有关输入 X-BAR 的详细配置，请参见《QXS320F28377LRevA参考手册》的交叉开关（X-BAR）章节。

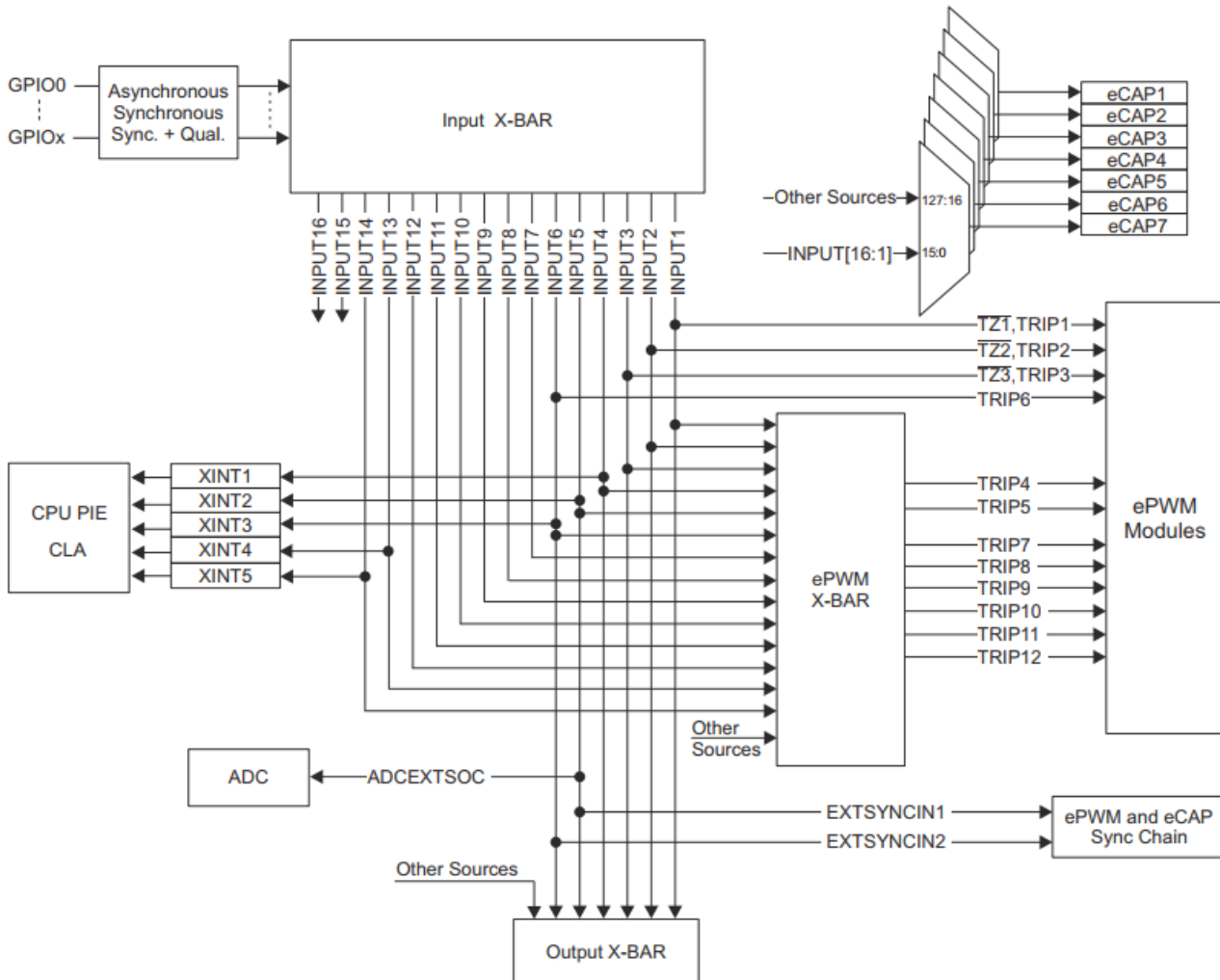


图 4-5. 输入 X-BAR

表 4-8. 输入 X-BAR 目标模块

| 输入 | 目标 |
|----------|--|
| INPUT 1 | eCAPx、ePWM X-BAR、ePWM[TZ1,TRIP1]、输出 X-BAR |
| INPUT 2 | eCAPx、ePWM X-BAR、ePWM[TZ2,TRIP2]、输出 X-BAR |
| INPUT 3 | eCAPx、ePWM X-BAR、ePWM[TZ3,TRIP3]、输出 X-BAR |
| INPUT 4 | eCAPx、ePWM X-BAR、XINT1、输出 X-BAR |
| INPUT 5 | eCAPx、ePWM X-BAR、XINT2、ADCEXTSOC、EXTSYNCIN1、输出 X-BAR |
| INPUT 6 | eCAPx、ePWM X-BAR、XINT3、ePWM[TRIP6]、EXTSYNCIN2、输出 X-BAR |
| INPUT 7 | eCAPx、ePWM X-BAR |
| INPUT 8 | eCAPx、ePWM X-BAR |
| INPUT 9 | eCAPx、ePWM X-BAR |
| INPUT 10 | eCAPx、ePWM X-BAR |
| INPUT 11 | eCAPx、ePWM X-BAR |
| INPUT 12 | eCAPx、ePWM X-BAR |
| INPUT 13 | eCAPx、ePWM X-BAR、XINT4 |
| INPUT 14 | eCAPx、ePWM X-BAR、XINT5 |
| INPUT15 | eCAPx |
| INPUT16 | eCAPx |

4.4.4 GPIO 输出 X-BAR 和 ePWM X-BAR

输出 X-BAR 具有八个路由到 GPIO 模块的输出。ePWM X-BAR 具有八个路由到每个 ePWM 模块的输出。图 4-6 显示了输出 X-BAR 和 ePWM X-BAR 的源。有关输出 X-BAR 和 ePWM X-BAR 的详细信息，请参阅《QXS320F28377LRevA参考手册》的交叉开关（X-BAR）章节。

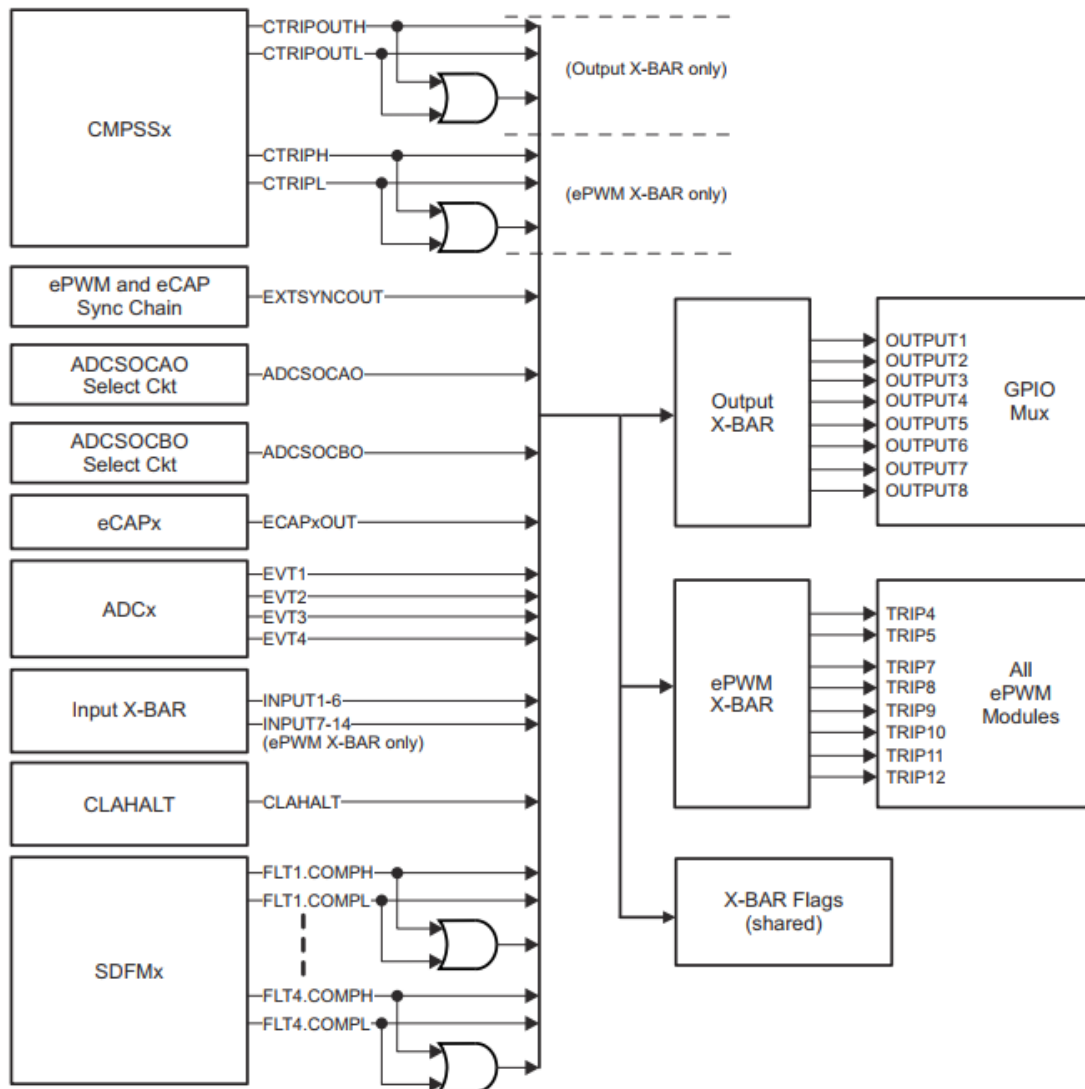


图 4-6.输出 X-BAR 和 ePWM X-BAR 的源

4.5 GPIO 引脚内部上拉/下拉

QXS320F28377LRevA 上的一些引脚有内部上拉或下拉功能。表 5-1 列举了使用时的上拉下拉方向。

默认 GPIO 引脚上拉是关闭的，可以通过软件启用。为避免任何悬空的未键合输入，Boot ROM 将特定封装中未键合的GPIO 引脚启用内部上拉。表 5-1 的其他引脚的上拉与下拉总是打开的，并且不能被禁用。

表 4-9. 带有内部上拉和下拉的引脚

| 引脚 | 复位 (XRSn = 0) | 器件引导 | 应用 |
|------------------|------------------|---------------------|------|
| GPIOx (包括 AIO) | 禁用上拉 | 禁用上拉 ⁽¹⁾ | 应用定义 |
| GPIO35/TDI | | 禁用上拉 | 应用定义 |
| GPIO37/TDO | | 禁用上拉 | 应用定义 |
| VREGENZ | | 下拉有效 | |
| 其他引脚 | | 上拉或下拉未 存在 | |
| | | | |
| | | | |

(1) 给定封装中未绑定的引脚将具有由引导 ROM 启用内部上拉。

4.6 未使用引脚的连接

对于无需使用QXS320F28377LRevA所有功能的应用，表 4-10 列举了未使用引脚的可接受条件。表 4-10 中的引脚选择为复用时，其任意选择都是能接受的。表 4-10 未列举的引脚，必须根据节 4 所述进行连接。

表 4-10.未使用引脚的连接

| 信号名称 | 可接受的做法 |
|------------------------------------|---|
| 模拟 | |
| 带有 DACx_OUT 的模拟输入引脚 | <ul style="list-style-type: none">无连接通过 4.7kΩ 或更大的电阻连接到 VSSA |
| 带 PGAx_OUTF 的模拟输入引脚 | <ul style="list-style-type: none">无连接通过 4.7kΩ 或更大的电阻连接到 VSSA |
| 模拟输入引脚 (DACx_OUT 和 PGAx_OUTF 除外) | <ul style="list-style-type: none">无连接绑定到 VSSA通过电阻器连接到 VSSA |
| PGAx_GND | 绑定到 VSSA |
| VREFHlx | 连接至 VDDA (仅在应用中未使用 ADC 或 DAC 时适用) |
| VREFLOx | 绑定到 VSSA |
| 数字 | |
| test_mode | <ul style="list-style-type: none">无连接绑定到 VSS |
| GPIOx | <ul style="list-style-type: none">无连接 (启用内部上拉的输入模式)无连接 (禁用内部上拉的输出模式)上拉或下拉电阻器 (任意值电阻器 · 输入模式 · 禁用内部上拉) |
| GPIO35/TDI | <p>选择 TDI 多路复用器选项 (默认) 时 · GPIO 处于输入模式。</p> <ul style="list-style-type: none">启用内部上拉电阻 |
| GPIO37/TDO | <p>当 TDO 复用选项被选中时 (默认) · GPIO 只在 JTAG 活动期间处于输出模式；否则，它处于三态条件。必须对该引脚进行偏置，以避免在输入缓冲器上产生额外电流。</p> <ul style="list-style-type: none">启用内部上拉电阻 |
| VREGENZ | 如果未使用内部稳压器，则连接到 VDDIO |
| X1 | 绑定到 VSS |
| X2 | 无连接 |
| VDD | 所有VDD的管脚必须使用。 |
| VDDA | 如果未使用专用模拟电源，则连接到 VDDIO。 |
| VDDIO | 所有VDDIO的管脚必须使用。 |
| VDDIO_SW | 连接到 VDDIO。 |

| 信号名称 | 可接受的做法 |
|--------|----------------------|
| VSS | 所有 VSS 引脚必须连接到电路板接地。 |
| VSS_SW | 始终连接到 VSS。 |
| VSSA | 如果未使用模拟接地，则连接到 VSS。 |
| | |
| | |
| | |
| | |
| | |

5 规格

5.1 绝对最大值范围

在自然通风条件下的工作温度范围内（除非另有说明）

表 5-1. 绝对最大值范围

| 参数 | 最小值 | 最大值 | 单位 |
|---------------------------|---|------|------|
| 电源电压 | VDDIO 以 VSS 为基准 | -0.3 | 3.9 |
| | VDDA 以 VSSA 为基准 | -0.3 | 3.9 |
| | VDD 以 VSS 为基准 | -0.2 | 1.44 |
| VDDIO 和 VDDIO_SW 引脚之间的电压差 | -0.3 | 0.3 | V |
| 输入电压 | VIN (3.3V) | -0.3 | 3.9 |
| 输出电压 | V _o | -0.3 | 3.9 |
| 输入钳位电流 (4) | 数字输入 (每引脚), I _{IK} (V _{IN} < VSS 或 V _{IN} > VDDIO) | -12 | 12 |
| | 模拟输入 (每引脚), I _{IKANALOG} (V _{IN} < VSSA 或 V _{IN} > VDDA) | -12 | 12 |
| | 所有输入的总计, I _{IKTOTAL} (V _{IN} < VSS/VSSA 或 V _{IN} > VDDIO/VDDA) | -12 | 12 |
| 输出电流 | 数字输出 (每引脚), I _{OUT} | -12 | 12 |
| 自然通风温度 | T _A | -40 | 125 |
| 结温 | T _J | -40 | 150 |
| 贮存温度 (3) | T _{stg} | -65 | 150 |
| | | | °C |

(1) 应力超出绝对最大值范围所列的值可能会对器件造成永久损坏。这些仅为应力额定值，并不表明器件在这些值可正常工作或者任何其他超过节 5.3 所述条件下可正常工作。长时间处于绝对最大值范围情况下会影响设备的可靠性。

(2) 除非另有说明，否则所有电压值均以 VSS 为基准。

(3) 长期高温贮存或在最大温度条件下超期使用可能会导致器件总体使用寿命缩短。

(4) 每个引脚的连续钳位电流为 $\pm 2\text{mA}$ 。请勿在此条件下连续工作，因为 VDDIO/VDDA 电压可能会上升并影响其他电气规格。

5.2 产品 ESD 范围

表 5-2.产品的 ESD 范围

| 参数 | | 值 | 单位 |
|-------------------|------------|--|------------|
| QXS320F28377LRevA | | | |
| V (ESD) | 静电放电 (ESD) | 人体放电模型 (HBM)，符合 ANSI/ESDA/JEDEC JS-001 标准(1) | ± 2000 |
| | | 充电器件模型 (CDM)，符合 ANSI/ ESDA/JEDEC JS-002(2) | ± 500 |

(1) JEDEC 目录 JEP155 状态表明 500V HBM 允许带有标准 ESD 控制过程的安全制造。

(2) JEDEC 目录 JEP157 状态表明 250V CDM 允许带有标准 ESD 控制过程的安全制造。

5.3 推荐工作条件

表 5-3.推荐工作条件

| 参数 | | 最小值 | 额定值 | 最大值 | 单位 |
|-------------------------|---|---------------------------|-----|-----------|-------|
| 设备供电电压, VDDIO与VDDA | 启用内部BOR | VBOR-VDDIO (MAX) +VBOR-GB | 3.3 | 3.63 | V |
| | 禁用内部BOR | 2.8 | 3.3 | 3.63 | |
| 设备电源电压, VDD | | 1.14 | 1.2 | 1.32 | V |
| 设备接地, VSS | | | 0 | | V |
| 模拟地, VSSA | | | 0 | | V |
| SR _{SUPPLY} | VDDIO, VDDA到 VSS的供电斜率速 率 | 20 | | 100 | mV/us |
| t _{VDDIO-RAMP} | 从1V到VBOR-VDDIO (MAX) VDDIO供电 斜坡时间 | | | 10 | ms |
| V _{IN} | 数字输入电压 | VSS-0.3 | | VDDIO+0.3 | V |
| | 模拟输入电压 | VSSA-0.3 | | VDDA+0.3 | V |
| V _{BOR-GB} | VDDIO BOR 保护 带 | | 0.1 | | V |

| | | | | | |
|-----------|--|-----|--|-----|--------------------|
| 结温, T_J | | -40 | | 125 | $^{\circ}\text{C}$ |
|-----------|--|-----|--|-----|--------------------|

- (1) $T_J = 105^{\circ}\text{C}$ 以上操作持续扩展将减少设备寿命。
- (2) 电气特性表中的 VDDIO BOR 电压($\text{VBOR}-\text{VDDIO}[\text{MAX}]$)决定了设备操作的电压下限。HX 建议系统设计人员预算额外的保护带 ($\text{VBOR}-\text{GB}$), 如图 5-1 供电电压图所示。
- (3) 默认启用内部 BOR。
- (4) 电源斜坡速率快于该值, 能触发片上 ESD 保护。
- (5) HX 建议采用 $\text{VBOR}-\text{GB}$, 以避免 3.3V VDDIO 系统因正常电源噪声或负载瞬态事件而导致 BOR 复位。良好的系统调节器设计和解耦电容(遵循系统调节器规格)是重要的。 $\text{VBOR}-\text{GB}$ 的值是系统级设计考虑因素; 这里列出的是许多应用程序的典型示例。

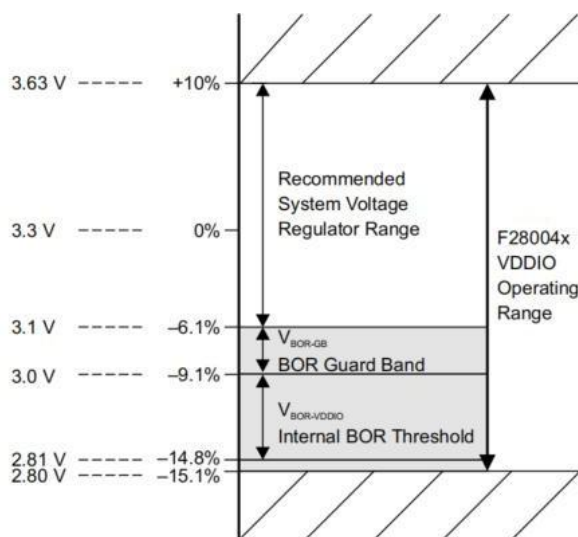


图 5-1 供电电压

5.4 耗电概述

本节中列出的电流值仅代表给定的测试条件, 而不是绝对的最大的可能。应用程序中的实际设备电流将随应用程序代码和引脚而变化配置。第 5.4.1 节列出了系统电流消耗值。

5.4.1 系统电流消耗 (外部电源)

在自然通风条件下的工作温度范围内测得 (除非另有说明)。

典型值: V_{nom} , 30°C

表 5-4. 系统电流消耗

| 参数 | | 测试条件 | 最小值 | 典型值 | 最大值 | 单位 |
|--------------------|-------------------------|---|-----|-----|-----|----|
| 空闲模式 (IDLE) | | | | | | |
| I_{DD} | 设备处于空闲模式时的 VDD 电流消耗 (1) | -CPU 处于 IDLE 模式 -Flash 断电 -XCLKOUT 关闭 | | 32 | 40 | mA |
| I_{DDA} | 设备处于空闲模式下的 VDDA 电流消耗 | | | 0.9 | 1.2 | mA |
| 停机模式 (HALT) | | | | | | |
| I_{DD} | 设备处于停机模式时的 VDD 电流消耗 (1) | -CPU 处于停机模式 -Flash 断电 -XCLKOUT 关闭 | | 3 | 20 | mA |
| I_{DDA} | 设备处于停机模式下的 VDDA 电流消耗 | | | 0.2 | 0.5 | mA |

(1) IDD 最大值是在 VDD 处于最大建议工作条件下报告的值。对于内部 VREG 和直流/直流稳压器表，该 VDD 电源将处于稳定的 VDD 典型值电压。因此，与内部 VREG 和直流/直流稳压器表相比，此外部电源表中报告的电流值将更高。

5.4.2 工作模式测试描述

第 5.4.1 节，节 5.4.2 和第 5.4.3 节列出了设备运行模式的当前电流消耗值。运行模式提供了应用程序可能遇到情况的预测。为实现所示值运行的测试用例将循环执行以下操作。以下列表中未列出的外设已禁用其时钟：

- 代码从 RAM 中执行。
- 读取 FLASH 并保持激活状态。
- I/O 引脚不驱动任何外部组件。
- 使用以下所有通信外设：SPI-A 至 SPI-C；SCI-A 至 SCI-C；I2C-A；CAN-A 至 CAN-C；LIN-A；PMBus-A；以及 FSI-A。
- ePWM-1 至 ePWM-3 在 6 个引脚上生成 5MHz 输出。
- EPWM-4 至 EPWM-7 处于 HRPWM 模式，并在 6 个引脚上生成 25MHz 输出。
- CPU 计时器激活。
- CPU 进行 FIR16 计算。
- DMA 进行连续 32 位传输。
- CLA-1 在后台任务中执行一个 1024 点 DFT。
- 所有 ADC 执行连续转换。
- 所有 DAC 都在环路频率约为 11kHz 时改变电压。
- 启用所有 PGA。

- 所有 CMPSS 都会生成频率为 100kHz 的方波。
- 启用 SDFM 外设时钟。
- eCAP-1 至 eCAP-7 处于 APWM 模式，切换频率为 250kHz。
- 启用所有 eQEP 看门狗并执行计数。
- 启用系统看门狗并执行计数。

5.4.3 减少电流消耗

图 5-2、图 5-3、图 5-4 显示了器件上的频率与电流消耗之间关系的典型代表。节 5.4.1 中的工作测试是在 VNOM 和室温下的整个频率范围内运行的。实际结果因系统实施和条件而异。

VDD 内核电源上的漏电流将以指数方式随工作温度的升高而增加，如图 5-5 所示。停机模式下的电流消耗主要是漏电流，因为内部振荡器已断电时，就不会有有源开关。

图 5-5 显示了温度范围内的典型漏电流。在标称电压条件下，该器件被置于停机模式。



图 5-2. 电流与频率间的关系-外部电源

图 5-3. 电流与频率间的关系-内部 VREG

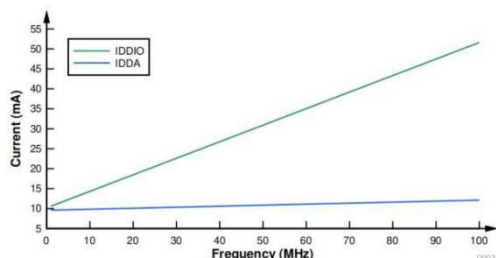


图 5-4. 电流与频率间的关系-直流/直流

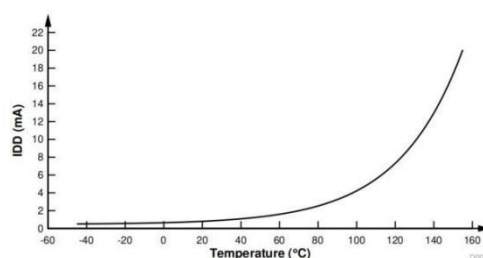


图 5-5. 停机 (HALT) 模式电流与温度间的关系(°C)

注：该电流消耗值为实验室测得，仅供参考。

5.4.4 减少电流消耗

QXS320F28377LRevA设备提供了一些降低设备电流消耗的方法：

- 为进一步降低应用在空闲期间的电流消耗，可以进入两种低功耗模式之一 — IDLE 或 STANDBY。

- 如果代码从 RAM 中运行，闪存模块可能会断电。

- 禁用输出功能引脚的上拉。

- 每个外设都有一个单独的时钟使能位(PCLKCRx)。减少电流消耗可通过关闭给定应用程序中不使用的任何外设的时钟来实现。典型的电流减少可以通过使用 PCLKCRx 寄存器禁用时钟来实现。

- 要在 LPM 中实现最低的 VDDA 电流消耗，请参阅《QXS320F28377LRevA参考手册》模数转换器(ADC)章节，以确保每个模块也被关闭。

表 5-5. 外设关闭典型电流

| | I _{DDIO} 电流减少 (mA) |
|-------------------|-----------------------------|
| ADC (2) | 0.8 |
| CAN | 1.1 |
| CLA | 0.4 |
| CLB | 1.1 |
| CMPSS (2) | 0.4 |
| CPU Timer | 0.1 |
| DAC (2) | 0.2 |
| DMA | 0.5 |
| eCAP1 至 eCAP5 | 0.1 |
| eCAP6 至 eCAP7 (3) | 0.4 |
| ePWM | 0.7 |
| eQEP | 0.1 |
| FSI | 0.7 |
| HRPWM | 0.8 |
| I2C | 0.3 |
| LIN | 0.4 |
| PGA (2) | 0.2 |

| | |
|------------------|------|
| PMBUS | 0.3 |
| SCI | 0.2 |
| SDFM | 0.9 |
| SPI | 0.2 |
| DCC | 0.1 |
| 100MHz 时的 PLL | 22.9 |

(1) 复位时，所有外设均禁用。使用**PCLKCRx**寄存器以单独地启用外设。对于具有多个实例的外设，针对每个模块引用电流。

(2) 此电流代表了每个模块的数字部分汲取的电流。**eCAP6** 和 **eCAP7** 也可以配置为 HRCAP。

注：该电流消耗值为实验室测得，仅供参考。



5.5 电气特性

在建议运行条件下测得（除非另有说明）。

表 5-6. 电气特性

| 参数 | | 测试条件 | 最小值 | 典型值 | 最大值 | 单位 |
|------------------|-----------------|-------------------------------------|-----------------------------------|-----|----------------|----------|
| 数字与模拟 IO | | | | | | |
| V_{OH} | 高电平输出电压 | $I_{OH}=I_{OL}$ 最小 | VDDIO*0.8 | | | V |
| | | $I_{OH}=-100\mu A$ | VDDIO-0.2 | | | |
| V_{OL} | 低电平输出电压 | $I_{OL}=I_{OL}$ 最大 | | | 0.4 | V |
| | | $I_{OL}=100 \mu A$ | | | 0.2 | |
| I_{OH} | 所有输出引脚的高电平输出源电流 | | -4 | | | mA |
| I_{OL} | 所有输出引脚的低电平输出源电流 | | | | 4 | mA |
| R_{OH} | 所有输出引脚的高电平输出阻抗 | | | 70 | | Ω |
| R_{OL} | 所有输出引脚的低电平输出阻抗 | | | 70 | | Ω |
| V_{IH} | 高电平输入电压 (3.3V) | | 2.0 | | $V_{DDIO}+0.3$ | V |
| V_{IL} | 低电平输入电压 (3.3V) | | VSS-0.3 | | 0.8 | V |
| $V_{HYSTERESIS}$ | 输入滞后 | | 150 | | | mV |
| $I_{PULLDOWN}$ | 输入电流 | 带下拉的输入 (除 A0、 A1 的其他下 拉管脚) | VDDIO=3.3V $V_{IN}=VDDIO$ | 100 | | μA |
| | | 带下拉的输 入 (A0、 A1 管脚) | VDDIO=3.3V $V_{IN}=VDDIO$ | 200 | | μA |
| I_{PULLUP} | 输入电流 | 带上拉的输 入 | VDDIO=VDDA=3. 3V $V_{IN}=0$ | 100 | | μA |
| I_{LEAK} | 引脚漏电流 | | $0V \leq V_{IN} \leq V_{DDIO}$ | 5 | | μA |
| VREG、直流/直流和 BOR | | | | | | |
| $V_{POR-VDDIO}$ | VDDIO 上电复位电压 | | | 2.7 | | V |
| $V_{BOR-VDDIO}$ | VDDIO 掉电复位电压 | | | 2.6 | | V |

(1) 有关具有上拉或下拉功能的引脚列表，请参阅表 4-9；

(2) 模拟引脚是单独指定的，请参阅表 5-17。

5.6 热阻特征

5.6.1 PK 封装的热阻特性

| | | °C/W(1) | 空气气流 (1fm) (2) |
|-------------------------------|----------|---------|-------------------|
| $R_{\Theta_{JC}}$ | 结至外壳热阻 | 7.6 | 不适用 |
| $R_{\Theta_{JB}}$ | 结至电路板热阻 | 24.2 | 不适用 |
| $R_{\Theta_{JA}}$ (高 k PCB) | 结自由空气热阻 | 46.1 | 0 |
| $R_{\Theta_{JMA}}$ | 结至流动空气热阻 | 37.3 | 150 |
| | | 34.8 | 250 |
| | | 32.6 | 500 |
| $\Psi_{i_{JT}}$ | 结至封装顶部 | 0.2 | 0 |
| | | 0.4 | 150 |
| | | 0.4 | 250 |
| | | 0.6 | 500 |
| $\Psi_{i_{JB}}$ | 结至开发板 | 23.8 | 0 |
| | | 22.8 | 150 |
| | | 22.4 | 250 |
| | | 21.9 | 500 |

(1) 这些值基于 JEDEC 定义的 2S2P 系统(Θ_{JC} [$R_{\Theta_{JC}}$] 值除外，该值基于 JEDEC 定义的 1S0P 系统)，并根据环境和应用而变化。要了解更多信息，请参见这些 EIA/JEDEC 热测试标准：

- JESD51-2, 集成电路热测试方法环境条件-自然对流(静止空气)
- JESD51-3, 含铅表面贴装封装的有效导热测试板
- JESD51-7, 含铅表面贴装封装的高效导热测试板
- JESD51-9, 区域阵列表面贴装包热测量测试板

(2) 1 fm = 线性英尺每分钟

5.6.2 PZ 封装的热阻特性

| 参数 | | °C/W(1) | 空气气流 (1fm) (2) |
|-------------------------------|----------|---------|-------------------|
| $R_{\Theta_{JC}}$ | 结至外壳热阻 | 7.6 | 不适用 |
| $R_{\Theta_{JB}}$ | 结至电路板热阻 | 24.2 | 不适用 |
| $R_{\Theta_{JA}}$ (高 k PCB) | 结自由空气热阻 | 46.1 | 0 |
| $R_{\Theta_{JMA}}$ | 结至流动空气热阻 | 37.3 | 150 |
| | | 34.8 | 250 |
| | | 32.6 | 500 |
| $\Psi_{i_{JT}}$ | 结至封装顶部 | 0.2 | 0 |
| | | 0.4 | 150 |
| | | 0.4 | 250 |
| | | 0.6 | 500 |
| $\Psi_{i_{JB}}$ | 结至开发板 | 23.8 | 0 |
| | | 22.8 | 150 |
| | | 22.4 | 250 |
| | | 21.9 | 500 |

表 5-8.PZ 封装的热阻特性

(1) 这些值基于 JEDEC 定义的 2S2P 系统(Θ_{JC} [$R_{\Theta_{JC}}$] 值除外，该值基于 JEDEC 定义的 1S0P 系统)，并根据环境和应用而变化。要了解更多信息，请参见这些 EIA/JEDEC 热测试标准：

- JESD51-2, 集成电路热测试方法环境条件-自然对流(静止空气)
- JESD51-3, 含铅表面贴装封装的有效导热测试板
- JESD51-7, 含铅表面贴装封装的高效导热测试板
- JESD51-9, 区域阵列表面贴装包热测量测试板

(2) 1 fm = 线性英尺每分钟

5.6.3 PM 封装的热阻特性

表 5-9.PM 封装的热阻特性

| 参数 | | °C /W ⁽¹⁾ | 空气气流 (1fm) (2) |
|------------------------|----------|----------------------|-------------------|
| $R\Theta_{JC}$ | 结壳热阻 | 12.4 | 不适用 |
| $R\Theta_{JB}$ | 结板热阻 | 25.6 | 不适用 |
| $R\Theta_{JA}$ (高kPCB) | 结自由空气热阻 | 51.8 | 0 |
| $R\Theta_{JMA}$ | 结至流动空气热阻 | 42.2 | 150 |
| | | 39.4 | 250 |
| | | 36.5 | 500 |
| Ψ_{JT} | 结至封装顶部 | 0.5 | 0 |
| | | 0.9 | 150 |
| | | 1.1 | 250 |
| | | 1.4 | 500 |
| Ψ_{JB} | 结至开发板 | 25.1 | 0 |
| | | 23.8 | 150 |
| | | 23.4 | 250 |
| | | 22.7 | 500 |

(1) 这些值基于 JEDEC 定义的 2S2P 系统(Θ_{JC} [$R\Theta_{JC}$] 值除外，该值基于 JEDEC 定义的 1S0P 系统)，并根据环境和应用而变化。要了解更多信息，请参见这些 EIA/JEDEC 热测试标准：

- JESD51-2, 集成电路热测试方法环境条件-自然对流(静止空气)
- JESD51-3, 含铅表面贴装封装的有效导热测试板
- JESD51-7, 含铅表面贴装封装的高效导热测试板
- JESD51-9, 区域阵列表面贴装包热测量测试板

(2) 1 fm = 线性英尺每分钟

5.6.4 RSH 封装的热阻特性

| 参数 | | °C/W(1) | 空气气流 (lfm) (2) |
|------------------------|----------|---------|-------------------|
| $R\Theta_{JC}$ | 结壳热阻 | 11.9 | 不适用 |
| $R\Theta_{JB}$ | 结板热阻 | 3.3 | 不适用 |
| $R\Theta_{JA}$ (高kPCB) | 结自由空气热阻 | 25.8 | 0 |
| $R\Theta_{JMA}$ | 结至流动空气热阻 | 17.4 | 150 |
| | | 15.1 | 250 |
| | | 13.4 | 500 |
| Ψ_{JT} | 结至封装顶部 | 0.2 | 0 |
| | | 0.3 | 150 |
| | | 0.4 | 250 |
| | | 0.4 | 500 |
| Ψ_{JB} | 结至开发板 | 3.3 | 0 |
| | | 3.2 | 150 |
| | | 3.2 | 250 |
| | | 3.2 | 500 |
| $R\Theta_{JC}$, 底部 | 结至底部外壳热阻 | 0.7 | 0 |

表 5-10. RSH 封装的热阻特性

(1) 这些值基于 JEDEC 定义的 2S2P 系统(Θ_{JC} [R Θ_{JC}]值除外，该值基于 JEDEC 定义的 1SOP 系统)，并根据环境和应用而变化。要了解更多信息，请参见这些 EIA/JEDEC 热测试标准：

- JESD51-2, 集成电路热测试方法环境条件-自然对流(静止空气)
- JESD51-3, 含铅表面贴装封装的有效导热测试板
- JESD51-7, 含铅表面贴装封装的高效导热测试板
- JESD51-9, 区域阵列表面贴装包热测量测试板

(2) 1 fm = 线性英尺每分钟

5.7 散热设计注意事项

根据最终应用程序的设计和操作配置, **IDD** 和 **IDDIO** 电流可能会有所不同。最终产品中超过推荐的最大功耗耗散可能需要额外的散热增强措施。环境温度(**TA**)随最终应用和产品设计而变化。影响可靠性和功能性的关键因素是 **TJ** 结温, 而不是环境温度。因此, 应采取措施保持 **TJ** 在规定的限度内。应测量 **Tcase** (封装体表面温度) 以估计 **TJ** 结温情况。



5.8 系统

5.8.1 外部存储器接口（EMIF）

EMIF提供了一种将CPU连接到各种外部存储设备的方式，例如异步存储器（SRAM、NOR闪存）或同步存储器（SDRAM）。

5.8.1.1 异步存储器支持

EMIF支持异步存储器：

- SRAM
- NOR闪存

还有一个外部等待输入，允许较慢的异步存储器延长内存访问时间。EMIF模块支持最多三个芯片选择（ $\overline{\text{EMIF_CS}[4:2]}$ ）。每个芯片选择具有以下单独的可编程属性：

- 数据总线宽度
- 读周期时间：建立时间、保持时间、触发时间
- 写周期时间：建立时间、保持时间、触发时间
- 总线切换时间

每个芯片选择还具有以下特性：

- 可编程的延迟选项
- 选择触发选项

5.8.1.2 支持同步 DRAM

EMIF内存控制器符合使用32位或16位数据总线的JESD21-C SDR SDRAM的规范。EMIF具有单个SDRAM芯片选择（ $\overline{\text{EMIF_CS}[0]}$ ）。

对于同步存储器（SDRAM），EMIF的地址空间位于程序地址总线的22位范围之外，只能通过数据总线访问，这对C编译器能够有效处理该空间中的数据施加了限制。因此，在使用SDRAM时，建议用户在处理数据之前将数据（使用DMA）从外部存储器复制到RAM中。请参阅示例和QXS320F28377LRevA数字信号控制器技术参考手册。

支持的SDRAM配置包括：

- 单组、双组和四组SDRAM的设备
- 具有8、9、10和11列地址的设备
- CAS延迟为两个或三个时钟周期
- 16位/32位数据总线宽度

- 3.3V LVC MOS 接口

此外，EMIF支持将SDRAM置于自刷新和掉电模式。自刷新模式允许SDRAM处于低功耗状态，同时仍保留内存内容，因为即使没有来自微控制器的时钟，SDRAM仍会继续自刷新。掉电模式实现了更低的功耗，但如果需要数据保留，微控制器必须周期性地唤醒并发出刷新命令。EMIF模块不支持移动SDRAM设备。

在此设备上，EMIF不支持SDRAM配置的突发访问。这意味着对外部SDRAM设备的每次访问都将具有CAS延迟。

5.8.1.3 EMIF 电气数据和时序

5.8.1.3.1 异步 RAM

表5-11显示了EMIF异步内存的时序要求。表5-12显示了EMIF异步内存的切换特性。图5-6至图5-8显示了EMIF异步内存的时序图。

表5-11 EMIF 异步存储器时序要求

| NO. ⁽¹⁾ | | | MIN | MAX | UNIT |
|--------------------|-------------------------------|---|----------------------|-----|------|
| 读和写 | | | | | |
| | E | EMIF 时钟周期 | $t_c(\text{SYSCLK})$ | | ns |
| 2 | $t_w(\text{EM_WAIT})$ | 脉冲持续时间，EMxWAIT断言和反断言 | 2E | | ns |
| 读 | | | | | |
| 12 | $t_{su}(\text{EMDV-EMOEH})$ | EMxOE高电平前，EMxD[y:0]有效的建立时间 | 15 | | ns |
| 13 | $t_h(\text{EMOEH-EMDIV})$ | EMxOE高电平后，EMxD[y:0]有效的保持时间 | 0 | | ns |
| 14 | $t_{su}(\text{EMOEL-EMWAIT})$ | 建立时间，EMxWAIT在strobe阶段结束前断言 ⁽²⁾ | 4E+20 | | ns |
| 写 | | | | | |
| 28 | $t_{su}(\text{EMWEL-EMWAIT})$ | 建立时间，EMxWAIT在strobe阶段结束前断言 ⁽²⁾ | 4E+20 | | ns |

(1) E = EMxCLK 周期（以 ns 为单位）。

(2) 如果未插入扩展等待状态，则在STROBE阶段结束之前必须断言EMxWAIT以添加扩展等待状态。图6-26和图6-28描述了在STROBE阶段插入扩展等待状态的EMIF事务。然而，作为扩展等待周期的一部分插入的周期不应计数；**4E**要求是指如果没有扩展等待周期，HOLD阶段将开始的地方。

表5-12 EMIF 异步存储器开关特性

| NO. ⁽¹⁾⁽²⁾ ³⁾ | 参数 | MIN | MAX | UNI T |
|--|-----------------------|--|------------------------------|------------------------------|
| 读和写 | | | | |
| 1 | $t_{d(TURNAROUND)}$ | 周转时间 | $(TA)^*E-3$ | $(TA)^*E+2$ |
| 读 | | | | |
| 3 | $t_{c(EMCYCLE)}$ | EMIF 读 取 周 期 时 间 (EW = 0) | $(RS+RST+RH)^*E-3$ | $(RS+RST+RH)^*E+2$ |
| | | EMIF 读 取 周 期 时 间 (EW = 1) ⁽⁴⁾ | $(RS+RST+RH+(MEWC*16))^*E-3$ | $(RS+RST+RH+(MEWC*16))^*E+2$ |
| 4 | $t_{su(EMCEL-EMOEL)}$ | 输出建 立时 间 , 从 $\overline{EMxCS[y:2]}$ 低 到 \overline{EMxOE} 低 (SS = 0) | $(RS)^*E-3$ | $(RS)^*E+2$ |
| | | 输出建 立时 间 , 从 $\overline{EMxCS[y:2]}$ 低 到 \overline{EMxOE} 低 (SS = 1) | -3 | 2 |

| | | | | | |
|---|-----------------------|---|----------|----------|----|
| 5 | $t_{su(EMOEH-EMOEL)}$ | 输出保持时间, 从 \overline{EMxOE} 高 到 $\overline{EMxCS[y:2]}$ 高 ($SS = 0$) | (RH)*E-3 | (RH)*E | ns |
| 6 | $t_{su(EMBAV-EMOEL)}$ | 输出建立时间, 从 $EMxBA[y:0]$ 有效到 \overline{EMxOE} 低 | (RS)*E-3 | (RS)*E+2 | ns |
| 7 | $t_h(EMOEH-EMBAIV)$ | 输出保持时间, 从 \overline{EMxOE} 高 到 $EMxBA[y:0]$ 无效 | (RH)*E-3 | (RH)*E | ns |
| 8 | $t_{su(EMAV-EMOEL)}$ | 输出建立时间, 从 $EMxA[y:0]$ 有效到 \overline{EMxOE} 低 | (RS)*E-3 | (RS)*E+2 | ns |
| 9 | $t_h(EMOEH-EMAIV)$ | 输出保持时间, 从 \overline{EMxOE} | (RH)*E-3 | (RH)*E | ns |

| | | | | | |
|----|------------------------|--|---------------------------|---------------------------|----|
| | | 高 到 EMxA[y:0] 无 效 | | | |
| 10 | $t_{w(EMOEL)}$ | \overline{EMxOE} 低电平 有效宽度 (EW = 0) | (RST)*E-1 | (RST)*E+1 | ns |
| | | \overline{EMxOE} 低电平 有效宽度 (EW = 1) ⁽⁴⁾ | (RST+(MEWC*16))*E-1 | (RST+(MEWC*16))*E+1 | ns |
| 11 | $t_{d(EMWAIT-EMOEH)}$ | 从 EMxWAIT 取消断言到 \overline{EMxOE} 高电平 的延迟时间 | 4E+10 | 5E+15 | ns |
| 29 | $t_{su(EMDQMV-EMOEL)}$ | 输出建立时间 , 从 EMxDQM[y:0] 有效 到 \overline{EMxOE} 低 | (RS)*E-3 | (RS)*E+2 | ns |
| 30 | $t_h(EMOEH-EMDQMIV)$ | 输出保持时间 , 从 \overline{EMxOE} 高 到 EMxDQM[y:0]无效 | (RH)*E-3 | (RH)*E | ns |
| 写 | | | | | |
| 15 | $t_c(EMWCYCLE)$ | EMIF 写入周 期时间 (EW = 0) | (WS+WST+WH)*E-3 | (WS+WST+WH)*E+1 | ns |
| | | EMIF 写入周 | (WS+WST+WH+(MEWC*16))*E-3 | (WS+WST+WH+(MEWC*16))*E+1 | ns |

| | | | | | |
|----|-------------------------|---|-------------|-------------|----|
| | | 期时间 (EW = 1) ⁽⁴⁾ | | | |
| 16 | $t_{su(EMCEL-EMWEL)}$ | 输出建立时间 , 从 $\overline{EMxCS[y:2]}$ 低 到 \overline{EMxWE} 低 (SS = 0) | $(WS)^*E-3$ | $(WS)^*E+1$ | ns |
| | | 输出建立时间 , 从 $\overline{EMxCS[y:2]}$ 低 到 \overline{EMxWE} 低 (SS = 1) | -3 | 1 | ns |
| 17 | $t_h(EMWEH-EMCEH)$ | 输出保持时间 , 从 \overline{EMxWE} 高 到 $\overline{EMxCS[y:2]}$ 高 (SS = 0) | $(WH)^*E-3$ | $(WH)^*E$ | ns |
| | | 输出保持时间 , 从 \overline{EMxWE} 高 到 $\overline{EMxCS[y:2]}$ 高 (SS = 1) | -3 | 0 | ns |
| 18 | $t_{su(EMDQMIV-EMWEL)}$ | 输出建立时间 , 从 $EMxDQM[y:0]$ 有效 到 \overline{EMxWE} 低 | $(WS)^*E-3$ | $(WS)^*E+1$ | ns |
| 19 | $t_{su(EMWEH-EMDQMIV)}$ | 输出保持时 | $(WH)^*E-3$ | $(WH)^*E$ | ns |

| | | | | | |
|----|-----------------------|---|----------------------|------------------------|----|
| | | 间，从 \overline{EMxWE} 高 到 $EMxDQM[y:0]$ 无效 | | | |
| 20 | $t_{su(EMBAV-EMWEL)}$ | 输出建立时间，从 $EMxBA[y:0]$ 有效到 \overline{EMxWE} 低 | $(WS)^*E-3$ | $(WS)^*E+1$ | ns |
| 21 | $t_h(EMWEH-EMBAIV)$ | 输出保持时间，从 \overline{EMxWE} 高 到 $EMxBA[y:0]$ 无效 | $(WH)^*E-3$ | $(WH)^*E$ | ns |
| 22 | $t_{su(EMAV-EMWEL)}$ | 输出建立时间，从 $EMxA[y:0]$ 有效到 \overline{EMxWE} 低 | $(WS)^*E-3$ | $(WS)^*E+1$ | ns |
| 23 | $t_h(EMWEH-EMAIIV)$ | 输出保持时间，从 \overline{EMxWE} 高 到 $EMxA[y:0]$ 无效 | $(WH)^*E-3$ | $(WH)^*E$ | ns |
| 24 | $t_w(EMWEL)$ | \overline{EMxWE} 激活低电平的宽度 ($EW = 0$) | $(WST)^*E-1$ | $(WST)^*E+1$ | ns |
| | | \overline{EMxWE} 激活低 *E | $(WST+(MEWC*16))^*E$ | $(WST+(MEWC*16))^*E+1$ | ns |

| | | | | | |
|----|------------------------|--|-------------|-------------|----|
| | | 电平的宽度 (EW = 1) | -1 | | |
| 25 | $t_{d(EMWAITH-EMWEH)}$ | 从 EMxWAIT 取消断言到 \overline{EMxWE} 高电平的延迟时间 | $4E+10$ | $5E+15$ | ns |
| 26 | $t_{su(EMDV-EMWEL)}$ | 输出建立时间，从 EMxD[y:0]有效到 \overline{EMxWE} 低电平 | $(WS)^*E-3$ | $(WS)^*E+1$ | ns |
| 27 | $t_{h(EMWEH-EMDIV)}$ | 输出保持时间，从 \overline{EMxWE} 高电平到 EMxD[y:0]无效 | $(WH)^*E-3$ | $(WH)^*E$ | ns |

(1) TA = 转换时间, RS = 读取建立时间, RST = 读取 strobe 时间, RH = 读取保持时间, WS = 写入建立时间, WST = 写入 strobe 时间, WH = 写入保持时间, MEWC = 最大外部等待周期。这些参数通过异步 Bank 和异步等待周期配置寄存器进行编程。它们支持以下值范围: TA[4–1], RS[16–1], RST[64–4], RH[8–1], WS[16–1], WST[64–1], WH[8–1], 和 MEWC[1–256]。更多信息请参阅QXS320F28377LRevA数字信号控制器技术参考手册。

(2) E = EMxCLK 周期, 单位为 ns。

(3) EWC = 由 EMxWAIT 输入信号确定的外部等待周期。EWC 支持以下值范围: EWC[256–1]。在异步等待周期配置寄存器中, 位字段 MEWC 指定了超时前的最大等待时间。更多信息请参阅QXS320F28377LRevA数字信号控制器技术参考手册。

(4) 最大等待超时条件。

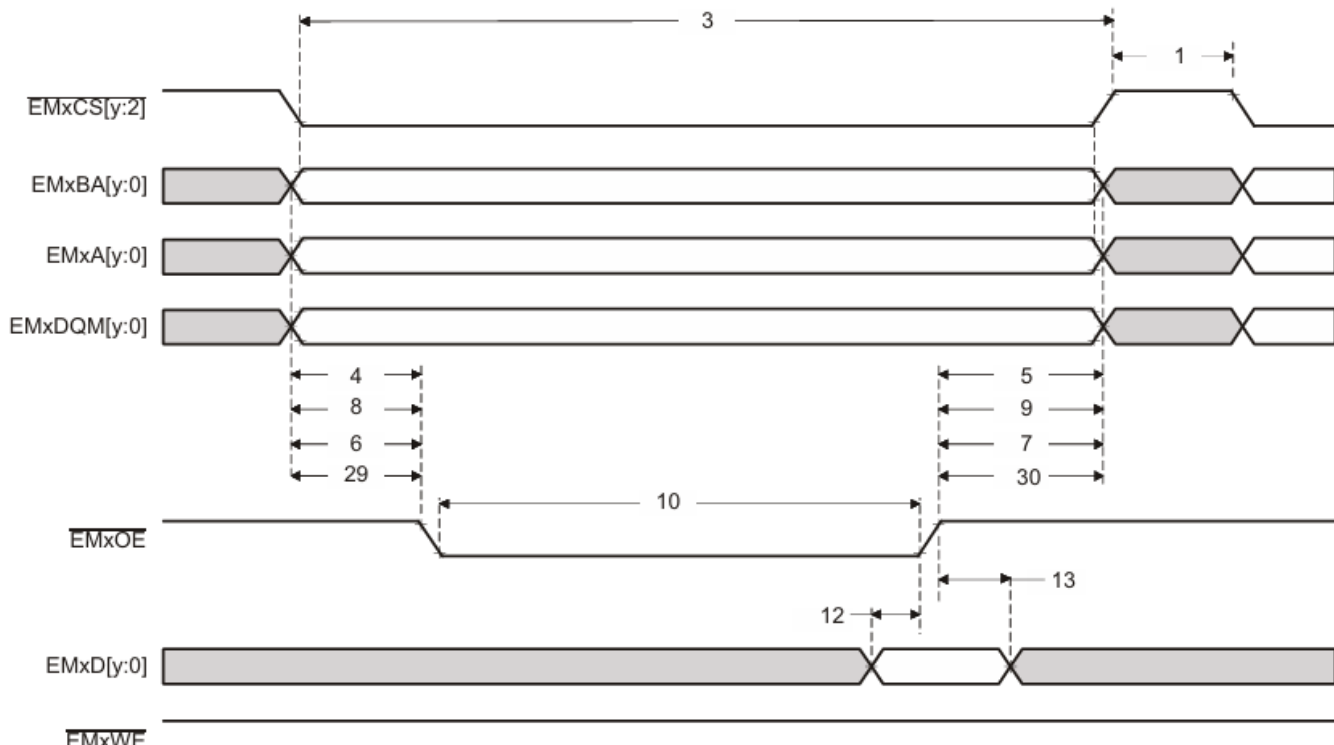


图 5-6. 异步内存读取时序

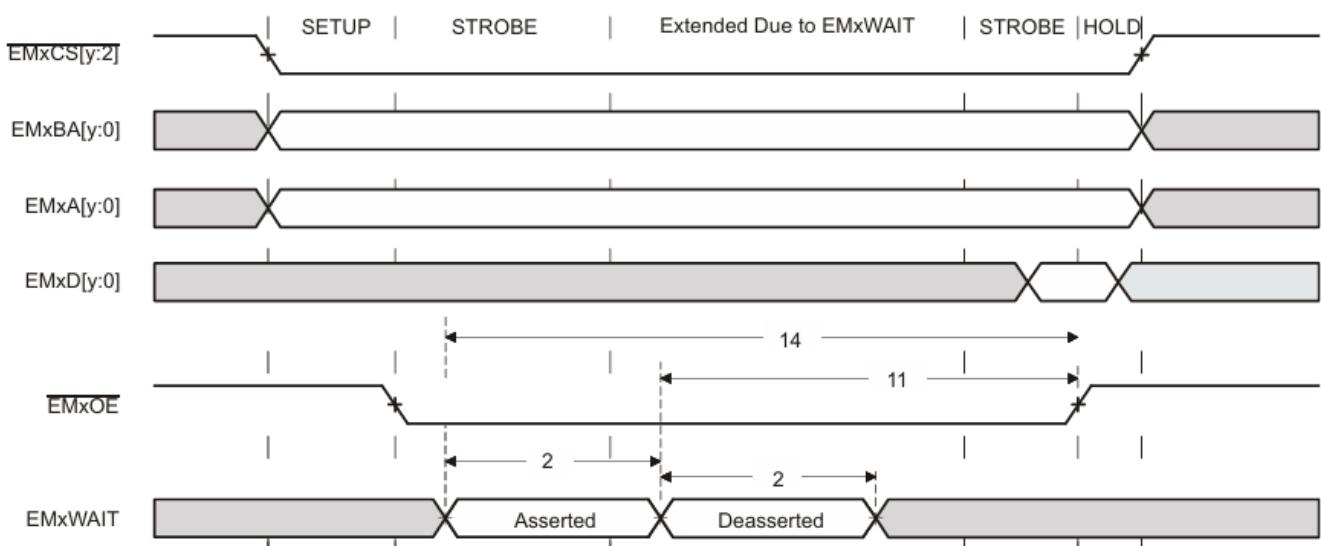


图 5-7. EMxWAIT 读取时序要求

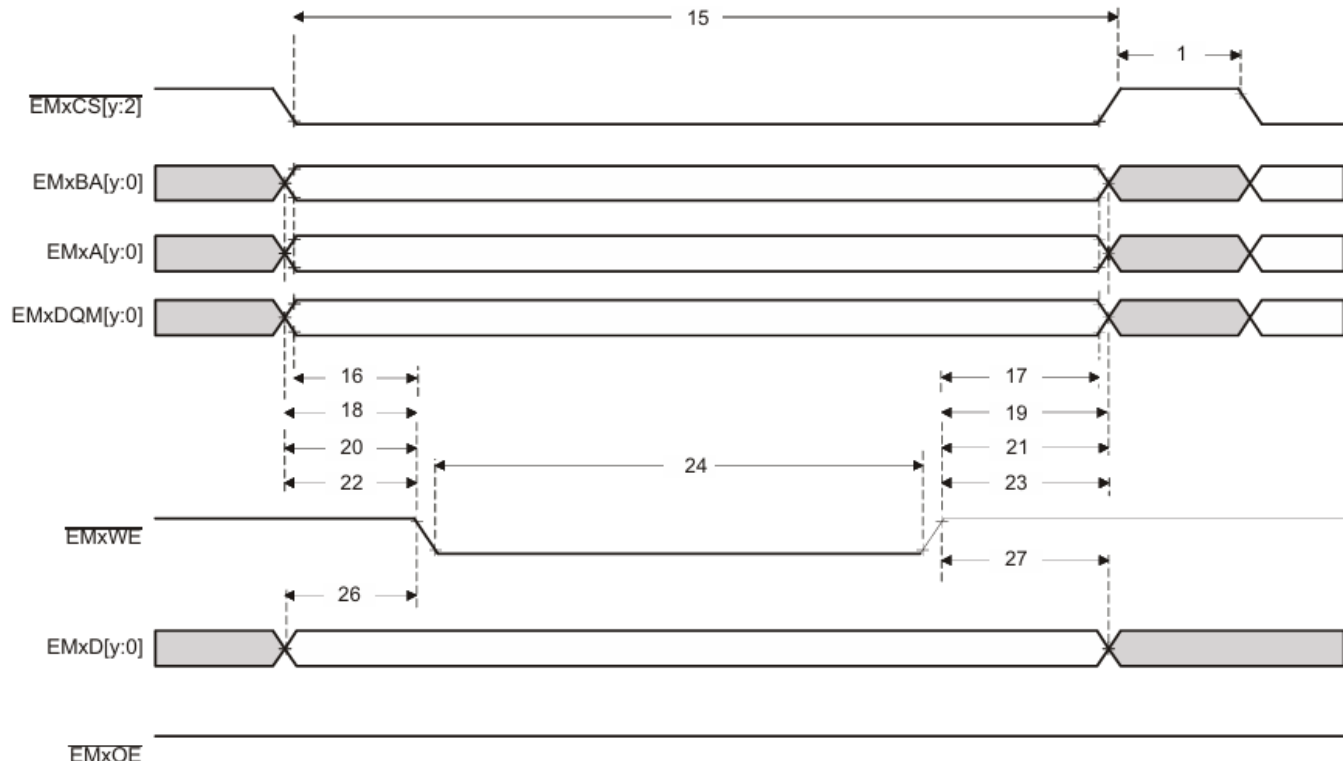


图 5-8. 异步写入内存时序

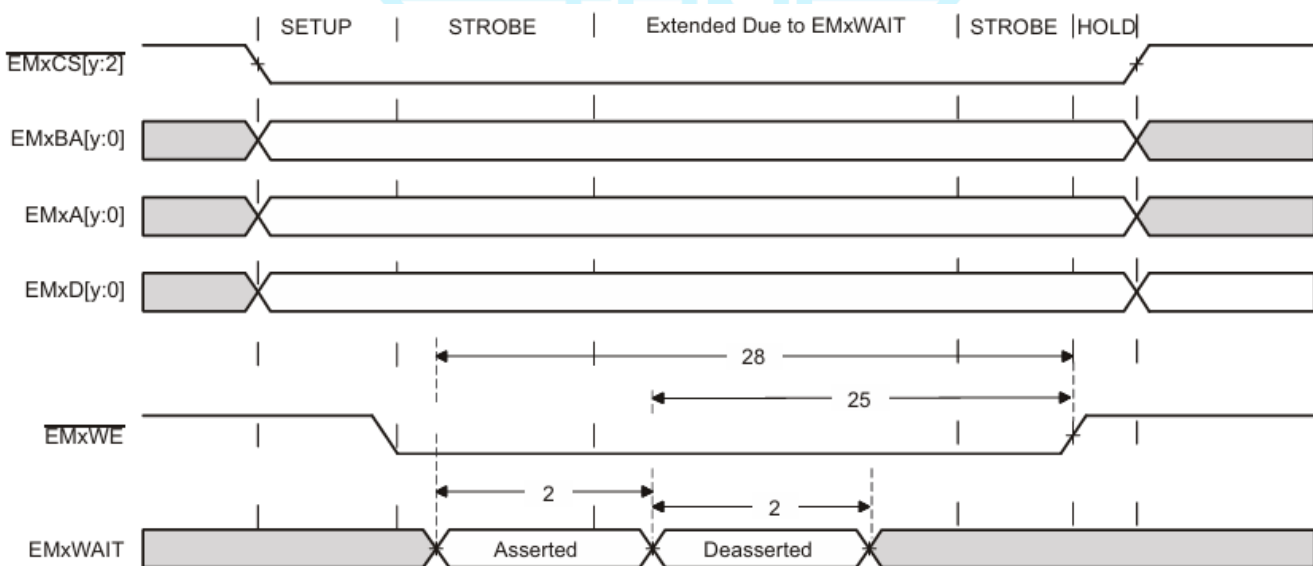


图 5-9. EMxWAIT 写入时序要求

5.8.1.3.2 同步 RAM

表5-13显示了EMIF同步存储器的时序要求。表5-14显示了EMIF同步存储器的切换特性。图5-10和图5-11显示了同步存储器的时序图。

表5-13 EMIF 同步存储器时序要求

| NO. | | | MIN | MAX | UNIT |
|-----|--------------------------|---|-----|-----|------|
| 19 | $t_{su(EMIFDV-EM_CLKH)}$ | 在 EMxCLK 上升之前, EMxD[y:0] 上的读数据有效的输入建立时间 | 2 | | ns |
| 20 | $t_{h(CLKH-DIV)}$ | 在 EMxCLK 上升之后, EMxD[y:0] 上的读数据有效的输入保持时间 | 1.5 | | ns |

表5-14 EMIF 同步存储器开关特性

| NO. | | 参数 | MIN | MAX | UNIT |
|-----|----------------------|--|-----|-----|------|
| 1 | $t_{c(CLK)}$ | 周期时间, EMIF 时钟 EMxCLK | 10 | | ns |
| 2 | $t_{w(CLK)}$ | 脉冲宽度, EMIF 时钟 EMxCLK 高电平或低电平 | 3 | | ns |
| 3 | $t_{d(CLKH-CSV)}$ | 延迟时间, EMxCLK 上升至 EMxCS[y:2] 有效 | | 8 | ns |
| 4 | $t_{oh(CLKH-CSIV)}$ | 输出保持时间, EMxCLK 上升至 EMxCS[y:2] 无效 | 1 | | ns |
| 5 | $t_{d(CLKH-DQMV)}$ | 延迟时间, EMxCLK 上升至 EMxDQM[y:0] 有效 | | 8 | ns |
| 6 | $t_{oh(CLKH-DQMV)}$ | 输出保持时间, EMxCLK 上升至 EMxDQM[y:0] 无效 | 1 | | ns |
| 7 | $t_{d(CLKH-AV)}$ | 延迟时间, EMxCLK 上升至 EMxA[y:0] 和 EMxBA[y:0] 有效 | | 8 | ns |
| 8 | $t_{oh(CLKH-AIV)}$ | 输出保持时间, EMxCLK 上升至 EMxA[y:0] 和 EMxBA[y:0] 无效 | 1 | | ns |
| 9 | $t_{d(CLKH-DV)}$ | 延迟时间, EMxCLK 上升至 EMxD[y:0] 有效 | | 8 | ns |
| 10 | $t_{oh(CLKH-DIV)}$ | 输出保持时间, EMxCLK 上升至 EMxD[y:0] 无效 | 1 | | ns |
| 11 | $t_{d(CLKH-RASV)}$ | 延迟时间, EMxCLK 上升至 EMxRAS 有效 | | 8 | ns |
| 12 | $t_{oh(CLKH-RASIV)}$ | 输出保持时间, EMxCLK 上升至 EMxRAS 无效 | 1 | | ns |

| | | | | | |
|----|----------------------|---------------------------------|---|---|----|
| 13 | $t_{d(CLKH-CASV)}$ | 延迟时间, EMxCLK 上升至 EMxCAS 有效 | | 8 | ns |
| 14 | $t_{oh(CLKH-CASIV)}$ | 输出保持时间, EMxCLK 上升至 EMxCAS 无效 | 1 | | ns |
| 15 | $t_{d(CLKH-WEV)}$ | 延迟时间, EMxCLK 上升至 EMxWE 有效 | | 8 | ns |
| 16 | $t_{oh(CLKH-WEIV)}$ | 输出保持时间, EMxCLK 上升至 EMxWE 无效 | 1 | | ns |
| 17 | $t_{d(CLKH-DHZ)}$ | 延迟时间, EMxCLK 上升至 EMxD[y:0] 三态 | | 8 | ns |
| 18 | $t_{oh(CLKH-DLZ)}$ | 输出保持时间, EMxCLK 上升至 EMxD[y:0] 驱动 | 1 | | ns |

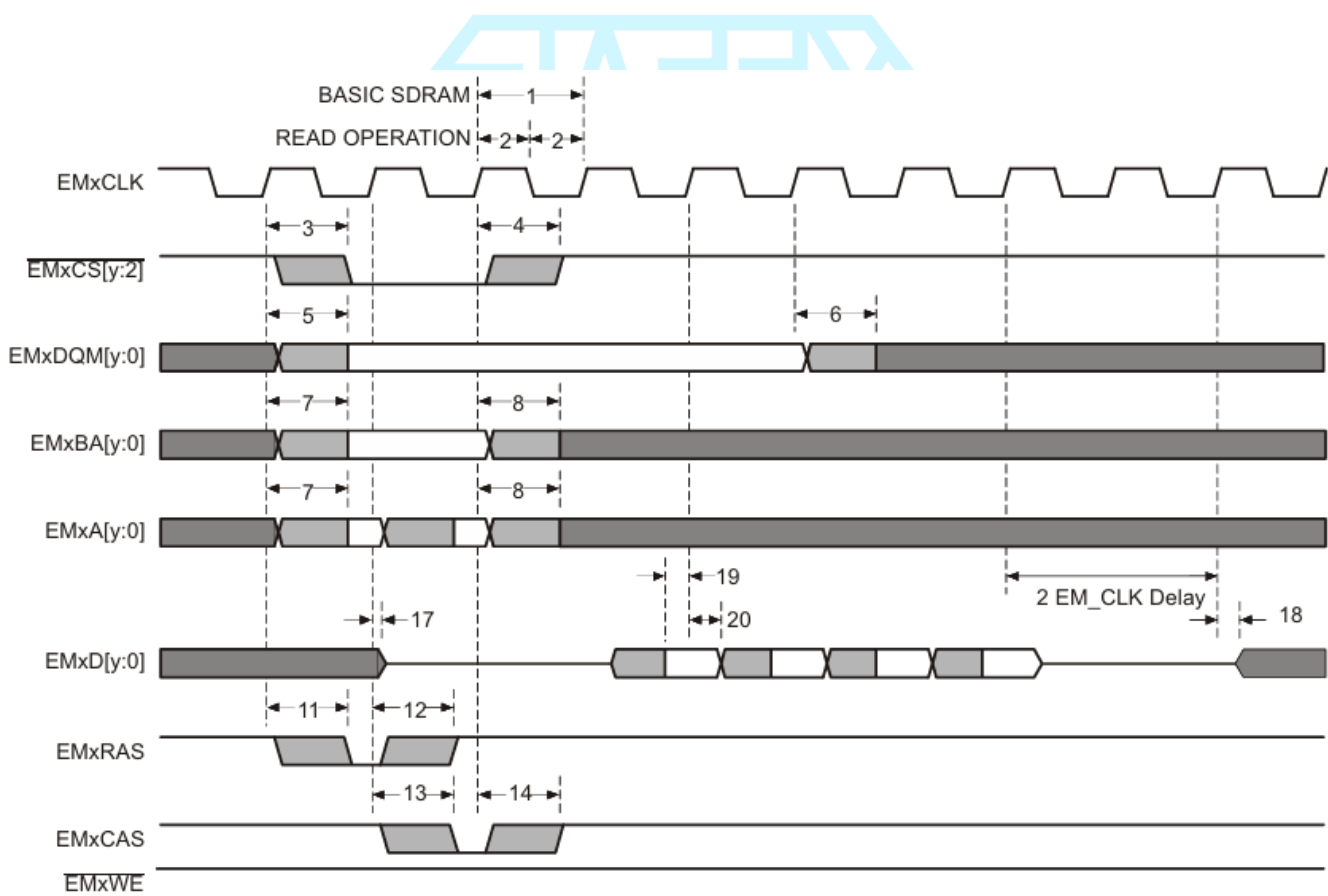


图 5-10. 基本 SDRAM 读操作

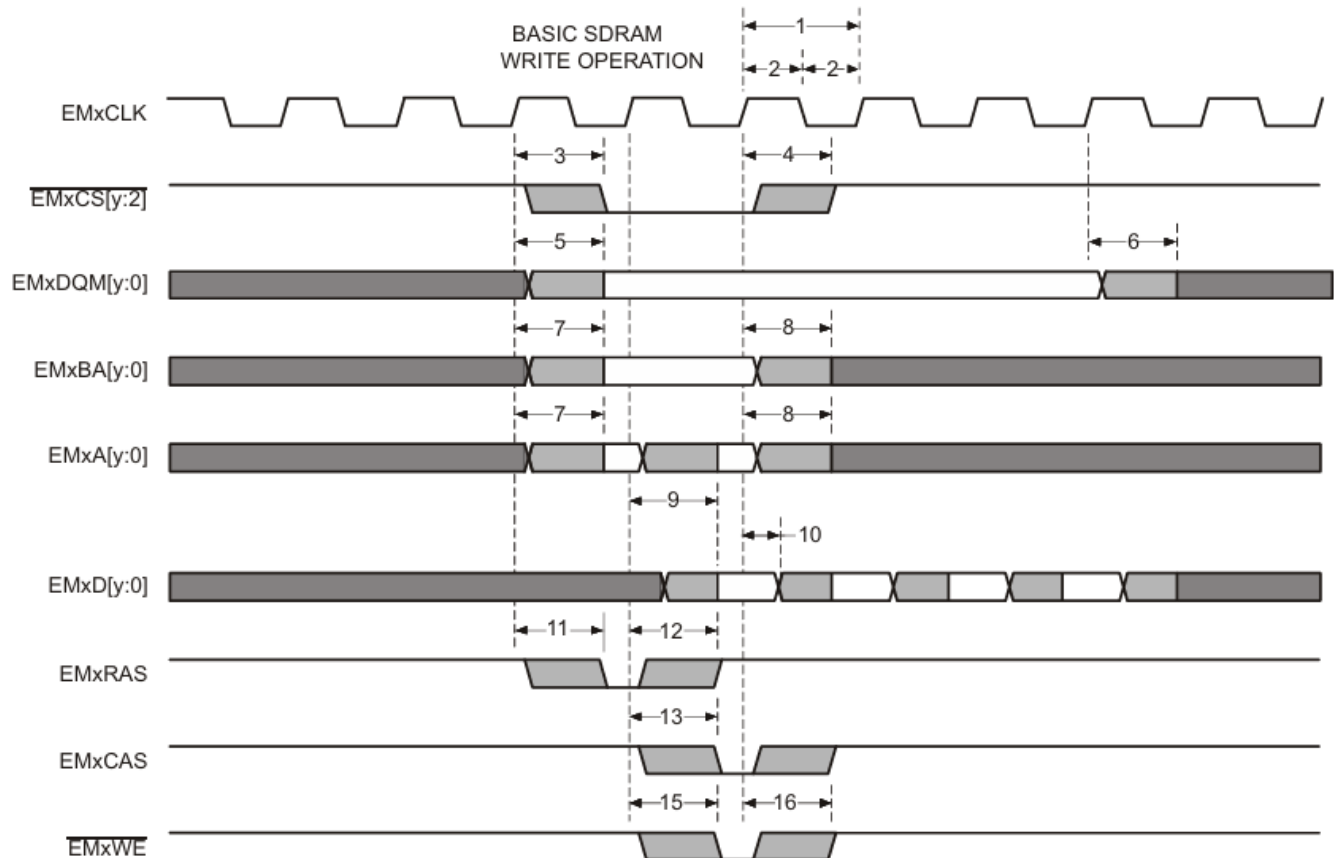


图 5-11. 基本 SDRAM 写操作

5.9 模拟外设

本节介绍了模拟子系统模块。

设备的模拟模块包括 ADC、PGA、温度传感器、缓冲 DAC 和 CMPSS。

模拟子系统具有如下特点：

- 灵活的电压参考
 - ADC 参考 VREFH_{Ix} 和 VREFLO_x 引脚
- VREFH_{Ix} 引脚电压可由外部驱动或由内部带隙电压基准生成。
- 内部电压基准范围可选为 0V 至 3.3V 或 0V 至 2.5V。
- 缓冲 DAC 以 VREFH_{Ix} 和 VREFLO_x 为基准。
 - 或者，这些 DAC 可以以 VDAC 引脚和 VSSA 为基准。
- -比较器 DAC 参考 VDDA 和 VSSA
 - 或者，这些 DAC 能参考 VDAC 和 VSSA 引脚。
- 灵活的引脚使用
 - 缓冲 DAC 输出、比较器子系统输入、PGA 功能和数字输入与 ADC 输入进行多路复用
 - 内部连接到所有 ADC 上的 VREFLO，用于偏移量自校准

图 5-6 展示了 100pin 引脚 PZ LQFP 的模拟子系统方框图。

表5-14 列举了模拟引脚与内部连接。表 5-8 列举了模拟信号的描述。图 5-9 展示了模拟部分连接。

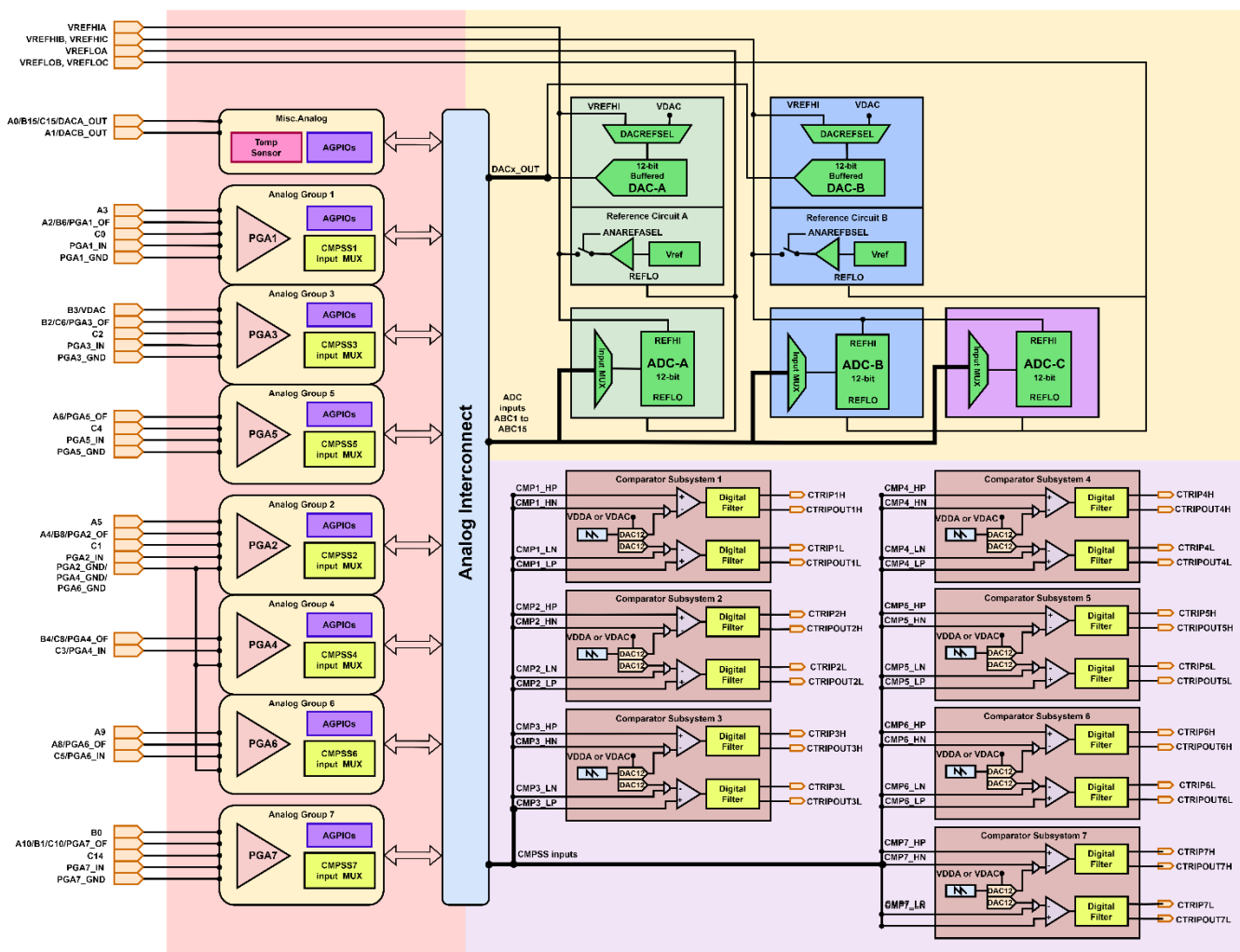


图 5-6 模拟子系统框图 (100pin PZ LQFP 封装)

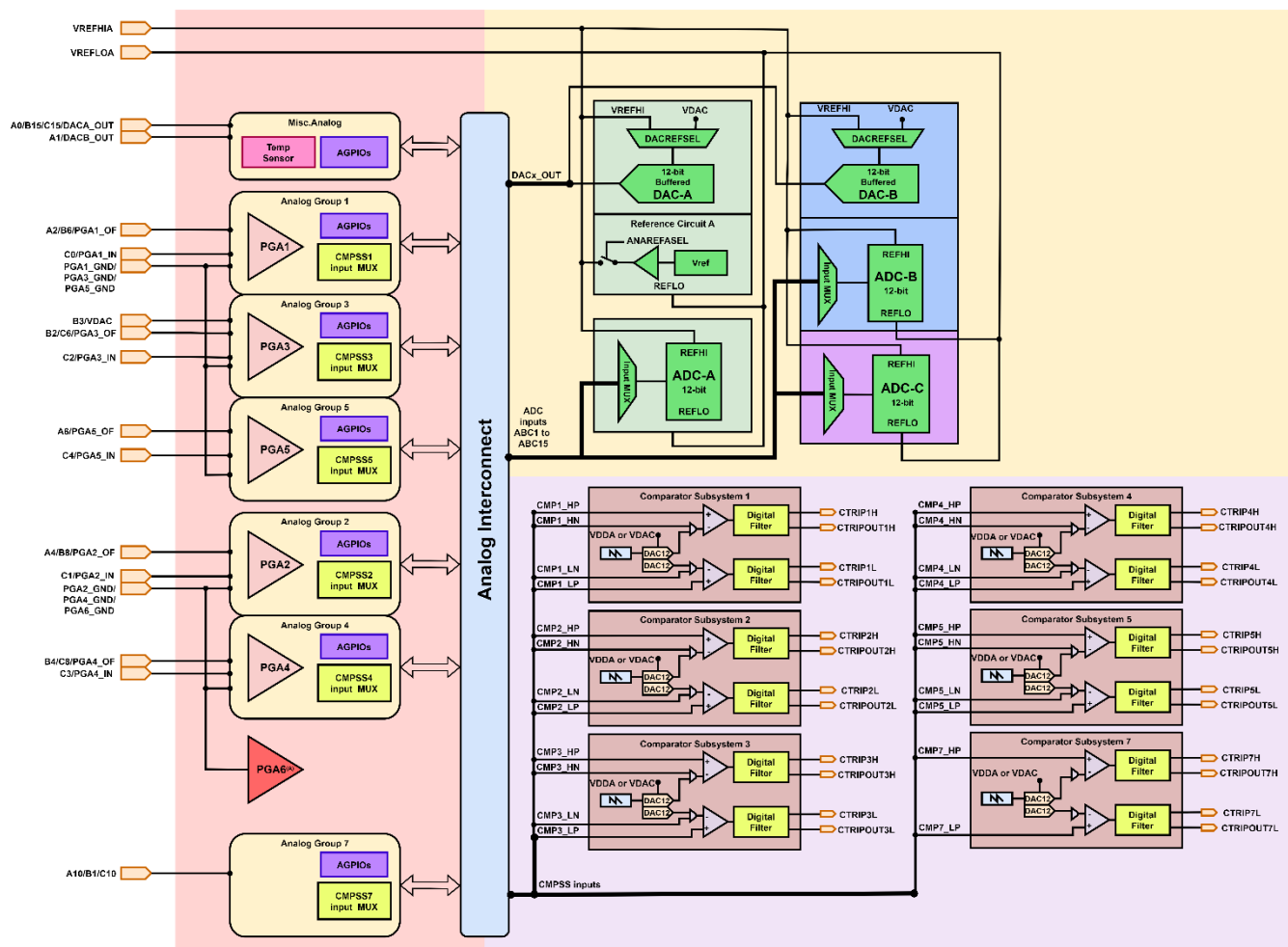


图 5-7 模拟子系统框图 (64pin PM LQFP 封装)

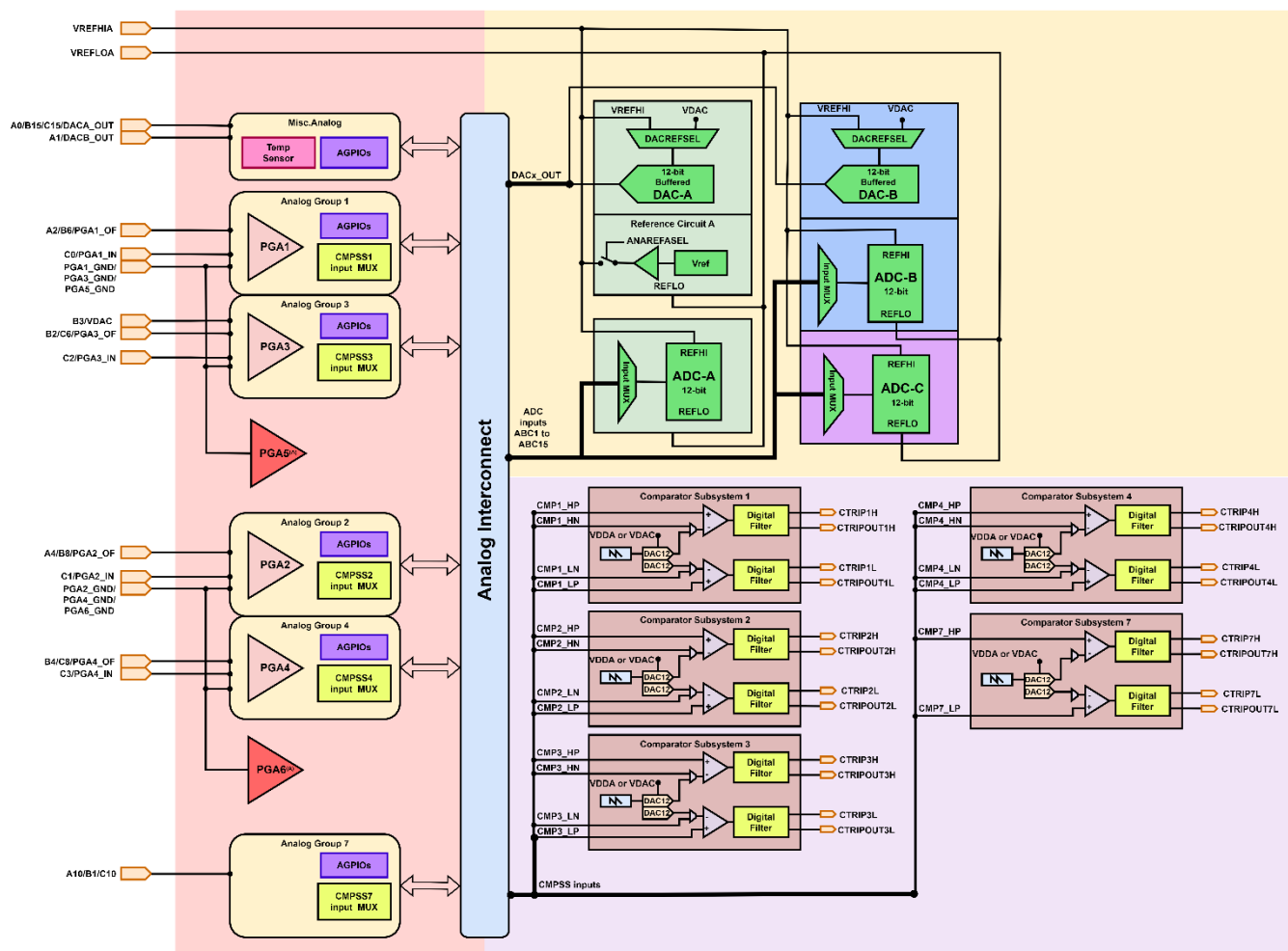
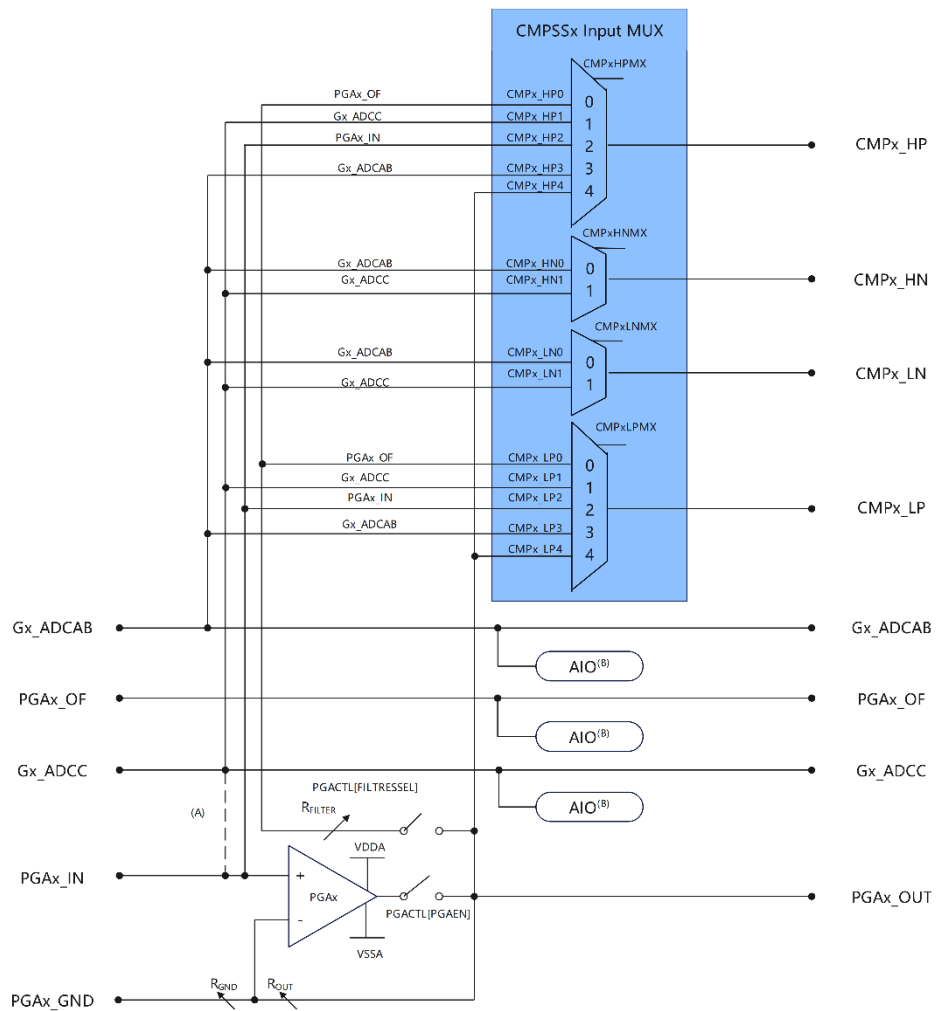


图 5-8 模拟子系统框图 (56pin RSH VQFN 封装)

图 5-9 显示了模拟组连接。请参阅模拟引脚和内部连接表，了解每个封装的每个组的特定连接。模拟信号说明表提供了模拟信号的说明。





图

5-9 模拟部分连接

表 5-11. 模拟引脚与内部连接

| 引脚名称 | 组名称 | 封装 | | | 始终连接 (无多路复用器) | | | | | 比较器子系统 (多路复用器) | | | | AIO 输入 | | |
|---------------|-------------------------|-----------|----------|-----------|---------------|------|------|--------------|------|----------------|----------------|----------------|----------------|--------|--|--|
| | | 100 PZ | 64 PM | 56 RSH | ADCA | ADCB | ADCC | PGA | DAC | 高正 | 高负 | 低正 | 低负 | | | |
| VREFHIA | - | 25 | 16 | 14 | | | | | | | | | | | | |
| VREFHIB | - | | | | | | | | | | | | | | | |
| VREFHIC | - | 27 | 17 | 15 | | | | | | | | | | | | |
| VREFLOA | - | | | | A13 | | | | | | | | | | | |
| VREFLOB | - | 26 | | | | B13 | | | | | | | | | | |
| VREFLOC | - | | | | | | C13 | | | | | | | | | |
| 模拟组 1 | | | | | | | | | | CMP1 | | | | | | |
| A3 | G1_ADCAB | 10 | | | A3 | | | | | HPMXSEL = 3 | HNMXSEL = 0 | LPMXSEL = 3 | LNMXSEL = 0 | AIO233 | | |
| A2/B6/PGA1_OF | PGA1_OF | 9 | 9 | 8 | A2 | B6 | | PGA1_OF | | HPMXSEL = 0 | | LPMXSEL = 0 | | AIO224 | | |
| C0 | G1_ADCC | 19 | 12 | 10 | | | C0 | | | HPMXSEL = 1 | HNMXSEL = 1 | LPMXSEL = 1 | LNMXSEL = 1 | AIO237 | | |
| PGA1_IN | PGA1_IN | 18 | | | | | | PGA1_IN | | HPMXSEL = 2 | | LPMXSEL = 2 | | | | |
| PGA1_GND | PGA1_GND | 14 | 10 | 9 | | | | PGA1_GN D | | | | | | | | |
| - | PGA1_OUT ⁽¹⁾ | | | | A11 | B7 | | PGA1_OU T | | HPMXSEL = 4 | | LPMXSEL = 4 | | | | |
| 模拟组 2 | | | | | | | | | | CMP2 | | | | | | |
| A5 | G2_ADCAB | 35 | | | A5 | | | | | HPMXSEL = 3 | HNMXSEL = 0 | LPMXSEL = 3 | LNMXSEL = 0 | AIO234 | | |
| A4/B8/PGA2_OF | PGA2_OF | 36 | 23 | 21 | A4 | B8 | | PGA2_OF | | HPMXSEL = 0 | | LPMXSEL = 0 | | AIO225 | | |
| C1 | G2_ADCC | 29 | 18 | 16 | | | C1 | | | HPMXSEL = 1 | HNMXSEL = 1 | LPMXSEL = 1 | LNMXSEL = 1 | AIO238 | | |
| PGA2_IN | PGA2_IN | 30 | | | | | | PGA2_IN | | HPMXSEL = 2 | | LPMXSEL = 2 | | | | |
| PGA2_GND | PGA2_GND | 32 | 20 | 18 | | | | PGA2_GN D | | | | | | | | |
| - | PGA2_OUT ⁽¹⁾ | | | | A12 | B9 | | PGA2_OU T | | HPMXSEL = 4 | | LPMXSEL = 4 | | | | |
| 模拟组 3 | | | | | | | | | | CMP3 | | | | | | |
| B3/VDAC | G3_ADCAB | 8 | 8 | 7 | | B3 | | | VDAC | HPMXSEL = 3 | HNMXSEL = 0 | LPMXSEL = 3 | LNMXSEL = 0 | AIO242 | | |
| B2/C6/PGA3_OF | PGA3_OF | 7 | 7 | 6 | | B2 | C6 | PGA3_OF | | HPMXSEL = 0 | | LPMXSEL = 0 | | AIO226 | | |
| C2 | G3_ADCC | 21 | 13 | 11 | | | C2 | | | HPMXSEL = 1 | HNMXSEL = 1 | LPMXSEL = 1 | LNMXSEL = 1 | AIO244 | | |
| PGA3_IN | PGA3_IN | 20 | | | | | | PGA3_IN | | HPMXSEL = 2 | | LPMXSEL = 2 | | | | |

| 引脚名称 | 组名称 | 封装 | | | 始终连接 (无多路复用器) | | | | | 比较器子系统 (多路复用器) | | | | AIO 输入 |
|---------------|-------------------------|-----------|----------|-----------|---------------|------|----------|----------|-------------|----------------|-------------|-------------|-------------|--------|
| | | 100 PZ | 64 PM | 56 RSH | ADCA | ADCB | ADCC | PGA | DAC | 高正 | 高负 | 低正 | 低负 | |
| PGA3_GND | PGA3_GND | 15 | 10 | 9 | | | | PGA3_GND | | | | | | |
| - | PGA3_OUT ⁽¹⁾ | | | | B10 | C7 | PGA3_OUT | | HPMXSEL = 4 | LPMXSEL = 4 | | | | |
| 模拟组 4 | | | | | | | | | | CMP4 | | | | |
| B5 | G4_ADCAB | | | | B5 | | | | | HPMXSEL = 3 | HNMXSEL = 0 | LPMXSEL = 3 | LNMXSEL = 0 | AIO243 |
| B4/C8/PGA4_OF | PGA4_OF | 39 | 24 | 22 | B4 | C8 | PGA4_OF | | HPMXSEL = 0 | LPMXSEL = 0 | | | | AIO227 |
| C3 | G4_ADCC | 31 | 19 | 17 | C3 | | | | HPMXSEL = 1 | HNMXSEL = 1 | LPMXSEL = 1 | LNMXSEL = 1 | | AIO245 |
| PGA4_IN | PGA4_IN | | | | | | PGA4_IN | | HPMXSEL = 2 | LPMXSEL = 2 | | | | |
| PGA4_GND | PGA4_GND | 32 | 20 | 18 | | | PGA4_GND | | | | | | | |
| - | PGA4_OUT ⁽¹⁾ | | | | B11 | C9 | PGA4_OUT | | HPMXSEL = 4 | LPMXSEL = 4 | | | | |
| 模拟组 5 | | | | | | | | | | CMP5 | | | | |
| A7 | G5_ADCAB | | | | A7 | | | | | HPMXSEL = 3 | HNMXSEL = 0 | LPMXSEL = 3 | LNMXSEL = 0 | AIO235 |
| A6/PGA5_OF | PGA5_OF | 6 | 6 | | A6 | | | PGA5_OF | | HPMXSEL = 0 | LPMXSEL = 0 | | | AIO228 |
| C4 | G5_ADCC | 17 | 11 | | C4 | | | | HPMXSEL = 1 | HNMXSEL = 1 | LPMXSEL = 1 | LNMXSEL = 1 | | AIO239 |
| PGA5_IN | PGA5_IN | 16 | | | | | PGA5_IN | | HPMXSEL = 2 | LPMXSEL = 2 | | | | |
| PGA5_GND | PGA5_GND | 13 | 10 | 9 | | | PGA5_GND | | | | | | | |
| - | PGA5_OUT ⁽¹⁾ | | | | A14 | | | PGA5_OUT | | HPMXSEL = 4 | LPMXSEL = 4 | | | |
| 模拟组 6 | | | | | | | | | | CMP6 | | | | |
| A9 | G6_ADCAB | 38 | | | A9 | | | | | HPMXSEL = 3 | HNMXSEL = 0 | LPMXSEL = 3 | LNMXSEL = 0 | AIO236 |
| A8/PGA6_OF | PGA6_OF | 37 | | | A8 | | | PGA6_OF | | HPMXSEL = 0 | LPMXSEL = 0 | | | AIO229 |
| C5 | G6_ADCC | 28 | | | C5 | | | | HPMXSEL = 1 | HNMXSEL = 1 | LPMXSEL = 1 | LNMXSEL = 1 | | AIO240 |
| PGA6_IN | PGA6_IN | | | | | | PGA6_IN | | HPMXSEL = 2 | LPMXSEL = 2 | | | | |
| PGA6_GND | PGA6_GND | 32 | 20 | 18 | | | PGA6_GND | | | | | | | |

| 引脚名称 | 组名称 | 封装 | | | 始终连接 (无多路复用器) | | | | | 比较器子系统 (多路复用器) | | | | AIO 输入 |
|---------------------|-------------------------|-----------|----------|-----------|---------------|------|--------------|--------------|----------------|----------------|----------------|----------------|----------------|--------|
| | | 100 PZ | 64 PM | 56 RSH | ADCA | ADCB | ADCC | PGA | DAC | 高正 | 高负 | 低正 | 低负 | |
| - | PGA6_OUT ⁽¹⁾ | | | | A15 | | | PGA6_OU T | | HPMXSEL = 4 | | LPMXSEL = 4 | | |
| 模拟组 7 | | | | | | | | | | | | | | |
| B0 | G7_ADCAB | 41 | | | B0 | | | | | HPMXSEL = 3 | HNMXSEL = 0 | LPMXSEL = 3 | LNMXSEL = 0 | AIO241 |
| A10/B1/C10/PGA7_OF | PGA7_OF ⁽²⁾ | 40 | 25 | 23 | A10 | B1 | C10 | PGA7_OF | | HPMXSEL = 0 | | LPMXSEL = 0 | | AIO230 |
| C14 | G7_ADCC | 44 | | | | C14 | | | | HPMXSEL = 1 | HNMXSEL = 1 | LPMXSEL = 1 | LNMXSEL = 1 | AIO246 |
| PGA7_IN | PGA7_IN | 43 | | | | | | PGA7_IN | | HPMXSEL = 2 | | LPMXSEL = 2 | | |
| PGA7_GND | PGA7_GND | 42 | | | | | | PGA7_GN D | | | | | | |
| - | PGA7_OUT ⁽¹⁾ | | | | B12 | C11 | PGA7_OU T | | HPMXSEL = 4 | | LPMXSEL = 4 | | | |
| 其他模拟 | | | | | | | | | | | | | | |
| A0/B15/C15/DACA_OUT | | 23 | 15 | 13 | A0 | B15 | C15 | | DACA_OU T | | | | | AIO231 |
| A1/DACB_OUT | | 22 | 14 | 12 | A1 | | | | DACB_OU T | | | | | AIO232 |
| C12 | | | | | | | C12 | | | | | | | AIO247 |
| - | 温度传感器 ⁽¹⁾ | | | | B14 | | | | | | | | | |

表 5-12. 模拟信号说明

| 信号名称 | 说明 |
|-----------|------------------|
| AI0x | AI0 引脚的数字输入 |
| Ax | ADC A 输入 |
| Bx | ADC B 输入 |
| Cx | ADC C 输入 |
| CMPx_DACH | 比较器子系统高电平 DAC 输出 |
| CMPx_DACL | 比较器子系统低电平 DAC 输出 |
| CMPx_HNy | 比较器子系统高电平比较器负输入 |

| 信号名称 | 说明 |
|----------|-----------------|
| CMPx_HPy | 比较器子系统高电平比较器正输入 |
| CMPx_LNy | 比较器子系统低电平比较器负输入 |
| CMPx_LPY | 比较器子系统低电平比较器正输入 |
| DACx_OUT | 缓冲 DAC 输出 |
| PGAx_GND | PGA 接地 |

| | |
|----------|--|
| PGAx_IN | PGA 输入 |
| PGAx_OF | 滤波器的 PGA 输出 |
| PGAx_OUT | 到内部 ADC 的 PGA 输出 |
| 温度传感器 | 内部温度传感器 |
| VDAC | 片上 DAC 的可选外部基准电压。无论是用于 ADC 输入还是 DAC 基准，此引脚上有一个连接至 VSSA 且无法禁用的 100pF 电容器。如果将此引脚用作片上 DAC 的基准，请在此引脚上放置至少一个 1μF 电容器。 |

5.9.1 模数转换器 (ADC)

ADC 模块是一个分辨率最高为 14 比特的逐次逼近(SAR)型 ADC。ADC 由一个核心和一个封装器组成。核心由模拟电路组成，包括通道选择MUX、采样保持（S/H）电路、逐次逼近电路、电压参考电路和其他模拟支持电路。包装器由配置和控制ADC的数字电路组成。这些电路包括用于可编程转换的逻辑、结果寄存器、与模拟电路的接口、与外围总线的接口、后处理电路以及其他片上模块的接口。

每个ADC模块由一个采样保持（s/h）电路组成。ADC模块设计为在同一芯片上多次复制，允许多个ADC同时采样或独立操作。

每个 ADC 有如下特点：

- 可配置分辨率：14位、12位、10位、8位
- 外部参考比例通过 VREFHI/VREFLO 配置；
- 内部可选参考为 2.5 或者 3.3V；
- 单端输入和差分输入；
- 最大支持 21 通道输入复用；
- 20 个可配置 SOC；
- 20 个可单独寻址的结果寄存器；
- 多个触发源：
 - S/W：软件立即启动
 - 所有 ePWM：ADCSOC A 或 B
 - GPIO XINT2
 - CPU Timers 0/1/2
- 四个灵活的PIE中断
- 四个后处理模块，每个模块包括：
 - 饱和偏置量校准

- 设定点计算的偏差
- 具有中断和 ePWM 跳闸功能以及高电平、低电平、过零比较
- 触发采样延迟捕获

注：并非每个通道都可以从所有 ADC 输出引脚，具体请参考节 6 确定哪个通道可用。

ADC 内核和 ADC 封装器的方框图如图 5-10 所示。

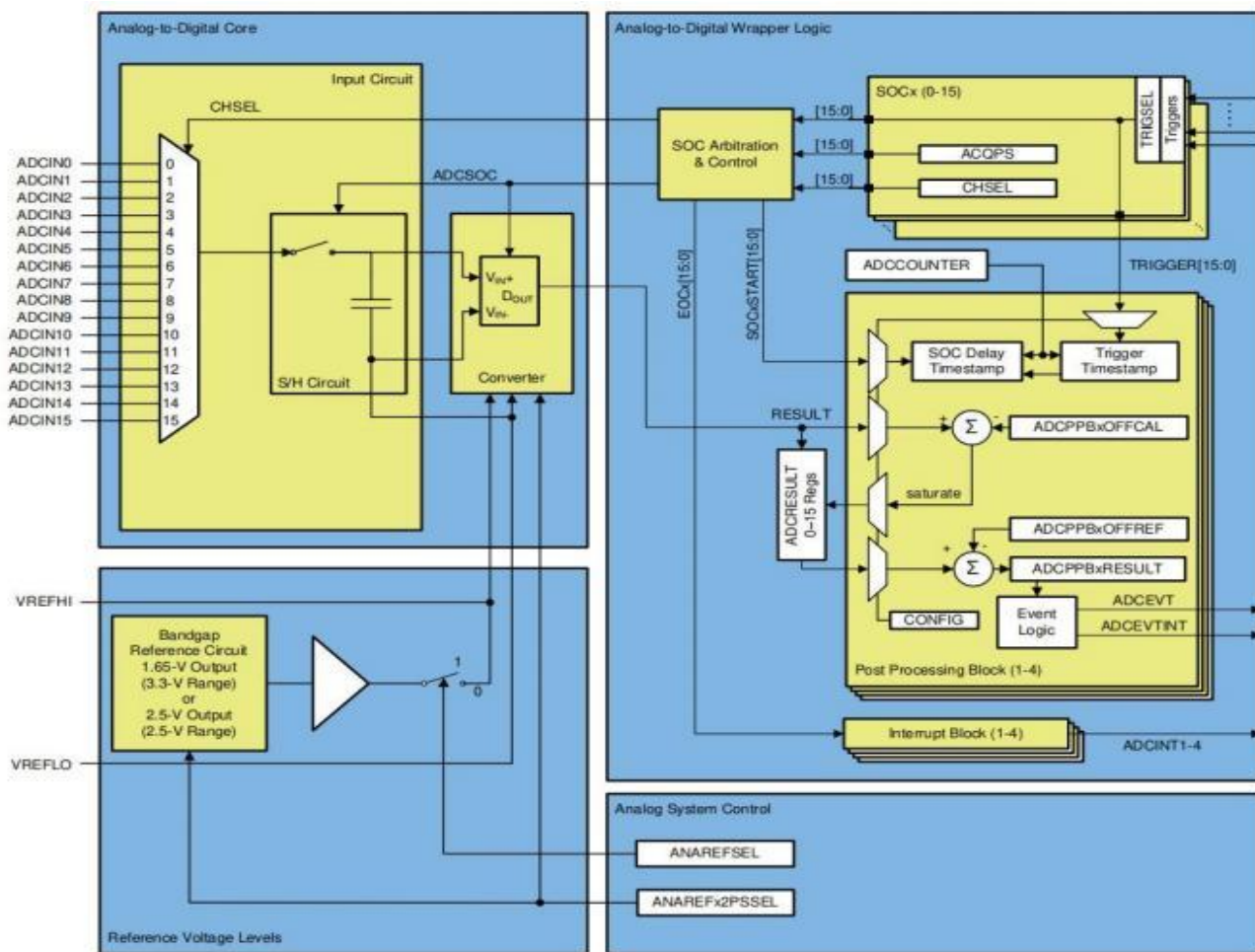


图 5-10 ADC 模块方框图

5.9.1.1 结果寄存器映射

系统中每个存储器总线控制器的 ADC 结果和 ADC PPB 结果是相同的。总线控制器包括特定器件系列和器件型号上的 CPU 、 CLA 和 DMA。对于每个总线控制器，无需进行访问配置即可读取结果寄存器，并且在多个总线控制器尝试同时读取 ADC 结果时不会发生冲突。

5.9.1.2 ADC 配置

ADC模块的通道选择、采样时间和触发源是由SOCx单独控制，其他配置由每个ADC模块全局控制。表 5-13总结了ADC所有可配置的选项。

表 5-13 ADC配置选项

| 选项 | 配置 |
|--------|------------------------|
| Clock | 每个ADC模块 ⁽¹⁾ |
| 分辨率 | 可配置 (14位、12位、10位、8位) |
| 输入模式 | 单端或者差分 |
| 参考电压 | 每个ADC模块 (外部或者内部) |
| 通道选择 | 每个SOCx寄存器 |
| 触发源 | 每个SOCx寄存器 |
| 采样时间 | 每个SOCx寄存器 |
| EOC的位置 | 每个ADC模块 |

(1) 这些值写入不同的ADC模块可能会导致ADC运行异步。有关ADC何时同步或异步操作的指导，

注：请参阅《QXS320F28377LRevA参考手册》模数转换器(ADC)章节的确保同步操作部分。

5.9.1.3 ADC 电气数据与时序

表 5-14 列举了ADC 工作条件。表 5-15 列举了 ADC 电气特性。

5.9.1.3.1 ADC工作条件

注：

(1)ADC输入应在工作期间保持低于VDDA+0.3V。若ADC输入超过该值，设备的内部参考VREF将会受到干扰，将影响使用相同VREF的其他ADC或DAC输入的结果。

(2) VREFHI 引脚必须保持低于 VDDA+0.3V，以确保常工作。若 VREFHI 超过该值，阻塞电路将激活，VREFHI 的内部值可能浮动到 0V，将导致不正确的 ADC 转换或者 DAC 输出。

在自然通风条件下的工作温度范围内测得（除非另作说明）

表 5-14.ADC 工作条件

| 参数 | 测试条件 | 最小值 | 典型值 | 最大值 | 单位 |
|--|-----------|--------|---------|--------|--------|
| ADCCLK (来自于 PERx. SYSCLK) | | 48 | | | MHz |
| 采样速率 | | | | 4.00 | MSPS |
| 采样窗口持续(通过 PERx. SYSCLK 与 ACQPS 设置) (1) | | 4.5 | 4.5 | 4.5 | SYSCLK |
| VREFHI | 外部参考 | 2.4 | 2.5或3.0 | VDDA | V |
| VREFHI | 内部参考=3.3V | | 1.65 | | V |
| | 内部参考=2.5V | | 2.5 | | V |
| VREFLO | | VSSA | VSSA | VSSA | V |
| VREFHI-VREFLO | | 2.4 | | VDDA | V |
| 转换范围 | 内部参考=3.3V | 0 | | 3.3 | V |
| | 内部参考=2.5V | 0 | | 2.5 | V |
| | 外部参考 | VREFLO | | VREFHI | V |

- (1) 该采样窗口必须至少达到正常 ADC 操作的 1 个 ADCCLK 周期长度；
- (2) 内部参考模式，设备VREFHI 引脚由参考电压驱动。用户在该模式时不应使用引脚驱动。

5.9.1.3.2 ADC 特性

在自然通风条件下的工作温度范围内测得（除非另作说明）

表 5-15. 14bit ADC 特性

| 参数 | 测试条件 | 最小值 | 典型值 | 最大值 | 单位 |
|--------------|-------------------------|------|-----|-----|---------|
| 通用 | | | | | |
| ADCCLK 转换周期 | | 0.01 | | 48 | ADCCLKs |
| 上电时间 | 外部参考模式 | 6 | 10 | 20 | μs |
| | 内部参考模式 | 6 | 10 | 20 | μs |
| | 内部参考模式, 可选择 2.5V 或 3.3V | 6 | 10 | 20 | μs |
| 内部基准电容值(2) | | 4.7 | | | μF |
| 外部基准电容值(2) | | 4.7 | | | μF |
| 直流特性 | | | | | |
| DNL 误差 | VREFHI=3.3V | -1.0 | | 1.0 | LSB |
| INL 误差 | VREFHI=3.3V | -2.0 | | 2.0 | LSB |
| 交流特性 | | | | | |
| Offset error | | | ±6 | | LSB |
| Gain error | | | ±6 | | LSB |
| SNR(3) | VREFHI=3.3V, fin=10kHz | | 80 | | dBFS |

- (1) 当ADC输入大于VDDA时, VREFHI上的负载电流增加, 将导致转换不精确。
- (2) 建议使用0805封装电容或者更小的陶瓷电容, 接受±20%的容差。
- (3) 为尽量减少电容耦合和串扰, 在毗邻ADC输入引脚和VREFHI引脚的IO活动已经最小化。
- (4) 直流/直流稳压器对ADC的噪声影响在很大程度上取决于PCB布局。

5.9.1.3.3 ADC 时序框图

下面的图是基于正常工作条件下的所有数据和时序：

| Symbol | Parameter | Conditions | Min | Typ | Max | Units |
|-------------|--|---|------|-----------------------------------|-----|-------|
| T | Clock period | (Fig 2.) (Fig 3.) | 20.8 | -- | -- | ns |
| T_{PU} | SAR ADC stable time | | 5 | -- | -- | us |
| T_{BS} | Analog input and address valid time before START sample. | Analog input and ADDRESS may be not valid at the same time | 0.5 | -- | -- | T |
| T_{START} | Time of first receiving start after RESETN release | | 2 | -- | -- | T |
| T_{AH} | Analog input and address Hold Time | Analog input and ADDRESS can not be changed when BUSY is high | -- | $T_{SAMP} + 4$ | -- | T |
| T_{DLY} | Data refresh delay | START=1 | -- | $T_{SAMP} + 2 + \text{Bit-Width}$ | -- | T |

图 5-11. ADC 时序参数

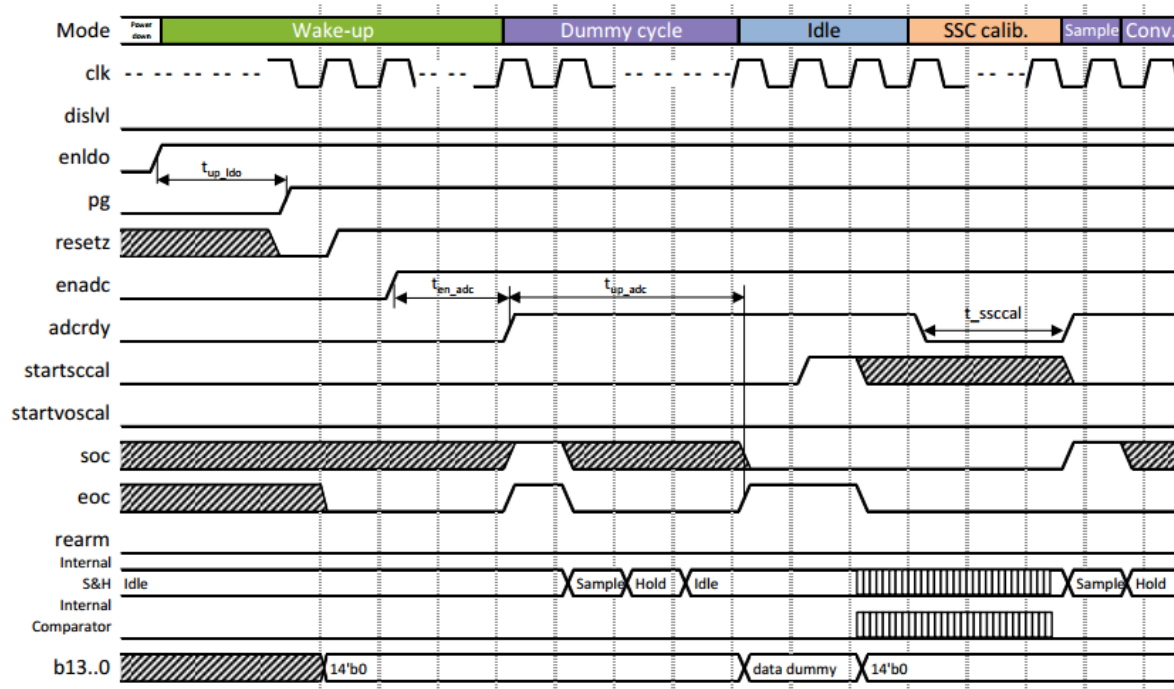


图 5-12. 14bit ADC 转换时序-连续转换

5.9.2 可编程增益放大器(PGA)

可编程增益放大器 (PGA) 用于放大输入电压，以提高下游 ADC 和 CMPSS 模块的有效分辨率。集成的 PGA 有助于使传统上需要外部独立放大器的许多控制应用降低成本和设计工作量。通过片上集成可确保 PGA 与下游 ADC 及 CMPSS 模块兼容。软件可选增益和滤波器设置使 PGA 能够满足各种性能需求。

该 PGA 具有以下特性：

- 五种可编程增益模式：2倍、3倍、6倍、12倍、24倍、48倍。
- 由 VDDC 和 VSSC 进行内部供电。
- 支持使用 PGA_GND 引脚进行开尔文接地连接。
- 使用嵌入式串联电阻进行 RC 滤波。

PGA 中的有源器件是一个嵌入式运算放大器，通过内部反馈电阻配置为同相放大器。这些内部反馈电阻值经过配对以产生软件可选的电压增益。

器件引脚上有三个 PGA 信号：

- PGA_INP 是 PGA 运算放大器的正输入，固定输入为 INP0，PSEL[1:0]=0。施加到该引脚的信号将被 PGA 放大，其他接口保留。
- PGA_INN 是 PGA_IN 信号的开尔文接地基准。固定配置是 GSEL[1:0]=0，选择 INN0 作为 GND 输入。理想情况下，PGA_GND 基准等于 VSSC；但是，PGA 可以容忍 VSSA 的小失调电压。
- PGA_VOUT_S 支持使用 RC 元件进行运算放大器输出滤波。可用 ADJ_RE 可以调整 R 的大小，

经滤波后的信号可由内部 ADC 和 CMPSS 模块进行采样和监控。

PGA_VOUT 是运算放大器输出端的内部信号。它可由内部 ADC 和 CMPSS 模块进行采样和监控。

图 5-13 所示为 PGA 方框图。

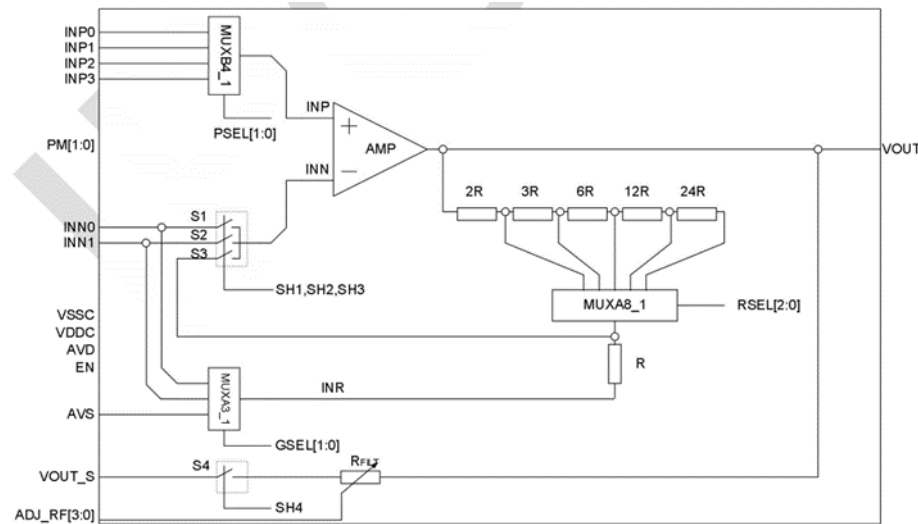


图 5-13. PGA 方框图

5.9.2.1 PGA 电气数据和时序

[节 5.9.2.1.1](#) 列出了 PGA 的运行条件。 [节 5.9.2.1.2](#) 列出了 PGA 的特征。

5.9.2.1.1 PGA 运行条件

理论设计指标（除非另作说明）

表 5-16. PGA 运行条件

| 参数 | 测试条件 | 最小值 | 典型值 | 最大值 | 单位 |
|--|-----------------------------|-------------|-----|-------------|----|
| PGA 输出范围(1) | | VSSA + 0.35 | | VDDA - 0.35 | V |
| PGA GND 范围 | | -50 | | 200 | mV |
| 最小 ADC S+H (无滤波器; 增益 = 3、6、 12) | 稳定在 ±1 ADC LSB 精 度 范 围 内 | 160 | | | ns |
| 最小 ADC S+H (无滤波器; 增益 = 24) | 稳定在 ±2 ADC LSB 精 度 范 围 内 | 200 | | | ns |

(1) 这是 PGA 的线性输出范围。 PGA可以输出此范围以外的电压，但电压将不呈线性。

5.9.2.1.2 PGA 特征

理论设计指标（除非另作说明）

表 5-17. PGA 特征

| 参数 | | 测试条件 | 最小值 | 典型值 | 最大值 | 单位 |
|---------------------|--|---|---------------------|------------------|-----|----|
| 通用 | | | | | | |
| 增益设置 | | | | 3、6、 12、24、48 | | |
| 输入偏置电流 | | | | 2 | | A |
| 短路电流 | | | | 35 | | A |
| 满量程阶跃响应 应 (无滤波器) | | 稳定在 ±2 ADC LSB 精度范围内 | | 0 45 | | s |
| 建立时间 | | 增益开关 | | | 10 | μs |
| 压摆率 | | Setting Time to 0.1% | 2V Step Gain=1 | | 0.8 | |
| | | | 2mV Step Gain =1 | | 0.4 | |
| | | Setting Time to 0.01% | 2V Step Gain=1 | | 1.2 | |
| | | | 2mV Step Gain =1 | | 0.6 | |
| RGND | | Gain=1 Input 0.25V jump to AVD-0.25V @100ns | | | 7 | |

| 参数 | 测试条件 | 最小值 | 典型值 | 最大值 | 单位 |
|----------------|------------------|------|------|------|---------|
| R输出 | 增益: 3 | 40 | 50 | 60 | kΩ |
| | 增益: 6 | 400 | 125 | 150 | kΩ |
| | 增益: 12 | 220 | 275 | 330 | kΩ |
| | 增益: 24 | 460 | 575 | 690 | kΩ |
| | 增益: 48 | 940 | 1175 | 1410 | kΩ |
| RFILT | | 16 | 160 | 800 | kΩ |
| 上电时间 | | | 5 | | μs |
| 直流特征(5) | | | | | |
| 增益误差(1) | 增益 = 3、6、12 | -0.5 | | 0.5 | % |
| | 增益: 24 | -0.8 | | 0.8 | % |
| 增益温度系数 | | | | | |
| 失调误差(2) | | -5 | | 5 | mV |
| | 以输入为基准 | | ±5.5 | | 12b LSB |
| 失调温度系数 | | | | | |
| 直流代码扩展 | | | | | |
| AC 特征 | | | | | |
| 带宽(3) | 0.2V<VCM<AVD=0.2 | | 13 | | MHz |
| | 增益: 3 | 40 | 50 | 60 | kΩ |
| | 增益: 6 | 400 | 125 | 150 | kΩ |
| | 增益: 12 | 220 | 275 | 330 | kΩ |
| | 增益: 24 | 460 | 575 | 690 | kΩ |
| R输出 | 增益: 48 | 940 | 1175 | 1410 | kΩ |
| | RFILT | 16 | 160 | 800 | kΩ |
| | 上电时间 | | 5 | | μs |

| 参数 | 测试条件 | 最小值 | 典型值 | 最大值 | 单位 |
|-------------------------------------|---|-----|-----|-----|--------------|
| THD(4) CMRR | Vo=1Vrms Gain =1 f=1KHz RL=2K Ω | | -85 | | dB |
| | 0.2V<VCM<AVD-0.2 | | 75 | | dB |
| PSRR(4) | Power Rejection Ratio PSRR@<1KHz VCM=AVD/2 | | 80 | | dB |
| | Power Rejection Ratio PSRR@10KHz VCM=AVD/2 | | 70 | | dB |
| 噪声 PSD(4) 集成噪声 (以输入为基准) (4) | Input Voltage Noise, f=1KHz | | 30 | | nV/sqrt (Hz) |
| | Input Voltage Noise, f=0.1Hz to 10Hz | | 6 | | μV |
| THD(4) | Vo=1Vrms Gain =1 f=1KHz RL=2K Ω | | -85 | | dB |
| CMRR | 0.2V<VCM<AVD-0.2 | | 75 | | dB |

- (1) 包括外部基准模式下的 ADC 增益误差。
 (2) 包括外部基准模式下的 ADC 失调误差。
 (3) 3dB 带宽。
 (4) PGA 单独的表现。
 (5) PGA 的 DNL/INL 在 ADC 的 DNL/INL 容差范围内，因此未单独显示。

5.9.2.1.3 PGA 典型特征图

图 5-14 所示为输入偏置电流与温度间的关系。

注意：对于图 5-14，需满足以下条件（除非另有说明）：

- $T_A=30^\circ\text{C}$
- $VDDA = 3.3\text{V}$
- $VDD = 1.2\text{V}$

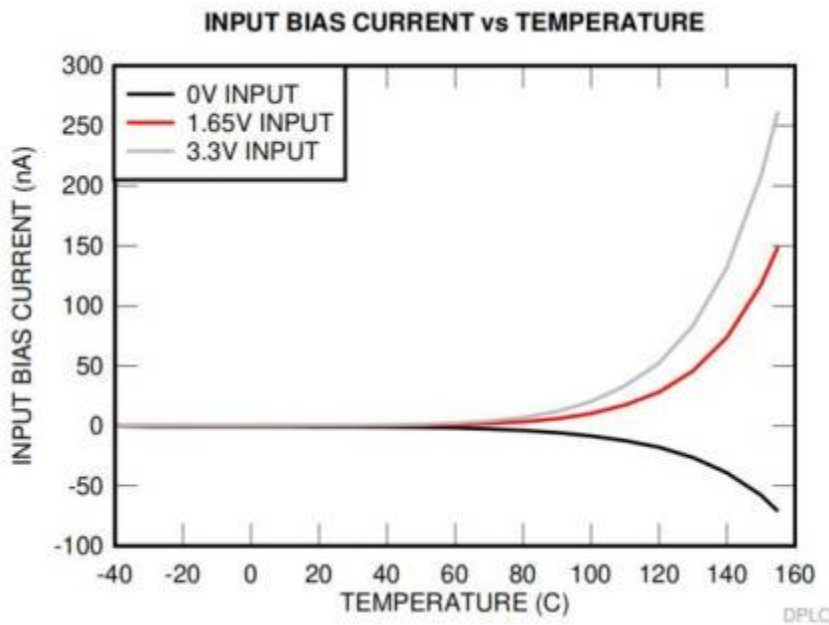


图 5-14. 输入偏置电流与温度间的关系

5.9.3 温度传感器

5.9.3.1 温度传感器电气数据和时序

该温度传感器可用于测量器件结温。温度传感器通过ADC的内部连接进行采样，并通过QX提供的软件转换为温度。当温度传感器采样时，ADC必须满足5.9.3.1.1中的采样时间。

5.9.3.1.1 温度传感器特性

理论设计指标（除非另作说明）

表 5-18. 温度传感器特性

| 参数 | | | 最小值 | 典型值 | 最大值 | 单位 |
|----------|--|--|-----|---------|------|----|
| Tacc | 温度精度 | | -40 | ± 2 | +125 | °C |
| tstartup | 启动时间 (TSNsCTL[ENABLE] 至 采 样 温 度 传 感 器) | | | 200 | | μs |
| tSH | ADC 采样保持时间 | | | | | ns |

5.9.4 缓冲数模转换器(DAC)

Buffered DAC模块由一个内部12位DAC和一个PGA组成。Buffered DAC是一种通用DAC，除了可以生成正弦波、方波、三角波等波形外，还可以生成电压。软件写入DAC寄存器的值可以立即生效，也可以与EPWMSYNCPER事件同步。

每个Buffered DAC有如下的特点：

- 12bit 可编程的内部 DAC
- 可选参考电压源
- 使用内部 VREFHI 时的 X1 和 X2 增益模式
- 能够与 EPWMSYNCPER 同步

Buffered DAC 模块框图 5-15 所示，其中 V_{DAC_OUT} 为模拟电压输出

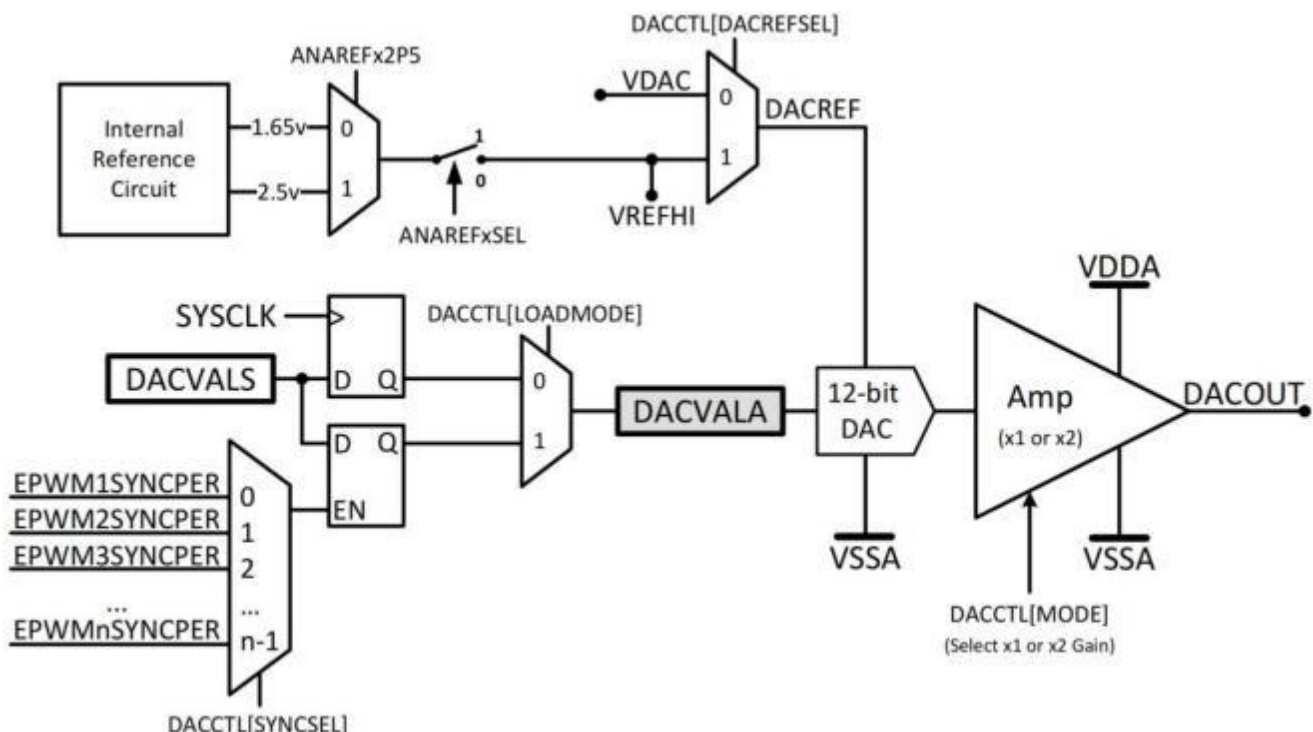


图 5-15. DAC 模块方框图

5.9.4.1 缓冲 DAC 电气数据和时序

节 5.9.4.1.1 列出了缓冲 DAC 运行条件。节 5.9.4.1.2 列出了缓冲 DAC 电气特性。

5.9.4.1.1 缓冲 DAC 运行条件

理论设计指标（除非另作说明）(1)

表 5-19. 缓冲 DAC 运行条件

| 参数 | 测试条件 | 最小值 | 典型值 | 最大值 | 单位 |
|------------------|----------------------|-------|------------|-------------|----|
| RL 电阻负载(2) | | 10 | | | kΩ |
| CL 容性负载 | | | | 50 | pF |
| VOUT 有效输出电压范围(3) | RLOAD =∞, CLOAD=50pF | 0.015 | | AVD-0.0.015 | V |
| 基准电压(4) | VDAC 或 VREFHI | | 1.65 或 2.5 | VDDA | V |

(1) 典型值是在 $VREFHI = 3.3V$ 和 $VREFLO = 0V$ 时测得的，除非另外注明。在 $VREFHI = 2.5V$ 和 $VREFLO = 0V$ 条件下对最小值和最大值进行测试或表征。

(2) DAC 可以驱动最小 $1k\Omega$ 的阻性负载，但输出范围会受到限制。

(3) 这是 DAC 的线性输出范围。DAC 可以产生此范围以外的电压，但由于缓冲器的原因，输出电压将不呈线性。

(4) 为了获得卓越 PSRR 性能，VDAC 或 VREFHI 应小于 VDDA。

5.9.4.1.2 缓冲 DAC 电气特性

理论设计指标（除非另作说明）(1)

表 5-20. 缓冲 DAC 电气特性

| 参数 | 测试条件 | 最小值 | 典型值 | 最大值 | 单位 |
|-------------------|----------------------------|-----|-----|-----|------|
| 通用 | | | | | |
| 分辨率 | | 12 | | | 位 |
| 负载调整率 | | -1 | | 1 | mV/V |
| 毛刺脉冲能量 | | | 1.5 | | V-ns |
| 电压输出稳定时间满量程 | 在 0.3V 至 3V 切换后稳定到 2LSB | | | 2 | μs |
| 电压输出稳定时间第 1/4 满量程 | 在 0.3V 至 0.75V 切换后稳定到 2LSB | | | 1.6 | μs |
| 电压输出压摆率 | 从 0.3V 到 3V 转换的压摆率 | 2.8 | | 4.5 | V/μs |

| | | | | | | |
|--------------|----------|---|------|-----|------|------------|
| 负载瞬态的稳定时间(6) | | 5kΩ 负载 | | | 328 | ns |
| | | 1kΩ 负载 | | | 557 | ns |
| 基准输入电阻(2) | | VDAC 或 VREFHI | 160 | 200 | 240 | kΩ |
| TPU | 上电时间 | R _{LOAD} =10K, C _{LOAD} =50pF | | | 1500 | μs |
| 直流特性 | | | | | | |
| 偏移 偏移量误差 | | 中点 | -25 | 10 | 25 | mV |
| Gain 增益误差(3) | | | -1.5 | | 1.5 | FSR 百分比 |
| DNL 微分非线性(4) | | 已更正端点 | | ±1 | | LSB |
| INL | 积分非线性 | 已更正端点 | | ±2 | | LSB |
| 交流特性 | | | | | | |
| 输出噪声 | | 从 100Hz 到 100kHz 的 积分 噪声 | | 600 | | μVrms |
| | | 10kHz 时的噪声密度 | | 800 | | nVrms/ √Hz |
| SNR | 信噪比 | 2kHz , (A-weighted)(7) | | 95 | | dB |
| THD 真 | | 1kHz , 200KSPS | | 74 | | dB |
| SFDR 态范围 | | 无杂散动 1kHz , 200KSPS | | 80 | | dB |
| PSRR | 电源抑制比(5) | C _{LOAD} =50pF @1KHz | | -70 | | dB |

(1) 典型值是在 $VREFHI = 3.3V$ 和 $VREFLO = 0V$ 时测得的，除非另外注明。在 $VREFHI = 2.5V$ 和 $VREFLO = 0V$ 条件下对最小值和最大值进行测试或表征。

(2) 每个有源缓冲 DAC 模块。

(3) 增益误差是在线性输出范围内计算得出。

(4) DAC 输出是单调输出。

(5) $VREFHI = 3.2V$, $VDDA = 3.3V DC + 100mV$ 正弦。

(6) 稳定在 3LSB 以内。

注意：VDAC 引脚必须保持低于 $VDDA + 0.3V$ ，以确保正常运行。如果 VDAC 引脚超过此电平，可能会激活阻塞电路，并且 VDAC 的内部值可能会在内部浮动至 0V，从而导致 DAC 输出不正确。

注意：VREFHI 引脚必须保持低于 VDDA + 0.3V，以确保正常工作。如果 VREFHI 引脚超过此电平，可能会激活阻塞电路，并且 VREFHI 的内部值可能会上浮至 0V，从而导致 ADC 转换或 DAC 输出不正确。

5.9.4.1.3 缓冲 DAC 示意图

图 5-16 显示了缓冲 DAC 的偏移量。图 5-17 显示了缓冲 DAC 增益。图 5-18 显示了缓冲 DAC 线性。

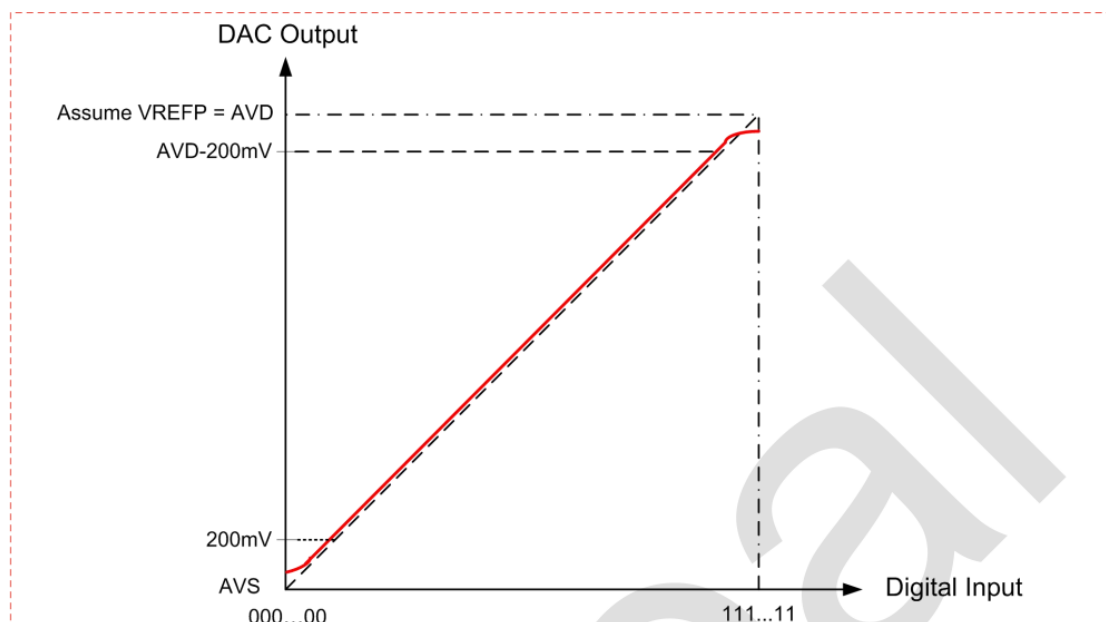


图 5-16. 缓冲 DAC 线性

5.9.4.1.4 缓冲 DAC 典型特性图

图 5-19 至图 5-24 显示了一些缓冲 DAC 参数的典型性能。图 5-19 显示了 DNL。图 5-20 显示了 INL。图 5-21 显示了毛刺脉冲响应（511 至 512 DACVAL），图 5-22 显示了毛刺脉冲响应（512 至 511 DACVAL）。请注意，毛刺脉冲仅发生在 MSB 转换时，最坏的情况是 511 至 512 和 512 至 511 转换。图 5-23 显示了 $1\text{k}\Omega$ 负载瞬态。图 5-24 显示了 $5\text{k}\Omega$ 负载瞬态。

备注：对于图 5-19 至图 5-24，以下条件适用（除非另有说明）：

- $\text{TA}=30^\circ\text{C}$
- $\text{VDDA} = 3.3\text{V}$

- VDD = 1.2 V

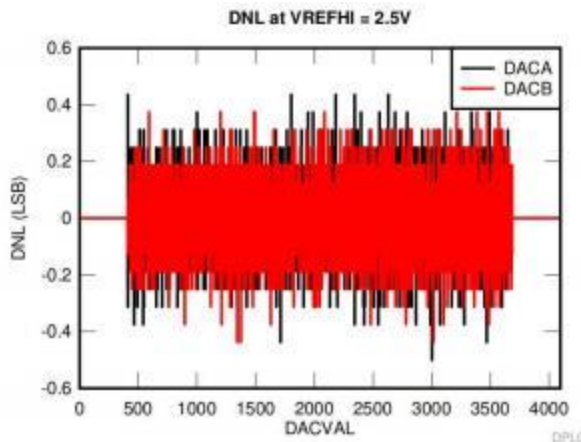


图 5-19 DNL

GLITCH RESPONSE at VDAC = 2.5V
511 to 512 DACVAL

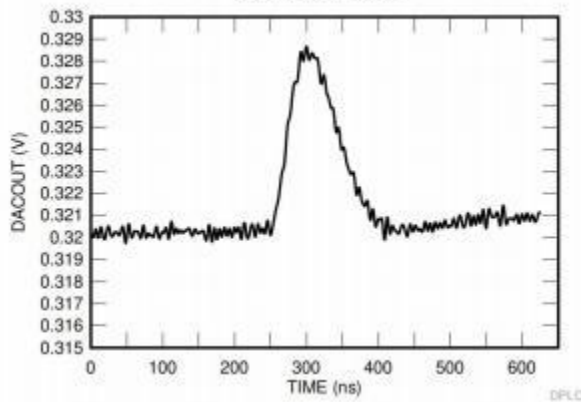
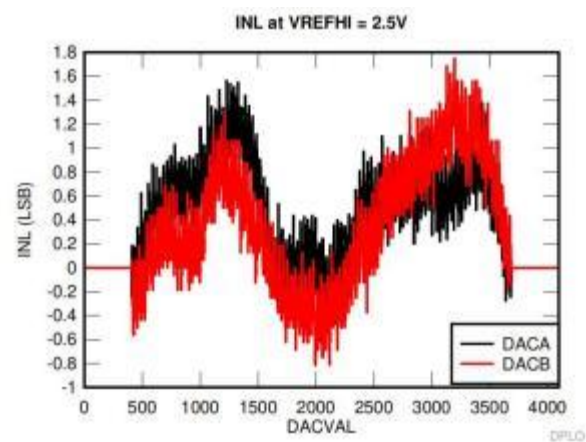
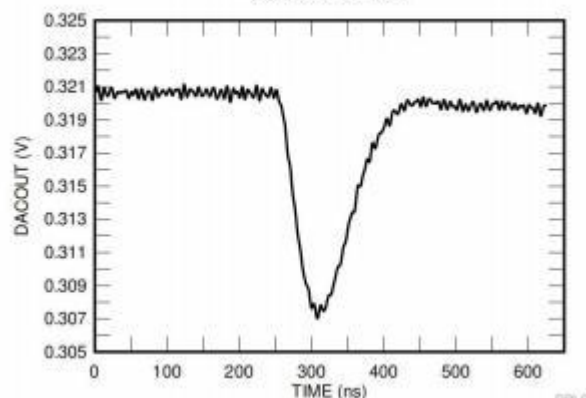


图 5-21 毛刺脉冲响应-511至512 DACVAL



GLITCH RESPONSE at VDAC = 2.5V
512 to 511 DACVAL



5.9.5 比较器子系统(CMPSS)

每个 CMPSS 包含两个比较器，两个 12 位参考器。每个模块内的比较器用“H”或“L”表示，其中“H”一个数字输出，表示正输入端的电压是否大于负输入端。负输入可以由外部引脚或可编程参考 12 位 DAC。每个 CMPSS 模块有两个输出。这两个输出经过数字滤波器和 Cross-bar 模块再连接到 ePWM 模块或 GPIO 引脚。

CMPSS 连接如图 5-25 所示。

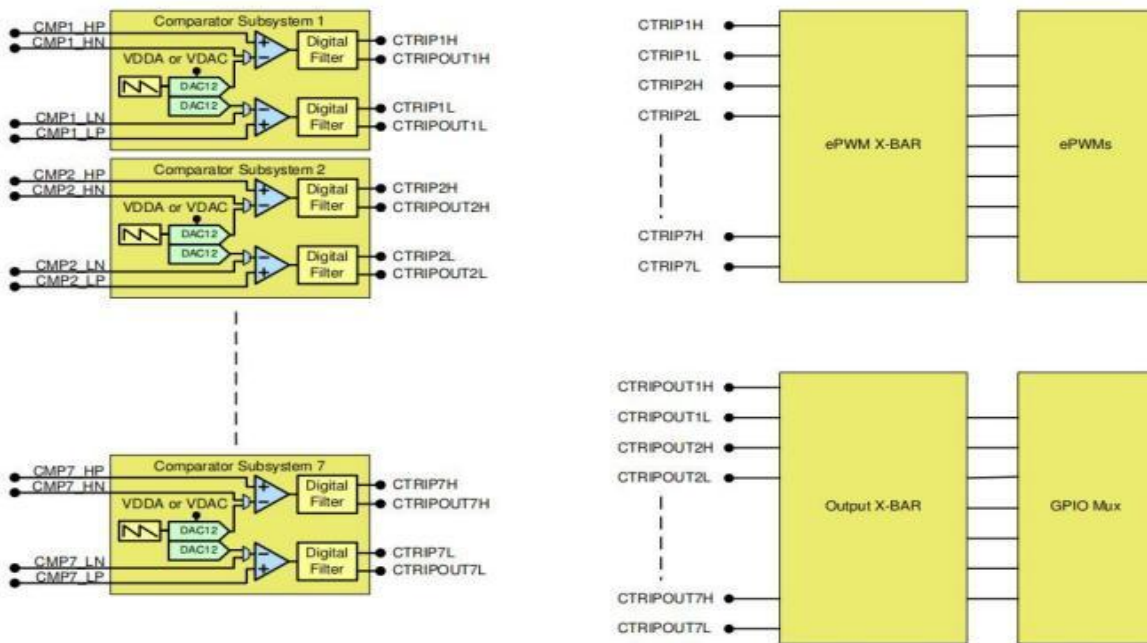


图 5-25 CMPSS 连接

注：并非所有封装都具有所有 CMPSS 引脚。请参阅模拟引脚和内部连接表。

5.9.5.1 CMPSS 电气数据和时序

第 5.9.5.1.1 节列出了比较器的电气特性。CMPSS 比较器输入参考偏移量如图 5-26 所示。CMPSS 比较器迟滞如图 5-27 所示。

5.9.5.1.1 比较器电气特性

理论设计指标（除非另作说明）

表 5-21. 比较器电气特性

| 参数 | 测试条件 | 最小值 | 典型值 | 最大值 | 单位 |
|------------------|---------------|-----|------|-----|-----|
| TPU | Power-up time | | 3 | | 1μs |
| 比较器输入(CMPINxx)范围 | | 0 | VDDA | | V |

(1) CMPSS DAC 用作确定应用多大迟滞的参考。因此，迟滞量将与 CMPSS DAC 参考电压成比例。

迟滞可用于所有比较器输入源配置。

注意: CMPSS 输入必须保持在 $VDDA + 0.3\text{ V}$ 以下, 以确保正常的功能运行。如果 CMPSS 输入超过这个电平, 内部阻塞电路将内部比较器与外部引脚隔离, 直到外部引脚电压恢复到 $VDDA + 0.3\text{ V}$ 以下。在此期间, 内部比较器输入是浮动的, 并且可以在大约 $0.5\mu\text{s}$ 内衰减到 $VDDA$ 以下。在此之后, 根据 比较器另一个输入, 比较器可能输出一个错误的结果。

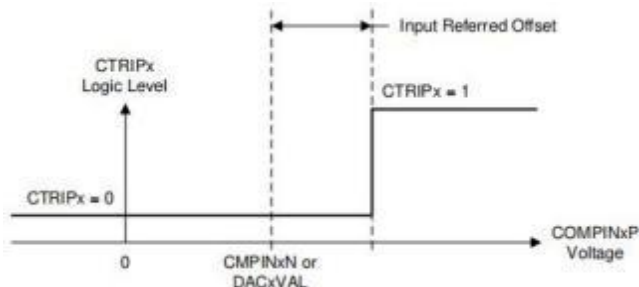


图 5-26. CMPSS 比较器输入参考偏移量

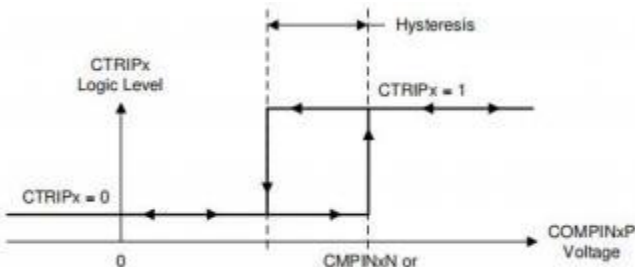


图 5-27. CMPSS 比较器迟滞

第 5.9.5.1.2 节列出了 CMPSS DAC 的静态电气特性

5.9.5.1.2 CMPSS DAC 静态电气特性

理论设计指标（除非另作说明）

表 5-22. CMPSS DAC 静态电气特性

| 参数 | 测试条件 | 最小值 | 典型值 | 最大值 | 单位 |
|----------------|--------------------|-----|-----|-----------|------|
| CMPSS DAC 输出范围 | 内部参考 | 0 | | $VDDA$ | V |
| | 外部参考 | 0 | | $VDAC(4)$ | |
| 静态 DNL | 终点修正 | >-1 | | 4 | LSB |
| 静态 INL | 终点修正 | -16 | | 16 | LSB |
| 校正时间 | 全量程输出变化后, 调整到 1LSB | 350 | | | ns |
| 分辨率 | | | 12 | | bits |

| | | | | | |
|------------------------|------------|-----|--------------|------|----|
| VDAC 参考电压 | 当VDAC 为参考时 | 2.4 | 2.5 或 3.0 | VDDA | V |
| VDAC 负载 ⁽³⁾ | 当VDAC 为参考时 | 6 | 8 | 10 | kΩ |

- (1) 包括比较器输入参考误差。
- (2) 在比较器跳闸后的一段时间内，CMPSS DAC 输出可能会出现扰动误差。
- (3) 每个活动 CMPSS 模块。
- (4) 当 $VDAC > VDDA$ 时，最大输出电压为VDDA。

图 5-27 显示了 CMPSS DAC 静态偏移量。图 5-28 显示了 CMPSS DAC 静态增益。图 5-29 显示了 CMPSS DAC 静态线性。

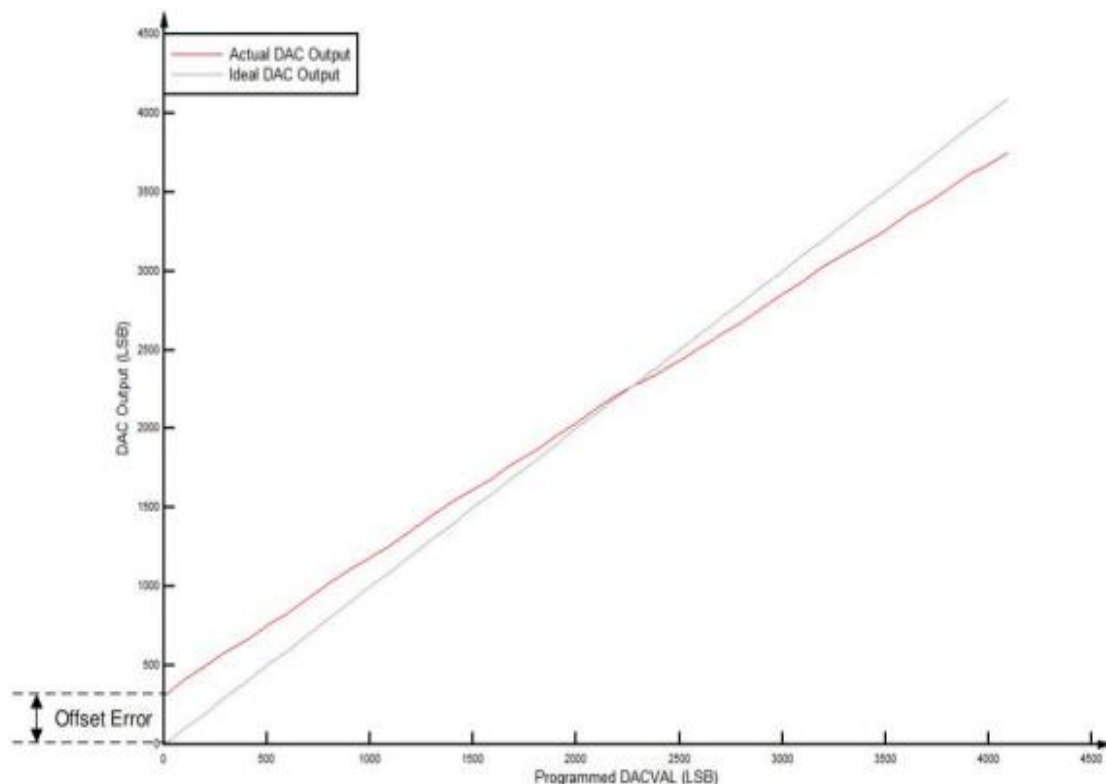


图 5-28. CMPSS DAC 静态偏移量

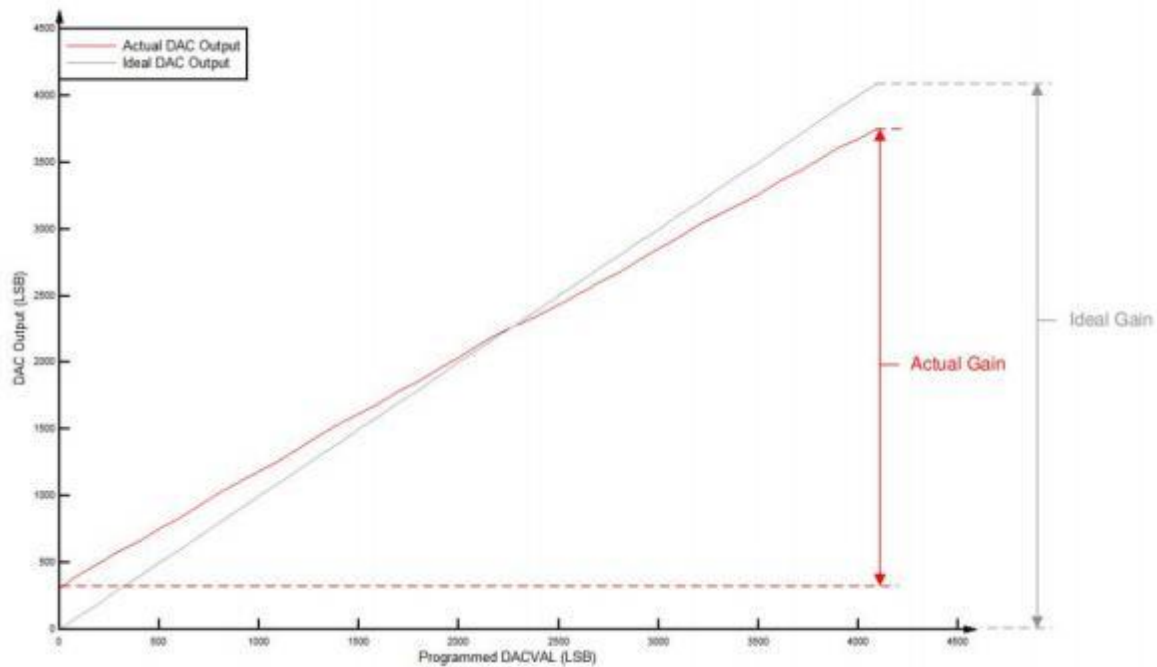


图 5-29 CMPSS DAC 静态增益

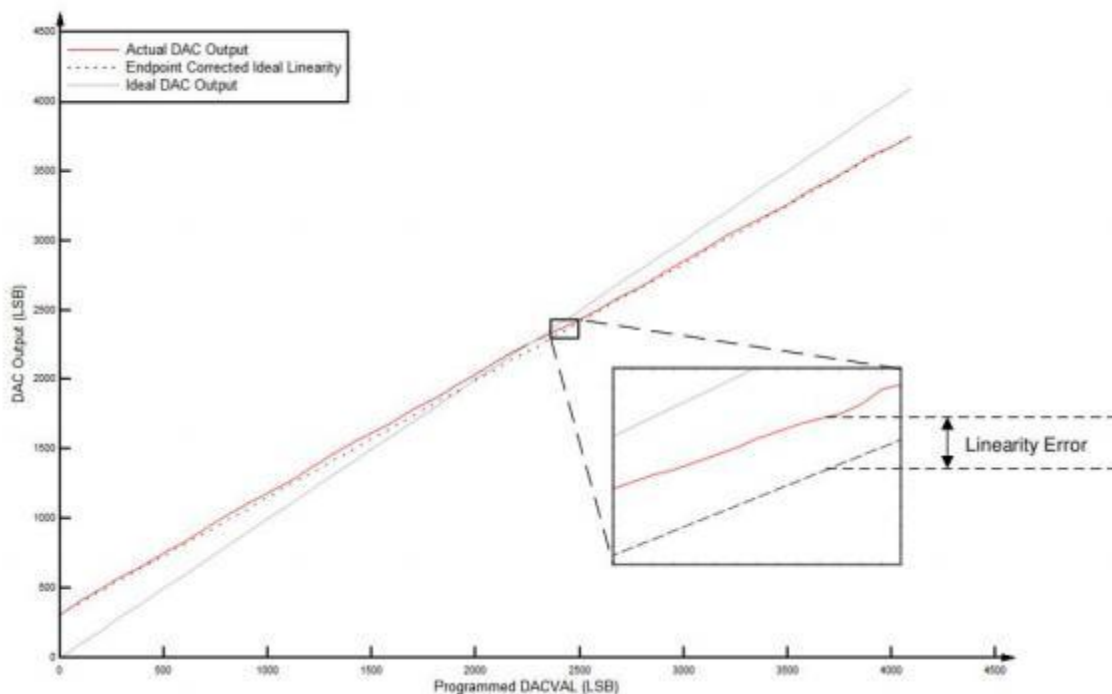


图 5-30 CMPSS DAC 静态增益

5.10 控制外设

5.10.1 增强型捕获(eCAP)

1 类增强型捕获(eCAP) 模块用于注重外部事件精确时序的系统。

eCAP 模块的应用包括：

- 旋转机械的速度测量（例如，通过霍尔传感器感应齿状链轮）
- 位置传感器脉冲之间的持续时间测量
- 脉冲序列信号的周期和占空比测量
- 解码来自占空比编码电流/电压传感器的电流或电压振幅

eCAP 模块包括以下特性：

- 4 事件时间戳寄存器（每个 32 位）
- 边缘极性选择，最多选择四个序列时间戳捕获事件
- 四个事件中的任何一个发生时的 CPU 中断
- 独立的 DMA 触发器
- 多达 4 个事件时间戳的单脉冲捕捉
- 在一个 4 深循环缓冲区中连续捕获时间戳的模式

- 绝对时间戳采集
- 差分(Δ) 模式时间戳采集
- 128:1 输入多路复用器
- 事件预分频器
- 当未用于捕获模式时，eCAP 模块可配置为单通道 PWM 输出。

1 类 eCAP 的捕捉功能通过 0 类 eCAP 得到增强，增加了以下特性：

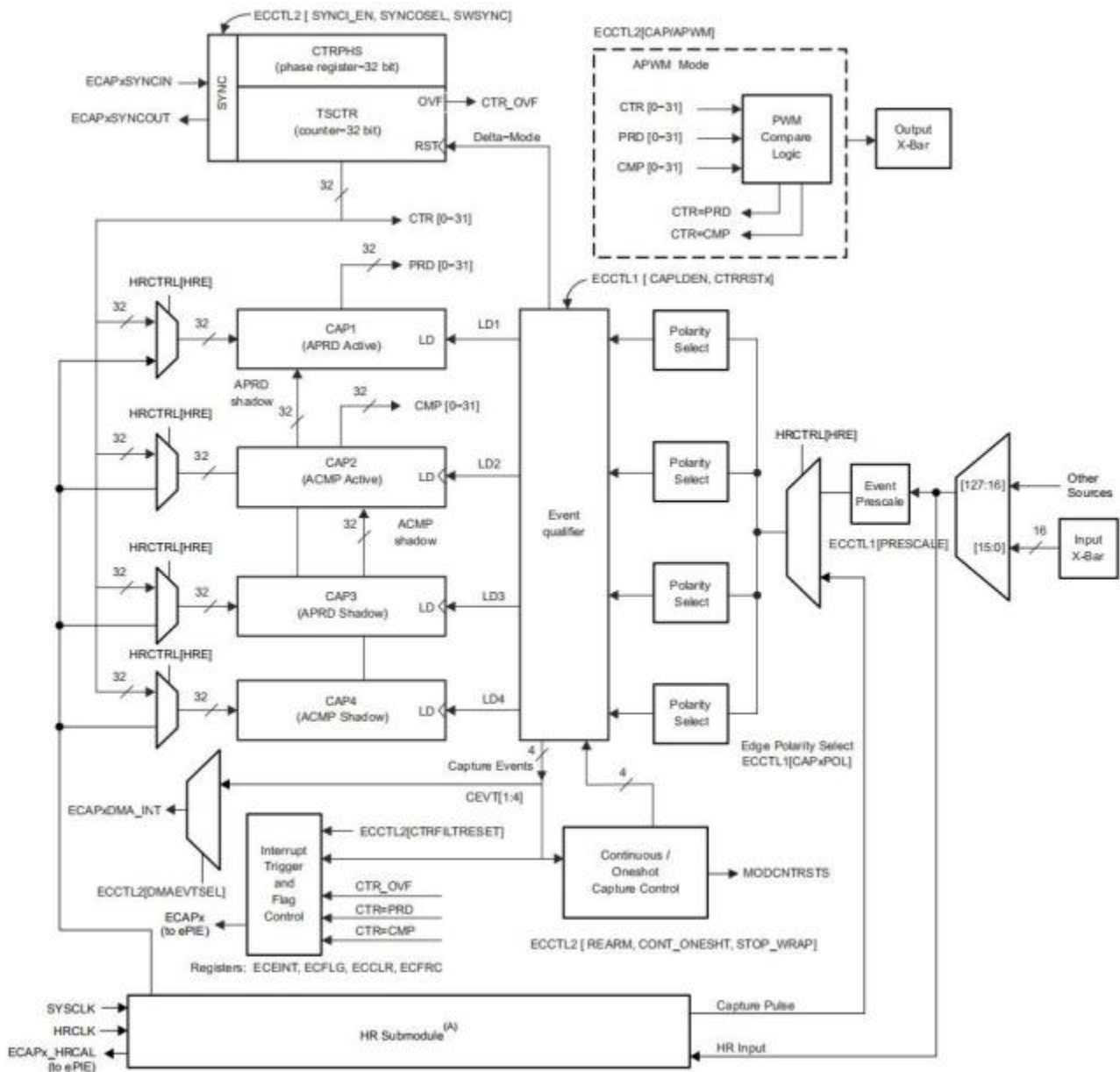
- 事件过滤器复位位
 - 向 ECCTL2[CTRFILTRESET] 写入 1 将清零事件滤波器、模计数器和任何挂起的中断标志。

这对于初始化和调试很有用。

- 模数计数器状态位。
 - 模数计数器(ECCTL2[MODCTRSTS]) 指示接下来将加载哪个捕捉寄存器。在 0 类 eCAP 中，无法知道模数计数器的当前状态。
- DMA 触发源
 - eCAPxDMA 被添加为一个 DMA 触发器。CEVT[1 ~ 4] 可以配置为 eCAPxDMA 的源。
- 输入多路复用器
 - ECCTL0[INPUTSEL] 选择 128 个输入信号之一。
- EALLOW 保护
 - EALLOW 保护已添加到关键寄存器。

输入 X-BAR 必须用于将器件输入引脚连接到模块。输出 X-BAR 必须用于将输出信号连接到OUTPUTXBARx 输出位置。请参阅节 6.4.3 和节 6.4.4。

图 5-30 显示了 eCAP 方框图。



A. HRCAP 子模块并非在所有 eCAP 模块上都可用；在这种情况下，高分辨率多路复用器和硬件未被执行。

图 5-31. eCAP 方框图

5.10.1.1 eCAP电气数据和时序

[节 5.10.1.1.1](#) 列出了 eCAP 时序要求。 [节 5.10.1.1.2](#) 列出了 eCAP 开关特性。

5.10.1.1.1 eCAP 时序要求

表 5-23. eCAP 时序要求

| 参数 | | 最小值 | 标称值 | 最大值 | 单位 |
|---------------|--------|--------|---------------------|-----|----|
| tw(CAP) 宽度 | 采集输入脉冲 | 异步 | 2tc(SCO) | | ns |
| | | 同步 | 2tc(SCO) | | |
| | | 带输入限定器 | 1tc(SCO) + tw_(QSW) | | |

5.10.1.1.2 eCAP 开关特性

理论设计指标（除非另作说明）

表 5-24. eCAP开关特性

| 参数 | 最小值 | 典型值 | 最大值 | 单位 |
|--------------------------------------|-----|-----|-----|----|
| tw(APWM) 脉冲持续时间 , APWMx 输出高电平/低电平 | 20 | | | ns |

5.10.2 高分辨率捕捉子模块(HRCAP6–HRCAP7)

该器件最多包含两个高分辨率捕捉 (HRCAP) 子模块。HRCAP 子模块可以测量与系统时钟异步的脉冲之间的时间差。该子模块是 eCAP 1 类模块新增的子模块，与 0 类 HRCAP 模块相比具有许多增强功能。

HRCAP 的应用包括：

- 电容式触控应用
- 脉冲序列周期的高分辨率周期和占空比测量
- 瞬时速度测量
- 瞬时频率测量
- 在一个隔离边界上的电压测量
- 距离/声纳测量和扫描
- 流量测量

HRCAP 子模块包含以下特性：

- 在非高分辨率或高分辨率模式下进行脉宽捕捉
- 绝对模式脉宽捕捉

- 连续或“一次性”捕捉
- 在下降沿或上升沿捕捉
- 4 深度缓冲器中脉冲宽度的持续模式捕捉
- 通过硬件校准逻辑实现精密高分辨率捕捉
- 使用输入 X-BAR 的任何引脚上均可使用此列表中的所有资源。

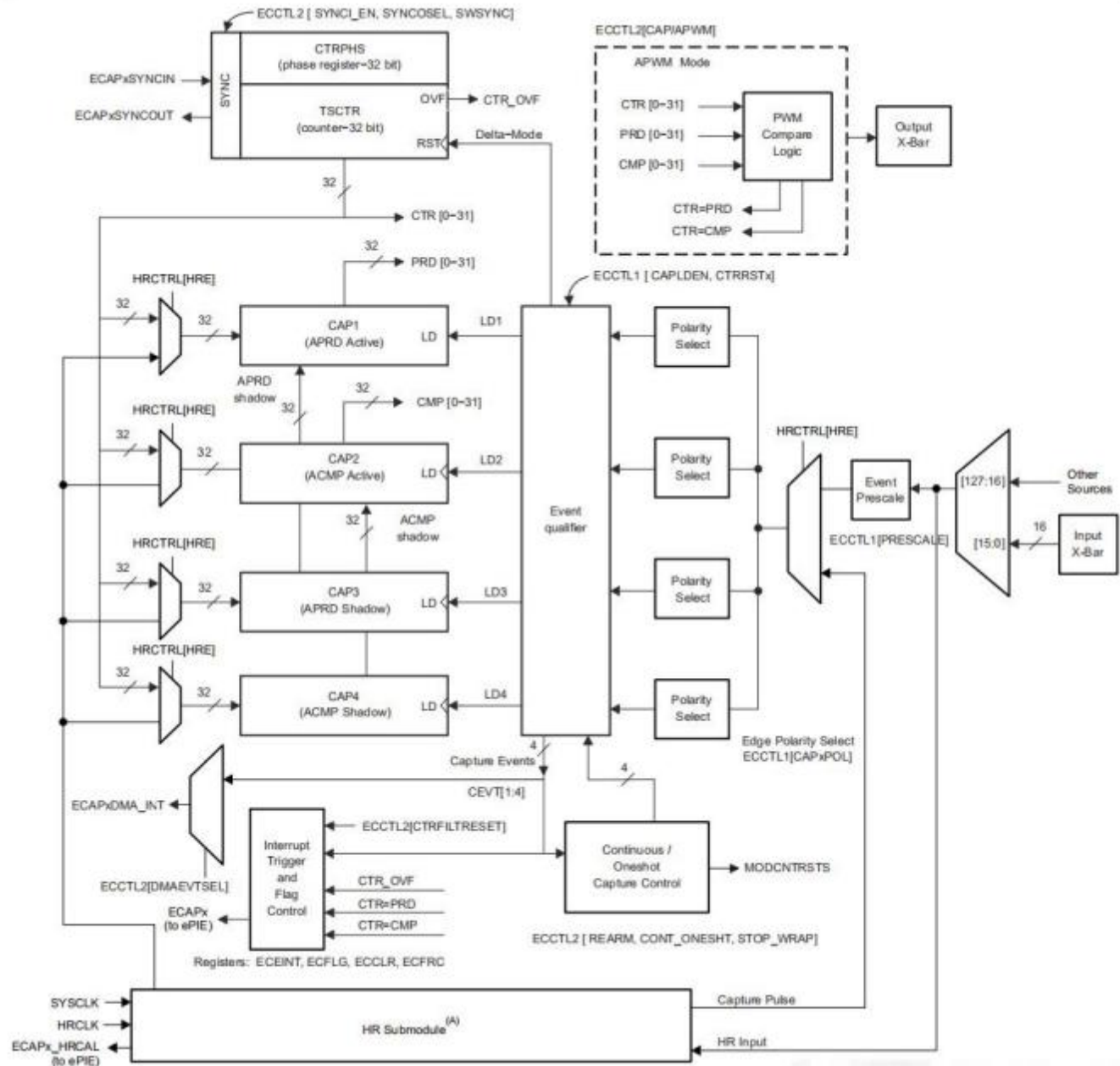
HRCAP 子模块包含一个高分辨率捕捉通道以及一个校准块。校准块允许 HRCAP 子模块在设定的时间间隔内持续 重新校准，不存在 “ 中断时间 ”。由于 HRCAP 子模块现在使用与其相应 eCAP 相同的硬件，因此如果使用 HRCAP，则相应的 eCAP 将不可用。

每个支持高分辨率的通道都具有以下独立的关键资源。

- 相应 eCAP 的所有硬件
- 高分辨率校准逻辑
- 专用校准中断

图 5-32 所示为 HRCAP 方框图





A. HRCAP 子模块并非在所有 eCAP 模块上都可用；在这种情况下，不会使用高分辨率多路复用器和硬

图 5-32. HRCAP 方框图

5.10.2.1 HRCAP 电气数据和时序

节 5.10.2.1.1 列出了 HRCAP 开关特性。图 5-32 所示为 HRCAP 精度和分辨率。图 5-33 所示为 HRCAP 标准偏差特性。

5.10.2.1.1 HRCAP 开关特性

理论设计指标（除非另作说明）

表5-25. HRCAP开关特性

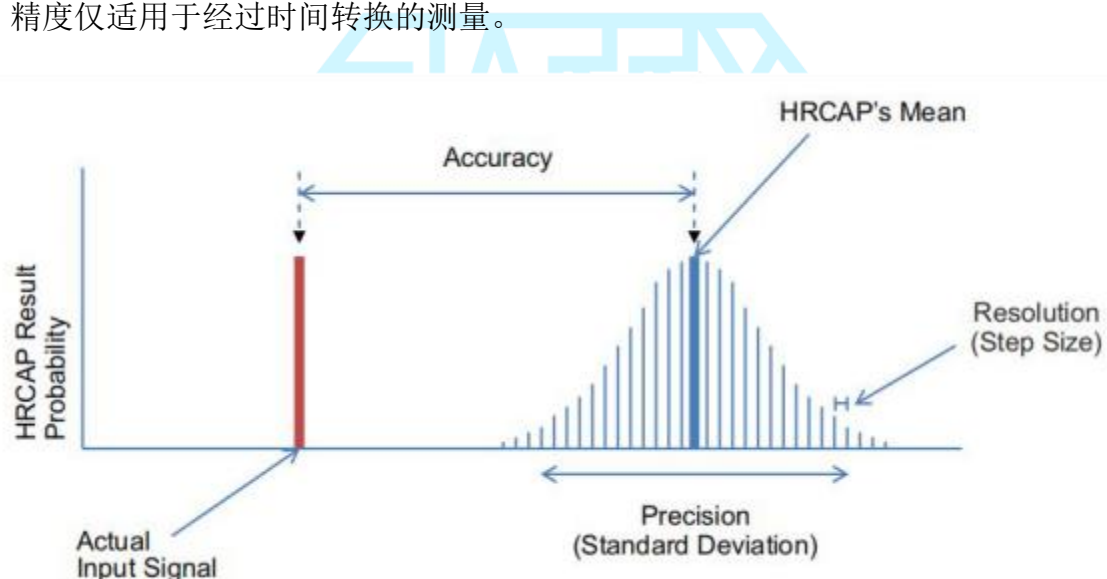
| 参数 | 测试条件 | 最小值 | 典型值 | 最大值 | 单位 |
|-------------------|--------------------|-----------|-----|------|----|
| 输入脉冲宽度 | | 110 | | | ns |
| 精度(1) (2) (3) (4) | 测量时长 $\leq 5\mu s$ | ± 390 | 540 | | ps |
| | 测量时长 $> 5\mu s$ | ± 450 | | 1450 | ps |
| 标准差 | | 请参见图 7-66 | | | |
| 分辨率 | | 300 | | | ps |

(1) 使用 100PPM 的振荡器获得的值，振荡器精度直接影响 HRCAP 精度。

(2) 使用上升-上升沿或下降-下降沿完成测量。

(3) 由于 VIH 和 VIL 之间的差异，极性相反的边沿将进一步降低精度。这种影响取决于信号的压摆率。

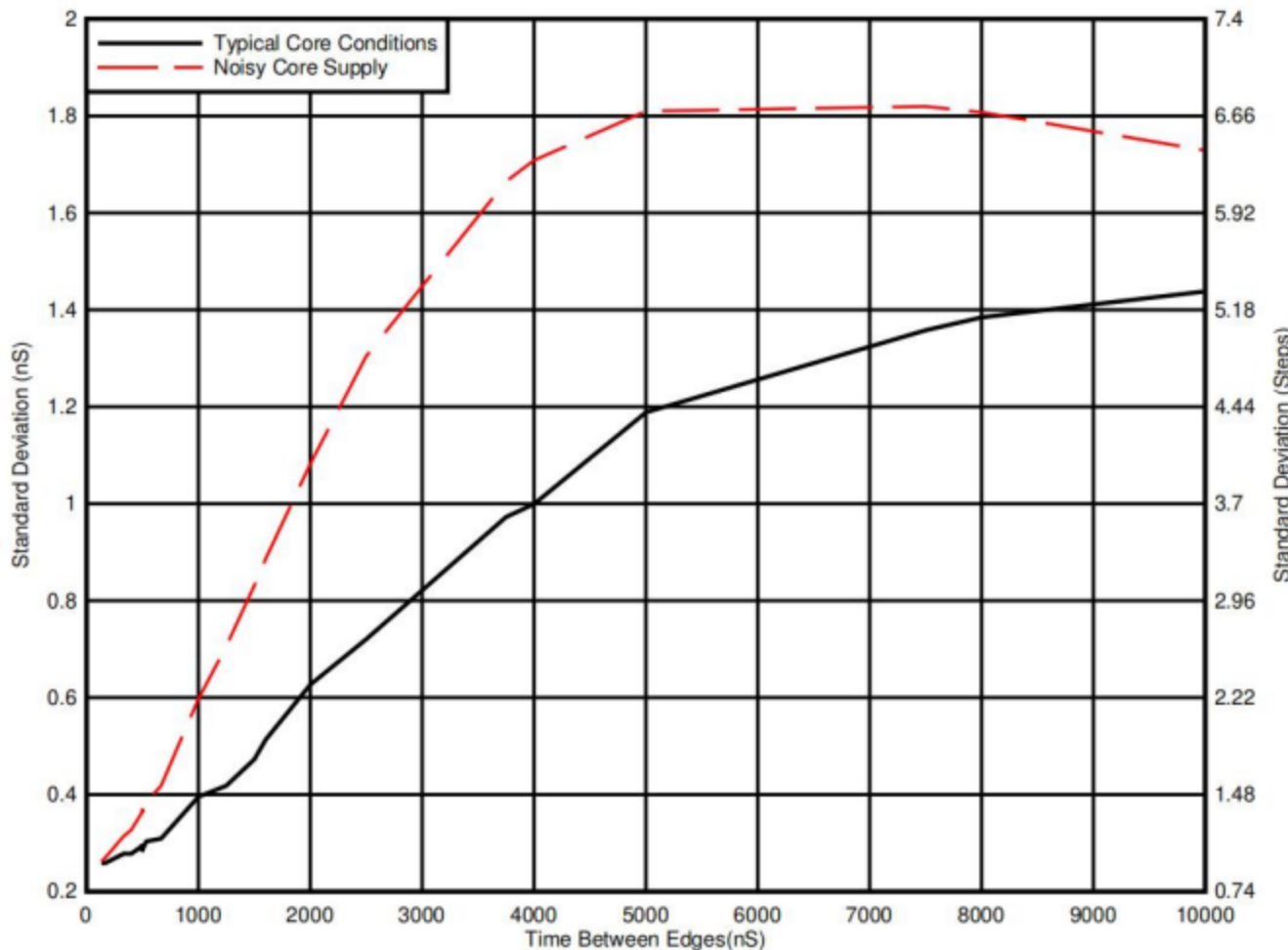
(4) 精度仅适用于经过时间转换的测量。



A. HRCAP 在性能上有一些变化，其概率分布可以使用以下术语描述：

- 精度：输入信号与 HRCAP 分布均值之间的时间差。
- 精度：HRCAP 分布的宽度，以标准偏差的形式给出。
- 分辨率：最小可测量增量。

图 5-33. HRCAP 精度和分辨率



A. 典型的内核条件：所有外设时钟被启用。

B. 有噪声的内核电源：在测量期间，所有内核时钟都以一个固定周期启用和禁用。这会导致 1.2V 电源轨在测量期间出现 18.5mA 的摆幅。

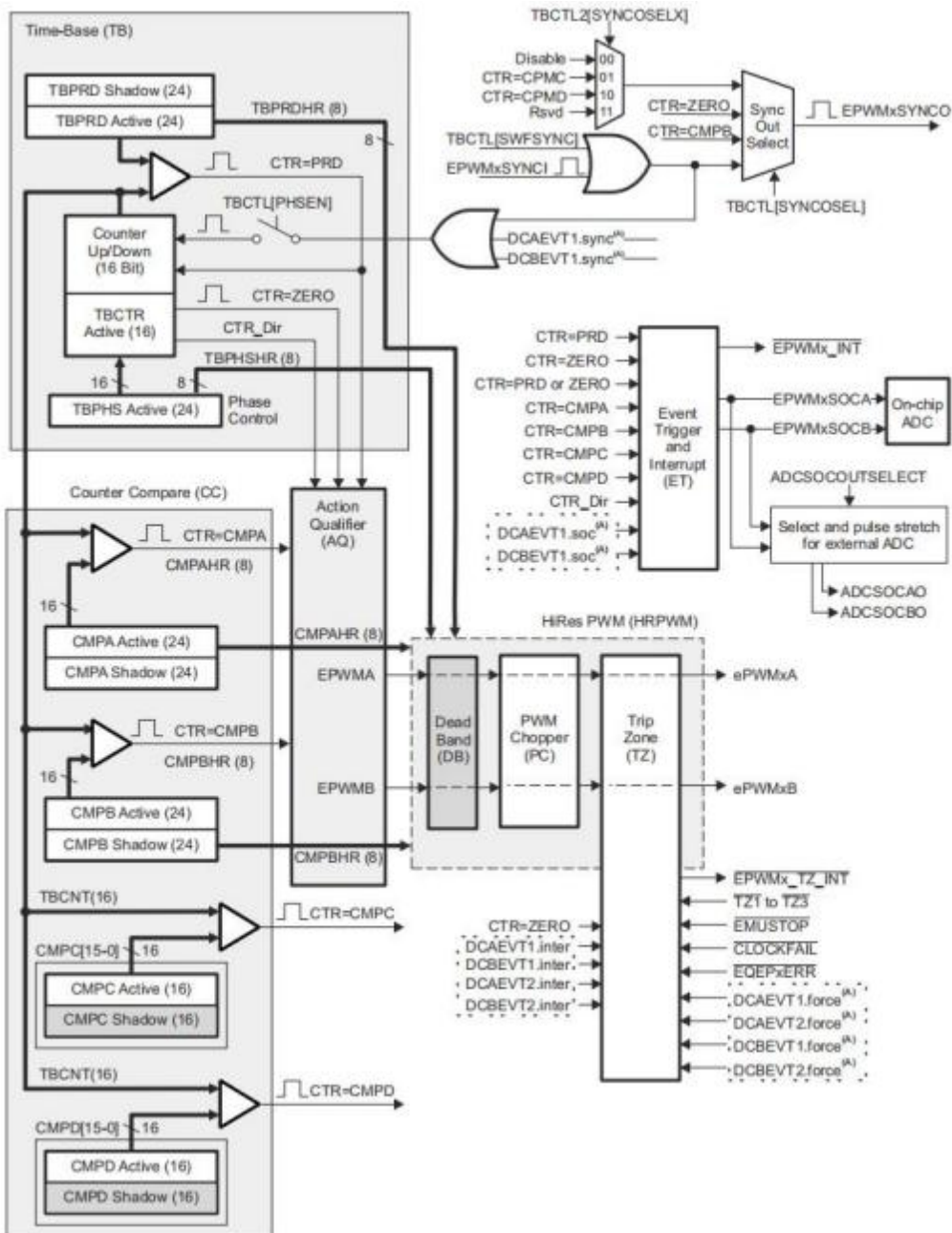
C. 1.2V 电源轨上的电流和电压波动会导致 HRCAP 的标准偏差上升。应注意确保 1.2V 电源是清洁的，并且在使用 HRCAP 时已最大限度地减少了干扰性内部事件（例如启用和禁用时钟树）。

图 5-34 HRCAP 标准偏差特性

5.10.3 增强脉冲宽度调制(ePWM)

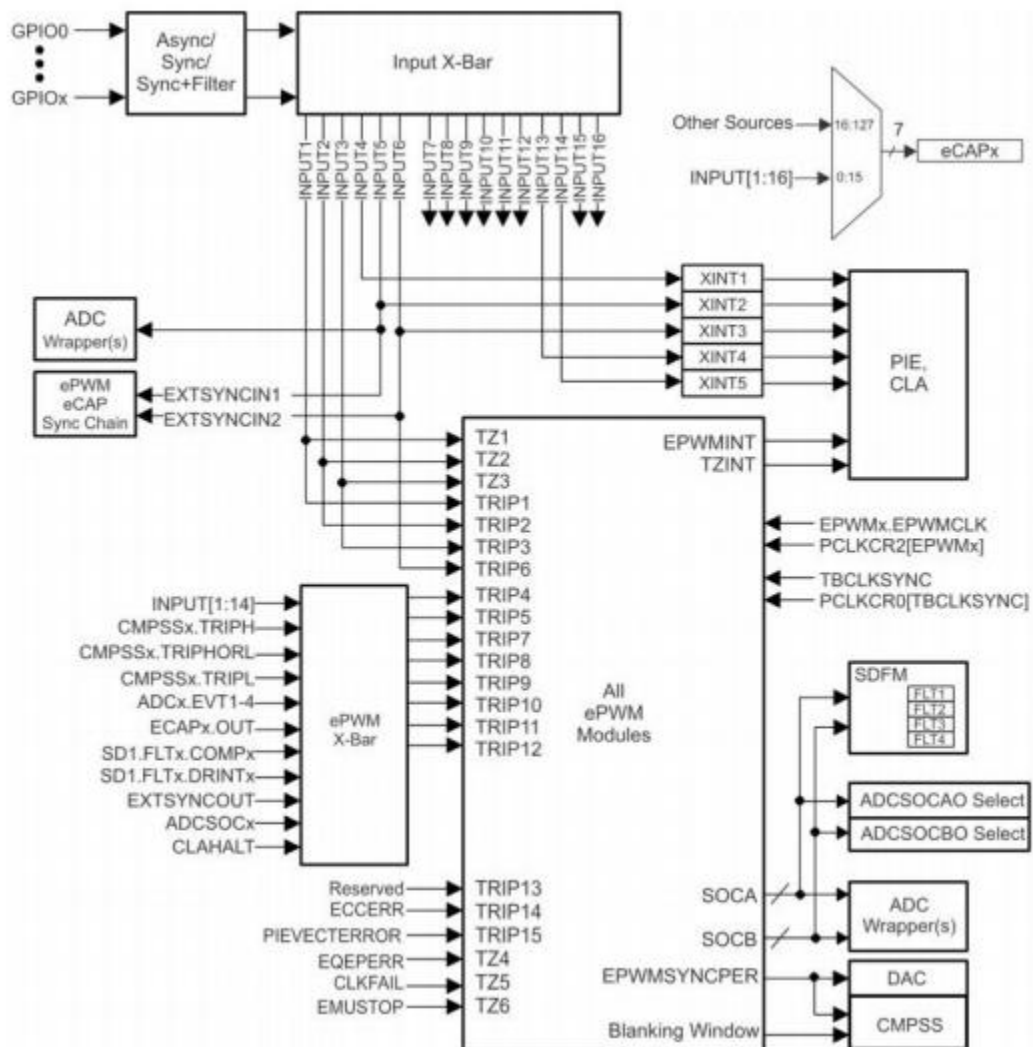
ePWM 外设是许多商业和工业设备中电力电子系统控制的关键部分。ePWM 模块能够以最小的 CPU 开销生成复杂的脉冲宽度波形，将具有独立资源的小模块构建为各个外设，并将这些资源共同组成系统运行。ePWM 模块的一些特性包括复杂波形生成、死区生成、灵活的同步配置、高级错误联防功能和全局寄存器重新加载功能。

ePWM 模块如图 5-34 所示。ePWM 错误联防输入连接如图 5-35 所示。



A. 根据 TRIPIN 输入的电平经过 ePWM 中的数字比较(DC)子模块生成的事件。

图 5-35. ePWM 子模块和关键内部信号连接



5.10.3.1 控制外设同步

设备上的 ePWM 和 eCAP 同步配置在 ePWM 和 eCAP 模块时更灵活，并允许在模块内进行本地化同步。与其他外设一样，ePWM 和 eCAP 模块的划分需要使用 CPUSELx 寄存器来完成。

同步配置如图 5-37 所示。

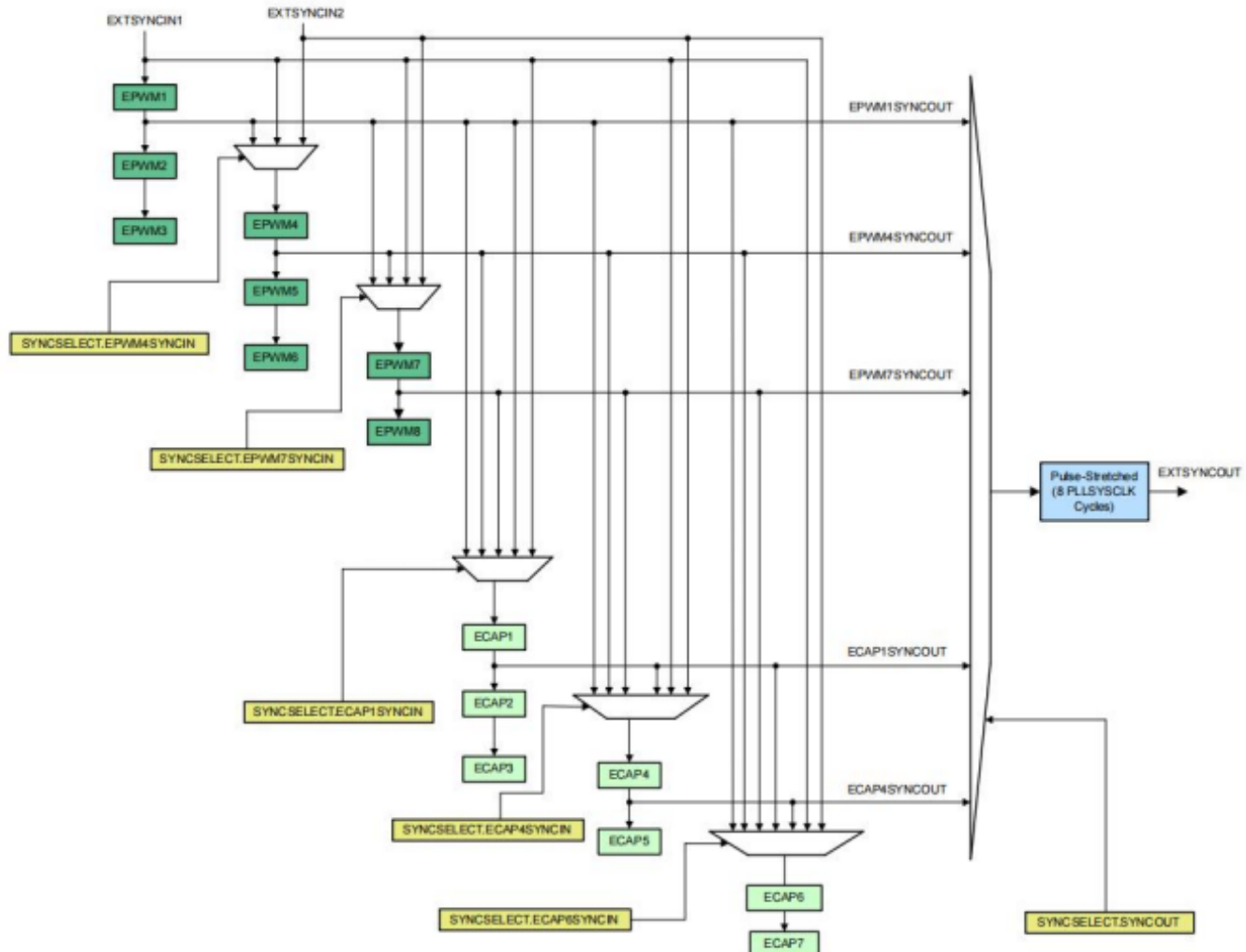


图 5-37. 同步链架构

5.10.3.2 ePWM 电气数据和时序

第 5.10.3.2.1 节列出了 ePWM 时序要求，第 5.13.1.2.2 节列出了 ePWM 开关特性。

5.10.3.2.1 ePWM 时序要求

表 5-26. ePWM 时序要求

| 参数 | | 最小值 | 最大值 | 单位 |
|------------|----------|--------|-------------------------|--------|
| tw(SYNCIN) | 同步输入脉冲宽度 | 异步 | 2tc(EPWMCLK) | cycles |
| | | 同步 | 2tc(EPWMCLK) | |
| | | 使用输入限定 | 1tc(EPWMCLK) + tw(IQSW) | |

5.10.3.2.2 ePWM 开关特性

超过推荐的运行条件（除注明外）

表 5-27. ePWM 开关特性

| 参数 | | 最小值 | 最大值 | 单位 |
|-------------|---|-------------|-----|--------|
| tw(PWM) | 脉冲持续时间, PWMx输出高/低 | 12.5 | | ns |
| tw(SYNCOUT) | 同步输出脉冲宽度 | 8tc(SYSLCK) | | cycles |
| td(TZ-PWM) | 延时时间, 跳闸输入使 PWM 强制高 延时时间, 跳闸输入使到 PWM 强制低 延时时间, 跳闸输入使 PWM Hi-Z | 25 | | ns |

5.10.3.2.3 Trip-Zone 输入时序

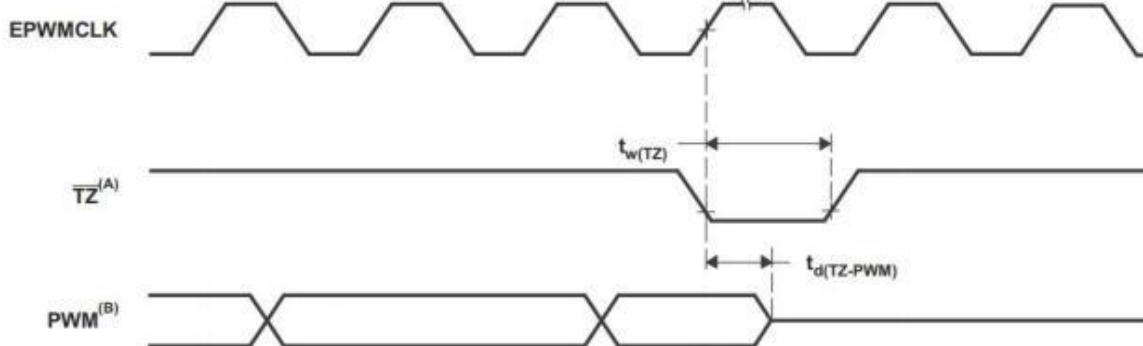


图 5-38. Trip-Zone 输入时序

- (1) TZ : TZ1 、 TZ2 、 TZ3 、 TRIP1 至 TRIP12
- (2) PWM 指的是设备中所有的 PWM 引脚。TZ 至高后 PWM 引脚的状态由 PWM 恢复软件恢复决定。

5.10.3.3 外部ADC转换脉冲开始的电气数据和时序

第 5.10.3.3.1 节列出了外部 ADC 转换开始的开关特性。ADCSOCAO或ADCSOCBO定时如图 5-39 所示。

5.10.3.3.1 外部ADC转换脉冲开始的开关特性

超出建议的运行条件(除非另有说明)

表 5-29.外部 ADC 转换脉冲开始的开关特性

| 参数 | 最小值 | 最大值 | 单位 |
|-----------------------------------|--------------|-----|--------|
| tw(ADCSOCL) 脉冲持续时间, ADCSOCxO 低 | 32tc(SYSCLK) | | cycles |

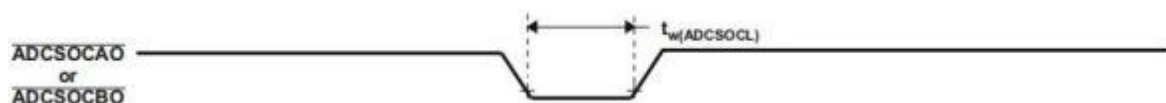


图 5-39. ADCSOCAO或ADCSOCBO时序



5.10.4 高分辨率脉冲宽度调制器(HRPWM)

HRPWM 将多个延迟线组合在一个模块中，并通过使用专用的校准延迟线简化校准系统。对于每个

ePWM 模块，有两个 HR 输出：

- 通道 A 的 HR 占空比与死区控制
- 通道 B 的 HR 占空比与死区控制

HRPWM 模块提供的 PWM 分辨率(时间间隔尺寸)明显优于使用传统的数字 PWM 方式所能实现的分辨率。

HRPWM 模块的关键点是：

- 显著提高了传统数字 PWM 的时间分辨率能力
- 此功能可用于单边缘(占空比和相移控制)以及频率/周期调制的双边缘控制。
- 通过对 ePWM 模块的 Compare A, B, 相位, 周期和死区寄存器的扩展功能，可以控制更细的时间粒度控制或边缘定位。

注意：HRPWM 允许的最低 HRPWMCLK 频率为 60 MHz。

5.10.4.1 HRPWM 电气数据和时序

第 5.10.4.1.1 节列出了高分辨率 PWM 开关特性。

5.10.4.1.1 高分辨率 PWM 特性

表 5-30.高分辨率 PWM 特性

| 参数 | 最差值 | 典型值 | 最好值 | 单位 |
|--|-----|-----|-----|----|
| 微边缘 (MEP) 定位步长 (1) (TC=46P WC=82P BC=29P) | 82 | 46 | 29 | ps |

(1) 在 VDD 上，MEP 步长在高温和最低电压时最大。MEP 步长随温度升高、电压降低而增大，随温度降低、电压升高而减小。应用程序根据 HRPWM 特性应使用 MEP 比例因子优化器(SFO)估算软件功能。

(2) 当 HRPWM 工作时，SFO 函数会协助动态估算每个 SYSCLK 周期的 MEP 步数。

5.10.5 增强型正交编码器脉冲(eQEP)

eQEP 接口直接与线性或旋转增量编码器接口，从高性能运动和位置控制系统的旋转机器中获取位置、方向和速度信息。

eQEP 外设包括以下主要功能单元(如图 5-51 所示):

- 每个引脚均可编程输入(部分 GPIO MUX)
- 正交解码单元(QDU)
- 位置计数器和位置测量控制单元 (PCCU)
- 用于低速测量的正交边缘捕获单元 (QCAP)
- 测量速度/频率的单位时基 (UTIME)
- 检测档位的看门狗定时器(QWDOG)
- 正交模式适配器(QMA)

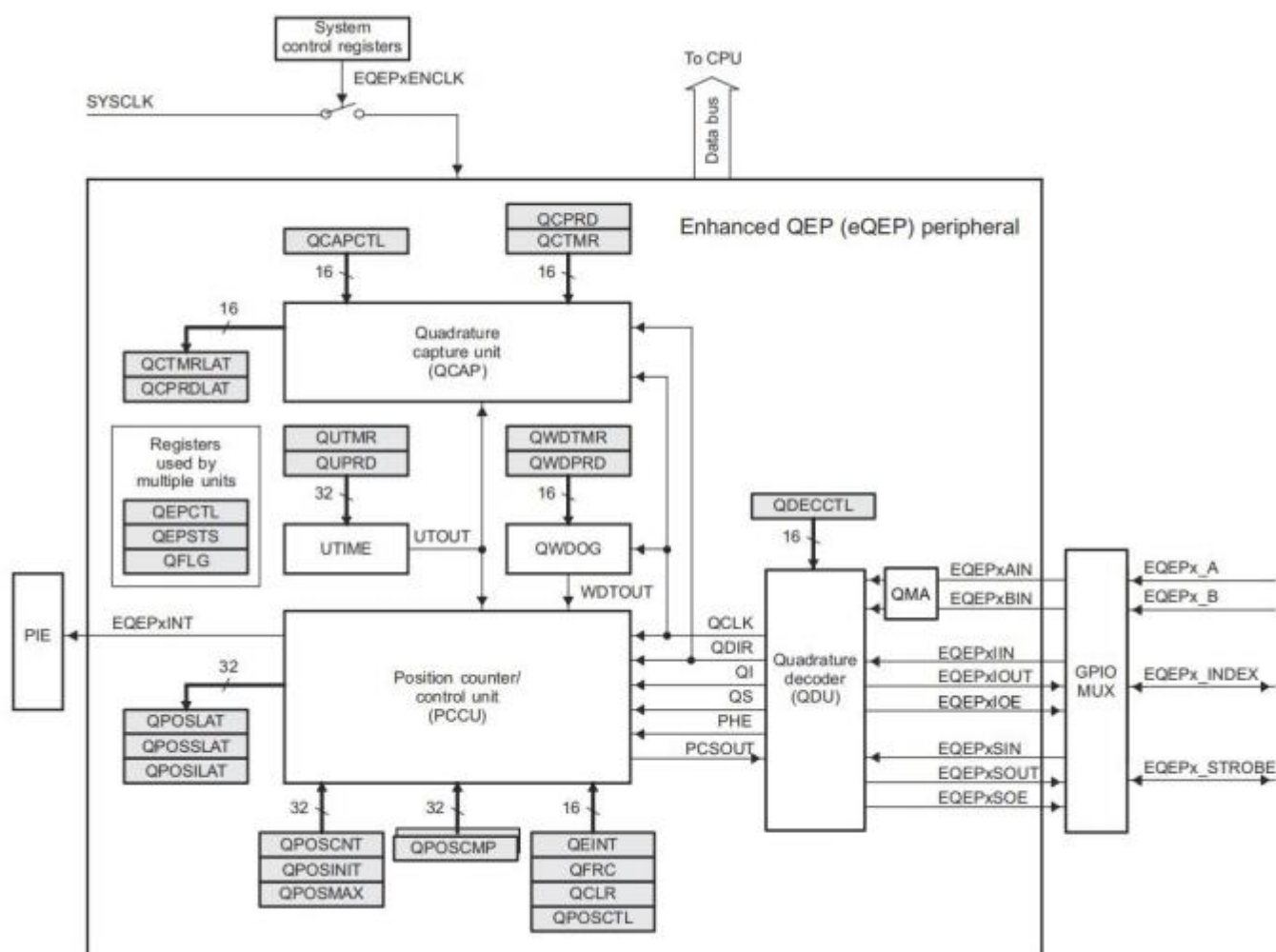


图 5-40. eQEP 框图

5.10.5.1 eQEP电气数据和时序

第 5.10.4.1.1 节列出了 eQEP 时序要求，第 5.10.4.1.2 节列出了 eQEP 切换特性。

5.10.5.1.1 eQEP 时序要求

表 5-31. eQEP时序要求

| 参数 | | | 最小值 | 最大值 | 单位 |
|------------|---------------------------------------|-------------------|---------------------------|-----|--------|
| tw(QEPP) | QEP输入周期 | 同步 ⁽¹⁾ | 2tc(SYSLCK) | | cycles |
| | | 与输入限定同步 | 2[1tc(SYSLCK)+ tw(IQSW)] | | |
| tw(INDEXH) | QEP Index Input High time 索引高输入时间 | 同步 ⁽¹⁾ | 2tc(SYSLCK) | | cycles |
| | | 与输入限定同步 | 2tc(SYSLCK) + tw(IQSW) | | |
| tw(INDEXL) | QEP Index Input Low time 索引低输入时间 | 同步 ⁽¹⁾ | 2tc(SYSLCK) | | cycles |
| | | 与输入限定同步 | 2tc(SYSLCK) + tw(IQSW) | | |
| tw(STROBH) | QEP Strobe input High time 闪烁高输入时间 | 同步 ⁽¹⁾ | 2tc(SYSLCK) | | cycles |
| | | 与输入限定同步 | 2tc(SYSLCK) + tw(IQSW) | | |
| tw(STROBL) | QEP Strobe Input Low time 闪烁低输入时间 | 同步 ⁽¹⁾ | 2tc(SYSLCK) | | cycles |
| | | 与输入限定同步 | 2tc(SYSLCK) + tw(IQSW) | | |

(1)GPIO GPxQSELn 异步模式不应该用于 eQEP 模块的输入引脚。

5.10.5.1.2 eQEP 开关特性

理论设计指标（除非另作说明）

表 5-32. eQEP开关特性

| 参数 | | 最小值 | 最大值 | 单位 |
|----------------|-------------------------|-----|-------------|--------|
| td(CNTR)xin | 延迟时间, 外部时钟计数器增量 | | 5tc(SYSLCK) | cycles |
| td(PCS-OUT)QEP | 延迟时间, QEP 输入边沿到位置比较同步输出 | | 7tc(SYSLCK) | cycles |

5.10.6 Σ-Δ滤波器模块(SDFM)

SDFM 是一种四通道数字滤波器，专为电机控制应用中的电流测量和旋转变压器位置解码而设计。每个通道都可以接收独立的 Σ- Δ 调制位流。位流由四个独立可编程的数字抽取滤波器进行处理。该滤波器组包括快速比较器，用于过流和欠流监测进行即时数字阈值比较。

SDFM 特性包括：

- 每个 SDFM 模块 8 个外部引脚
 - 每个 SDFM 模块 4 个 Σ- Δ 数据输入引脚 (SDx_D1-4)
 - 每个 SDFM 模块 4 个 Σ- Δ 时钟输入引脚 (SDx_C1-4)
- 4 种不同的可配置调制器时钟模式：
 - 模式 0：调制器时钟速率等于调制器数据速率
 - 模式 1：调制器时钟速率为调制器数据速率的一半
 - 模式 2：调制器数据为曼彻斯特编码。不需要调制器时钟。
 - 模式 3：调制器时钟速率为调制器数据速率的两倍
- 每个 SDFM 模块 4 个独立的可配置次级滤波器（比较器）单元：
 - 提供 4 个不同的滤波器类型选择 (Sinc1/Sinc2/Sincfast/Sinc3) 选项
 - 能够检测超值、低值和过零条件
 - 比较器滤波器单元的 OSR 值 (COSR) 可编程为 1 至 32
- 每个 SDFM 模块 4 个独立的可配置初级滤波器（数据滤波器）单元：
 - 提供 4 个不同的滤波器类型选择 (Sinc1/Sinc2/Sincfast/Sinc3) 选项
 - 数据滤波器单元的 OSR 值 (DOSR) 可编程为 1 至 256
 - 能够启用独立的滤波器模块
 - 可利用主滤波器使能 (MFE) 位或 PWM 信号使 SDFM 模块的所有 4 个独立滤波器实现同步
- 数据滤波器单元具有可编程 FIFO 来减少中断开销。FIFO 具有以下特性：
 - 初级滤波器（数据滤波器）具有 16 深 × 32 位 FIFO
 - FIFO 可在达到可编程数量的数据就绪事件后中断 CPU

– FIFO 等待同步功能：能够忽略数据就绪事件，直至接收到 PWM 同步信号 (SDSYNC)。一旦接收到 SD SYNC 事件，就会在每个数据就绪事件时填充 FIFO

– 数据滤波器输出可以用 16 位或 32 位表示

- 可根据每个数据滤波器通道将 PWMx.SOCA/SOCB 配置为 SD SYNC 源
- 可使用 PWM 为 $\Delta\Sigma$ 调制器生成调制器时钟

注意：应注意避免在 SDx_Cy 输入端出现噪声。如果不满足最小脉冲宽度要求(例如，通过噪声干扰)，则 SDFM 结果可能会变为不明状态。

图 5-41 所示为 SDFM 方框图。

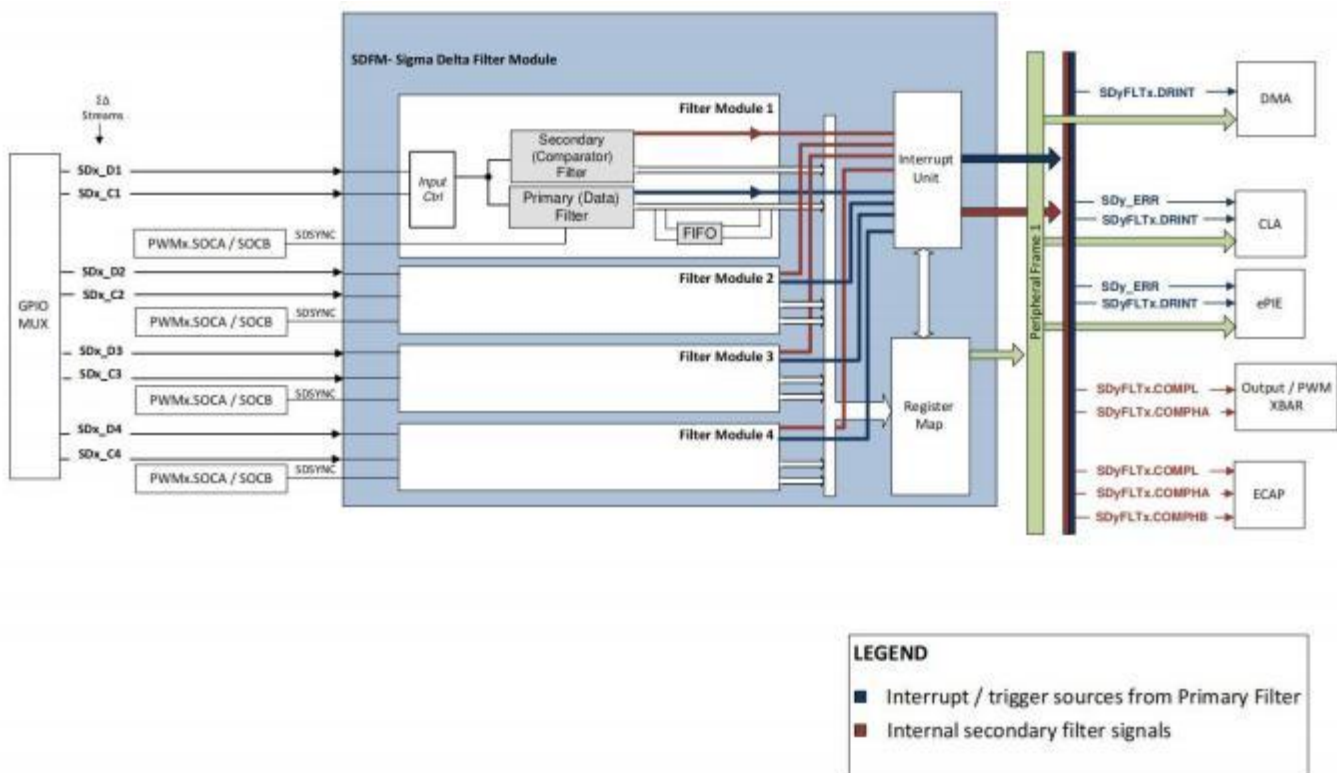


图 5-41. SDFM 方框图

通过设置 GPyQSELn = 0b 11 来定义具有异步 GPIO 的 SDFM 操作。

节 5.10.6.1.1 列出了使用异步 GPIO (ASYNC) 选项时的 SDFM 时序要求。

图 5-42、图 5-43、图 5-44 和图 5-45 所示为 SDFM 时序图。

5.10.6.1.1 使用异步 GPIO (ASYNC) 选项时的 SDFM 时序要求

理论设计指标（除非另作说明）

表 5-33. 异步 GPIO (ASYNC) 选项时的 SDFM 时序要求

| | | 最小值 | 最大值 | 单位 |
|-------------------------------|--|-------------------------------------|-------------------------------------|----|
| 模式 0 | | | | |
| $t_{c(SDC)M0}$ | 周期时间, SDx_Cy | 40 | 256 个 SYSCLK 周期 | ns |
| $t_{w(SDCH)M0}$ | 脉冲持续时间, SDx_Cy 高电平 | 10 | $t_{c(SDC)M0} - 10$ | ns |
| $t_{su(SDDV-SDCH)M0}$ | SDx_Cy 变为高电平之前 SDx_Dy 有效的设置时间 | 5 | | ns |
| $t_{h(SDCH-SDD)M0}$ | SDx_Cy 变为高电平之后 SDx_Dy 等待的保持时间 | 5 | | ns |
| 模式 1 | | | | |
| $t_{c(SDC)M1}$ | 周期时间, SDx_Cy | 80 | 56 个 SYSCLK 周期 | ns |
| $t_{w(SDCH)M1}$ | 脉冲持续时间, SDx_Cy 高电平 | 10 | $t_{c(SDC)M1} - 10$ | ns |
| $t_{su(SDDV-SDCL)M1}$ | SDx_Cy 变为低电平之前 SDx_Dy 有效的设置时间 | 5 | | ns |
| $t_{su(SDDV-SDCH)M1}$ | SDx_Cy 变为高电平之前 SDx_Dy 有效的设置时间 | 5 | | ns |
| $t_{h(SDCL-SDD)M1}$ | SDx_Cy 变为低电平之后 SDx_Dy 等待的保持时间 | 5 | | ns |
| $t_{h(SDCH-SDD)M1}$ | SDx_Cy 变为高电平之后 SDx_Dy 等待的保持时间 | 5 | | ns |
| 模式 2 | | | | |
| $t_{c(SDD)M2}$ | 周期时间, SDx_Dy | 5 个 $t_{c(SYSLK)}$ | 15 个 $t_{c(SYSLK)}$ | ns |
| $t_{w(SDDH)M2}$ | 脉冲持续时间, SDx_Dy 高电平 | 10 | | ns |
| $t_{w(SDD_LONG_KEEPOUT)M2}$ | SDx_Dy 长脉冲持续保留时间，其中长脉冲不得落入所列出的最小值或最大值内。 长脉冲被定义为高或低脉冲，其是曼彻斯特位时钟周期的完整宽度。 对于 8 到 20 之间的任何整数，都必须满足此要求。 | $(N * t_{c(SYSLK)}) - 0.5$ | $(N * t_{c(SYSLK)}) + 0.5$ | ns |
| $t_{w(SDD_SHORT)M2}$ | 用于高或低脉冲的 SDx_Dy 短脉冲持续时间 (SDD_SHORT_H 或 SDD_SHORT_L) 。 短脉冲定义为高或低脉冲，其是曼彻斯特位时钟周期的一半宽度。 | $t_{w(SDD_LONG)/2} - t_{c(SYSLK)}$ | $t_{w(SDD_LONG)/2} + t_{c(SYSLK)}$ | ns |
| $t_{w(SDD_LONG_DUTY)M2}$ | SDx_Dy 长脉冲变化 (SDD_LONG_H - SDD_LONG_L) | $- t_{c(SYSLK)}$ | $t_{c(SYSLK)}$ | ns |
| $t_{w(SDD_SHORT_DUTY)M2}$ | SDx_Dy 短脉冲变化 (SDD_SHORT_H - SDD_SHORT_L) | $- t_{c(SYSLK)}$ | $t_{c(SYSLK)}$ | ns |
| 模式 3 | | | | |
| $t_{c(SDC)M3}$ | 周期时间, SDx_Cy | 40 | 256 个 SYSCLK 周期 | ns |
| $t_{w(SDCH)M3}$ | 脉冲持续时间, SDx_Cy 高电平 | 10 | $t_{c(SDC)M3} - 5$ | ns |
| $t_{su(SDDV-SDCH)M3}$ | SDx_Cy 变为高电平之前 SDx_Dy 有效的设置时间 | | | ns |
| $t_{h(SDCH-SDD)M3}$ | SDx_Cy 变为高电平之后 SDx_Dy 等待的保持时间 | | | ns |

5.10.6.1.2 SDFM 时序图

注：当没有 GPIO 输入同步时，SDFM 时钟输入（SDx_Cy 引脚）直接对 SDFM 模块进行计时。这些输入端的任何干扰或振铃噪声都会破坏 SDFM 模块的运行。应对这些信号采取特殊的预防措施，以确保满足 SDFM 时序要求的干净且无噪声的信号。建议采取预防措施，例如对时钟驱动器的任何阻抗不匹配而导致的振铃进行串联终止，以及将走线与其他噪声信号隔离开来。

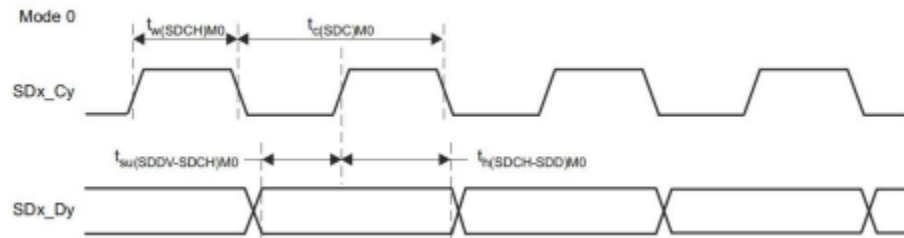


图 5-42. SDFM 时序图 - 模式0

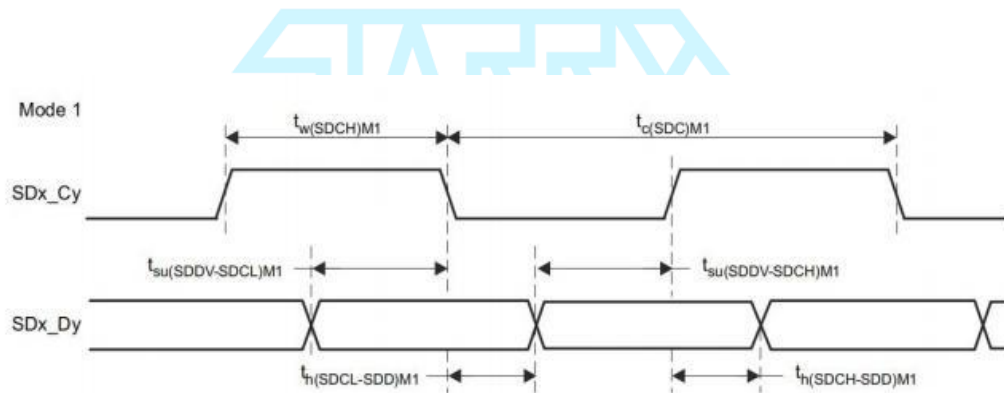
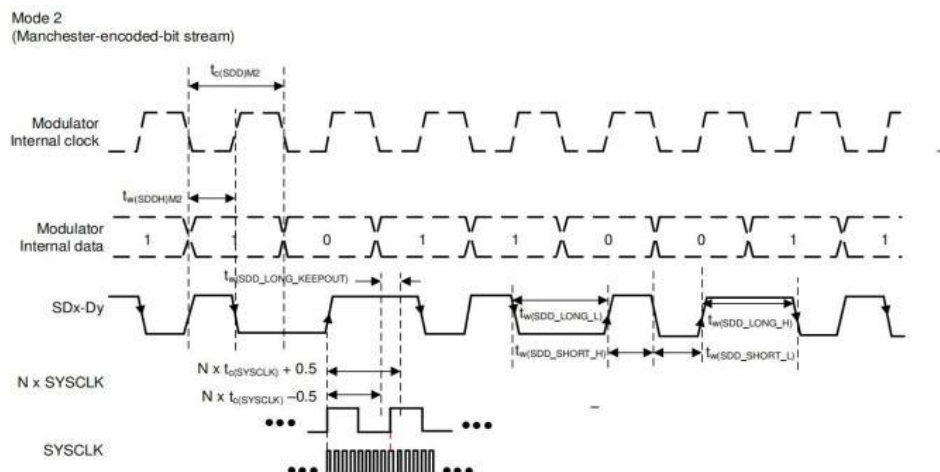
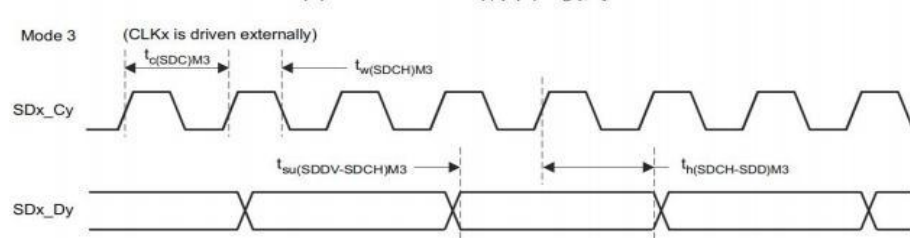


图 5-43. SDFM 时序图 - 模式1



5-44. SDFM 时序图 - 模式 2



5- 45. SDFM 时序图 - 模式 3

5.10.6.2 SDFM电气数据和时序（同步GPIO）

通过设置 $\text{GPyQSELn} = 0b00$ 来定义具有同步GPIO的SDFM操作。使用这种同步GPIO模式时，必须满足 $t_w(\text{GPI})$ 脉冲持续时间至少为 $2t_{\text{c}}(\text{SYSCLK})$ 的时序要求。为SD-Cx 和SD-Dx对配置 SYNC 选项非常重要。

节 5.10.6.2.1 列出了使用异步 GPIO (SYNC)选项时的 SDFM 时序要求。

图 5-42、图 5-43、图 5-44和图 5-45所示为 SDFM 时序图。

5.10.6.2.1 使用同步 GPIO (SYNC) 选项时的 SDFM 时序要求

理论设计指标（除非另作说明）

表 5- 34. 同步 GPIO (SYNC)选项时的 SDFM 时序要求

| | | 最小值 | 最大值 | 单位 |
|-------------------------------------|-------------------------------|---------------|----------------|----|
| 模式 0 | | | | |
| $t_{\text{c}}(\text{SDC})M0$ | 周期时间 , SDx_Cy | 5 个 SYSCLK 周期 | 256个 SYSCLK 周期 | ns |
| $t_{\text{w}}(\text{SDCHL})M0$ | 脉冲持续时间 , SDx_Cy 高电平/低电平 | 2 个 SYSCLK 周期 | 3个 SYSCLK周期 | ns |
| $t_{\text{su}}(\text{SDDV-SDCH})M0$ | SDx_Cy 变为高电平之前 SDx_Dy 有效的设置时间 | 2 个 SYSCLK 周期 | | ns |
| $t_{\text{h}}(\text{SDCH-SDD})M0$ | SDx_Cy 变为高电平之后 SDx_Dy 等待的保持时间 | 2 个 SYSCLK 周期 | | ns |
| 模式1 | | | | |
| $t_{\text{c}}(\text{SDC})M1$ | 周期时间 , SDx_Cy | 10个 SYSCLK 周期 | 256个 SYSCLK 周期 | ns |
| $t_{\text{w}}(\text{SDCHL})M1$ | 脉冲持续时间 , SDx_Cy 高电平/低电平 | 2 个 SYSCLK 周期 | 8 个 SYSCLK周期 | ns |
| $t_{\text{su}}(\text{SDDV-SDCL})M1$ | SDx_Cy 变为低电平之前 SDx_Dy 有效的设置时间 | 2 个 SYSCLK 周期 | | ns |
| $t_{\text{su}}(\text{SDDV-SDCH})M1$ | SDx_Cy 变为高电平之前 SDx_Dy 有效的设置时间 | 2 个 SYSCLK 周期 | | ns |

| | | | |
|-------------------------------|-------------------------------|-----------------------------|----|
| th(SDCL-SDD)M1 | SDx_Cy 变为低电平之后 SDx_Dy 等待的保持时间 | 2 个 SYSCLK 周期 | ns |
| th(SDCH-SDD)M1 | SDx_Cy 变为高电平之后 SDx_Dy 等待的保持时间 | 2 个 SYSCLK 周期 | ns |
| 模式2 | | | |
| t _c (SDD)M2 | 周期时间 , SDx_Dy | 选项不可用 | |
| t _w (SDDH)M2 | 脉冲持续时间 , SDx_Dy 高电平 | | |
| 模式3 | | | |
| t _c (SDC)M3 | 周期时间 , SDx_Cy | 5个SYSCLK 周期 256 个 SYSCLK 周期 | ns |
| t _w (SDCHL)M3 | 脉冲持续时间 , SDx_Cy 高电平/低电平 | 2个 SYSCLK周期 3 个 SYSCLK周期 | ns |
| t _{su} (SDDV-SDCH)M3 | SDx_Cy 变为高电平之前 SDx_Dy 有效的设置时间 | 2个 SYSCLK 周期 | ns |
| th(SDCH-SDD)M3 | SDx_Cy 变为高电平之后 SDx_Dy 等待的保持时间 | 2个 SYSCLK 周期 | ns |

注意： SDFM 同步 GPIO (SYNC) 选项可以防止 SDFM 模块因 SDx_Cy 引脚上偶尔随机产生的噪声干扰而损坏，这些噪声干扰可能导致错误的比较器跳闸和滤波器输出。

SDFM 同步 GPIO (SYNC) 模式对持续违反上述时序要求的情况不提供保护。时序违规将损坏与违反要求的数据位数成正比的数据。

5.11 通信外设

5.11.1 控制局域网络(CAN)

CAN 模块使用称为 CAN FD 的 IP。本文档交替使用名称 CAN 和 CAN FD 来引用此外设。

CAN 模块实现了以下功能:

- 『 支持CAN规范

- CAN2.0B (最多支持8字节的有效载荷, 由Bosch参考模型进行验证)
- 可选支持CAN FD (最多支持64字节的有效载荷, 符合ISO 11898-1:2015或非ISO Bosch标准)

- 『 可自由编程的数据率:

- CAN 2.0B定义了最高1Mbit/s的数据率
- CAN FD受收发器和CAN-CTRL核心的时钟频率限制

- 『 可编程的波特率分频器 (1至1/256)

- 『 主机接口和CAN协议机使用独立的时钟域

- 『 可配置的接收缓冲区 (RB) 大小

- 通用参数选择缓冲区槽位数量
- 类似FIFO的行为
- 未被“接受”或“错误”的接收消息不会覆盖已存储的消息

- 『 两个发送缓冲区

- 一个主要发送缓冲区 (PTB)
 - 可选的可配置次要发送缓冲区 (STB)
- STB是可选的。通用参数选择缓冲区槽位的数量
 - 可以以FIFO或优先级决策模式运行
 - 独立且可编程的内部29位验收滤波器
 - 可以通过通用参数选择验收滤波器的数量, 范围为1到16

- 『 扩展功能

- 单次发送模式 (适用于PTB和/或STB)
- 仅监听模式
- 环回模式 (内部和外部)
- 收发器待机模式

` 扩展状态和错误报告

- 捕获最后发生的错误类型和仲裁丢失位置
- 可编程错误警告限制值

` 不同的主机控制器接口

- 32位同步主机控制器接口；为8位主机提供包装
- 32位AMBA APB协议规范v2.0
- 32位AMBA 3 AHB-Lite协议v1.0
- 32位Wishbone
- 根据需求，可选的特定应用接口到主机控制器

` 可配置的中断源

` 一个双端口内存块或两个伪双端口内存块用于帧缓冲区

` 时间戳：

- ISO 11898-4具有部分硬件支持的定时触发CAN
- CiA 603时间戳

` 完全同步和可综合的HDL设计（Verilog 2001, VHDL 93）

` 兼容AUTOSAR

` 优化用于SAE J1939

` 包含Linux驱动程序

CAN模块框图如图 5-46 所示。

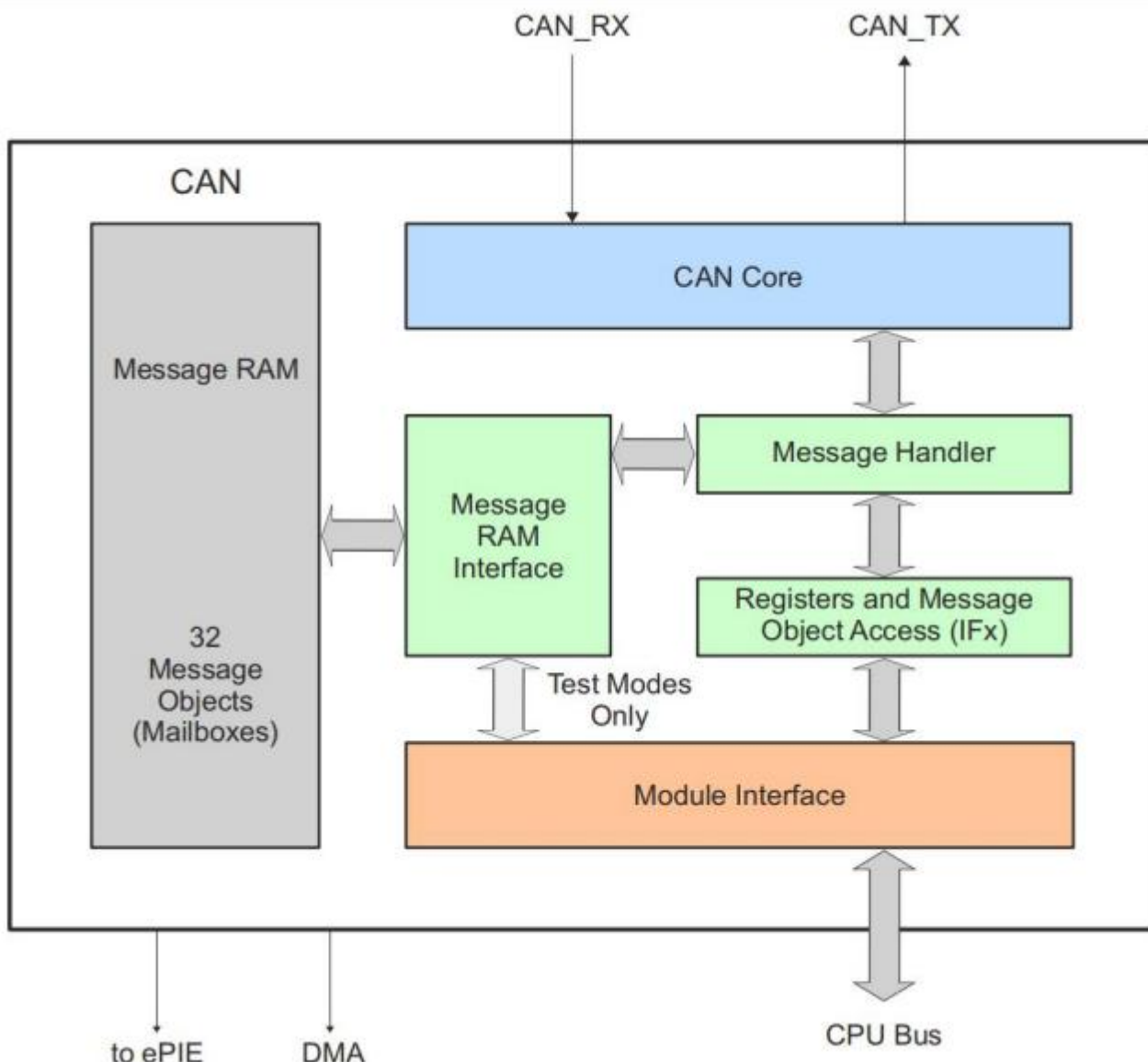


图 5- 46. CAN 框图

5.11.2 内置集成电路(I2C)

I2C 模块具有以下特点:

- 符合 NXP 半导体 I2C 总线规范(2.1 版)
 - 支持 8 位格式传输
 - 7 位和 10 位寻址模式
 - 通用寻呼
 - START 字节模式
 - 支持多个主发射机和从接收机
 - 支持多个从发射机和主接收机

- 主发送/接收和接收/发送组合模式
- 数据传输速率从 10kbps 提高到 400kbps(Fast-mode)
- 一个 16 字节的接收 FIFO 和一个 16 字节的发送FIFO
- 支持两个 ePIE 中断
 - I2Cx 中断-下列任何一条件都可以配置生成 I2Cx 中断：
- 发送就绪
- 接受就绪
- 存取寄存器就绪
- 未应答
- 仲裁丢失
- 检测停止状态
- 从机地址
 - I2Cx_FIFO 中断：
- 发送 FIFO 中断
- 接收 FIFO 中断
- 模块启用和禁用功能
- 自由数据格式模式

设备 I2C 外设模块接口如图 5-53 所示。



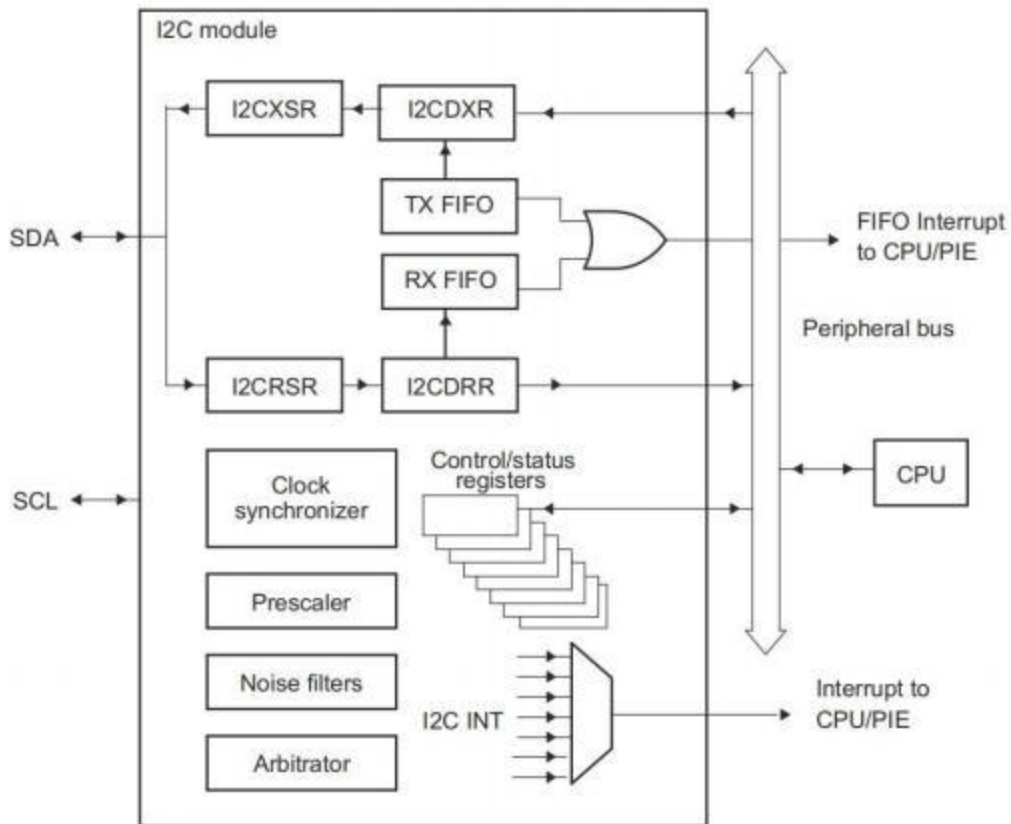


图 5-47. I2C 外设模块接口

注意:为了满足所有 I2C 协议时序规范, I2C 模块时钟必须配置在 7MHz ~ 12MHz 范围内。

5.11.2.1 I₂C电气数据和时序

I₂C 定时要求请参见章节 5.11.2.1.1。I₂C 开关特性请参见 5.11.2.1.2。I₂C 时序示意图如图 5-48 所示。

5.11.2.1.1 I₂C时序要求

表 5-35. I₂C 时序要求

| 编号 | | | 最小值 | 单位 |
|-------------|--------------------------------|-----------------------------|-------------|-----|
| 标准模式 | | | | |
| T0 | f _{mod} | I ₂ C 模块频率 | 7 12 | MHz |
| T1 | t _h (SDA-SCL)START | 保持时间，启动条件，SDA 下降后 SCL 下降延迟 | 4.0 | μs |
| T2 | t _{su} (SCL-SDA)START | 设置时间，重复启动，SDA 下降延迟之前 SCL 上升 | 4.0 | μs |
| T3 | t _h (SCL-DAT) | 保持时间，SCL 下降后的数据 | 0 | μs |
| T4 | t _{su} (DAT-SCL) | 设置时间，SCL 上升前的数据 | 250 | ns |
| T5 | t _r (SDA) | 上升时间，SDA | 1000 | ns |
| T6 | t _r (SCL) | 上升时间，SCL | 1000 | ns |
| T7 | t _f (SDA) | 下降时间，SDA | 300 | ns |
| T8 | t _f (SCL) | 下降时间，SCL | 300 | ns |
| T9 | t _{su} (SCL-SDA)STOP | 设置时间，停止条件，SDA 上升延迟之前 SCL 上升 | 4.0 | μs |
| T10 | t _w (SP) | 将由滤波器抑制的尖峰脉冲持续时间 | 0 50 | ns |
| T11 | C _b | 每条总线上的电容负载 | 400 | pF |
| 快速模试 | | | | |
| T0 | f _{mod} | I ₂ C 模块频率 | 7 12 | MHz |
| T1 | t _h (SDA-SCL)START | 保持时间，启动条件，SDA 下降后 SCL 下降延迟 | 0.6 | μs |
| T2 | t _{su} (SCL-SDA)START | 设置时间，重复启动，SDA 下降延迟之前 SCL 上升 | 0.6 | μs |
| T3 | t _h (SCL-DAT) | 保持时间，SCL 下降后的数据 | 0 | μs |
| T4 | t _{su} (DAT-SCL) | 设置时间，SCL 上升前的数据 | 100 | ns |
| T5 | t _r (SDA) | 上升时间，SDA | 20 300 | ns |
| T6 | t _r (SCL) | 上升时间，SCL | 20 300 | ns |
| T7 | t _f (SDA) | 下降时间，SDA | 11.4 300 | ns |
| T8 | t _f (SCL) | 下降时间，SCL | 11.4 300 | ns |
| 编号 | | | 最小值 | 最大值 |

| | | | | |
|-----|-----------------------|-----------------------------|---------|---------|
| T9 | $t_{SU}(SCL-SDA)STOP$ | 设置时间，停止条件，SDA 上升延迟之前 SCL 上升 | 0.6 | μs |
| T10 | $t_{W(SP)}$ | 将由滤波器抑制的尖峰脉冲持续时间 | 0 50 | ns |
| T11 | C_b | 每条总线上的电容负载 | 400 | pF |

5.11.2.1.2 I2C 开关特性

在推荐的工作条件下（除非另有说明）

表 5- 36. I2C 开关特性

| 编号 | 参数 | | 测试条件 | 最小值 | 最大值 | 单位 |
|-------------|------------------|------------------|-----------------------------------|-----------|-----|---------|
| 标准模式 | | | | | | |
| S1 | f_{SCL} | SCL 时钟频率 | | 0 | 100 | kHz |
| S2 | T_{SCL} | SCL 时钟周期 | | 10 | | μs |
| S3 | $t_{W(SCLL)}$ | 脉冲持续时间，SCL 时钟低电平 | | 4.7 | | μs |
| S4 | $t_{W(SCLH)}$ | 脉冲持续时间，SCL 时钟高电平 | | 4.0 | | μs |
| S5 | t_{BUF} | 停止和启动条件之间的总线空闲时间 | | 4.7 | | μs |
| S6 | $t_{V(SCL-DAT)}$ | 有效时间，SCL 下降后的数据 | | 3.45 | | μs |
| S7 | $t_{V(SCL-ACK)}$ | 有效时间，SCL 下降后的确认 | | 3.45 | | μs |
| S8 | I_I | 引脚上的输入电流 | $0.1 V_{bus} < V_i < 0.9 V_{bus}$ | -10 10 | | μA |
| 快速模式 | | | | | | |
| S1 | f_{SCL} | SCL 时钟频率 | | 0 400 | | kHz |
| S2 | T_{SCL} | SCL 时钟周期 | | 2.5 | | μs |
| S3 | $t_{W(SCLL)}$ | 脉冲持续时间，SCL 时钟低电平 | | 1.3 | | μs |
| S4 | $t_{W(SCLH)}$ | 脉冲持续时间，SCL 时钟高电平 | | 0.6 | | μs |
| S5 | t_{BUF} | 停止和启动条件之间的总线空闲时间 | | 1.3 | | μs |
| S6 | $t_{V(SCL-DAT)}$ | 有效时间，SCL 下降后的数据 | | 0.9 | | μs |
| S7 | $t_{V(SCL-ACK)}$ | 有效时间，SCL 下降后的确认 | | 0.9 | | μs |
| S8 | I_I | 引脚上的输入电流 | $0.1 V_{bus} < V_i < 0.9 V_{bus}$ | -10 10 | | μA |

5.11.2.1.3 I2C 时序图

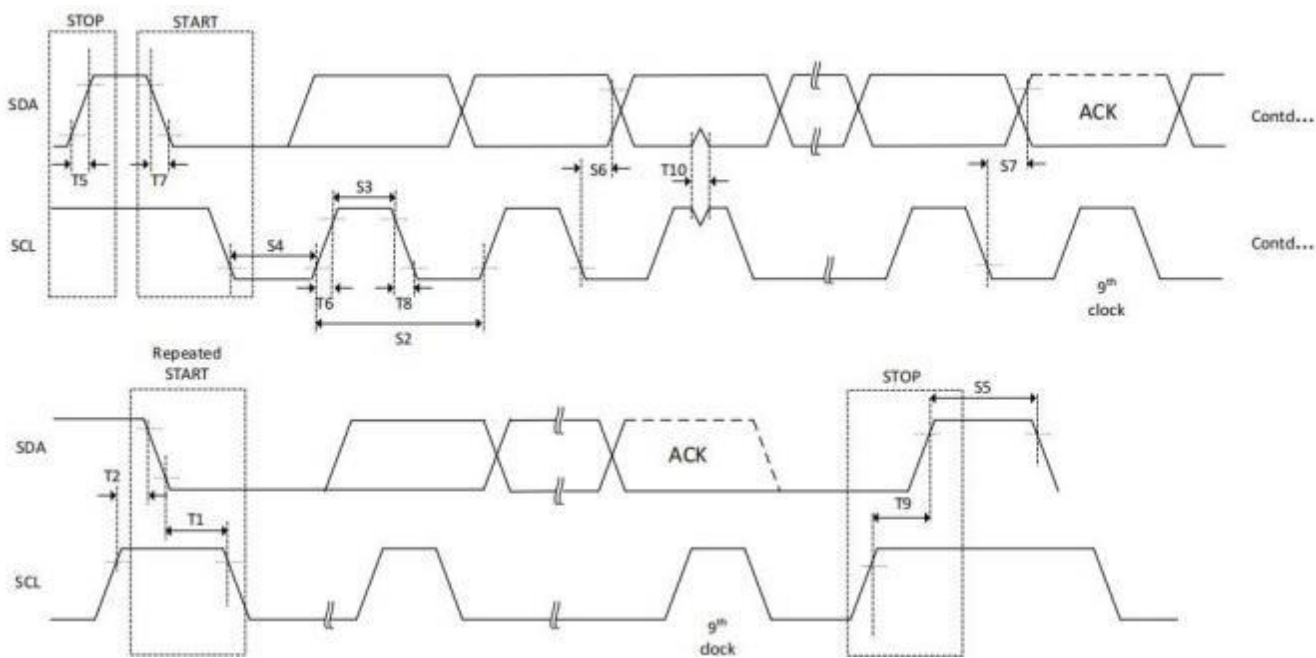


图 5-48. I2C 时序图

5.11.3 电源管理总线(PMBus) 接口

PMBus 模块具有以下特点：

- 符合 SMI 论坛 PMBus 规范 (Part I v1.0 和 Part II v1.1)
- 支持主和从模式
- 支持 I2C 模式
- 支持两种速率
 - 标准模式：最高达 100 kHz
 - 快速模式：400 kHz
- 数据包错误检验
- 控制和警报信号
- 时钟高电平和低电平超时
- 4 字节发送和接收缓冲区
- 一个可屏蔽中断，它可以由以下条件生成：
 - 接收数据就绪
 - 发送缓冲区为空
 - 从地址接收
 - 报文结束

- ALERT 输入提示
- 时钟低超时
- 时钟高超时
- 总线空闲

PMBus 模块框图如图 5-49 所示。

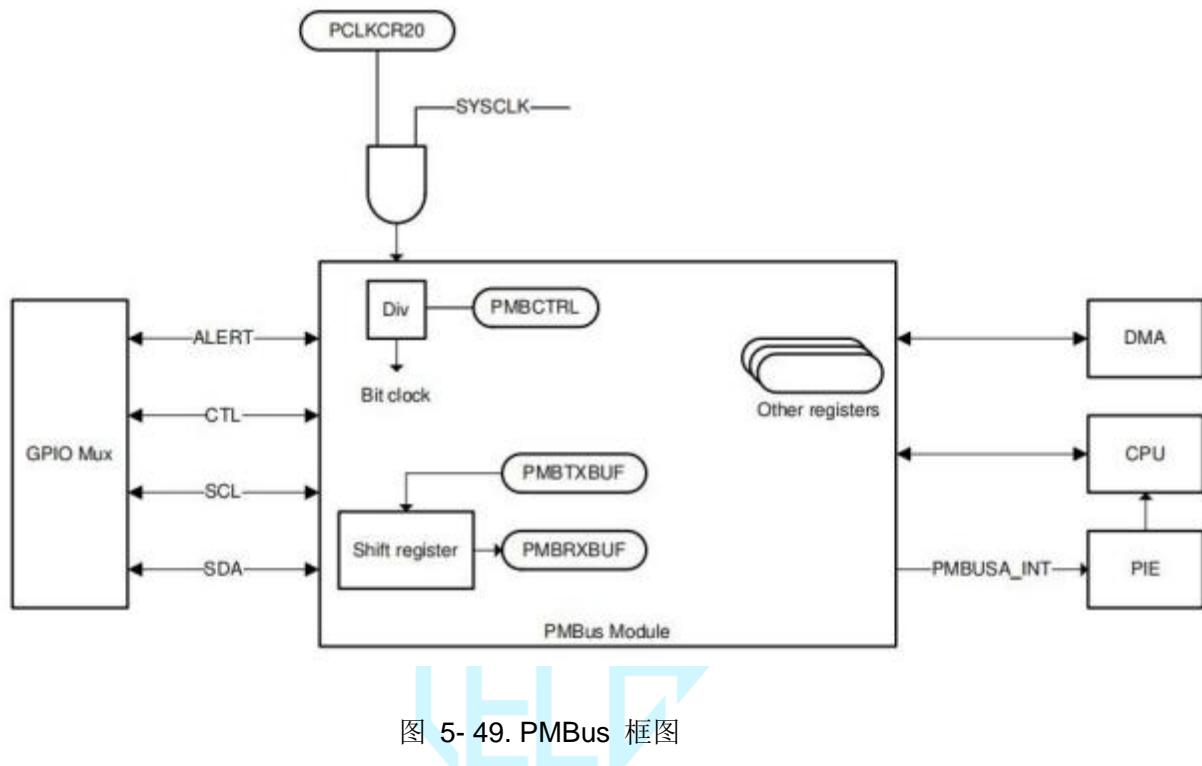


图 5-49. PMBus 框图

第 5.11.3.1.1 节列出了 PMBus 电气特性。章节 5.11.3.1.2 列出了 PMBUS 快速模式的开关特性。

章节 5.11.3.1.3 列出了 PMBUS 标准模式的开关特性。

5.11.3.1.1 PMBus 电气特性

在建议运行条件下测得（除非另有说明）

表 5-37. PMBUS 电气特性

| 参数 | | 测试条件 | 最小值 | 典型值 | 最大值 | 单位 |
|-----------------|----------------|--|-----|-------------------|-----|----|
| V _{IL} | 有效低电平输入电压电压 | | | 0.8 | | V |
| V _{IH} | 有效高电平输入电压 | | 2.1 | V _{DDIO} | | V |
| V _{OL} | 低电平输出电压 | At I _{pullup} = 4 mA | | 0.4 | | V |
| I _{OL} | 低电平输出电流 | V _{OL} ≤ 0.4 V | 4 | | | mA |
| t _{SP} | 输入滤波器必须抑制的脉冲宽度 | | 0 | 50 | | ns |
| I _l | 在每个引脚上输入漏电流 | 0.1 V _{bus} < V _i < 0.9 V _{bus} | -10 | 10 | | μA |
| C _i | 每个引脚的电容 | | | 10 | | pF |

5.11.3.1.2 PMBus 快速模式的开关特性

理论设计指标（除非另作说明）

| 参数 | | 测试条件 | 最小值 | 典型值 | 最大值 | 单位 |
|-----------------------|--|----------------|-----|-----|-----|-----|
| f _{SCL} | SCL 时钟频率 | | 10 | 400 | | kHz |
| t _{BUF} | 在STOP 和START 之间的总线空闲时间 | | 1.3 | | | μs |
| t _{HD;STA} | START 条件保持时间-- SDA fall to SCL fall delaySDA 下降到 SCL 下降的延迟 | | 0.6 | | | μs |
| t _{SU;STA} | 重复 START 建立时间 -- SCL rise to SDA fall delaySCL 上升到 SDA 下降之间的延时 | | 0.6 | | | μs |
| t _{SU;STO} | STOP 条件建立时间 -- SCL 上升到 SDA 上升的延迟 | | 0.6 | | | μs |
| t _{HD;DAT} | 在 SCL 下降后的保持时间 | | 300 | | | ns |
| t _{SU;DAT} | 在 SCL 上升前的建立时间 | | 100 | | | ns |
| t _{Timeout} | 时钟低超时 | | 25 | 35 | | ms |
| t _{LOW} | 低周期的SCL 时钟 | | 1.3 | | | μs |
| t _{HIGH} | 高周期的SCL 时钟 | | 0.6 | 50 | | μs |
| t _{LOW;SEXT} | 累计时钟低延时间(从设备) | 从 START 到 STOP | | 25 | | ms |
| t _{LOW;MEXT} | 累计时钟低延时间 (主设备) | 每个字节内 | | 10 | | ms |
| t _r | SDA 和SCL 的上升时间 | 5% 至 95% | 20 | 300 | | ns |
| t _f | SDA 和SCL 的下降时间 | 95% 至 5% | 20 | 300 | | ns |

5.11.3.1.3 PMBus 标准模式的开关特性

理论设计指标（除非另作说明）

表 5-39. PMBUS 标准模式开关特性

| 参数 | | 测试条件 | 最小值 值 | 典型值 | 最大 | 单位 |
|----------------|--|----------------|-----------|------|----|-----|
| fsCL | SCL 时钟频率 | | 10 100 | | | kHz |
| tBUF | 在 STOP 和 START 之间的总线空闲时间 | | 4.7 | | | μs |
| tHD;STA | START 条件保持时间-- SDA fall to SCL fall delaySDA 下降到 SCL 下降的延迟 | | 4 | | | μs |
| tsU;STA | 重复 START 建立时间 -- SCL rise to SDA fall delaySCL 上升到 SDA 下降之间的延时 | | 4.7 | | | μs |
| tsU;STO | STOP 条件建立时间 -- SCL 上升到 SDA 上升的延迟 | | 4 | | | μs |
| tHD;DAT | 在 SCL 下降后的保持时间 | | 300 | | | ns |
| tsU;DAT | 在 SCL 上升前的建立时间 | | 250 | | | ns |
| tTimeout | 时钟低超时 | | 25 35 | | | ms |
| tLOW | 低周期的SCL 时钟 | | 4.7 | | | μs |
| tHIGH | 高周期的SCL 时钟 | | 4 50 | | | μs |
| tLOW;SEXT | 累计时钟低延时间 (从设备) | 从 START 至 STOP | | 25 | | ms |
| tLOW;MEXT | 累计时钟低延时间 (主设备) | 每个字节内 | | 10 | | ms |
| t _r | SDA 和 SCL 的上升时间 | | | 1000 | | ns |
| t _f | SDA 和 SCL 的下降时间 | | | 300 | | ns |

5.11.4 串行通信接口(SCI)

SCI 是一种两线异步串行端口，通常称为 UART。SCI模块支持 CPU 和其他使用标准非归零(NRZ) 格式的异步外设的数字通信。SCI接收器和发射器都有一个 16 层的FIFO，可以减少CPU 工作开销， 每个都有单独的使能和中断位。可以独立进行半双工通信，或同时进行全双工通信。为了确定数据 完整性，SCI检查接收到的数据是否有中断检查、奇偶校验、溢出和帧格式错误。通过 16 位寄存器修改可以编程不同的波特率速度。

SCI模块的特点包括：

两个外部引脚：(如果不用于 SCI，则两个引脚都可以用作 GPIO)

- SCITXD: SCI 发送输出引脚
- SCIRXD: SCI 接收输入引脚
- 波特率可编程到 921600 不同的速率
- 数据字格式:
 - 1 起始位
 - 数据字长可编程从 1 到 8 位
 - 可选偶数/奇数/无奇偶 校验位
 - 1 或 2 个停止位
- 4 个错误检测标志:奇偶校验, 溢出, 帧格式和中断检测
- 半双工或全双工操作
- 双缓冲接收和发送功能
- 发射器和接收器操作可以通过带有状态标志的中断驱动或轮询算法来完成
 - 发射器:TXRDY 标志(发射器-缓冲寄存器准备接收另一个字符 char)和 TX_EMPTY 标志(发射器-移位寄存器为空)
 - 接收器:RXRDY 标志(接收缓冲区寄存器准备接收另一个字符 char), BRKDT 标志(中断条件发生), RX_ERROR 标志(监控四种中断条件)
- 独立的发射机和接收机的中断使能位(BRKDT 除外)
- 16 级发送和接收 FIFO

注意: 此模块中的所有寄存器都是 8 位寄存器。当访问寄存器时, 寄存器数据位于低字节(位 7-0), 高字节(位 15-8)被读取为零。写入高字节没有效果。

SCI 框图如图 5-50 所示。

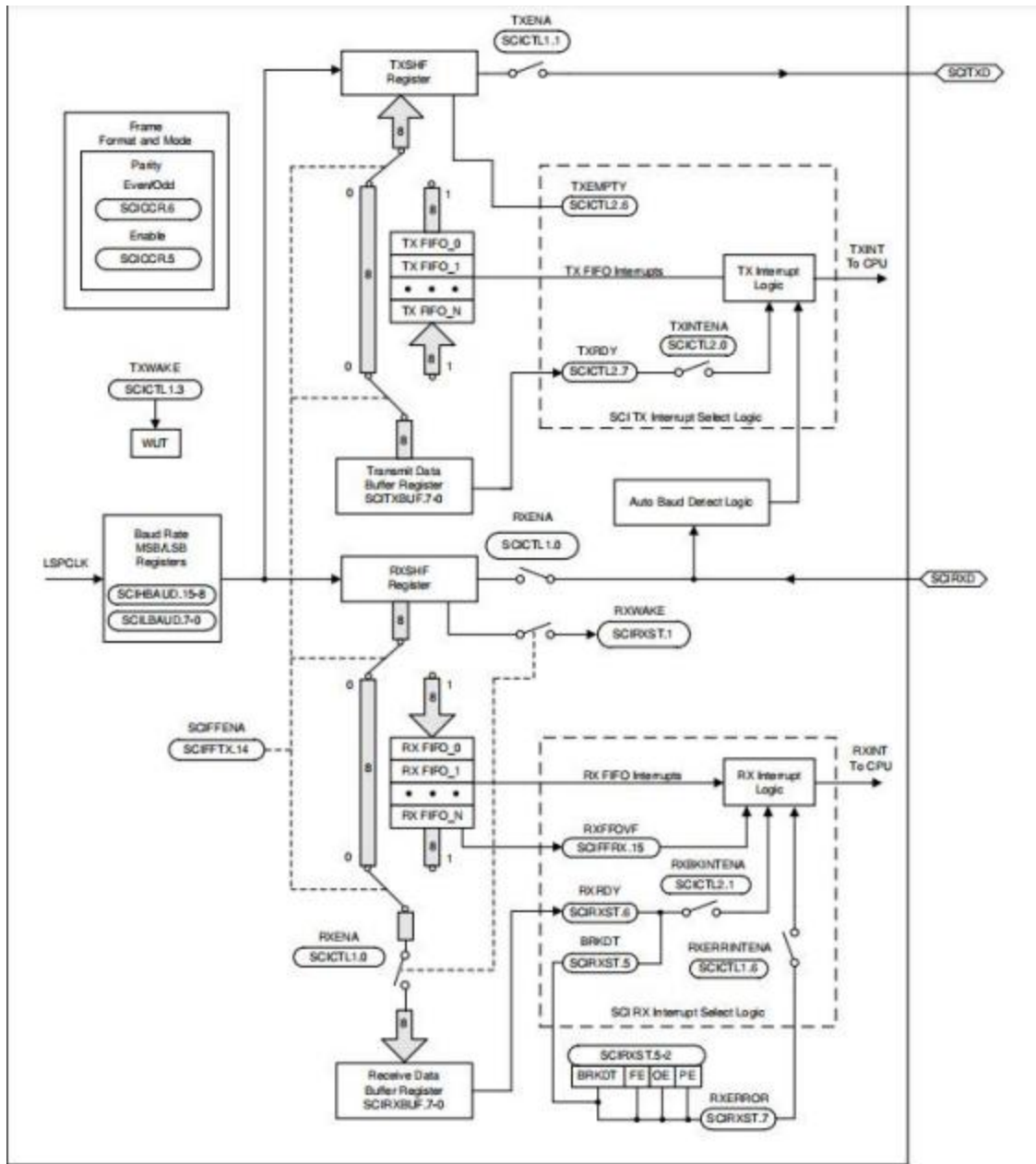


图 5-50. SCI 框图

5.11.5 串行外设接口(SPI)

串行外设接口(SPI)是一个高速同步串行输入和输出(I/O)端口，允许一个可编程长度(4~32位)的串行比特流被移进和移出设备，可根据配置的传输速率传输。SPI通常用于 DSP 控制器与外设或 其他控制器之间的通信。典型的应用包括通过移位寄存器、显示驱动和模数转换器(ADC 等)设备进行外部 I/O 或外围扩展。SPI 的主或从运行支持多设备通信。支持 8 级收发 FIFO，可减少CPU 工作开销。

SPI模块的特点包括：

- ADC 中断和 EVT 信号SPISOMI : SPI 从输出/主输入引脚
- SPISIMO: SPI 从输入/主输出引脚
- SPSTE : SPI 从传输使能引脚
- SPICLK: SPI 串行时钟引脚
- 两种操作模式:主和从
- 波特率:65530 个不同的可编程速率。可用的最大波特率受限于 SPI 引脚上 I/O 缓冲区的最大速度。
- 数据字长:4 ~ 32 位
- 四种时钟策略(由时钟极性和时钟相位位控制)包括:
 - 无相位延迟下降沿 : SPICLK 高电平有效。SPI 在 SPICLK 信号的下降沿传输数据，在 SPICLK 信号的上升沿接收数据。
 - 有相位延迟下降沿: SPICLK 高电平有效。SPI在 SPICLK 信号下降沿前半个周期发送数据， 在 SPICLK 信号的下降沿接收数据。
 - 无相位延迟的上升沿 : SPICLK 低电平无效。SPI 在 SPICLK 信号的上升沿发送数据，在 SPICLK 信号的下降沿接收数据。
 - 有相位延迟的上升沿: SPICLK 低电平无效。SPI在 SPICLK 信号上升沿前半个周期发送数
- 据，并在 SPICLK 信号上升沿接收数据。
- 同时进行收发操作(可在软件中禁用发送功能)
- 发送机和接收机操作通过中断驱动或轮询算法来完成
- 8 级 发送/接收 FIFO
- 支持 DMA
- 3-线 SPI 模式

SPI CPU 接口如图 5-51 所示。

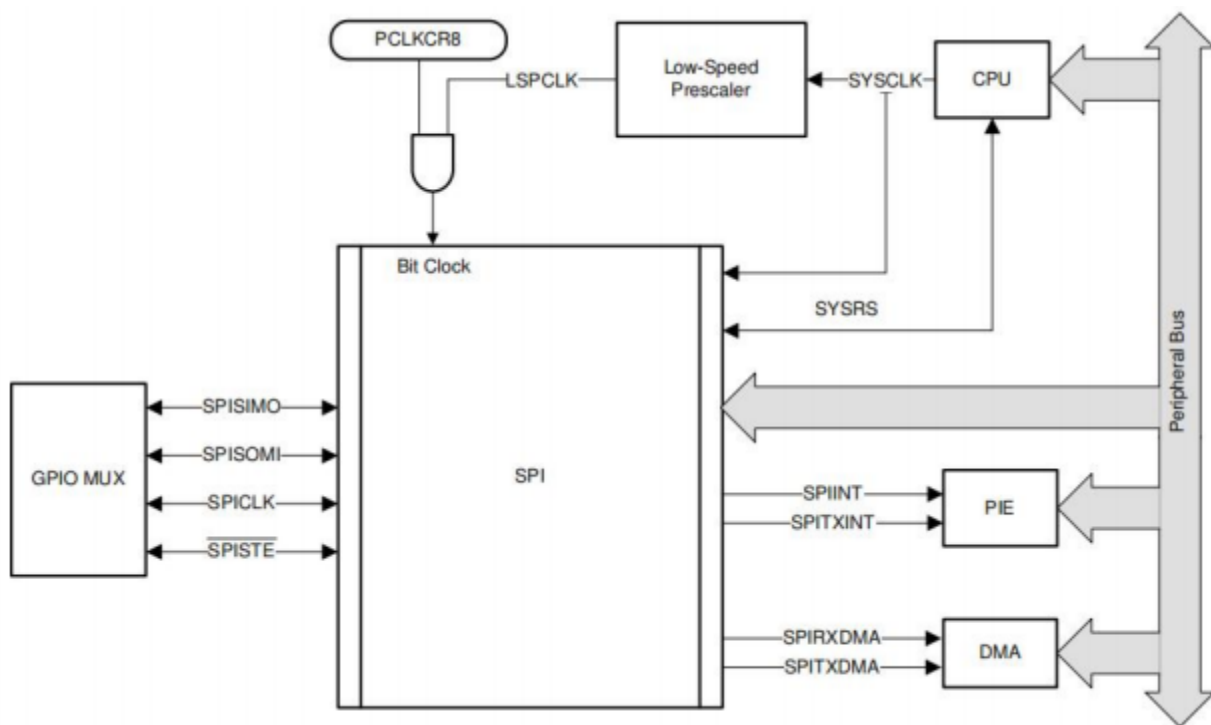


图 5-51. SPI CPU 接口

5.11.5.1 SPI 主模式时序

第 5.11.5.1.1 节列出了 SPI 主模式时序要求。

第 5.11.5.1.2 节列出了 SPI 主模式开关特性，其中时钟相位= 0。时钟相位为 0 的 SPI 主模式

外部时序如图 7-58 所示。

第 5.11.5.1.3 节列出了时钟相位= 1 的 SPI 主模式切换特性。时钟相位为 1 的 SPI 主模式外部

时序如图 7-59 所示。

注意：SPI 高速模式的所有定时参数在 SPICLK、SPISIMO 和 SPISOMI 上假定负载电容为 5pf。

5.11.5.1.1 SPI 主模式定时要求

表 5-40. SPI 主模式定时要求

| NO. | | | (BRR + 1) ⁽¹⁾ | 最小值 | 最大值 | 单位 |
|-------------|-----------------|-----------------------------|--------------------------|-----|-----|----|
| 高速模式 | | | | | | |
| 8 | $t_{su(SOMI)M}$ | 建立时间, SPISOMI 在 SPICLK 之前有效 | 偶数, 奇数 | | 1 | ns |
| 9 | $t_h(SOMI)M$ | 保持时间, SPISOMI 在 SPICLK 之后有效 | 偶数, 奇数 | | 5 | ns |
| 正常模式 | | | | | | |
| NO. | | | (BRR + 1) ⁽¹⁾ | 最小值 | 最大值 | 单位 |
| 8 | $t_{su(SOMI)M}$ | 建立时间, SPISOMI 在 SPICLK 之前有效 | 偶数, 奇数 | | 15 | ns |
| 9 | $t_h(SOMI)M$ | 保持时间, SPISOMI 在 SPICLK 之后有效 | 偶数, 奇数 | | | ns |

(1) 当(SPIBRR + 1)为偶数或 SPIBRR 为 0 或 2 时, (BRR + 1)条件为偶数。当(SPIBRR + 1)为奇数且 SPIBRR 大于 3 时为奇数。

5.11.5.1.2 SPI 主模式开关特性(时钟相位=0)

理论设计指标 (除非另作说明)

表 5-41. SPI 主模式开关特性(时钟相位=0)

| NO. | 参数 | | (BRR + 1) ⁽¹⁾ | 最小值 | 最大值 | 单位 |
|-------------|--------------|-----------------------------|--------------------------|-------------------------------------|-------------------------------------|----|
| 通用 | | | | | | |
| 1 | $t_c(SPC)M$ | 周期时间 , SPICLK | 偶数 | $4t_c(LSPCLK)$ $128t_c(LSPCLK)$ | | ns |
| | | | 奇数 | $5t_c(LSPCLK)$ $127t_c(LSPCLK)$ | | |
| 2 | $t_w(SPC1)M$ | 脉冲持续时间, SPICLK, 第一个脉冲 | 偶数 | $0.5t_c(SPC)M - 1$ | $0.5t_c(SPC)M + 1$ | ns |
| | | | 奇数 | $0.5t_c(SPC)M + 0.5t_c(LSPCLK) - 1$ | $0.5t_c(SPC)M + 0.5t_c(LSPCLK) + 1$ | |
| 3 | $t_w(SPC2)M$ | 脉冲持续时间, SPICLK, 第二个脉冲 | 偶数 | $0.5t_c(SPC)M - 1$ | $0.5t_c(SPC)M + 1$ | ns |
| | | | 奇数 | $0.5t_c(SPC)M - 0.5t_c(LSPCLK) - 1$ | $0.5t_c(SPC)M - 0.5t_c(LSPCLK) + 1$ | |
| 23 | $t_d(SPC)M$ | 延迟时间, SPISTE 到 SPICLK 有效 | 偶数 | $1.5t_c(SPC)M - 3t_c(SYSLCK) - 3$ | $1.5t_c(SPC)M - 3t_c(SYSLCK) + 3$ | ns |
| | | | 奇数 | $1.5t_c(SPC)M - 4t_c(SYSLCK) - 3$ | $1.5t_c(SPC)M - 4t_c(SYSLCK) + 3$ | |
| 24 | $t_v(STE)M$ | 有效时间, SPICLK 到 SPISTE 无效 | 偶数 | $0.5t_c(SPC)M - 3$ | $0.5t_c(SPC)M + 3$ | ns |
| | | | 奇数 | $0.5t_c(SPC)M - 0.5t_c(LSPCLK) - 3$ | $0.5t_c(SPC)M - 0.5t_c(LSPCLK) + 3$ | |
| 高速模式 | | | | | | |
| 4 | $t_d(SIMO)M$ | 延迟时间, SPICLK 到 SPISIMO 有效 | 偶数, 奇数 | | 1 | ns |
| | | 有效时间, 在 SPICLK 后 SPISIMO 有效 | 偶数 | | $0.5t_c(SPC)M - 3$ | |

| | | | | | |
|-------------|----------------|-----------------------------|--------|--|------|
| 5 | | | 奇数 | $0.5t_{c(SP)}M - 0.5t_{c(LSPCLK)} - 3$ | ns |
| 普通模式 | | | | | |
| 4 | $t_{d(SIMO)M}$ | 延迟时间, SPICLK 到 SPISIMO 有效 | 偶数, 奇数 | | 1 ns |
| 5 | $t_{V(SIMO)M}$ | 有效时间, 在 SPICLK 后 SPISIMO 有效 | 偶数 | $0.5t_{c(SP)}M - 3$ | ns |
| | | | 奇数 | $0.5t_{c(SP)}M - 0.5t_{c(LSPCLK)} - 3$ | |

(1) 当(SPIBRR + 1)为偶数或 SPIBRR 为 0 或 2 时, (BRR + 1)为偶数。当(SPIBRR + 1)为奇数且 SPIBRR 大于 3 时为奇数。

5.11.5.1.3 SPI主模式开关特性(时钟相位=1)

理论设计指标（除非另作说明）

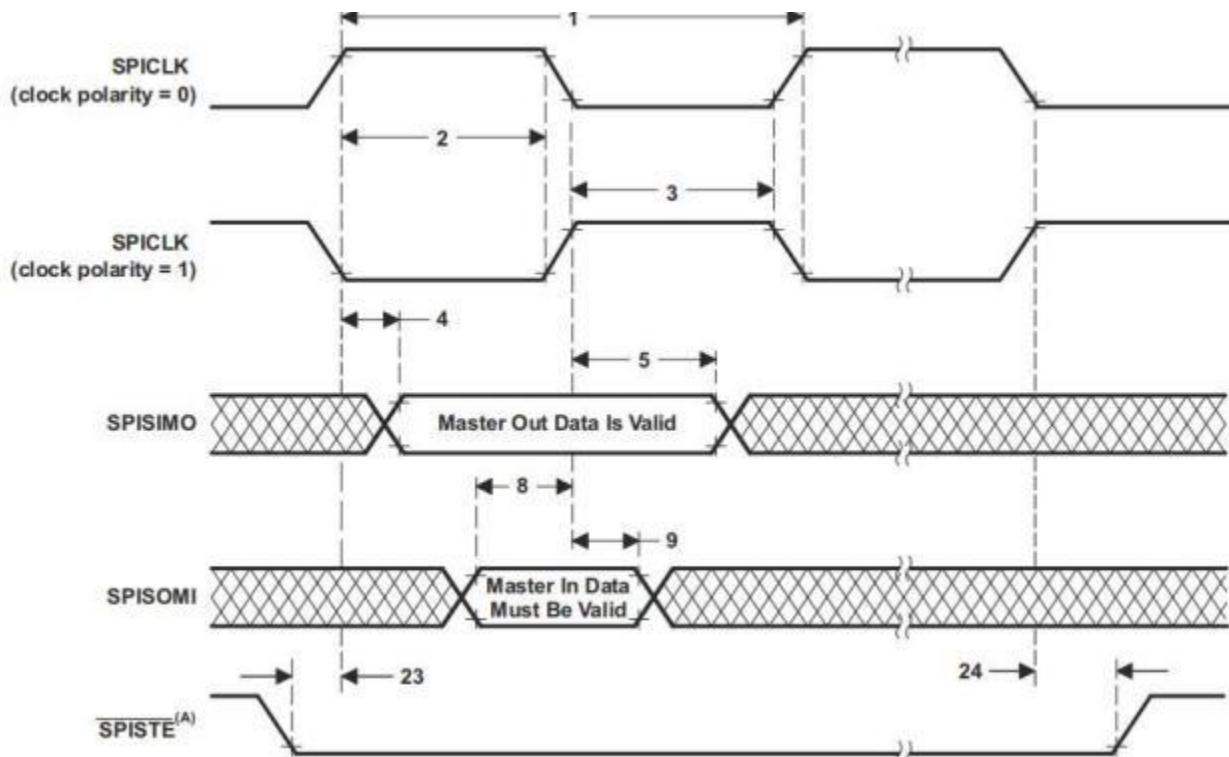
表 5- 42. SPI 主模式开关特性(时钟相位=1)

| NO. | 参数 | | (BRR + 1) | 最小 | 最大值 | 单位 |
|-------------|----------------|-------------------------------------|-----------|---|---------------------------------------|----|
| 通用 | | | | | | |
| 1 | $t_{c(SP)}M$ | 周期时间, SPICLK | 偶数 | $4t_{c(LSPCLK)}$ $128t_{c(LSPCLK)}$ | | ns |
| | | | 奇数 | $5t_{c(LSPCLK)}$ $127t_{c(LSPCLK)}$ | | |
| 2 | $t_{w(SPCH)M}$ | 脉冲持续时间, SPICLK, 第一脉冲 | 偶数 | $0.5t_{c(SP)}M - 1$ | $0.5t_{c(SP)}M + 1$ | ns |
| | | | 奇数 | $0.5t_{c(SP)}M$ $0.5t_{c(LSPCLK)}$ 1 $0.5t_{c(SP)}M$ $0.5t_{c(LSPCLK)} + 1$ | | |
| 3 | $t_{w(SP2)M}$ | 脉冲持续时间, SPICLK, 第二脉冲 | 偶数 | $0.5t_{c(SP)}M - 1$ | $0.5t_{c(SP)}M + 1$ | ns |
| | | | 奇数 | $0.5t_{c(SP)}M$ $0.5t_{c(LSPCLK)}$ 1 $0.5t_{c(SP)}M$ $0.5t_{c(LSPCLK)} + 1$ | | |
| 23 | $t_{d(SP)M}$ | 延迟时间, <u>SPISTE</u> 到 SPICLK 有效 | 偶数, 奇数 | $2t_{c(SP)}M - 3t_{c(SYSCLK)} - 3$ | $2t_{c(SP)}M$ $3t_{c(SYSCLK)} + 2$ | ns |
| 24 | $t_{d(STE)M}$ | 延迟时间, SPICLK 到 <u>SPISTE</u> 无效 | 偶数 | -3 2 | | ns |
| | | | 奇数 | -3 2 | | |
| 高速模式 | | | | | | |
| 4 | $t_{d(SIMO)M}$ | 延迟时间, SPISIMO 到 SPICLK 为有效 | 偶数 | $0.5t_{c(SP)}M - 2$ | | ns |
| | | | 奇数 | $0.5t_{c(SP)}M + 0.5t_{c(LSPCLK)} - 2$ | | |
| 5 | $t_{V(SIMO)M}$ | 有效时间, SPISIMO 在 SPICLK 后 SPISIMO 有效 | 偶数 | $0.5t_{c(SP)}M - 3$ | | ns |
| | | | 奇数 | $0.5t_{c(SP)}M - 0.5t_{c(LSPCLK)} - 3$ | | |
| 普通模式 | | | | | | |
| | | | 偶数 | $0.5t_{c(SP)}M - 2$ | | |

| | | | | | |
|---|----------------|------------------------------|----|---|----|
| 4 | | 延迟时间, SPISIMO 到 SPICLK 为有效 | 奇数 | $0.5t_{c(SPC)M} + 0.5t_{c(LSPCLK)} - 2$ | ns |
| 5 | $t_{V(SIMO)M}$ | 有效时间, 在 SPICLK 之后 SPISIMO 有效 | 偶数 | $0.5t_{c(SPC)M} - 3$ | ns |
| | | | 奇数 | $0.5t_{c(SPC)M} - 0.5t_{c(LSPCLK)} - 3$ | |

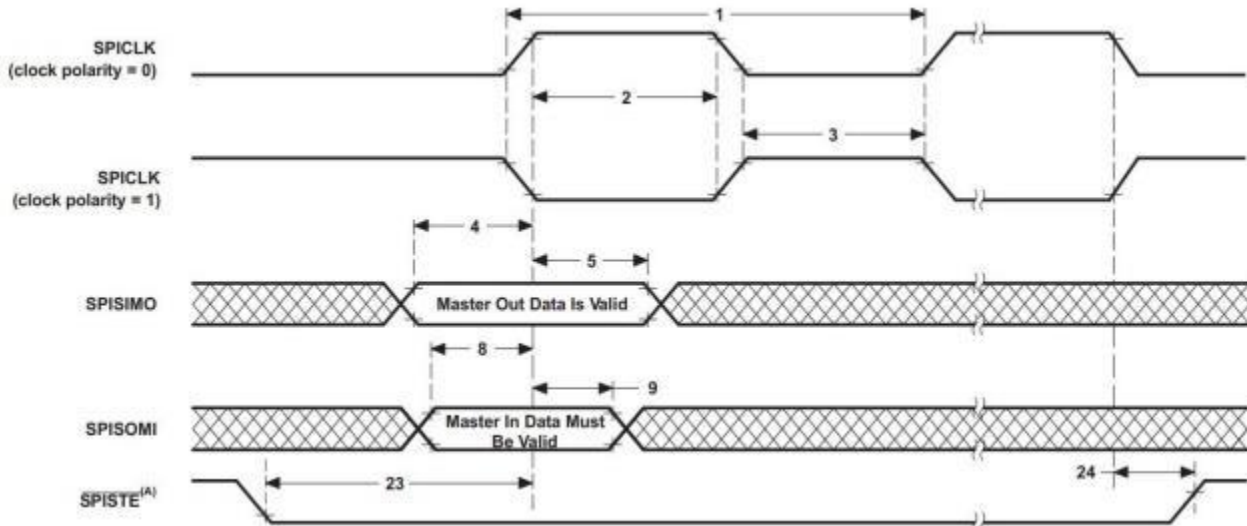
(1) 当(SPIBRR + 1)为偶数或 SPIBRR 为 0 或 2 时, (BRR + 1)为偶数。当(SPIBRR + 1)为奇数且 SPIBRR 大于 3 时为奇数。

5.11.5.1.4 SPI主模式时序图



A.在字段的尾端，在 FIFO 和非 FIFO 模式下的除非连续发送字， $\overline{S}P^1\overline{S}TE$ 处于非活动状态。

图 5-52. 主模式外部时序(时钟相位 = 0)



A.在字的尾端，除了在 FIFO 和非 FIFO 模式下的背对背传输单词之间，SPISTE 将处于非活动状态。

图 5-53. SPI 主模式外部时序 (时钟相位 = 1)

5.11.6 SPI 从模式时序

下面的部分包含 SPI 从模式时序。

章节 5.11.6.1.1 列出了 SPI 从模式时序要求。章节 5.11.6.1.2 列出了 SPI 从模式开关特性。时钟相位为 0 的 SPI 从模式外部时序如图 5-54 所示。时钟相位为 1 的 SPI 从模式外部时序如图 5-55 所示。

5.11.6.1.1 SPI 从模式时序要求

表 5-43. SPI 从模式时序要求

| NO. | 参数 | 最小值 | 最大值 | 单位 |
|-----|-----------------|--|---------------------|----|
| 12 | $t_c(SPC)S$ | 周期时间, SPICLK | $4t_c(SYSCLK)$ | ns |
| 13 | $t_w(SPC1)S$ | 脉冲持续时间, SPICLK, 第一脉冲 | $2t_c(SYSCLK) - 1$ | ns |
| 14 | $t_w(SPC2)S$ | 脉冲持续时间, SPICLK, 第二脉冲 | $2t_c(SYSCLK) - 1$ | ns |
| 19 | $t_{su}(SIMO)S$ | 建立时间, 在 SPICLK 之前 SPISIMO 有效 | $1.5t_c(SYSCLK)$ | ns |
| 20 | $t_h(SIMO)S$ | 保持时间, 在 SPICLK 之后 SPISIMO 有效 | $1.5t_c(SYSCLK)$ | ns |
| 25 | $t_{su}(STE)S$ | 建立时间, 在 SPICLK 之前 SPISTE 有效 (时钟相位 = 0) | $2t_c(SYSCLK) + 3$ | ns |
| | | 建立时间, 在 SPICLK 之前 SPISTE 有效 (时钟相位 = 1) | $2t_c(SYSCLK) + 23$ | ns |
| 26 | $t_h(STE)S$ | 保持时间, 在 SPICLK 之后 SPISTE 无效 | $1.5t_c(SYSCLK)$ | ns |

5.11.6.1.2 SPI 从模式开关特性

理论设计指标（除非另作说明）

表 5- 44. SPI 从模式开关特性

| NO. | 参数 | | 最小值 | 最大值 | 单位 |
|-----|----------------|----------------------------------|-----|-----|----|
| 15 | $t_{d(SOMI)S}$ | 延迟时间, SPICLK 到 SPISOMI 有效 | | 12 | ns |
| 16 | $t_{v(SOMI)S}$ | 有效时间, 在 SPICLK 之后 SPISOMI 有 效 | 0 | | ns |

5.11.6.1.3 SPI 从模式时序图

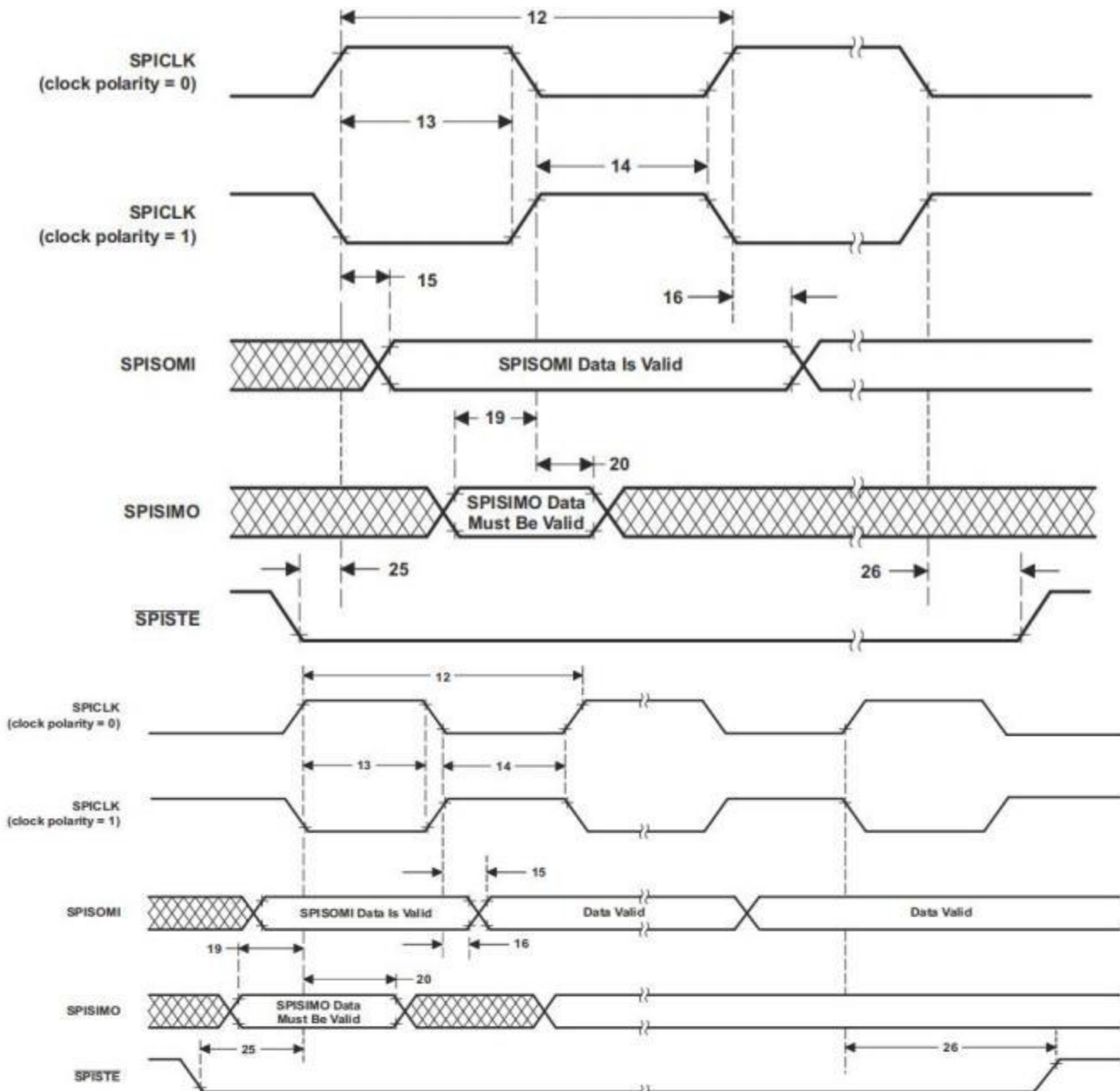


图 5- 55. SPI 从模式外部时序 (时钟相位 = 1)

5.11.7 本地互联网络(LIN)

LIN是用于汽车和工业应用中的本地互连网络（LIN）的独立控制器。LIN符合LIN 2.2A规范，并可选择与LIN 1.3兼容。DLIN允许在1 kbit/s和20 kbit/s之间进行串行传输。

LIN（Local Interconnect Network）是一种串行通信协议，旨在提供成本效益高的总线通信。LIN规范是由LIN联盟（<http://www.lin-subbus.org>）开发的。LIN标准包括传输介质的规范，开发工具之间的接口，传输协议以及软件编程接口。LIN被创建用于降低汽车网络的成本，在简单的应用（传感器或执行器）中取代了最昂贵的CAN。LIN设备可以实现为主节点或从节点。

LIN 模块具有以下特点：

- 符合LIN 2.2A和LIN 1.3规范
- 自动处理LIN报文头
- 自动重新同步
- 数据速率在1Kbit/s至20Kbit/s之间
- 主节点和从节点工作模式
- 超时检测
- 扩展错误检测
- 支持“Break-in-data”
- 唤醒检测
- 进入休眠检测
- 自动位率检测（在从节点模式下）
- 可用的系统接口包装器：
 - AMBA - APB / AHB / AXI Lite总线
 - Altera Avalon总线
 - Xilinx OPB总线

LIN 框图如图 5-56 所示。



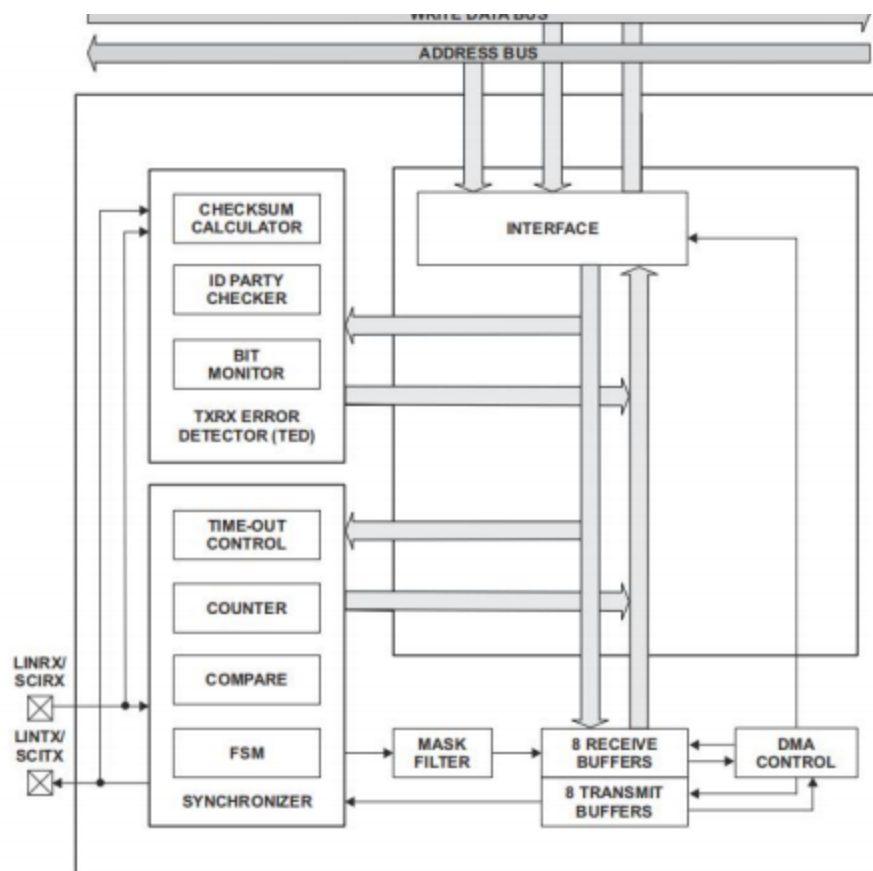


图 5-56. LIN s框图

5.11.8 快速串行接口(FSI)

快速串行接口（FSI）模块是一种串行通信外设，能够跨隔离设备进行可靠的高速通信。电流隔离装置用于两个不同的电子电路（没有公共电源和接地连接）必须交换信息的情况。虽然隔离设备有助于这些信号通信，但它们也会在信号线上引入大的延迟，并增加信号之间的偏斜。FSI专门设计用于确保系统场景的可靠高速通信，该场景涉及跨越隔离屏障的通信，而无需添加组件。

FSI由独立发射机（FSITX）和接收机（FSIRX）核心组成。FSITX和FSIRX内核是独立配置和操作的。有关FSI模块的更多信息，请参阅快速串行接口（FSI）倾斜补偿应用报告。

FSI模块包括以下特性：

- 独立的发射机和接收机核心
- 源同步传输
- 双数据速率(DDR)
- 一条或两条数据线

- 可编程的数据长度
- 偏移调整块可以补偿板级和系统延迟的不匹配
- 帧错误检测
- 用于消息过滤的可编程帧标签
- 在通信中硬件 ping 检测断行(ping 看门狗)
- 每个FSI核心有两个中断
- 外部触发帧生成
- 硬件或软件计算 CRC
- 嵌入式 ECC 计算模块
- 寄存器写入保护
- FSI-SPI 兼容模式(可用的功能有限)
- 标记匹配通知

5.11.8.1 FSI 发送器

FSI 传输模块处理数据的帧、生成 CRC、TXCLK、TXD0、TXD1 信号生成以及生成中断。通过可编程控制寄存器控制和配置发送器内核的操作。发射器控制寄存器允许 CPU 编程、控制和监管 FSI 发射机运行。传输数据缓冲区可由 CPU 和 DMA 访问。

该发送器具有以下特点：

- 自动生成 ping 帧
- 外部触发的 ping 帧
- 外部触发数据帧
- 软件可配置帧长度
- 16 字数据缓冲区
- 数据缓冲区不足和溢出检测
- 硬件生成 CRC 的数据位
- 选定数据进行软件 ECC 计算
- 支持 DMA
- CLA任务触发

FSITX CPU 接口如图 5-57 所示。FSITX 的高级别框图如图 5-58 所示。没有展示所有的数据路径和内部连接。该图提供了 FSITX 中内部模块的高级别概述。

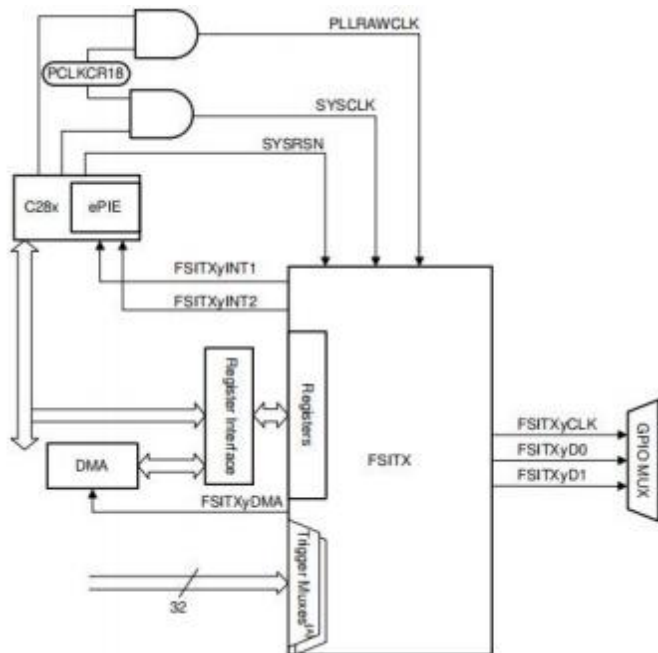


图 5-57. FSITX CPU 接口

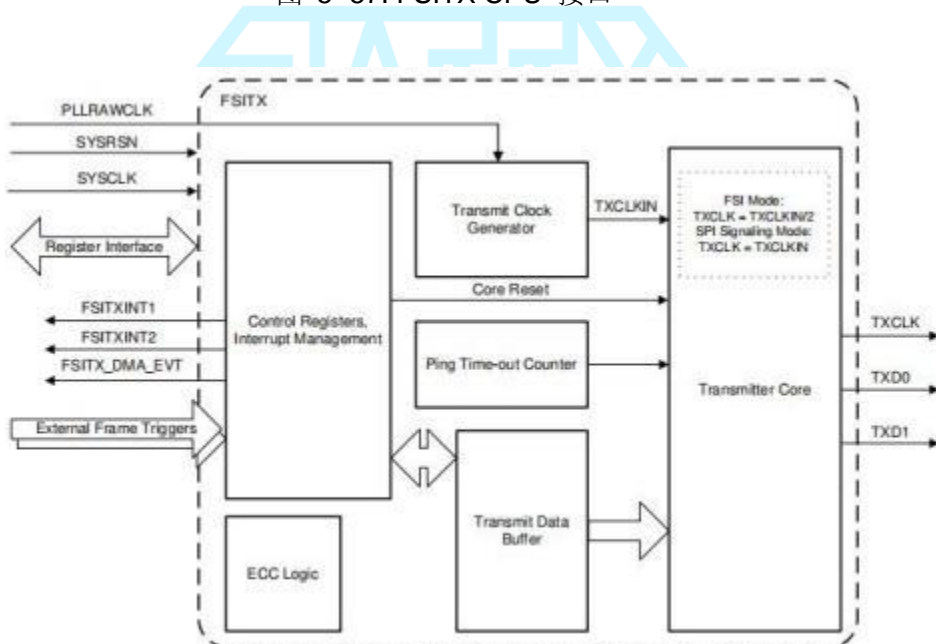


图 5-58. FSITX 框图

5.11.8.1.1 FSITX 电气特性和时序

章节 5.11.8.1.3 列出了 FSITX 的开关特性 FSITX 时序如图 5-59 所示。

5.11.8.1.2 FSITX 开关特性

理论设计指标（除非另作说明）

表 5- 45.

| NO. | 参数 | | 最小值 | 最大值 | 单位 |
|------|------------------------------|--|--|-------------------------------|-----------------------|
| 1 | $t_c(TXCLK)$ | | 周期时间, TXCLK | 20 | ns |
| 2 | $t_w(TXCLK)$ | | 脉冲宽度, TXCLK 低 或 TXCLK 高 | $(0.5t_c(TXCLK)) - 1$ | $(0.5t_c(TXCLK)) + 1$ |
| 3 | $t_d(TXCLK-TXD)$ | | 延迟时间, TXCLK 上升或下降 到TXD 有效 | $(0.25t_c(TXCLK)) - 2$ + 2 | $(0.25t_c(TXCLK))$ |
| TDM1 | $t_{skew}(TDM_CLK-TDM_Dx)$ | | TXCLK- TDM_CLK 延迟 和 TXDx- TDM_Dx 延迟之间引入偏移延迟 | -2 | ns |

5.11.8.1.3 FSITX 时序

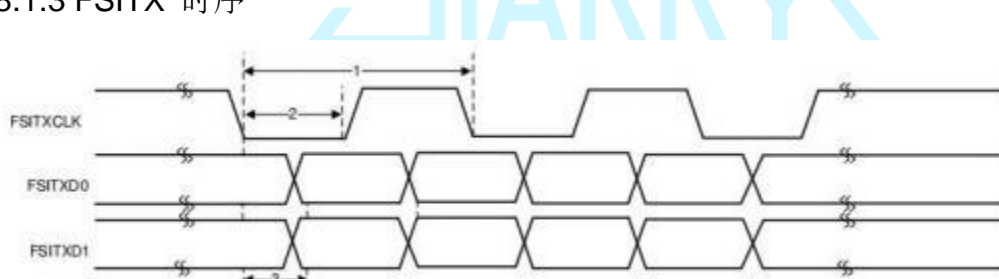


图 5-59. FSITX 时序

5.11.8.2 FSI 接收器

接收模块接口到FSI时钟(RXCLK)和数据线(RXD0 和 RXD1)后，通过一个可选的可编程延迟线。接收核心对数据帧、CRC 计算和帧相关的错误检查。接收端位时钟和状态机由RXCLK 输入端运行，它与设备系统时钟是异步的。接收控制寄存器允许 CPU 编程、控制和监视 FSIRX 的操作。接收数据缓冲区可以被 CPU、HIC 和 DMA 访问。

接收内核有以下特性：

- 16 字数据缓冲区
- 支持多种帧类型
- Ping 帧看门狗
- 帧看门狗

- 硬件 CRC 计算和比较
- ECC 检测
- 传入信号的可编程延迟线控制
- 支持 DMA
- CLA 任务触发
- FSI-SPI 兼容模式

FSIRX CPU 接口如图 5-60 所示。图 5-61 提供了 FSIRX 内部模块的高级概述。没有展示所有的数据路径和内部连接。

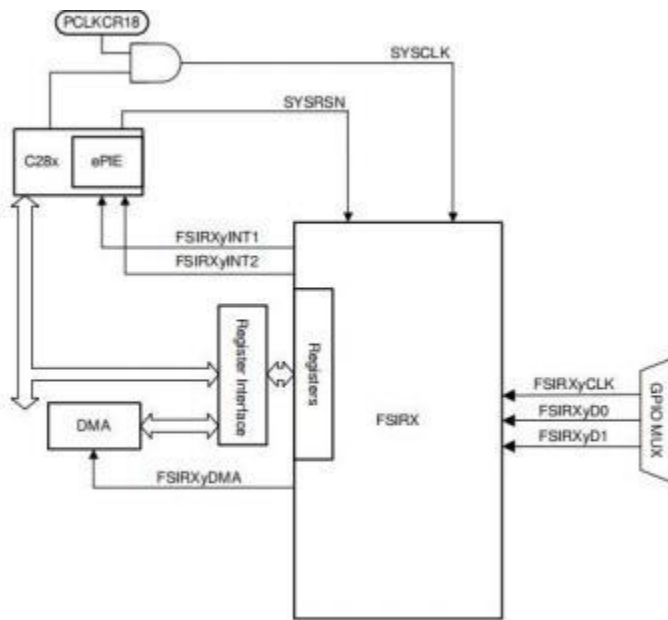


图 5-60. FSIRX CPU

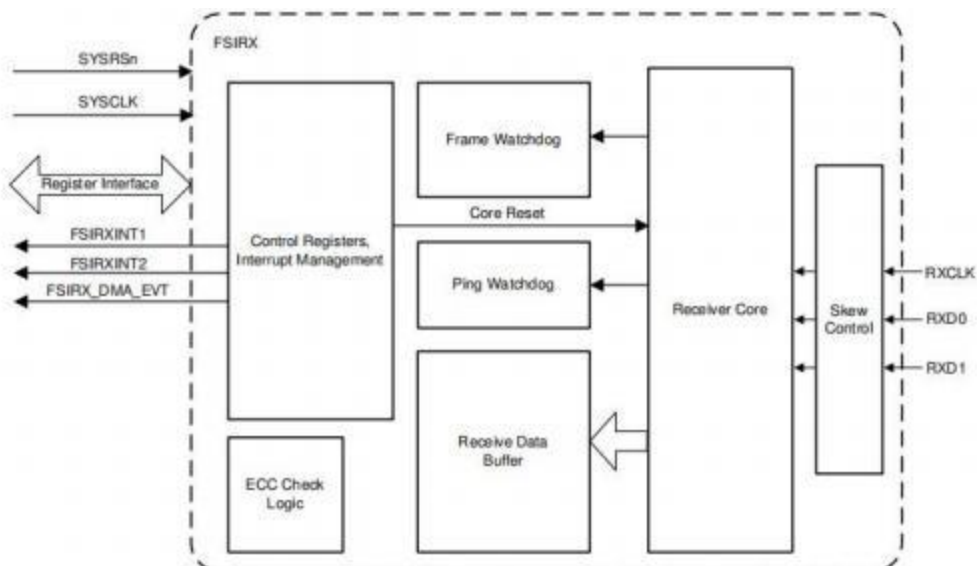


图 5-61. FSIRX 框图

5.11.8.3 FSIRX电气特性和时序

章节 5.11.8.3.1 列出了 FSIRX 时序要求。章节 5.11.8.3.2 列出了 FSIRX 的开关特性。

FSIRX时序如图 5-62 所示。

5.11.8.3.1 FSIRX 时序要求

表 5- 46.

| NO. | 参数 | | 最小值 | 最大值 | 单位 |
|-----|---------------------|----------------------------|--|-----|----|
| 1 | $t_c(RXCLK)$ | 周期时间, RXCLK | 20 | | ns |
| 2 | $t_w(RXCLK)$ | 脉冲持续时间, RXCLK 低 或 RXCLK 高. | $0.5t_c(RXCLK)-1$ $0.5t_c(RXCLK)+1$ | | ns |
| 3 | $t_{su}(RXCLK-RXD)$ | 关于 RXCLK 的建立时间, 适用于时钟两个边沿 | 1.7 | | ns |
| 4 | $t_h(RXCLK - RXD)$ | 对于 RXCLK 保持时间, 适用于时钟的两个边沿 | 3.8 | | ns |

5.11.8.3.2 FSIRX 开关特性

| NO. | 参数 | | 最小值 | 最大值 | 单位 |
|-----|----------------------|--|------|-----|----|
| 1 | $t_d(RXCLK)$ | | 6 | 21 | ns |
| 2 | $t_d(RXD0)$ | | 6 | 21 | ns |
| 3 | $t_d(RXD1)$ | | 6 | 21 | ns |
| 4 | $t_d(DELAY_ELEMENT)$ | | 0.17 | 0.7 | ns |

5.11.8.3.3 FSIRX 时序

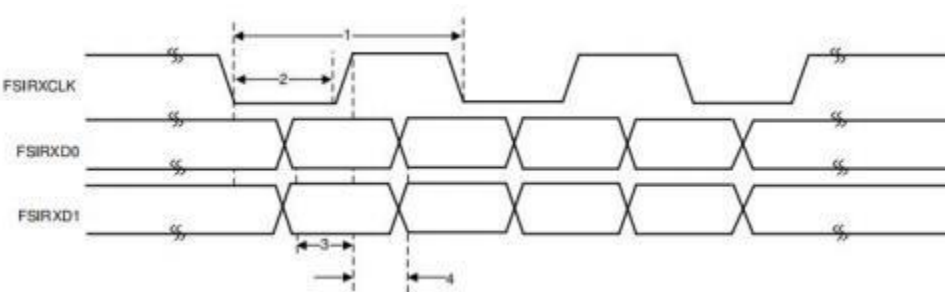


图 5- 62. FSIRX 时序

5.11.8.4 FSI SPI 兼容模式

FSI支持 SPI 兼容模式，以实现与可编程 SPI 设备的通信。在这种模式下，FSI在单时钟配置模式下以与 SPI相同的方式传输数据。当 FSI 能够在这种模式下与 SPI进行物理接口时，外设必须能够对FSI 帧进行编码和解码才能成功通信。因为FSI传输除前导码和后导码外的所有 SPI 帧相位。FSI提供了与标准FSI模式相同的数据验证和帧检查，允许在不消耗 CPU 周期的情况下进行更健壮 的通信。外部SPI 需要发送所有相关信息，并可以访问标准的FSI 功能，如 FSIRX 上的 ping 帧看门狗、帧标记或自定义 CRC 值。

SPI 兼容模式的特性列表如下：

- 数据在时钟的上升沿上发送，在时钟的下降沿上接收。
- 只支持 16 位字
- TxD1 将像一个低电平有效的片选信号。在全帧传输期间，信号置低。
- 不需要接收器片选输入。RxD1 未被使用。数据在每个活动时钟边缘上转移到接收器。
- 不传送前置时钟或后置时钟。帧阶段结束后，所有信号返回空闲状态。
- 不可能在 SPI 从配置中传输，因为FSI TXCLK 不能采用外部时钟源。

5.11.8.4.1 FSITX SPI 信号模式电气特性和时序

章节 5.11.8.4.2 列出了 FSITX SPI 开关特性。FSITX SPI 信号模式时序如图 5-63 所示。在 SPI信号模式下，FSIRX 不需要特殊的时序。第 5.11.8.4.2 节中列出的FSIRX 时序适用于 SPI 兼容模式。建立时间和保持时间仅在FSIRXCLK 的下降沿上有效，因为这是SPI信号模式中的活动边沿。

5.11.8.4.2 FSITX SPI 信号模式开关特性

超过参考无气流温度范围（除非另做说明）

表 5- 48.

| NO. | 参数 | | 最小值 | 最大值 | 单位 |
|-----|--------------------|--------------------------|-----------------------|-----------------------|----|
| 1 | $t_c(TXCLK)$ | 周期时间, TXCLK | 20 | | ns |
| 2 | $t_w(TXCLK)$ | 脉冲宽度, TXCLK 低 或 TXCLK 高 | $(0.5t_c(TXCLK)) - 1$ | $(0.5t_c(TXCLK)) + 1$ | ns |
| 3 | $t_d(TXCLKH-TXD0)$ | 延迟时间, TXCLK 高后 TXD0 有效 | | 3 | ns |
| 4 | $t_d(TXD1-TXCLK)$ | 延迟时间, 在 TXD1 低之后 TXCLK 高 | $t_w(TXCLK) - 3$ | | ns |
| 5 | $t_d(TXCLK-TXD1)$ | 延迟时间, 在 TXCLK 低之后 TXD1 高 | $t_w(TXCLK)$ | | ns |

5.11.8.4.3 FSITX SPI 信号模式时序

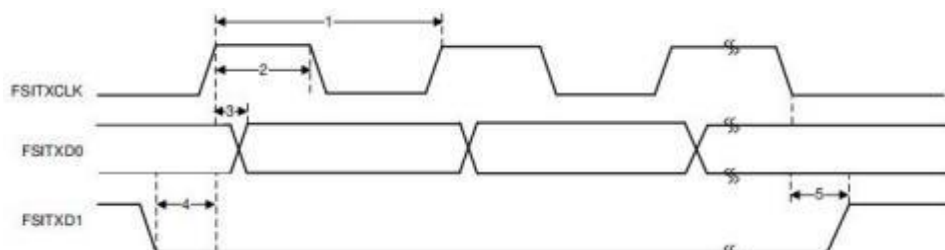


图 5-63. FSITX SPI 信号模式时序



6 详细描述

6.1 概述

QXS320F28377LRevA配备一个功能强大的32位浮点微控制器单元(MCU)，可让设计人员在单个器件上集成关键的控制外设、差分模拟和非易失性存储器。

实时控制子系统基于QX的32位C28xCPU，可提供300MHz的信号处理性能。QX C28xCPU的性能通过新的TMU扩展指令集和VCU扩展指令集得到了进一步提升，TMU扩展指令集可快速执行包含变换和扭矩环路计算中常见三角运算的算法，VCU扩展指令集可降低编码应用中常见复杂数学运算的延迟。

QXS320F28377LRevA为双核结构，副C28xCPU允许从主C28xCPU上大量卸载常见任务。副C28xCPU类似CLA是一款与CPU并行执行的独立32位浮点数学加速器。此外，副C28xCPU自带专用存储资源，它可以直接访问典型控制系统中所需的关键外设。对ANSIC子集的支持是标准配置，就像硬件断点和硬件任务切换等关键特性也是标准配置。

QXS320F28377LRevA支持高达1024KB的闪存和高达512KB的片上SRAM，支持闪存ECC、SRAMECC/奇偶校验和双区安全性。

QXS320F28377LRevA集成了高性能模拟块，以进一步支持系统整合。三个独立的12位ADC可准确、高效地管理多个模拟信号，从而最终提高系统吞吐量。模拟前端上的七个PGA可以在转换之前实现片上电压调节。七个模拟比较器模块针对跳闸情况下的对输入电压电平进行连续监控。

QXS320F28377LRevA包含先进的控制外设(具有独立于频率的ePWM/HRPWM和eCAP)，可对系统进行出色的控制。内置的4通道SDFM允许在隔离层上无缝集成过采样Σ-Δ调制器。

通过各种业界通用通信端口(如 SPI、SCI、I2C、LIN 和 CAN)支持连接，并且提供了多个多路复用选项，可在各种应用中实现出色的信号布局。QXS320F28377LRevA平台新增了完全符合标准的PMBus。此外，FSI率先在业内实现了高速可靠的通信，补充了嵌入该器件的各种外设的功能。

6.2 功能框图

CPU 系统及其外设如图 6-1 所示。

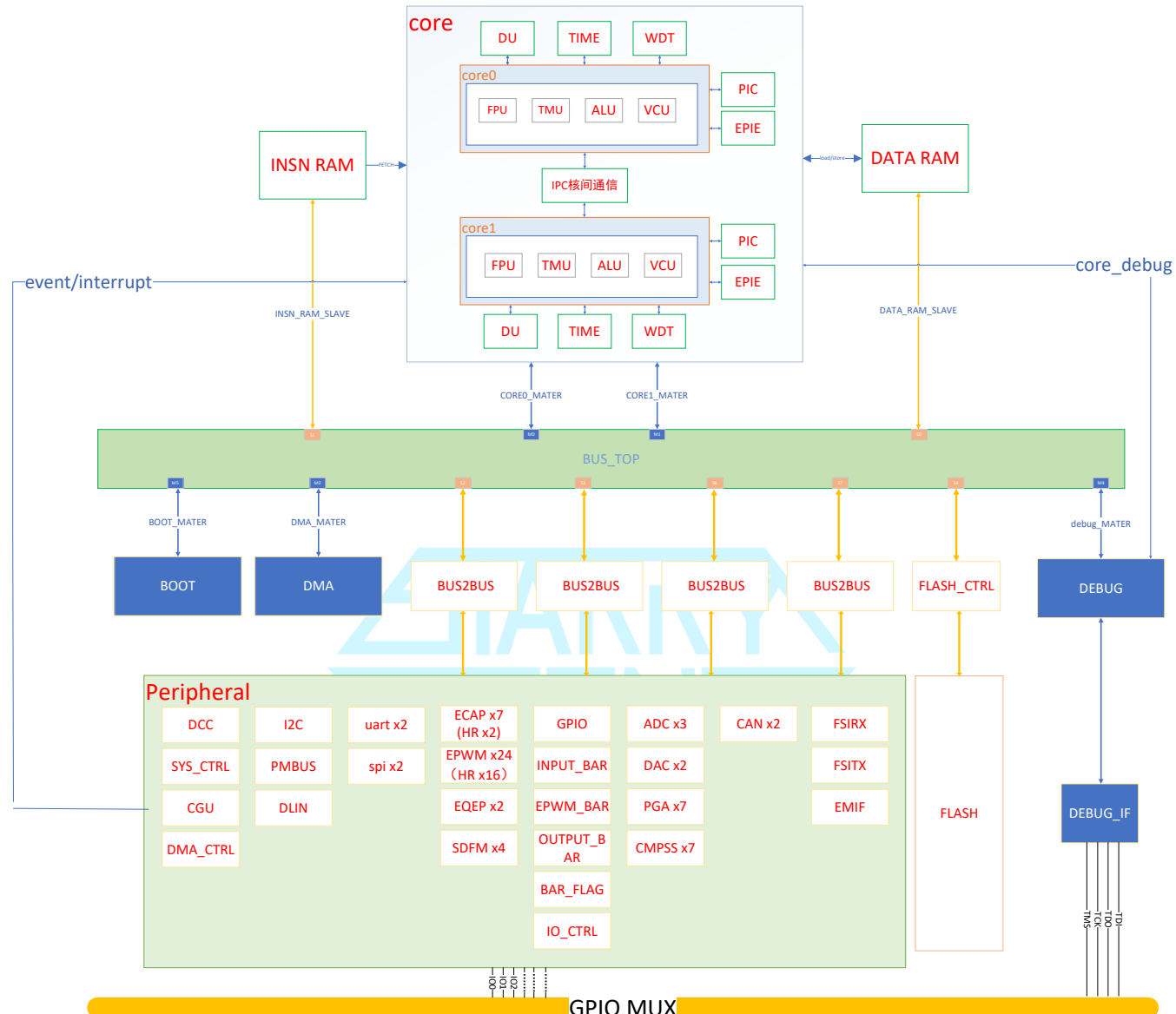


图 6-1. 功能框图

6.3 内存

6.3.1 内存映射

表 6-1. 内存映射

| 存储器 | 大小 | 起始地址 | 结束地址 | 副C28xCPU 存取 | DMA存取 | 支持 ECC | 奇偶校验 | 存储器 访问保护 | SECURE |
|--------------|------|------------|------------|----------------|-------|-----------|------|-------------|--------|
| GSD0 RAM | 64KB | 0x00000000 | 0x0000FFFF | 是 | 是 | 是 | | | |
| GSD1 RAM | 64KB | 0x00010000 | 0x0001FFFF | 是 | 是 | 是 | | | |
| GSD2 RAM | 64KB | 0x00020000 | 0x0002FFFF | 是 | 是 | 是 | | | |
| GSD3 RAM | 64KB | 0x00030000 | 0x0003FFFF | 是 | 是 | 是 | | | |
| IPC CPU0_RAM | 4KB | 0x00100000 | 0x00100FFF | 是 | 是 | | | | |
| IPC CPU1_RAM | 4KB | 0x00101000 | 0x00101FFF | 是 | 是 | | | | |
| GSIO RAM | 64KB | 0x00200000 | 0x0020FFFF | 是 | 是 | 是 | | | |
| GSI1 RAM | 64KB | 0x00210000 | 0x0021FFFF | 是 | 是 | 是 | | | |
| GSI2 RAM | 64KB | 0x00220000 | 0x0022FFFF | 是 | 是 | 是 | | | |
| GSI3 RAM | 64KB | 0x00230000 | 0x0023FFFF | 是 | 是 | 是 | | | |
| BOOT RAM | 8KB | 0x00280000 | 0x00281FFF | 是 | | | | | |
| PIECTRL | 256B | 0x007F0100 | 0x007F01FF | 是 | | | | | |
| DEBUG | 256B | 0x007F0200 | 0x007F02FF | 是 | | | | | |
| CPUTIMERO | 20B | 0x007F0300 | 0x007F0310 | 是 | | | | | |
| CPUTIMER1 | 20B | 0x007F0314 | 0x007F0324 | 是 | | | | | |
| CPUTIMER2 | 20B | 0x007F0328 | 0x007F0338 | 是 | | | | | |
| CPUTIMER_SYS | 16B | 0x007F03A0 | 0x007F03AC | 是 | | | | | |
| CPUTIMEROLC2 | 4B | 0x007F03B0 | 0x007F03B0 | 是 | | | | | |
| CPUTIMER1LC2 | 4B | 0x007F03B4 | 0x007F03B4 | 是 | | | | | |
| CPUTIMER2LC2 | 4B | 0x007F03B8 | 0x007F03B8 | 是 | | | | | |
| CR | 256B | 0x007F0400 | 0x007F04FF | 是 | | | | | |
| GR | 256B | 0x007F0500 | 0x007F05FF | 是 | | | | | |
| MOB | 256B | 0x007F0600 | 0x007F06FF | 是 | | | | | |
| EXP | 256B | 0x007F0700 | 0x007F07FF | 是 | | | | | |
| WD | 256B | 0x007F0800 | 0x007F08FF | 是 | | | | | |
| IPC_REG | 256B | 0x007F0900 | 0x007F09FF | 是 | | | | | |
| IPC_CMD | 256B | 0x007FOA00 | 0x007FOAFF | 是 | | | | | |
| VCU | 256B | 0x007FOB00 | 0x007FOBFF | 是 | | | | | |
| TRACE_BUFFER | 256B | 0x007FOC00 | 0x007FOCFF | 是 | | | | | |
| WATCH_POINT | 256B | 0x007FOD00 | 0x007FODFF | 是 | | | | | |

| | | | | | | | | | |
|---------------|------|------------|------------|---|---|--|--|--|--|
| ECC | 256B | 0x007F0E00 | 0x007F03FF | 是 | | | | | |
| ERAD_GLOBAL | 256B | 0x007F0F00 | 0x007F0FFF | 是 | | | | | |
| ERAD_HWBP1 | 256B | 0x007F1000 | 0x007F10FF | 是 | | | | | |
| ERAD_HWBP2 | 256B | 0x007F1100 | 0x007F11FF | 是 | | | | | |
| ERAD_HWBP3 | 256B | 0x007F1200 | 0x007F12FF | 是 | | | | | |
| ERAD_HWBP4 | 256B | 0x007F1300 | 0x007F13FF | 是 | | | | | |
| ERAD_HWBP5 | 256B | 0x007F1400 | 0x007F14FF | 是 | | | | | |
| ERAD_HWBP6 | 256B | 0x007F1500 | 0x007F15FF | 是 | | | | | |
| ERAD_HWBP7 | 256B | 0x007F1600 | 0x007F16FF | 是 | | | | | |
| ERAD_HWBP8 | 256B | 0x007F1700 | 0x007F17FF | 是 | | | | | |
| ERAD_COUNTER1 | 256B | 0x007F1800 | 0x007F18FF | 是 | | | | | |
| ERAD_COUNTER2 | 256B | 0x007F1900 | 0x007F19FF | 是 | | | | | |
| ERAD_COUNTER3 | 256B | 0x007F1A00 | 0x007F1AFF | 是 | | | | | |
| ERAD_COUNTER4 | 256B | 0x007F1B00 | 0x007F1BFF | 是 | | | | | |
| CLKCFG | 4KB | 0x01000000 | 0x01000FFF | 是 | 是 | | | | |
| CPUSYS | 432B | 0x01001000 | 0x010011AF | 是 | 是 | | | | |
| DEVCFG | 432B | 0x01001000 | 0x010011AF | 是 | 是 | | | | |
| XINT | 80B | 0x010011B0 | 0x010011FF | 是 | 是 | | | | |
| NMI_INTERRUPT | 256B | 0x01001200 | 0x01012FF | 是 | 是 | | | | |
| DCC0 | 4KB | 0x01002000 | 0x01002FFF | 是 | 是 | | | | |
| GPIOCTRL | 4KB | 0x01003000 | 0x01003FFF | 是 | 是 | | | | |
| GPIODATA | 4KB | 0x01004000 | 0x01004FFF | 是 | 是 | | | | |
| INPUTXBAR | 4KB | 0x01005000 | 0x01005FFF | 是 | 是 | | | | |
| EPWMXBAR | 4KB | 0x01006000 | 0x01006FFF | 是 | 是 | | | | |
| OUTPUTXBAR | 4KB | 0x01007000 | 0x01007FFF | 是 | 是 | | | | |
| XBAR | 4KB | 0x01008000 | 0x01008FFF | 是 | 是 | | | | |
| DMA | 256B | 0x01009000 | 0x010090FF | 是 | 是 | | | | |
| DMACH1 | 256B | 0x01009100 | 0x010091FF | 是 | 是 | | | | |
| DMACH2 | 256B | 0x01009200 | 0x010092FF | 是 | 是 | | | | |
| DMACH3 | 256B | 0x01009300 | 0x010093FF | 是 | 是 | | | | |
| DMACH4 | 256B | 0x01009400 | 0x010094FF | 是 | 是 | | | | |
| DMACH5 | 256B | 0x01009500 | 0x010095FF | 是 | 是 | | | | |
| DMACH6 | 256B | 0x01009600 | 0x010090FF | 是 | 是 | | | | |
| ANALOGSUBSYS | 4KB | 0x0100A000 | 0x0100AFFF | 是 | 是 | | | | |
| ADCA | 256B | 0x0100B000 | 0x0100B0FF | 是 | 是 | | | | |
| ADCARESULT | 256B | 0x0100B100 | 0x0100B1FF | 是 | 是 | | | | |
| ADCB | 256B | 0x0100B200 | 0x0100B2FF | 是 | 是 | | | | |

| | | | | | | | | | | |
|-------------|------|------------|------------|---|---|--|--|--|--|--|
| ADCRESULT | 256B | 0x0100B300 | 0x0100B3FF | 是 | 是 | | | | | |
| ADCC | 256B | 0x0100B400 | 0x0100B4FF | 是 | 是 | | | | | |
| ADCCRRESULT | 256B | 0x0100B500 | 0x0100B5FF | 是 | 是 | | | | | |
| PGA1 | 32B | 0x0100C000 | 0x0100C01F | 是 | 是 | | | | | |
| PGA2 | 32B | 0x0100C020 | 0x0100C03F | 是 | 是 | | | | | |
| PGA3 | 32B | 0x0100C040 | 0x0100C05F | 是 | 是 | | | | | |
| PGA4 | 32B | 0x0100C060 | 0x0100C07F | 是 | 是 | | | | | |
| PGA5 | 32B | 0x0100C080 | 0x0100C09F | 是 | 是 | | | | | |
| PGA6 | 32B | 0x0100C0A0 | 0x0100C0BF | 是 | 是 | | | | | |
| PGA7 | 32B | 0x0100C0C0 | 0x0100C0DF | 是 | 是 | | | | | |
| DACA | 64B | 0x0100D000 | 0x0100D03F | 是 | 是 | | | | | |
| DACB | 64B | 0x0100D040 | 0x0100d07F | 是 | 是 | | | | | |
| CMPSS1 | 256B | 0x0100E000 | 0x0100E0FF | 是 | 是 | | | | | |
| CMPSS2 | 256B | 0x0100E100 | 0x0100E1FF | 是 | 是 | | | | | |
| CMPSS3 | 256B | 0x0100E200 | 0x0100E2FF | 是 | 是 | | | | | |
| CMPSS4 | 256B | 0x0100E300 | 0x0100E3FF | 是 | 是 | | | | | |
| CMPSS5 | 256B | 0x0100E400 | 0x0100E4FF | 是 | 是 | | | | | |
| CMPSS6 | 256B | 0x0100E500 | 0x0100E5FF | 是 | 是 | | | | | |
| CMPSS7 | 256B | 0x0100E600 | 0x0100E6FF | 是 | 是 | | | | | |
| SDFM | 4KB | 0x0100F000 | 0x0100FFFF | 是 | 是 | | | | | |
| ECAP1 | 128B | 0x01010000 | 0x0101007F | 是 | 是 | | | | | |
| ECAP2 | 128B | 0x01010080 | 0x010100FF | 是 | 是 | | | | | |
| ECAP3 | 128B | 0x01010100 | 0x0101017F | 是 | 是 | | | | | |
| ECAP4 | 128B | 0x01010180 | 0x010101FF | 是 | 是 | | | | | |
| ECAP5 | 128B | 0x01010200 | 0x0101027F | 是 | 是 | | | | | |
| ECAP6 | 64B | 0x01010280 | 0x010102BF | 是 | 是 | | | | | |
| ECAP7 | 64B | 0x01010300 | 0x0101033F | 是 | 是 | | | | | |
| HRCAP6 | 64B | 0x010102C0 | 0x010102FF | 是 | 是 | | | | | |
| HRCAP7 | 64B | 0x01010340 | 0x0101037F | 是 | 是 | | | | | |
| SYNCSOC | 128B | 0x01010380 | 0x010103FF | 是 | 是 | | | | | |
| SFO | 128B | 0x01010400 | 0x0101047F | 是 | 是 | | | | | |
| EPWM9 | 512B | 0x01010600 | 0x010107FF | 是 | 是 | | | | | |
| EPWM10 | 512B | 0x01010800 | 0x010109FF | 是 | 是 | | | | | |
| EPWM11 | 512B | 0x01010A00 | 0x01010BFF | 是 | 是 | | | | | |
| EPWM12 | 512B | 0x01010E00 | 0x01010FFF | 是 | 是 | | | | | |
| EPWM1 | 512B | 0x01011000 | 0x010111FF | 是 | 是 | | | | | |
| EPWM2 | 512B | 0x01011200 | 0x010113FF | 是 | 是 | | | | | |

| | | | | | | | | | | |
|--------------|------|------------|------------|---|---|--|--|--|--|--|
| EPWM3 | 512B | 0x01011400 | 0x010115FF | 是 | 是 | | | | | |
| EPWM4 | 512B | 0x01011600 | 0x010117FF | 是 | 是 | | | | | |
| EPWM5 | 512B | 0x01011800 | 0x010119FF | 是 | 是 | | | | | |
| EPWM6 | 512B | 0x01011A00 | 0x01011BFF | 是 | 是 | | | | | |
| EPWM7 | 512B | 0x01011C00 | 0x01011DFF | 是 | 是 | | | | | |
| EPWM8 | 512B | 0x01011E00 | 0x01011FFF | 是 | 是 | | | | | |
| EQEP1 | 2KB | 0x01012000 | 0x010127FF | 是 | 是 | | | | | |
| EQEP2 | 2KB | 0x01012800 | 0x01012FFF | 是 | 是 | | | | | |
| SPI0_MASTER | 1KB | 0x01013000 | 0x010133FF | 是 | 是 | | | | | |
| SPI0_SLAVE | 1KB | 0x01013400 | 0x010137FF | 是 | 是 | | | | | |
| SPI0_SEL_REG | 256B | 0x01013800 | 0x010138FF | 是 | 是 | | | | | |
| SPI1_MASTER | 1KB | 0x01014000 | 0x010143FF | 是 | 是 | | | | | |
| SPI1_SLAVE | 1KB | 0x01014400 | 0x010147FF | 是 | 是 | | | | | |
| SPI1_SEL_REG | 256B | 0x01014800 | 0x010148FF | 是 | 是 | | | | | |
| SCIA | 4KB | 0x01015000 | 0x01015FFF | 是 | 是 | | | | | |
| SCIB | 4KB | 0x01016000 | 0x01016FFF | 是 | 是 | | | | | |
| I2CA | 4KB | 0x01017000 | 0x01017FFF | 是 | 是 | | | | | |
| PMBUS | 4KB | 0x01018000 | 0x01018FFF | 是 | 是 | | | | | |
| LINA | 4KB | 0x01019000 | 0x01019FFF | 是 | 是 | | | | | |
| FSITX | 4KB | 0x0101A000 | 0x0101AFFF | 是 | 是 | | | | | |
| FSIRX | 4KB | 0x0101B000 | 0x0101BFFF | 是 | 是 | | | | | |
| REGFILE | 4KB | 0x0101C000 | 0x0101CFFF | 是 | 是 | | | | | |
| CANA | 4KB | 0x01052000 | 0x01052FFF | 是 | 是 | | | | | |
| CANB | 4KB | 0x01053000 | 0x01053FFF | 是 | 是 | | | | | |
| FLASHOCTRL | 4KB | 0x01040000 | 0x01040FFF | 是 | 是 | | | | | |
| FLASHODATA | 1MB | 0x30000000 | 0x300FFFFF | 是 | 是 | | | | | |
| FLASHOOTP1 | 1KB | 0x30100000 | 0x301003FF | 是 | 是 | | | | | |
| FLASHOOTP2 | 1KB | 0x30101000 | 0x301013FF | 是 | 是 | | | | | |

备注：地址空间[23:16] = 7f的空间主\副C28xCPU各有独立的地址空间

6.3.2 Flash 内存映射

在QXS320F28377LRevA上有一个闪存(1024KB [256KW])可用。一次可以对一个Page、Sector、Block、Chip进行编程或擦除操作。

在正在进行擦除/编程操作的 FLASH Bank 上不应进行任何访问。

FLASH的Page、Sector、Block、Chip关系如表所示。

| Each device has | Each block has | Each sector has | Each page has | |
|-----------------|----------------|-----------------|---------------|---------|
| 1M | 64 | 4K | 256 | Bytes |
| 4K | 256 | 16 | | pages |
| 256 | 16 | | | sectors |
| 16 | | | | blocks |

可分配的FLASH 扇区地址如表 6-3所示。

6.3.2.1 Flash 扇区地址

表 6- 3-1. FLASH OTP扇区地址

| 扇区 | 地址 | | |
|-----------|-----|------------|------------|
| | 大小 | 开始 | 结束 |
| OTP 0 扇区 | | | |
| FLASHOTP1 | 1KB | 0x30100000 | 0x301003FF |
| FLASHOTP2 | 1KB | 0x30101000 | 0x301013FF |

表 6- 3-2. FLASH Block 地址

| Block | Sector | Address range | |
|-------|--------|---------------|--------------|
| 15 | 255 | 0x300FF000H | 0x300FFFFFH |
| | | | |
| | 240 | 0x300F0000H | 0x300F0FFFFH |
| 14 | 239 | 0x300EF000H | 0x300EFFFFH |
| | | | |
| | 224 | 0x300E0000H | 0x300E0FFFFH |
| | | | |
| | | | |
| | | | |
| | | | |
| | | | |
| | | | |
| 2 | 47 | 0x3002F000H | 0x3002FFFFH |

| | | | |
|---|-------|-------------|--------------|
| | | | |
| | 32 | 0x30020000H | 0x30020FFFFH |
| 1 | 31 | 0x3001F000H | 0x3001FFFFH |
| | | | |
| | 16 | 0x30010000H | 0x30010FFFFH |
| 0 | 15 | 0x3000F000H | 0x3000FFFFH |
| | | | |
| | 0 | 0x30000000H | 0x30000FFFH |

6.3.3.2 外设寄存器内存映射

外设寄存器内存映射表(H28x)如下：

表 6- 4. 外设寄存器内存映射表 (H28x)

| 寄存器 | 大小 | 起始地址 | 结束地址 | 流水线保护(1) | 副C28xCPU存取 | DMA 存取 |
|---------------|------|------------|------------|----------|------------|--------|
| CLKCFG | 4KB | 0x01000000 | 0x01000FFF | 是 | 是 | 是 |
| CPUSYS | 432B | 0x01001000 | 0x010011AF | 是 | 是 | 是 |
| DEVCFG | 432B | 0x01001000 | 0x010011AF | 是 | 是 | 是 |
| XINT | 80B | 0x010011B0 | 0x010011FF | 是 | 是 | 是 |
| NMI_INTERRUPT | 256B | 0x01001200 | 0x01012FF | 是 | 是 | 是 |
| DCC0 | 4KB | 0x01002000 | 0x01002FFF | 是 | 是 | 是 |
| GPIOCTRL | 4KB | 0x01003000 | 0x01003FFF | 是 | 是 | 是 |
| GPIODATA | 4KB | 0x01004000 | 0x01004FFF | 是 | 是 | 是 |
| INPUTXBAR | 4KB | 0x01005000 | 0x01005FFF | 是 | 是 | 是 |
| EPWMXBAR | 4KB | 0x01006000 | 0x01006FFF | 是 | 是 | 是 |
| OUTPUTXBAR | 4KB | 0x01007000 | 0x01007FFF | 是 | 是 | 是 |
| XBAR | 4KB | 0x01008000 | 0x01008FFF | 是 | 是 | 是 |
| DMA | 256B | 0x01009000 | 0x010090FF | 是 | 是 | 是 |
| DMACH1 | 256B | 0x01009100 | 0x010091FF | 是 | 是 | 是 |
| DMACH2 | 256B | 0x01009200 | 0x010092FF | 是 | 是 | 是 |
| DMACH3 | 256B | 0x01009300 | 0x010093FF | 是 | 是 | 是 |
| DMACH4 | 256B | 0x01009400 | 0x010094FF | 是 | 是 | 是 |
| DMACH5 | 256B | 0x01009500 | 0x010095FF | 是 | 是 | 是 |
| DMACH6 | 256B | 0x01009600 | 0x010096FF | 是 | 是 | 是 |

| | | | | | | |
|--------------|------|------------|------------|---|---|---|
| ANALOGSUBSYS | 4KB | 0x0100A000 | 0x0100AFFF | 是 | 是 | 是 |
| ADCA | 256B | 0x0100B000 | 0x0100B0FF | 是 | 是 | 是 |
| ADCARESULT | 256B | 0x0100B100 | 0x0100B1FF | 是 | 是 | 是 |
| ADCB | 256B | 0x0100B200 | 0x0100B2FF | 是 | 是 | 是 |
| ADCBRESULT | 256B | 0x0100B300 | 0x0100B3FF | 是 | 是 | 是 |
| ADCC | 256B | 0x0100B400 | 0x0100B4FF | 是 | 是 | 是 |
| ADCCRRESULT | 256B | 0x0100B500 | 0x0100B5FF | 是 | 是 | 是 |
| PGA1 | 32B | 0x0100C000 | 0x0100C01F | 是 | 是 | 是 |
| PGA2 | 32B | 0x0100C020 | 0x0100C03F | 是 | 是 | 是 |
| PGA3 | 32B | 0x0100C040 | 0x0100C05F | 是 | 是 | 是 |
| PGA4 | 32B | 0x0100C060 | 0x0100C07F | 是 | 是 | 是 |
| PGA5 | 32B | 0x0100C080 | 0x0100C09F | 是 | 是 | 是 |
| PGA6 | 32B | 0x0100C0A0 | 0x0100C0BF | 是 | 是 | 是 |
| PGA7 | 32B | 0x0100C0C0 | 0x0100C0DF | 是 | 是 | 是 |
| DACA | 64B | 0x0100D000 | 0x0100D03F | 是 | 是 | 是 |
| DACB | 64B | 0x0100D040 | 0x0100d07F | 是 | 是 | 是 |
| CMPSS1 | 256B | 0x0100E000 | 0x0100E0FF | 是 | 是 | 是 |
| CMPSS2 | 256B | 0x0100E100 | 0x0100E1FF | 是 | 是 | 是 |
| CMPSS3 | 256B | 0x0100E200 | 0x0100E2FF | 是 | 是 | 是 |
| CMPSS4 | 256B | 0x0100E300 | 0x0100E3FF | 是 | 是 | 是 |
| CMPSS5 | 256B | 0x0100E400 | 0x0100E4FF | 是 | 是 | 是 |
| CMPSS6 | 256B | 0x0100E500 | 0x0100E5FF | 是 | 是 | 是 |
| CMPSS7 | 256B | 0x0100E600 | 0x0100E6FF | 是 | 是 | 是 |
| SDFM | 4KB | 0x0100F000 | 0x0100FFFF | 是 | 是 | 是 |
| ECAP1 | 128B | 0x01010000 | 0x0101007F | 是 | 是 | 是 |
| ECAP2 | 128B | 0x01010080 | 0x010100FF | 是 | 是 | 是 |
| ECAP3 | 128B | 0x01010100 | 0x0101017F | 是 | 是 | 是 |
| ECAP4 | 128B | 0x01010180 | 0x010101FF | 是 | 是 | 是 |
| ECAP5 | 128B | 0x01010200 | 0x0101027F | 是 | 是 | 是 |
| ECAP6 | 64B | 0x01010280 | 0x010102BF | 是 | 是 | 是 |

| | | | | | | |
|--------------|------|------------|------------|---|---|---|
| ECAP7 | 64B | 0x01010300 | 0x0101033F | 是 | 是 | 是 |
| HRCAP6 | 64B | 0x010102C0 | 0x010102FF | 是 | 是 | 是 |
| HRCAP7 | 64B | 0x01010340 | 0x0101037F | 是 | 是 | 是 |
| SYNSOC | 128B | 0x01010380 | 0x010103FF | 是 | 是 | 是 |
| SFO | 128B | 0x01010400 | 0x0101047F | 是 | 是 | 是 |
| EPWM9 | 512B | 0x01010600 | 0x010107FF | 是 | 是 | 是 |
| EPWM10 | 512B | 0x01010800 | 0x010109FF | 是 | 是 | 是 |
| EPWM11 | 512B | 0x01010A00 | 0x01010BFF | 是 | 是 | 是 |
| EPWM12 | 512B | 0x01010E00 | 0x01010FFF | 是 | 是 | 是 |
| EPWM1 | 512B | 0x01011000 | 0x010111FF | 是 | 是 | 是 |
| EPWM2 | 512B | 0x01011200 | 0x010113FF | 是 | 是 | 是 |
| EPWM3 | 512B | 0x01011400 | 0x010115FF | 是 | 是 | 是 |
| EPWM4 | 512B | 0x01011600 | 0x010117FF | 是 | 是 | 是 |
| EPWM5 | 512B | 0x01011800 | 0x010119FF | 是 | 是 | 是 |
| EPWM6 | 512B | 0x01011A00 | 0x01011BFF | 是 | 是 | 是 |
| EPWM7 | 512B | 0x01011C00 | 0x01011DFF | 是 | 是 | 是 |
| EPWM8 | 512B | 0x01011E00 | 0x01011FFF | 是 | 是 | 是 |
| EQEP1 | 2KB | 0x01012000 | 0x010127FF | 是 | 是 | 是 |
| EQEP2 | 2KB | 0x01012800 | 0x01012FFF | 是 | 是 | 是 |
| SPI0_MASTER | 1KB | 0x01013000 | 0x010133FF | 是 | 是 | 是 |
| SPI0_SLAVE | 1KB | 0x01013400 | 0x010137FF | 是 | 是 | 是 |
| SPI0_SEL_REG | 256B | 0x01013800 | 0x010138FF | 是 | 是 | 是 |
| SPI1_MASTER | 1KB | 0x01014000 | 0x010143FF | 是 | 是 | 是 |
| SPI1_SLAVE | 1KB | 0x01014400 | 0x010147FF | 是 | 是 | 是 |
| SPI1_SEL_REG | 256B | 0x01014800 | 0x010148FF | 是 | 是 | 是 |
| SCIA | 4KB | 0x01015000 | 0x01015FFF | 是 | 是 | 是 |
| SCIB | 4KB | 0x01016000 | 0x01016FFF | 是 | 是 | 是 |
| I2CA | 4KB | 0x01017000 | 0x01017FFF | 是 | 是 | 是 |
| PMBUS | 4KB | 0x01018000 | 0x01018FFF | 是 | 是 | 是 |
| LINA | 4KB | 0x01019000 | 0x01019FFF | 是 | 是 | 是 |

| | | | | | | |
|------------|-----|------------|------------|---|---|---|
| FSITX | 4KB | 0x0101A000 | 0x0101AFFF | 是 | 是 | 是 |
| FSIRX | 4KB | 0x0101B000 | 0x0101BFFF | 是 | 是 | 是 |
| REGFILE | 4KB | 0x0101C000 | 0x0101CFFF | 是 | 是 | 是 |
| CANA | 4KB | 0x01052000 | 0x01052FFF | 是 | 是 | 是 |
| CANB | 4KB | 0x01053000 | 0x01053FFF | 是 | 是 | 是 |
| FLASHOCTRL | 4KB | 0x01040000 | 0x01040FFF | 是 | 是 | 是 |
| FLASHODATA | 1MB | 0x30000000 | 0x300FFFFF | 是 | 是 | 是 |
| FLASHOTP1 | 1KB | 0x30100000 | 0x301003FF | 是 | 是 | 是 |
| FLASHOTP2 | 1KB | 0x30101000 | 0x301013FF | 是 | 是 | 是 |

(1) CPU (不适用于 CLA 或 DMA) 包含先写后读保护模式 , 以确保在受保护地址范围内 , 通过延迟读取操作直至启动写入操作 , 按写入形式执行位于写入操作之后的任何读取操作。

表 6-5. 互联说明

| Slave No | Slave name | M0 | M1 | M2 | M3 | M4 |
|----------|------------|------|------|-----|------|-------|
| | | CPU0 | CPU1 | DMA | BOOT | DEBUG |
| S0 | D_MEM | Y | Y | Y | | Y |
| S1 | I_MEM | | | Y | Y | Y |
| S2 | 外设组1 | Y | Y | Y | | Y |
| S3 | 外设组2 | Y | Y | Y | | Y |
| S4 | CANO | Y | Y | Y | | Y |
| S5 | CAN1 | Y | Y | Y | | Y |
| S6 | Flash_ctrl | Y | Y | Y | | Y |
| S7 | HARDWARE | Y | Y | Y | | Y |
| S8 | flash | Y | Y | Y | | Y |

6.3.3 存储器类型

6.3.3.1 CPU共享数据 RAM (GSDx RAM)

CPU 子系统有四个支持 ECC 功能的数据RAM，CPU0与CPU1共享。

6.3.3.2 IPC共享 RAM (IPC CPUx_RAM)

双核通信所需要的RAM，IPC_CPU0_RAM为CPU0与共享CPU1内存，CPU0可读写，CPU1可读。IPC_CPU1_RAM为CPU1与共享CPU0内存，CPU1可读写，CPU0可读。

6.3.3.3 CPU共享指令RAM (GSIx RAM)

CPU 子系统有四个支持 ECC 功能的指令RAM，CPU0与CPU1共享。

6.3.3.4 CPU共享指令RAM (BOOT RAM)

CPU的BOOT代码存放区。

6.4 总线架构-外设连接

外设连接表列出了每条总线访问外设和配置寄存器。

表 6-9. 外设连接

| 外设 | DMA | 副CPU | 主CPU |
|------------------------------|-----|------|------|
| 系统外设 | | | |
| CPU 计时器 | 是 | 是 | 是 |
| 系统配置 (WD、NMIWD、LPM、外设时钟门控) | | 是 | 是 |
| 器件功能、外设复位 | 是 | 是 | 是 |
| 时钟和PLL配置 | 是 | 是 | 是 |
| 闪存配置 | 是 | 是 | 是 |
| 复位配置 | 是 | 是 | 是 |
| GPIO 引脚映射和配置 | 是 | 是 | 是 |
| GPIO 数据) | 是 | 是 | 是 |
| DMA触发源选择 | 是 | 是 | 是 |
| 控制外设 | | | |
| ePWM/HRPWM | 是 | 是 | 是 |
| eCAP/HRCAP | 是 | 是 | 是 |
| eQEP | 是 | 是 | 是 |

| | | | |
|-------------|---|-----|------|
| SDFM | 是 | 是 | 是 |
| 模拟外设 | | | |
| 模拟系统控制 | 是 | 是 | 是 |
| 外设 | | DMA | 副CPU |
| ADC 配置 | 是 | 是 | 是 |
| ADC 结果 | 是 | 是 | 是 |
| CMPSS | 是 | 是 | 是 |
| DAC | 是 | 是 | 是 |
| PGA | 是 | 是 | 是 |
| 通信外设 | | | |
| CAN | 是 | 是 | 是 |
| SPI1 | 是 | 是 | 是 |
| I2C | 是 | 是 | Y |
| PMBus | 是 | 是 | 是 |
| SCI | 是 | 是 | Y |
| LIN | 是 | 是 | 是 |
| FSI | 是 | 是 | 是 |

6.6 C28x 处理器

6.6.1 介绍

CPU 为具有自主知识产权的高性能低功耗32 位浮点处理器处理器,采用了数字信号处理最佳特性; 精简指令集计算 (RISC); 以及微控制器架构、 固件和工具集。以及微控制器架构、固件和工具集。

6.6.2 特点

处理器是一款具有自主知识产权的高性能低功耗数字信号处理器芯片。“高性能”是以、超长指令字 (VLIW) 技术和硬件循环 (hardware loop) 技术为基础, 通过对各模块功能的细分和优化来实现的。同时基于对移动多媒体领域应用的分析, 精确定义指令集, 提高应用程序的代码密度、减少程序执行周期数以降低总能耗。微控制器特性包括易懂易用的指令集、字节打包和解包以及位操作。改进型哈佛体系架构的 CPU 可实现指令和数据的并行获取。CPU 可以在读取指令和数据的同时写入数据, 以维持流水线中的单周期指令操作。

完整的处理器主要包含了DSP内核、片上存储器 (I-MEM、D-MEM) 、直接存储访问模块 (DMA) 、对外接口 (EMIF、HPI、SPI、I2C、GPIO、CAN等) 和调试模块 (Debug) 。

6.6.3 浮点单元(FPU)

C28x 加浮点 (C28x+FPU) 处理器通过增加支持 IEEE 单精度浮点运算的寄存器和指令来扩展 C28x 定点 CPU 的功能。

具有 C28x+FPU 的器件包含标准 C28x 寄存器集以及一组额外的浮点单元寄存器。额外的浮点单元寄存器如下:

八个浮点结果寄存器, RnH (其中 n=0–7)

浮点状态寄存器 (STF)

重复块寄存器 (RB)

除 RB 寄存器外, 所有浮点寄存器都采用影子化技术。这种影子化可用于高优先级中断, 以实现浮点寄存器的快速上下文保存和恢复。

6.6.4 三角数学单元(TMU)

三角函数数学单元 (TMU) 通过添加指令和利用现有 FPU 指令来扩展H28x+FPU 的功能, 加速执行常见三角函数和下表中所列算术运算。

表 TMU支持的指令

| 指令 | C 等效运算 | 流水线周期 |
|------------------|----------------------|-------|
| MPY2PIF32 Rd, Rs | $a = b * 2\pi$ | 2/3 |
| DIV2PIF32 Rd, Rs | $a = b / 2\pi$ | 2/3 |
| FSSQRT Rd, Rs | $a = \sqrt{b}$ | 7 |
| SINPUF32 Rd, Rs | $a = \sin(b * 2\pi)$ | 5 |
| COSPUF32 Rd, Rs | $a = \cos(b * 2\pi)$ | 5 |
| ATANPUF32 Rd, Rs | $a = \tan(b) / 2\pi$ | 5 |
| QUADF Rd, Rs, Rt | 用于协助计算 ATANPU2 的运算 | 8 |

TMU单元没有对现有指令、流水线或内存总线架构进行任何更改。所有 TMU 指令都使用现有的 FPU 寄存器集。

6.6.5 Viterbi、复数和循环冗余校验单元（VCU）

该模块通过添加指令和相应寄存器来扩展DSP芯片的功能，以支持和加速以下算法执行。

6.6.5.1 Viterbi运算

Viterbi算法在卷积编码的解码过程中被广泛使用，以找到最可能的原始数据序列。该算法包括分支度量计算、路径度量计算、幸存路径选择、回溯等步骤。

该部分有相应指令以支持Viterbi解码，每条指令均可在1个周期内完成。

| 运算 | 指令 | 说明 |
|--------|---|--------------------|
| 计算分支度量 | VITBM2 VITBM3 | 码率为 1/2 码率为 1/3 |
| 计算路径度量 | VITDHAS VITDHSAs VITDLAS VITDLAs | |
| 路径选择 | VITHSEL VITLSEL | |
| 路径回溯 | VTRACE | |

6.6.5.2 循环冗余校验（CRC）

CRC算法通过循环生成校验码的方式，在数字通信、存储系统和无线通信等领域提高数据传输的完整性和可靠性。

该部分相关指令可用于进行8位、16位、32位的CRC校验码生成。可在1个周期内计算出一字节数据对应的CRC校验码。

6.6.5.3 复数运算

在DSP芯片中，复数运算广泛应用于许多信号处理任务，包括快速傅里叶变换（FFT）和复数滤波器等。

例如，使用FFT进行频谱分析，复数运算可以有效地处理信号的幅度和相位信息。数字滤波器设计中，复数运算也用于频域滤波器的设计和实现。

该部分有以下指令以支持复数的加、减、乘、乘累加运算：

| 运算 | 指令 | 备注 |
|-------|---------------|---|
| 加/减法 | VCADD/VCSUB | $32 \pm 32 = 32$ 位 |
| 加/减法 | VCDA16/VCDS16 | $16 \pm 32 = 16$ 位 |
| 乘法 | VCMPY | $16 \times 16 = 32$ 位 |
| 乘法和累加 | VCMPYAC | $16 \times 16 = 32$ 位, $32 \pm 32 = 32$ 位 |
| 取负 | VNEG | $-32 = 32$ 位 |

6.6.6 增强型整数除法单元 (EINTDIV)

C28x CPU 的增强型整数除法(EINTDIV)单元非常独特，能支持三种不同数据类型大小(16 / 16, 32 / 16, 32 / 32, 64 / 32, 64 / 64)的无符号或有符号格式的整数除法(Truncated, Modulus, Euclidean)。

- 支持 C 语言 Truncated 整数除法(/, %运算符)。
- Modulus 和 Euclidean 除法是控制算法更有效的类型，并支持 C 函数。

所有三种类型的整数除法都产生商和余数分量，都是可中断的，并且执行周期少。此外，C28x CPU的增强型整数除法功能支持 32 位和64 位除法的快速执行。

6.7 直接内存访问(DMA)

DMA 模块提供了一种硬件方法，可以在外设和/或内存之间传输数据，而不需要 CPU 的干预，从而为其他系统功能释放带宽。此外，DMA 具有在传输数据时对数据进行正交重新排列的能力，以及缓冲区之间的“乒乓”数据。这些特性有助于优化 CPU 进程，将数据结构化成块。DMA 的设备级框图如图 6-3 所示。

DMA 特性包括：

- 六个具有独立 PIE 中断的通道
 - ADC 中断和 EVT 信号
 - 外部中断
 - ePWM SOC 信号
 - CPU 计时器
 - eCAP
 - SPI 发送和接收
 - SPI 发送和接收
- 数据源和目标：
 - GSx RAM
 - ADC 结果寄存器
 - 控制外设寄存器（ePWM、eQEP、eCAP、SDFM）
 - DAC 和 PGA 寄存器
 - SPI 和 PMBus 寄存器
- 字大小：8位、16 位或 32 位
- 数据率：每个字十五个周期，8深度FIFO，无需仲裁



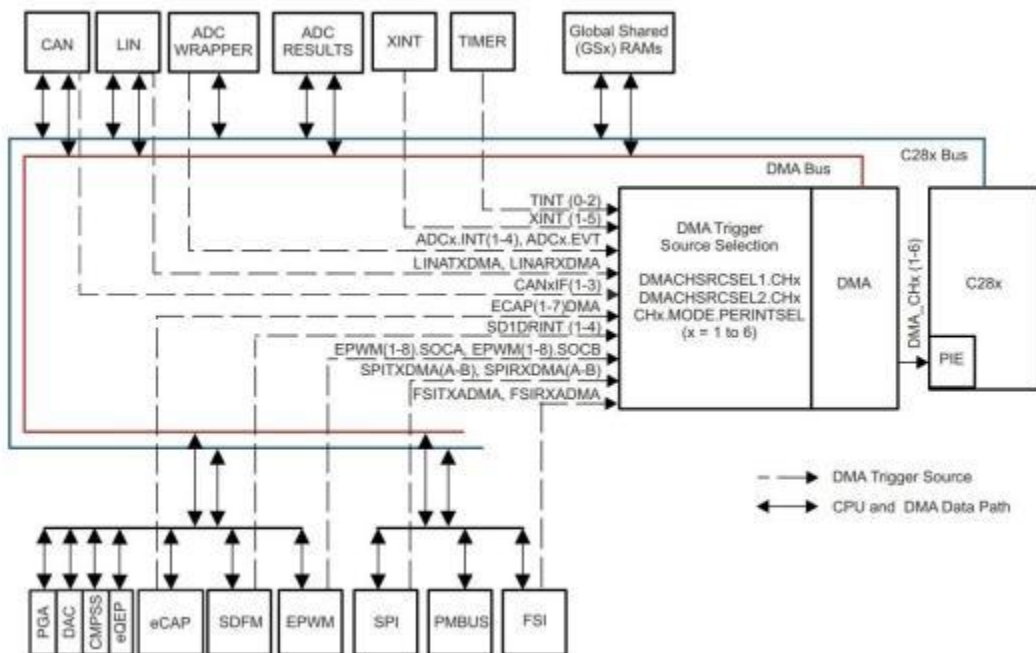


图 6-3. DMA 框图



6.8 看门狗

看门狗计数器的软件重置间隔有一个可选的下限时间。这个窗口倒计时默认是禁用的。

看门狗产生复位或中断。它的时钟可以来自内部振荡器与可选择的分频器。看门狗模块各功能模块如图 6-4 所示。

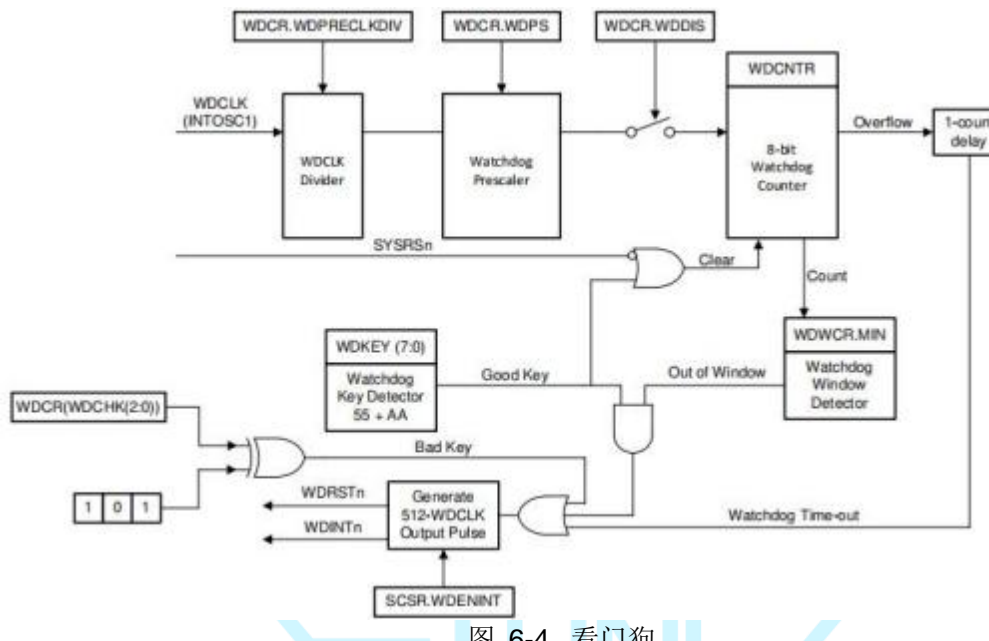


图 6-4. 看门狗

6.9 C28x 计时器

CPU 定时器 0、1、2 都是相同的 32 位定时器，具有可预置的周期和预缩放 16 位时钟。计时器有一个 32 位倒计时寄存器，当计数器达到零时产生中断。计数器以 CPU 时钟速度除以预置值的值递减。当计数器达到零时，它会自动用一个 32 位的周期值重新加载。

CPU-Timer 0 用于一般用途，并且已连接到 PIE 块。CPU-Timer 1 也是通用的，并且连接到 CPU 的 INT13。CPU-Timer 2 为 QX-RTOS 预留，并且连接 CPU 的 INT14。如果 QX-RTOS 不被使用，CPU-Timer2 可用于一般用途。

CPU-Timer 2 可以通过以下任何一个来计时：

- SYSCLK (默认)
- 内部晶振振荡器1 (INTOSC1)
- 内部晶振振荡器2 (INTOSC2)
- X1 (XTAL)

6.10 双时钟比较器 (DCC)

双时钟比较器模块用于基于第二个时钟评估和监控时钟输入，第二个时钟可以是更准确可靠的版本。此仪表用于检测时钟源或时钟结构中的故障，从而提高系统的安全性指标。

6.10.1 特点

DCC 有以下特点：

- 允许应用程序在两个时钟信号的频率之间保持固定的比例。
- 支持根据参考时钟周期的数量定义可编程公差窗口。
- 支持连续监控，不需要应用程序干预。
- 支持点测的单序列模式。
- 允许为每个计数器选择一个时钟源，从而产生不同的特定的情况。

6.10.2 DCCx(DCC0 and DCC1) 时钟源输入映射

表 6-15. DCCx 时钟源 0

| DCCxCLKSRC0[3:0] | CLOCK 名称 |
|------------------|----------|
| 0x0 | XTAL |
| 0x1 | INTOSC1 |
| 0x2 | INTOSC2 |
| others | 保留 |
| | |
| | |

表 6-16. DCCx 时钟源 1

| DCCxCLKSRC1[3:0] | CLOCK 名称 |
|------------------|-----------|
| 0x0 | PLLRAWCLK |
| others | 保留 |
| | |

7 开发支持

7.1 集成开发环境QX-IDE

用户可以在“QXDSPC2000系列-开发工具链”的发布地址（如下），下载QX-IDE。

1. https://pan.baidu.com/s/1bfo-FDc_qO7cY8KOFM-vMg 提取码: qide
2. <https://pan.quark.cn/s/a4fccb17121f> 提取码: B6Kg

QX-IDE的安装和使用方法参考“QX-IDE_User_Manual.pdf”。

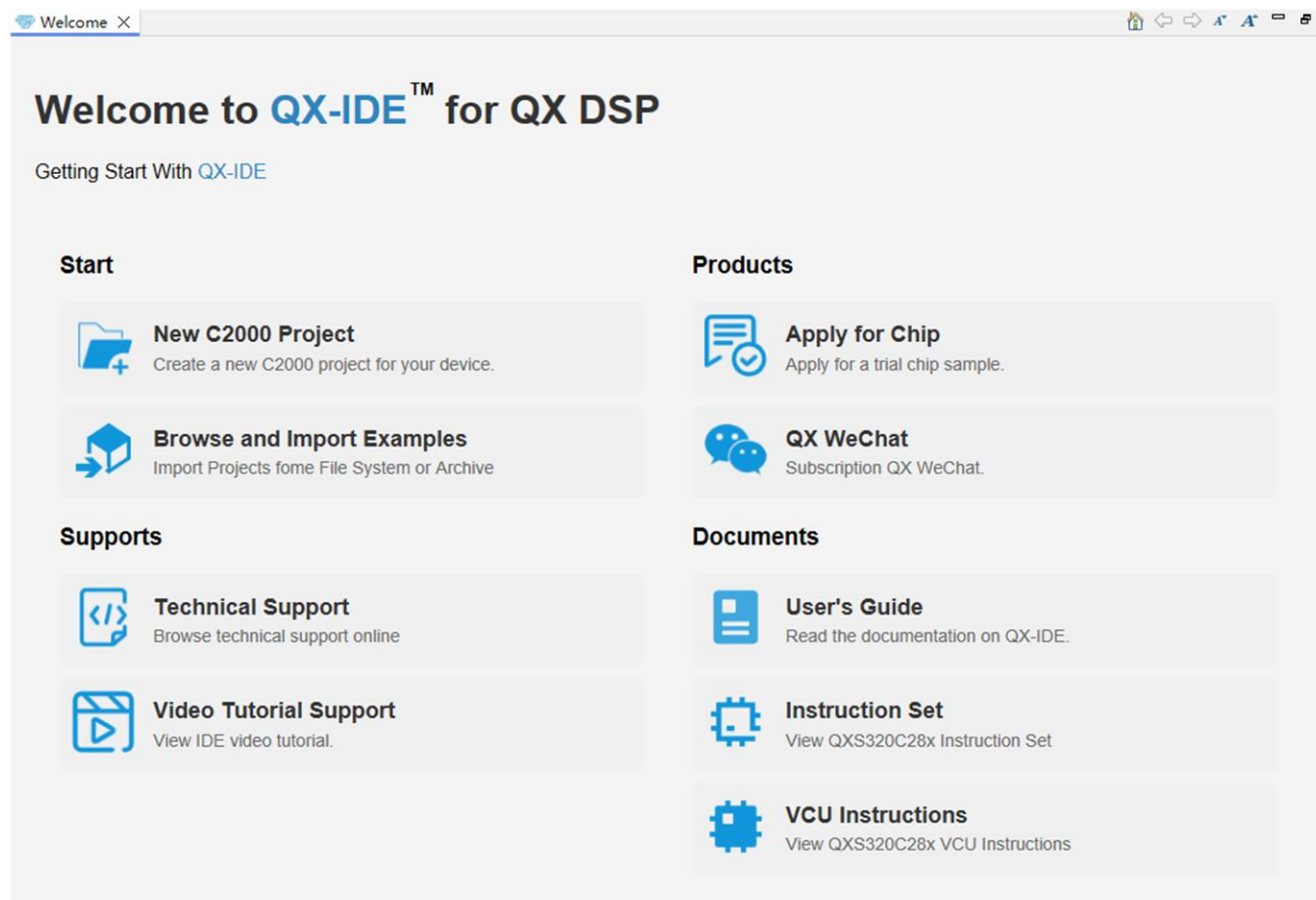


图 1: QX-IDE欢迎界面

7.2 仿真器

7.2.1 简介

QXS320f 3槽DSP的仿真环境如图 所示，包括

- (1) 宿主机：执行调试命令、显示目标机状态
- (2) 目标机：被调试设备
- (3) 接口卡：FT2232HL，负责USB/JTAG接口及协议转换

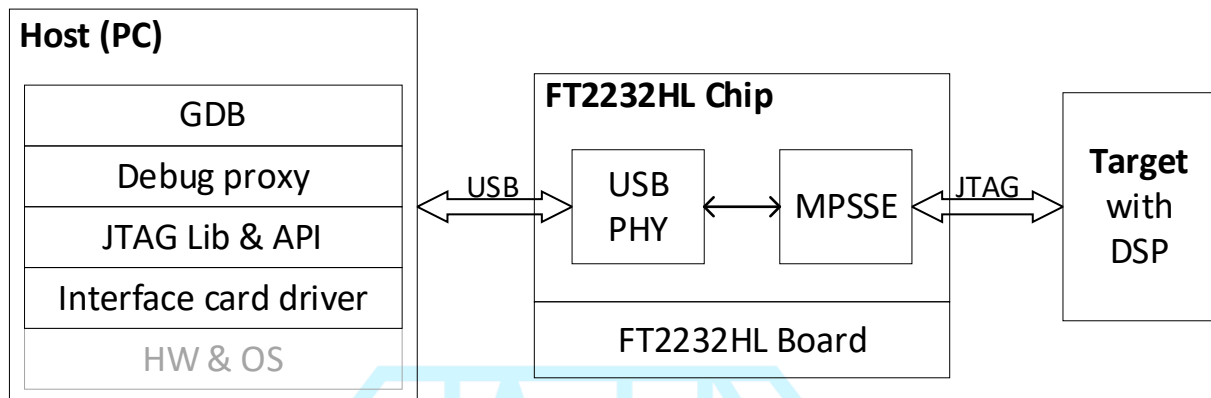


图 2: 基本结构

7.2.2 结构

7.2.2.1 宿主机

与DSP仿真的宿主机软件结构如图 所示。

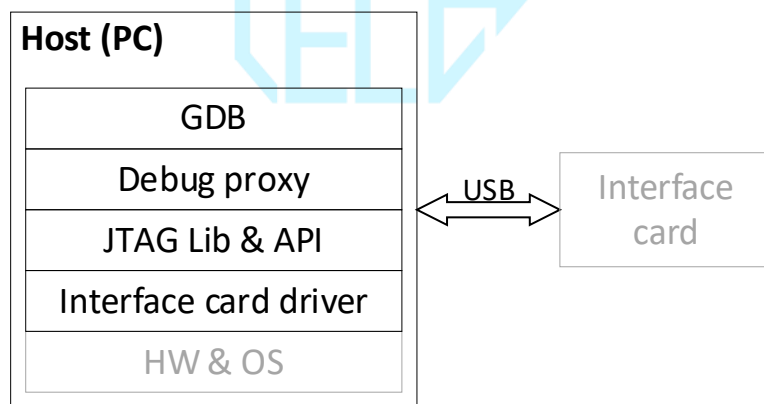


图 3: 宿主机软件结构

宿主机通过USB接口和接口卡连接，并包含以下部分

- 1) 接口卡驱动：使宿主机能够通过接口卡收发数据
- 2) JTAG Lib和API：对接口卡组件，针对接口卡在USB/JTAG工作模式的函数库及应用程序接口
- 3) GDB：基于GNU Debugger为DSP定制的调试器
- 4) 调试代理：通过调用JTAG API进行JTAG接口配置，以及GDB和JTAG API之间的消息转发。

GDB发出的调试命令被调试代理转换成对应的JTAG API调用，接口卡返回的消息被调试代理转换为对应的GDB packet发送给GDB

7.2.2.2 目标机

目标机通过JTAG接口和接口卡连接。

7.2.2.3 接口卡

宿主机和目标机的连接、通讯需借助接口卡以进行USB和JTAG接口及协议的相互转换。接口卡的逻辑结构如图 所示。

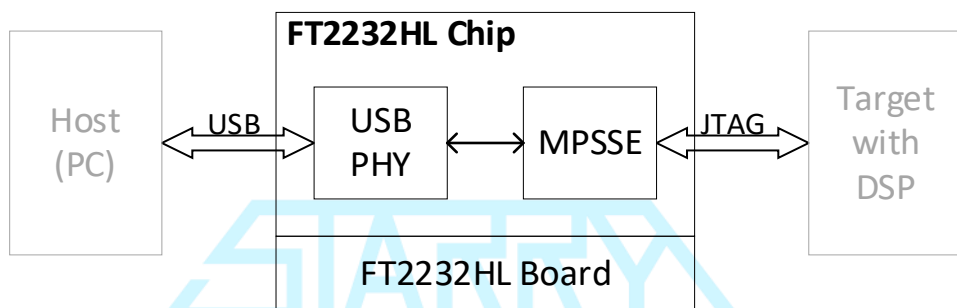


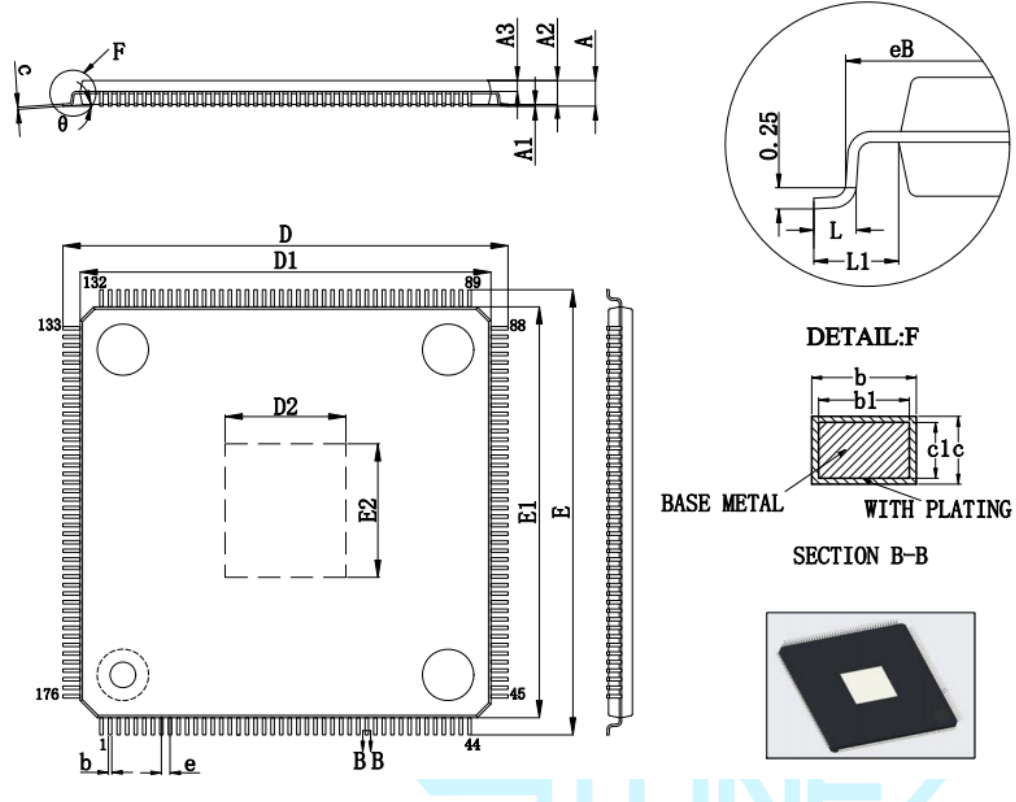
图 4: 接口卡逻辑结构

接口卡采用[FTDI公司的FT2232HL芯片](#)。该芯片一边固定为USB 2.0的物理层和宿主机连接；另一边是可配置的UART/FIFO接口。

在当前的DSP仿真场景，该接口配置成MPSSE（Multi-Protocol Synchronous Serial Engine），作为JTAG接口和目标机连接。

8 封装外形尺寸

8.1 LQFP176 PIN



| SYMBOL | MILLIMETER | | |
|--------|------------|-------|-------|
| | MIN | NOM | MAX |
| A | — | — | 1.60 |
| A1 | 0.05 | — | 0.15 |
| A2 | 1.35 | 1.40 | 1.45 |
| A3 | 0.59 | 0.64 | 0.69 |
| b | 0.18 | — | 0.26 |
| b1 | 0.17 | 0.20 | 0.23 |
| c | 0.13 | — | 0.17 |
| c1 | 0.12 | 0.13 | 0.14 |
| D | 25.80 | 26.00 | 26.20 |
| D1 | 23.90 | 24.00 | 24.10 |
| E | 25.80 | 26.00 | 26.20 |
| E1 | 23.90 | 24.00 | 24.10 |
| eB | 25.05 | — | 25.25 |
| e | 0.50BSC | | |
| L | 0.45 | 0.60 | 0.75 |
| L1 | 1.00REF | | |
| θ | 0 | — | 7° |

| L/P size (mm) (mil) | D2 | E2 |
|------------------------|---------|---------|
| 307*278 | 7.06REF | 7.80REF |

9 订货信息

9.1 封装信息

表 9-1.封装信息

| 产品型号 | 芯片版本 | 封装系列 | 封装类型 | 管脚数 | 环保标准 | 引线镀层/球材料 | 湿敏等级和最大耐焊接温度 | 工作温度 |
|-------------------|------|-------|------|-----|-----------------|----------|--|-----------------|
| QXS320F28377LPTPS | EDB | ELQFP | PTP | 176 | Green (RoHS&无卤) | Sn | Level-3-260C-168HR (3 级-小于或等于 260° C-168 小时车间寿命) | -40° C 至 125° C |

9.2 封装概览



关于乾芯科技

合肥乾芯科技有限公司是一家专业研发各类处理器芯片及IP软核的企业。我们核心产品是以数字信号处理器（DSP）为主，以微控制器（MCU）等产品为外延的处理器系列产品，主要面向数字电源、电机控制、光伏逆变器控制等领域。

公司核心研发团队由工业界知名专家组成，研发设计处理器芯片数十年，具有丰富的研发经验；核心团队成员曾成功大规模量产过多款芯片，研制的各类处理器芯片均达到国际一流技术水平。是国内为数不多的具备涵盖处理器体系结构定义、逻辑设计、物理实现到 GDS 生成全流程，以及工具链、配套函数库和集成开发环境全方位研发能力的团队。

我们的优势在于从指令集到内核微架构再到完整工具链均为自主研发。公司目前已拥有多项发明专利和软著，对核心技术建立专利池并形成完整知识产权保护链。

联系方式

公司网址: www.starrystonetech.com

联系邮箱: qx001@starrystonetech.com

联系电话: 0551-68168580

公司地址: 安徽合肥高新区创业产业园2期F1栋21楼

附录 A：使用限制

2024年9月回片的芯片，其SDFM模块不工作。

